



وزارت راه و شهرسازی  
مرکز تحقیقات راه، مسکن و شهرسازی



نویسنده‌گان:

اسماعیل فرزانگان

محمد پورمحمد شاهوار

حسین میرزاپی علویجه

سروشانه	: فرزانگان، اسماعیل .
عنوان و نام پدیدآور	: چهار دهه شتابنگاری در ایران / نویسندهان اسماعیل فرزانگان، محمد پورمحمد شاهوار، حسین میرزایی علوجه.
مشخصات نشر	: تهران: مرکز تحقیقات راه، مسکن و شهرسازی، ۱۳۹۵.
مشخصات ظاهری	: ۱۷۹ ص: تصویر(بخشی رنگی)، نمودار، جدول.
فروست	: مرکز تحقیقات راه، مسکن و شهرسازی؛ ک - ۷۳۱
شابک	: ۹۷۸-۶۰-۱۱۳-۱۴۱-۷
وضعیت فهرستنامه‌ی	: فیبا
یادداشت	: کتابنامه: ۱۴۱-۱۷۱.
موضوع	: شتابنگارها -- ایران
موضوع	: Accelerograms -- Iran
موضوع	: شتابنگارها
موضوع	: Accelerograms
موضوع	: لرزه‌نگاری
موضوع	: Seismometry
موضوع	: زلزله‌شناسی -- ایران
موضوع	: Seismology -- Iran
موضوع	: شتابنگارها -- ایران -- جداولها و نمودارها
موضوع	: Accelerograms -- Iran -- Charts, diagrams, etc.
موضوع	: پورمحمد شاهوار، محمد . ۱۳۵۸.
موضوع	: میرزایی علوجه، حسین . ۱۳۳۴.
شناسه افزوده	: مرکز تحقیقات راه، مسکن و شهرسازی.
شناسه افزوده	: Road, Housing and Urban Development Research Center
رده بندی کنگره	: QE۵۷۸/۲-۱۳۹۵
رده بندی دیجی	: ۵۵۱/۲۲۰۹۰۵
شماره کتابشناسی ملی	: ۴۴۳۰۶۶۹



مرکز تحقیقات راه، مسکن و شهرسازی

نام کتاب: چهار دهه شتابنگاری در ایران

مؤلفان: اسماعیل فرزانگان، محمد پورمحمد شاهوار، حسین میرزایی علوجه

شماره نشر: ک - ۷۳۱

ناشر: مرکز تحقیقات راه، مسکن و شهرسازی

نوبت چاپ: اول ۱۳۹۵-

تیراز: ۱۰۰۰ جلد

قطع: وزیری

لیتوگرافی، چاپ و صحافی: اداره انتشارات و چاپ مرکز تحقیقات راه، مسکن و شهرسازی

قیمت: ۲۲۰۰۰ ریال

شابک: ۹۷۸-۶۰-۱۱۳-۱۴۱-۷

ISBN: 978-600-113-141-7

مسئولیت صحت دیدگاه‌های علمی بر عهده نگارندگان محترم می‌باشد.

کالیه حقوق چاپ و انتشار اثر برای مرکز تحقیقات راه، مسکن و شهرسازی محفوظ است

نشانی ناشر: تهران، بزرگراه شیخ فضل ا... نوری، روپوش فاز ۲ شهرک فرهنگیان، خیابان نارگل، خیابان شهید علی مروی، خیابان حکمت صندوق پستی: ۱۶۹۶ - ۱۳۱۴۵ تلفن: ۸۸۲۵۵۹۴۲-۶ دورنگار: ۸۸۳۸۴۱۳۲

فروش الکترونیکی: <http://pub.bhrc.ac.ir>

پست الکترونیکی: [pub@bhrc.ac.ir](mailto:pub@bhrc.ac.ir)

## پیشگفتار

قرارگیری سرزمین ایران در میانه‌های کمربند لرزه‌خیز آلپ – هیمالیا، باعث رویداد زمین‌لرزه‌های مخرب سهمگینی در طول تاریخ این سرزمین کهن شده است که متاسفانه همواره با تلفات انسانی و خسارات مالی فراوانی توازن بوده است. از طرفی دیگر تغییر الگوی سکونت از روتاستانشینی به شهرنشینی در دهه‌های اخیر باعث رشد نامتوازن مناطق شهری و توسعه ساخت و ساز ناموزون در پهنه‌های گسلی و لرزه‌زا گردیده است و تهدید زمین‌لرزه‌های بزرگ برای شهرهای پرجمعیت نسبت به روستاهای این سرزمین از گذشته فزون‌تر شده است. وضعیت شهر تهران و سایر شهرهای مهم کشور نظیر تبریز، مشهد، شیراز، قزوین، کرج و ...، گویای آسیب‌پذیری این مناطق در برابر زمین‌لرزه‌های احتمالی آتی می‌باشد. در این میان نقش مراکز تحقیقاتی مرتبط با مطالعه زمین‌لرزه‌ها، تدوین آئین‌نامه‌ها و طراحی مقاوم سازه‌ها در برابر زمین‌لرزه، غیر قابل انکار است. مرکز تحقیقات راه، مسکن و شهرسازی به عنوان متولی شبکه ملی شتابنگاری، اصلی‌ترین جایگاه را در این زمینه در کشور دارد. شبکه شتابنگاری ایران با دارا بودن بیش از ۱۱۰۰ شتابنگار فعال و مجموعه ای بالغ بر ۱۱،۰۰۰ رکورد از زمین‌لرزه‌های رویداده از سال ۱۳۵۲ تاکنون، منبع عظیمی از اطلاعات پایه برای علم مهندسی زلزله و زلزله‌شناسی مهندسی در کشور محسوب می‌گردد. محتوای این کتاب نگارشی از عملکرد شبکه شتابنگاری در ۴۰ سال گذشته را به صورت اجمالی بیان می‌کند. امید است این مجموعه بتواند ضمن ارائه تاریخچه‌ای از شبکه ملی شتابنگاری، بخشی از توانمندی‌های این شبکه را برای کارشناسان و صاحب‌نظران بازگو نماید.

محمد شکرچیزاده  
رئیس مرکز تحقیقات راه، مسکن و شهرسازی



## پیشگفتار موسس شبکه ملی شتابنگاری

شبکه ملی شتابنگاری که مسئولیت ثبت داده‌های جنبش زمین ناشی از رویداد زمین‌لرزه‌ها را دارا می‌باشد، مهمترین ابزار دست دانشمندان و محققین برای مطالعه جنبه‌های مهندسی زمین‌لرزه‌ها می‌باشد. علم زلزله‌شناسی مهندسی و مهندسی زلزله از اوایل سده بیستم و با پیشرفت‌های صورت گرفته در علوم که منجر به ساخت دستگاه‌های شتابنگار شد، وارد عصر تازه‌ای از حیات خود گردید که ابتدا در کشورهایی مانند آمریکا و ژاپن و به تدریج در سایر کشورهای لرزه‌خیز، شبکه‌های شتابنگاری راهاندازی شدند و اقدام به ثبت داده‌های زمین‌لرزه‌ها نمودند. این داده‌ها اساس و پایه علم مهندسی زلزله و طراحی سازه‌های مقاوم در برابر زمین‌لرزه می‌باشند. در کشور لرزه‌خیز ما ایران نیز از ابتدای دهه پنجاه خورشیدی پس از زمین‌لرزه مخرب قیر کارزین در استان فارس با کوشش‌های بی‌شایه همکارانم در دفتر فنی سازمان برنامه و بودجه آن‌زمان، شبکه شتابنگاری ایران پی‌ریزی و در طول زمان گسترش یافت. حاصل کوشش‌های مداوم افراد مختلف در این سال‌ها مجموعه‌ای ارزشمند از دستگاه‌های شتابنگار که بالغ بر ۱۱۰۰ دستگاه بوده و بیش از ۱۱۰۰۰ رکورد زمین‌لرزه است که مطمئناً منبع ارزشمندی از داده‌های حرکات زمین محسوب می‌شوند. همکارانم در مجموعه شبکه ملی شتابنگاری در مرکز تحقیقات راه، مسکن و شهرسازی پس از برگزاری چهلمین سالگرد تاسیس آن و همزمان با سی و ششمین سالگرد زمین‌لرزه طبس در شهریور ۱۳۹۳، اقدام به تهیه کتابی با عنوان ۴۰ سال شتابنگاری در ایران نموده‌اند که می‌تواند مورد استفاده محققین و دانشجویان علاقمند قرار گیرد. امیدوارم که شبکه ملی شتابنگاری ایران بتواند با بازسازی و نوسازی خود و بکارگیری دستگاه‌های جدید و فناوری‌های نوین در حیطه ارتباطات، انتقال و پردازش داده‌ها، همچنان جایگاه خود را در کشور و منطقه حفظ نماید. در این مسیر و با توجه به تجربه کشورهای دیگر راهاندازی سامانه‌های هشدار و پاسخ سریع زمین‌لرزه در شهرهای بزرگ و مناطق لرزه‌خیز می‌تواند نقش مهمی در کاهش خسارات جانی و مالی زمین‌لرزه‌ها داشته باشد.

علی اکبر معین فر  
اسفندماه ۱۳۹۴ خورشیدی



## تشکر و قدردانی

بی تردید فعالیت سامانه های شتابنگاری در سراسر دنیا علاوه بر وجود سخت افزارهای مناسب، مرهون تلاش نیروی انسانی کنترل کننده مجموعه های شتابنگاری است. شبکه شتابنگاری ایران نیز از این قاعده مستثنی نمی باشد. این مجموعه، چه در ابتدای تشکیل در سازمان برنامه و بودجه، چه پس از انتقال به مرکز تحقیقات ساختمان و مسکن، شاهد تلاش های افراد بیشماری اعم از مدیر، کارشناس، تکنسین و کارمندان دفتری بوده که در مسیر رشد و بالندگی این مجموعه در طول ۴۰ سال گذشته نقش داشته اند. بی تردید این کتاب بیانگر زحمات و مرهون فعالیت های خالصانه این افراد در طول فعالیت شبکه شتابنگاری ایران بوده است که جا دارد در اینجا بطور ویژه از زحمات این عزیزان قدردانی گردد. نام این افراد به تفصیل در پیوست اول در انتهای کتاب آمده است.



۱	۱	- مقدمه
۲	۱-۱- زلزله‌شناسی جنبش نیرومند و رابطه شدت و شتاب زمین‌لرزه	
۳	۱-۱-۱- بزرگای محلی	
۴	۱-۱-۲- بزرگای امواج سطحی	
۴	۱-۱-۳- بزرگای گشتاوری	
۴	۱-۱-۴- مقیاس بزرگای امواج $L_g$	
۵	۱-۱-۵- مقیاس بزرگای امواجی حجمی	
۵	۱-۱-۶- شدت زمین‌لرزه	
۶	۱-۱-۷- شتاب زمین‌لرزه	
۶	۱-۱-۸- رابطه بین بزرگا، شتاب و سرعت	
۹	۱-۱-۹- رابطه بین شدت و شتاب	
۱۲	۱-۲- شبکه‌نگارها و اهمیت آن	
۱۵	۲- تاریخچه شبکه‌نگاری در دنیا	
۱۵	۲-۱- تاریخچه ساخت شبکه‌نگار	
۲۷	۲-۲- سابقه استقرار شبکه‌نگارها در منطقه و جهان	
۲۷	۲-۲-۱- شبکه شبکه‌نگاری آمریکا	
۲۹	۲-۲-۲- شبکه شبکه‌نگاری ترکیه	
۳۰	۲-۲-۳- شبکه شبکه‌نگاری ژاپن	
۳۱	۲-۲-۴- شبکه شبکه‌نگاری چین	
۳۲	۲-۲-۵- شبکه شبکه‌نگاری تایوان	
۳۲	۲-۲-۶- شبکه‌های شبکه‌نگاری در اروپا	
۳۵	۳- تاریخچه شبکه‌نگاری در ایران	
۳۵	۳-۱- مرحله اول فعالیت - شبکه آنالوگ (۱۳۷۲-۱۳۵۲)	
۴۰	۳-۱-۱- ایستگاه‌های شبکه	
۴۵	۳-۱-۲- تجهیزات دستگاهی	
۴۸	۳-۱-۳- مهم‌ترین زمین‌لرزه‌های ثبت شده توسط شبکه ملی شبکه‌نگاری در دوره اول فعالیت	
۶۰	۳-۲-۱- مرحله دوم فعالیت - شبکه دیجیتال (۱۳۷۳ تا ۱۳۹۴)	
۶۱	۳-۲-۲-۱- دستگاه شبکه‌نگار SSA-2	
۶۳	۳-۲-۲-۳- دستگاه شبکه‌نگار گورالپ، مدل CMG-5TD	
۶۵	۳-۲-۳- معیارهای انتخاب ایستگاه‌های جدید در مرحله دوم توسعه شبکه شبکه‌نگاری	
۶۹	۴-۲-۳- مهم‌ترین زمین‌لرزه‌های ثبت شده در دوره دوم فعالیت شبکه شبکه‌نگاری	
۸۱	۴- فعالیت‌های شبکه	
۸۱	۴-۱- رفتارنگاری سدهای بزرگ	
۸۲	۴-۱-۱- دستگاه‌های مورد نیاز جهت پایش لرزه‌ای یک سد	

۸۳.....	آرایش مکانی دستگاهها
۸۴.....	۳-۱-۴ شرایط ویژه نگهداری آرایه‌های شتابنگاری در سدها
۸۵.....	۴-۱-۴ آرایه سد شهید عباسپور
۸۶.....	۴-۲-۴ طراحی و اجرای آرایه شتابنگاری لرزه‌ای برای ساختمان‌های بلند
۸۷.....	۴-۲-۴-۱ آزمایشگاه طبیعی زمین
۸۸.....	۴-۲-۴-۲ تجربیات جهانی
۸۹.....	۴-۲-۴-۳ وضعیت موجود در کشور
۹۰.....	۴-۳-۴ آرایه‌های ساختمانی اجرا شده
۹۱.....	۴-۳-۴-۱ ساختمان وزارت مسکن و شهر سازی
۹۲.....	۴-۳-۴-۲ ساختمان مرکزی شرکت آب و نیروی ایران
۹۳.....	۴-۳-۴-۳ دستاوردهای کاربردی
۹۴.....	۴-۴-۴ طراحی و اجرای آرایه شتابنگاری درون چاهی
۹۵.....	۴-۴-۴-۱ دستاوردهای کاربردی
۹۶.....	۴-۴-۴-۲ برآورد میزان کاهندگی شتاب در اثر انفجار
۹۷.....	۴-۴-۴-۳ مطالعات زمین‌شناسی ساختنگاه ایستگاههای با روش لرزمنگاری
۹۸.....	۴-۴-۴-۴ ارزیابی ارتعاشات محیطی
۹۹.....	۴-۴-۴-۵ طراحی و اجرای سامانه پاسخ سریع زمین‌لرزه
۱۰۰.....	۴-۴-۴-۶ سیستم پاسخ سریع
۱۰۱.....	۴-۴-۴-۷ نقشه‌های لرزش
۱۱۱.....	۵-۱-۴-۱ وضعیت فعلی شبکه شتابنگاری و چشم انداز نزدیک
۱۱۲.....	۵-۱-۴-۲ انتقال داده‌ها
۱۱۳.....	۵-۱-۴-۳ پردازش داده‌ها
۱۱۴.....	۵-۱-۴-۴ نحوه اطلاع‌رسانی
۱۱۵.....	۵-۱-۴-۵-۱ بانک داده‌ها
۱۱۶.....	۵-۱-۴-۵-۲ بانک داده‌های ایستگاهها
۱۱۷.....	۵-۱-۴-۵-۳ بانک داده‌های شتابنگاری
۱۱۸.....	۵-۱-۴-۵-۴ پورتال اینترنتی و دسترسی به داده‌ها
۱۱۹.....	۵-۱-۴-۵-۵ کاربرد داده‌های شتابنگاری ایران
۱۲۰.....	۵-۱-۴-۵-۶ کاربرد داده‌های شتابنگاری در آینین‌نامه طراحی لرزه‌ای ایران، استاندارد ۲۸۰۰
۱۲۱.....	۵-۱-۴-۵-۷ کاربرد داده‌های شتابنگاری ایران در مطالعات بین‌المللی
۱۲۲.....	۵-۱-۴-۵-۸ کاربرد داده‌های شتابنگاری در مطالعات ریزی‌پنهانی لرزه‌ای
۱۲۳.....	۵-۱-۴-۵-۹ کاربرد داده‌های شتابنگاری در طراحی سازه‌ای
۱۲۴.....	۵-۱-۴-۵-۱۰ توانایی‌های فنی شبکه شتابنگاری
۱۲۵.....	۵-۱-۴-۵-۱۱ اثاق تست و کالیبراسیون دستگاههای شتابنگار
۱۲۶.....	۵-۱-۴-۵-۱۲ تهیه نقشه‌های واکنش سریع
۱۲۷.....	۵-۱-۴-۵-۱۳ سیستم هشدار سریع (زود هنگام)
۱۲۸.....	۵-۱-۴-۵-۱۴ طراحی و اجرای آرایه‌های پایه‌ای لرزه‌ای برای ساختگاههای سد
۱۲۹.....	۵-۱-۴-۵-۱۵ ارزیابی نویز (نوافه) محیطی در ساختگاههای خاص

## فهرست (ادامه)

---

۱۳۵	۶-۶-۵ مطالعات ژئوتکنیک لرزاهاي
۱۳۶	۷-۶-۵ پایش لرزاهاي و سنجش سلامت لرزاهاي برای سازههای مهم
۱۳۶	۷-۷-۵ چشم انداز آینده شبکه شتابنگاری
۱۳۸	۱-۷-۵ نوسازی شبکه
۱۳۹	۲-۷-۵ دستگاههای نسل جدید شتابنگاری
۱۴۱	منابع
۱۴۹	پیوست ۱
۱۶۷	پیوست ۲
۱۷۱	پیوست ۳



# فصل یکم

## مقدمه

---

نگاهی به گذشته پر فراز و نشیب سرزمین ایران نشان دهنده رویداد زمین‌لرزه‌های متعدد و ویرانگر در طول تاریخ آن بوده که متأسفانه تلفات انسانی فراوان و خسارات مالی گسترده، از ویژگی‌های اصلی آن‌ها بوده است. نظری به زمین‌لرزه‌های رویداده در ۶۰ سال اخیر همچون زمین‌لرزه بوین زهرا (۱۰ شهریور ۱۳۴۱ با بزرگای ۷/۲ و تلفات ۲۵ هزار نفر)، زمین‌لرزه‌های دشت بیاض و فردوس (۹ و ۱۰ شهریور ۱۳۴۷ با بزرگای ۷/۳ و ۶/۴ و تلفات ۱۲۰۰۰ نفر)، زمین‌لرزه طبس (۲۵ شهریور ۱۳۵۷ با بزرگای ۷/۴ و تلفات انسانی ۱۸۰۰۰ نفر)، زمین‌لرزه منجیل (۳۱ خرداد ۱۳۶۹ با بزرگای ۷/۴ و تلفات ۳۵۰۰۰ نفر)، زمین‌لرزه بهم (۵ دی ماه ۱۳۸۲ با بزرگای ۶/۴ و تلفات بیش از ۲۵۰۰۰ نفر) نشان دهنده عمق فاجعه انسانی و اقتصادی گسترده‌ای است که رویداد زمین‌لرزه‌ها می‌تواند در این سرزمین بر جای گذارد. بدیهی است گسترش شهرنشینی مدرن در سالیان اخیر و توسعه شهرهای بزرگ در راستای گسل‌های لرزه‌زا و فعال، آسیب پذیری مناطق پر تراکم شهری را در مقابل اینگونه زمین‌لرزه‌ها بیش از پیش آشکار می‌سازد. جای خوشوقتی است که در تاریخ زمین‌لرزه‌های معاصر ایران، رویدادهای با بزرگای بیش از ۷ همگی در مناطق روستایی و شهری با جمعیت کمتر از یکصدهزار نفر بوده است که در غیر اینصورت با تلفات بیشتری همراه بود. در آیین‌نامه طراحی ساختمان‌ها در برابر زلزله، ویرایش چهارم استاندارد ۲۸۰۰ مرکز تحقیقات راه، مسکن و شهرسازی، نقشه پهنه‌بندی خطر نسبی زمین‌لرزه در ایران آورده شده است که طبق آن حدود ۸۷ درصد از مراکز جمعیتی کشور در محدوده خطر نسبی وقوع زمین‌لرزه با احتمال زیاد و خیلی زیاد قرار گرفته‌اند.

آنچه مسلم است، راهکارهای اندیشیده شده در راستای کاهش خسارات ناشی از رویداد زمین‌لرزه‌ها

می‌تواند در کوتاه مدت و بلند مدت منجر به کاهش تلفات و خسارات ناشی از رویداد این پدیده طبیعی گردد. در این میان نقش مراکز تحقیقاتی به عنوان متولی و پرچمدار توسعه دانش در کشور جهت تهیه دستورالعمل‌های طراحی مقاوم سازه‌ها در برابر زمین‌لرزه، از جایگاه والایی برخوردار می‌باشد. یکی از مهم‌ترین ابزارهای دانشمندان در مسیر شناسایی و مقابله با اثرات زمین‌لرزه‌ها، نصب شبکه‌های ثبت جنبش نیرومند زمین در مناطق لرزه‌خیز است که می‌تواند حرکات شدید زمین را که اصولاً آسیب‌پذیر نیز می‌باشند را ثبت نموده و با دقیق بالایی، اطلاعات مورد نیاز دانشمندان علوم مهندسی زلزله و زلزله‌شناسی مهندسی را فراهم نماید. این مهم اکنون در کشورهای پیشرفته و لرزه‌خیز کاملاً شناخته شده است و از دهه‌های قبل با راهاندازی شبکه‌های مختلف شتابنگاری خود را نشان داده است. در ایران نیز از ابتدای دهه پنجاه خورشیدی این مهم به همت افرادی مانند مهندس معین‌فر راهاندازی شده و هم اکنون با گذشت بیش از چهار دهه با دارا بودن بیش از ۱۱۰۰ دستگاه شتابنگار دیجیتال یکی از مهم‌ترین شبکه‌های ثبت جنبش نیرومند زمین در دنیا است. این نوشتار با هدف شناسایی و معرفی این شبکه ارزشمند، گردآوری شده است و هدف آن شناساندن شبکه ثبت جنبش نیرومند زمین (شبکه ملی شتابنگاری) می‌باشد. در ادامه معرفی زلزله‌شناسی جنبش نیرومند<sup>۱</sup>، تاریخچه شتابنگاری، معرفی شبکه دستگاه‌ها، مجموعه داده‌های مهم، پژوهش‌های مهم انجام شده و توانایی‌های شبکه آورده شده است.

## ۱- زلزله‌شناسی جنبش نیرومند و رابطه شدت و شتاب زمین‌لرزه

زلزله‌شناسی جنبش نیرومند زمین، علمی است که در مورد اندازه‌گیری، تفسیر و برآورد اثرات ناشی از جنبش نیرومند زمین ایجاد شده توسط زمین‌لرزه‌های مخرب بحث می‌کند. در واقع این اندازه‌گیری‌ها، ابزار اساسی جهت توسعه تعاریف جهانی ویژگی‌های لرزش نیرومند هستند. اهداف اصلی علم زلزله‌شناسی جنبش نیرومند، بهبود فهم علمی فرآیندهای فیزیکی ناشی از لرزش‌های شدید زمین، توسعه مدل‌های لرزه‌ای قابل اعتماد و طراحی مقاوم لرزه‌ای برای کاهش خسارات جانی و مالی طی زمین-لرزه‌های مخرب است. زمین‌لرزه‌ها توسط مقیاس‌های مختلفی همچون بزرگاً، شدت و شتاب معرفی و

<sup>۱</sup> Strong Motion Seismology

اندازه‌گیری می‌شوند. هر کدام از این مقیاس‌ها مشخصات خاصی از یک زمین‌لرزه را برای مقاصد متفاوت بیان می‌کنند. مثلاً بزرگای یک زمین‌لرزه مقدار انرژی آزاد شده در چشمۀ و کانون زمین‌لرزه را بیان می‌کند که برای یک زمین‌لرزه همواره ثابت می‌باشد و مقدار آن بر اساس امواج ثبت شده در لرزه‌نگارها قابل اندازه‌گیری می‌باشد. بزرگای یک زمین‌لرزه، خود بصورت انواع مختلفی و براساس معیارهای مختلفی برآورد می‌شوند که عبارتند از بزرگای محلی ( $M_L$ ), بزرگای امواج حجمی ( $m_b$ ), بزرگای امواج سطحی ( $M_S$ ) و بزرگای گشتاوری ( $M_W$ ). مقیاس دیگر شدت زمین‌لرزه می‌باشد که از زمان‌های گذشته به دلیل عدم وجود دستگاه‌های ثبت زمین‌لرزه، اقدام مرسومی بوده است. از پارامتر شتاب نیز در بیان میزان قدرت یک زمین‌لرزه استفاده می‌شود که در ادامه تعاریف این مقیاس‌ها به اختصار آمده است.

### ۱-۱-۱- بزرگای محلی $M_L$

در سال ۱۹۵۳ میلادی، پروفسور چارلز ریشر، یک مقیاس بزرگاً برای زمین‌لرزه‌های کم عمق و محلی برای کالیفرنیای جنوبی ارائه کرد. این مقیاس همچنین به عنوان مقیاس ریشر نیز شناخته می‌شود. بدلیل اینکه این مقیاس برای زمین‌لرزه‌های محلی و کم عمق ارائه شده بود، به مقیاس بزرگای محلی معروف گشته است. این بزرگاً بوسیله رابطه زیر ارائه گردید:

$$M_L = \log A - \log A_0 = \log A / A_0 \quad (1)$$

که در این معادله  $M_L$  به عنوان بزرگای محلی و  $A$  بیانگر حداقل دامنه عمودی ثبت شده است که توسط دستگاه لرزه‌نگار وود- اندرسون<sup>۱</sup> با زمان تناوب طبیعی  $8/0$  ثانیه، ضریب میرایی  $80\%$  و بزرگنمایی  $2800$  اندازه‌گیری شده و بر حسب میلی‌متر می‌باشد. همچنین  $A_0$  نیز برابر با  $1000$  میلی‌متر است که بیانگر حداقل دامنه قابل ثبت توسط لرزه‌نگار می‌باشد. با تصحیح این بزرگاً برای فواصل دورتر میتوان بزرگای محلی را به دست آورد. در ایران پژوهشگاه زلزله‌شناسی توسط این مقیاس، بزرگای رویدادهای زمین‌لرزه را گزارش می‌کند.

<sup>۱</sup> Wood-Anderson

### ۱-۲-۳-بزرگای امواج سطحی $M_S$

این بزرگاً بر مبنای مقدار دامنه امواج سطحی بدست می‌آید. برای فاصله‌های بزرگتر از ۲۰۰ کیلومتر، بزرگترین نسبت  $(A/T)_{max}$  در یک لرزه‌نگار باند پهن و برای فاصله‌های زیاد (۶۰۰ تا ۱۰۰۰ کیلومتر) برای لرزه‌نگارهای پریود بلند، در امواج سطحی حاکم می‌باشد که حدود ۲۰ ثانیه می‌باشد. اولین بزرگای امواج سطحی توسط گوتبرگ و ریشر (۱۹۵۶) به شکل ذیل بیان شده است:

$$M_S = \log A' + 1.66 \log \Delta + 2.0 \quad (2-1)$$

که در این معادله،  $M_S$  مقیاس بزرگای امواج سطحی،  $A'$  بیانگر حداکثر تغییرمکان زمین بر حسب  $\mu m$  و  $\Delta$  بیانگر فاصله رومکز لرزه‌نگار به درجه می‌باشد. این مقیاس به نسبت مقیاس محلی بدليل اینکه توسط مقدار تغییرمکان محاسبه می‌شود مزیت دارد. این مقیاس معمولاً برای زمین‌لرزه‌های متوسط و بزرگ که دارای عمق زیاد (تا ۶۰ کیلومتر) می‌باشند، مناسب است و حداقل فاصله لرزه‌نگار باید حدود ۱۰۰۰ کیلومتر با رومکز زمین‌لرزه فاصله داشته باشد.

### ۱-۳-۳-بزرگای گشتاوری $M_W$

بزرگای گشتاوری توسط کاتانموری (۱۹۷۷) توسعه داده شد که برابر با معادله ذیل است.

$$M_W = 2 / 3 \log M_0 - 6.07 \quad (3-1)$$

که در این معادله  $M_0$  مقدار گشتاور اندازه‌گیری شده بر حسب Nm می‌باشد که بر اساس ابعاد صفحه گسل بدست می‌آید. دقیقترین بزرگاً که می‌تواند در همه دنیا مورد استفاده قرار گیرد همین بزرگاً است که بر اساس انرژی آزاد شده توسط زمین‌لرزه اندازه گیری می‌شود و برخلاف دیگر مقیاس‌های بزرگاً اشباع نمی‌شود. هم اکنون مراکز جهانی GCMT، GFZ و NEIC این بزرگاً را براساس حل صفحه زمین‌لرزه ارائه می‌کنند.

### ۱-۴-مقیاس بزرگای امواج $L_L$

این مقیاس با استفاده از امواج  $L_L$  در محدوده فاصله محلی و ناحیه‌ای ( $\Delta < 30^\circ$ ) کاربرد دارد. این مقیاس بزرگاً تقریباً شبیه بزرگای محلی  $M_L$  می‌باشد که بیشتر در آمریکای شمالی استفاده می‌شود. مرکز

لرزه‌نگاری موسسه ژئوفیزیک دانشگاه تهران از این مقیاس که به صورت  $M_N$  نامیده می‌شود، جهت گزارش رویدادهای لرزه‌ای استفاده می‌نماید.

### ۱-۱-۵- مقیاس بزرگ‌گای امواجی حجمی $m_b$

مقیاس  $m_b$  یکی از مقیاس‌هایی است که بصورت گستردۀ برای گزارش بزرگی رویدادهای لرزه‌ای ثبت شده در فاصله ناحیه‌ای ( $\Delta > 30$ )، مورد استفاده قرار گرفته است. این بزرگاً بر اساس حداکثر دامنه موج اولیه<sup>۱</sup> که در لرزه‌نگارهای پریود کوتاه (SP) ثبت شده‌اند، بدست می‌آید.

$$m_b = \log \left( A/T \right) + Q(\Delta, h) \quad (۴)$$

که در این رابطه  $A$  حداکثر دامنه بر حسب  $nm$  یا  $\mu m$  (براساس نوع تابع  $Q$  مورد استفاده) می‌باشد. بیانگر زمان تناوب طبیعی و  $Q$  تابع تخمین جنبش زمین که خود تابعی از فاصله رومركزی  $\Delta$  و عمق کانونی  $h$  می‌باشد. همچنین فاصله رومركزی باستی بین ۲۰ تا ۱۰۰ درجه باشد. تابع تخمین جنبش زمین نیز بر مبنای استاندارد IASPEI، همان تابع اصلی که توسط گوتنبرگ و ریشر (۱۹۵۶) برای امواج  $p$  ثبت شده بر روی لرزه‌نگار عمودی معروفی شده را پیشنهاد داده است. این بزرگاً هم اکنون توسط USGS و ISC مورد استفاده قرار می‌گیرد.

### ۱-۶- شدت زمین‌لرزه

شدت زمین‌لرزه یک پارامتر کیفی برای بیان قدرت زمین‌لرزه است و بدلیل اینکه بدون نیاز به دستگاه خاصی، توسط افراد قابل اندازه‌گیری می‌باشد، همچنان کاربرد دارد. البته دلایل دیگری نیز را می‌توان جهت ضرورت استفاده از مقیاس شدت در دنیای امروزی ذکر کرد که از جمله برآورد بزرگ‌گای زمین‌لرزه‌های تاریخی می‌باشد. شدت زمین‌لرزه بیانگر میزان لرزش تولید شده توسط زمین‌لرزه در یک نقطه مشخص می‌باشد که برای نقاط با فواصل مختلف از چشمۀ زمین‌لرزه، متغیر است. برآورد شدت بر اساس روابط ریاضی نمی‌باشد، بلکه برای یک نقطه بر اساس میزان احساس مردم و تاثیر بر سازه‌های همان نقطه مورد نظر برآورد می‌شود. در واقع برای یک زمین‌لرزه با بزرگ‌گای مشخص، شدت‌های مختلفی در

<sup>۱</sup> P-wave

فواصل متفاوت قابل انتظار است. شدت بصورت عدد یونانی بیان میشود و مقیاس‌های مختلفی جهت اندازه‌گیری آن وجود دارد که معروف‌ترین آن‌ها مقیاس مرکالی اصلاح شده<sup>۱</sup> *MMI* و مقیاس اروپایی<sup>۲</sup> *EMS-98* می‌باشد که به دوازده رده مختلف تقسیم‌بندی می‌گردد.

### ۷-۱-۱-شتاب زمین‌لرزه

مقیاس دیگر اندازه‌گیری زمین‌لرزه، شتاب ناشی از زمین‌لرزه می‌باشد که همچون شدت برای هر نقطه متفاوت بوده و برابر با حداکثر شتاب ثبت شده در هر نقطه می‌باشد. در واقع شتاب برابر با میزان تغییر سرعت در واحد زمان می‌باشد و شتاب هر نقطه را صرفاً می‌توان با نصب سنسور شتابنگار در همان نقطه اندازه‌گیری کرد. واحد اندازه‌گیری شتاب *g* بوده که برابر با ۹۸۰ سانتیمتر بر میزان ثانیه می‌باشد. شدیدترین جنبش‌های زمین، دارای شتابی بین ۱ تا <sup>۳</sup> برابر شتاب ثقل زمین (*g*) می‌باشند. لازم به ذکر است که شتاب زمین‌لرزه با مقادیر فوق به ندرت و در زمین‌لرزه‌های بزرگ روی می‌دهد. در شکل ۱-۱ پارامترهای حداکثر شتاب، سرعت و تغییرمکان زمین‌لرزه کوه-زرا (استان سمنان) نشان داده شده است.

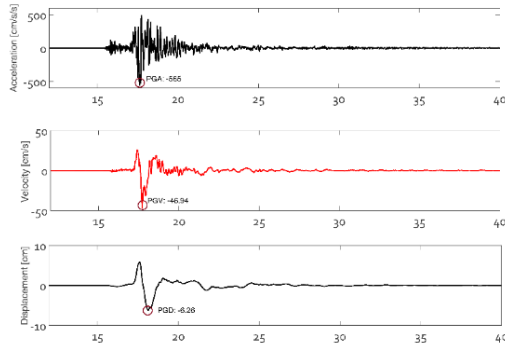
### ۱-۱-۸-رابطه بین بزرگا، شتاب و سرعت

بین بزرگا و شتاب و یا سرعت یک زمین‌لرزه یک رابطه مستقیم وجود دارد که هرچقدر بزرگا بیشتر باشد، شتاب و یا سرعت زمین در یک فاصله ثابت از مرکز زمین‌لرزه، بیشتر خواهد بود. البته در یک رویداد زمین‌لرزه، هر چقدر فاصله از چشمۀ زمین‌لرزه دورتر باشد انتظار داریم تا سرعت و شتاب زمین‌لرزه کمتر شود. از این‌رو می‌توان توابعی تجربی تهیه نمود تا بیانگر میزان شتاب بر حسب بزرگا و فاصله تا چشمۀ زمین‌لرزه باشد که این توابع به روابط کاهندگی معروف هستند. اخیراً این توابع با نام روابط تخمین جنبش زمین<sup>۳</sup> نامیده می‌شوند.

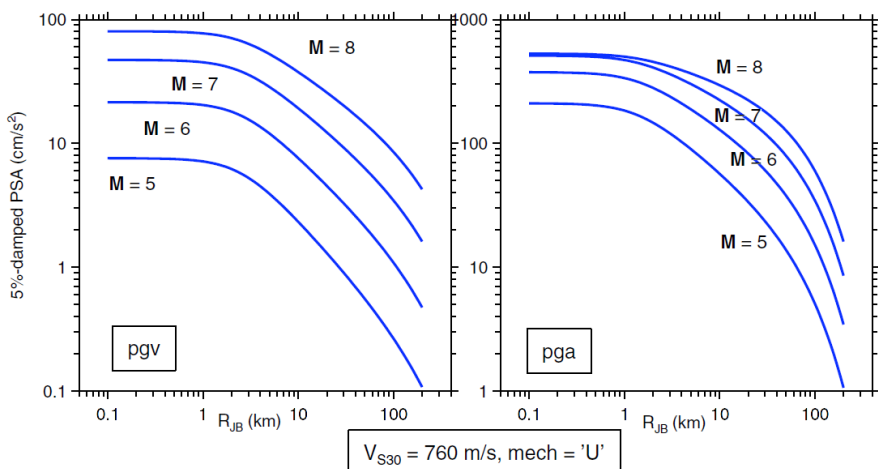
<sup>۱</sup> Modified Mercalli Intensity Scale

<sup>۲</sup> European macroseismic scale

<sup>۳</sup> Ground Motion Prediction Equation (GMPE)



شکل ۱-۱ پارامترهای حداکثر شتاب، سرعت و تغییرمکان زمین برای زمین لرزه کوه-زر (۱۳۸۹ استان سمنان)

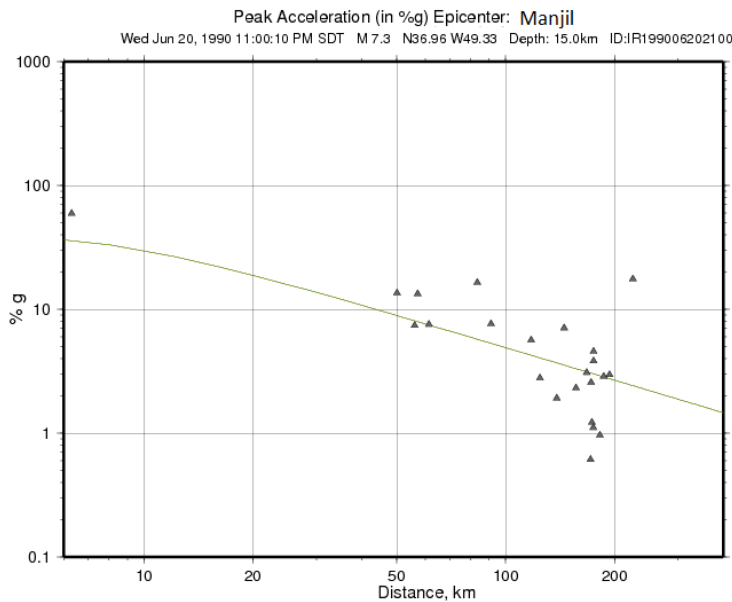


شکل ۲-۱ نسبت حداکثر شتاب زمین (راست) و حداکثر سرعت زمین (چپ) برای رودادهای با بزرگای مختلف بر حسب فاصله تا صفحه گسیختنی برای سرعت موج برنشی ۷۶۰ کیلومتر بر ثانیه، گسلش نامشخص بر اساس رابطه بور و اتکینسون (۲۰۰۸)

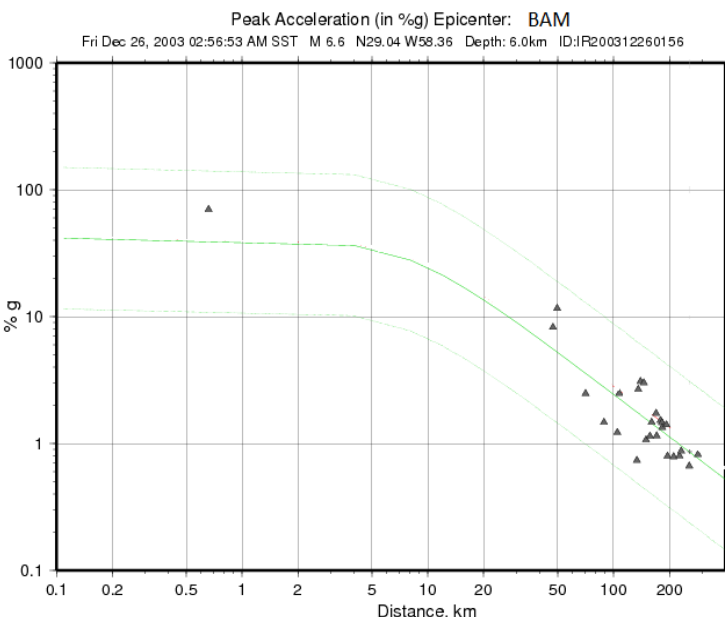
هدف از ارائه روابط تخمین جنبش زمین، تخمین پارامترهای زمین در یک ساختگاه مشخص می‌باشد، که تابعی است از بزرگا، فاصله تا محل زمین لرزه، مسیر و مشخصات خاک ساختگاه. همچنین معمولی‌ترین و پرکاربردترین پارامتر مهندسی زمین لرزه‌ها عبارتند از: حداکثر شتاب زمین، حداکثر سرعت زمین و شتاب طیفی برای میرایی٪. فرم تابع روابط تخمین جنبش زمین به شکل زیر بیان می‌شود:

$$\ln \hat{Y} = f(M_i R_i \sum Source_i, \sum Site_i) \quad (5-1)$$

رابطه (۵-۱)



شکل ۱-۳ نسبت شتاب و فاصله برای زمین‌لرزه ۱۳۶۹ منجیل، ایستگاه‌ها توسط مدل نشان داده شده‌اند.



شکل ۱-۴ نسبت شتاب و فاصله برای زمین‌لرزه ۱۳۸۵ بم، ایستگاه‌ها توسط مدل نشان داده شده‌اند.

که در معادله (۵)  $\hat{Y} = \ln \sum_{source_i} Z_i$ ، بیانگر تخمین لگاریتم طبیعی از پارامتر جنبش زمین است.  $M$  مقدار بزرگای زمین‌لرزه و  $R$  میزان فاصله رسیدن امواج در مسیر چشمی تا ساختگاه می‌باشد. عبارت  $\sum_{source_i}$  بیانگر دیگر پارامترهای مختلف مربوط به چشمی زمین‌لرزه (مانند نوع گسلش، ابعاد گسیختگی، صفحه گسل و شبیه گسل) و عبارت  $\sum_{site_j}$  بیانگر متغیرهای وابسته به ساختگاه (مانند متوسط سرعت موج برشی، مشخصات زمین‌شناسی یا عمق سنگ بستر) می‌باشد.

تفییرات حداکثر شتاب زمین و حداکثر سرعت زمین بر اساس رابطه تخمین جنبش بور و اتکینسون (۲۰۰۸) در شکل ۲-۱ نشان داده شده است. همچنین در شکل ۳-۱ و شکل ۴-۱ نسبت فاصله و شتاب برای زمین‌لرزه‌های منجیل و بم نشان داده شده است.

### ۱-۹-۱- رابطه بین شدت و شتاب

سه مقیاس فوق الذکر با یکدیگر متناسب بوده بدین شکل که معمولاً هر چقدر بزرگای زمین‌لرزه بیشتر باشد، شدت و شتاب بیشتری را در نزدیکی کانون زمین‌لرزه انتظار خواهیم داشت و با افزایش فاصله نسبت به کانون زمین‌لرزه، شدت و شتاب زمین‌لرزه کاهش خواهد یافت. البته تاثیرات توپوگرافی و نوع خاک ساختگاه مورد نظر می‌تواند میزان شدت و شتاب را بطور غیرمعمول افزایش دهد. همچنین بین شتاب و شدت نیز رابطه مستقیمی وجود دارد که هر چقدر شدت زمین‌لرزه بیشتر باشد، شتاب مورد انتظار نیز بیشتر است و بالعکس. در جدول ۱-۱ میزان تناسب و حدود شدت و شتاب برای زمین‌لرزه‌های ایران ذکر شده است (شاهوار، ۱۳۹۲). در رابطه ۶-۱ و ۷-۱ نیز روابط بین شدت و شتاب برای ایران (شاهوار، ۱۳۹۲) و جهان (والد و همکاران، ۱۹۹۹) آورده شده است.

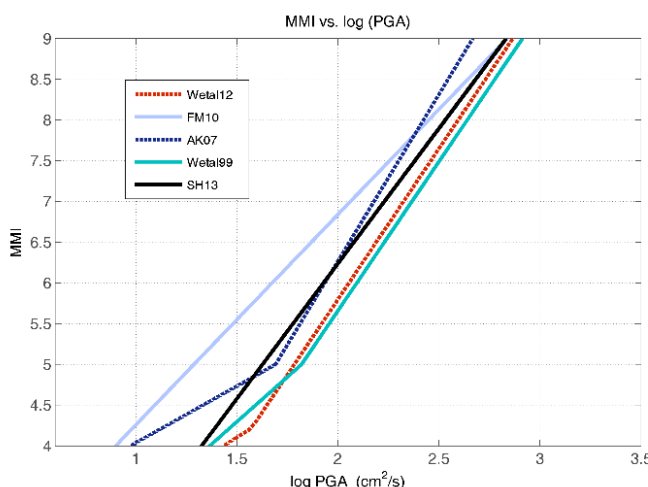
$$MMI = 3.32 \log(PGA) - 0.399 \quad (6-1)$$

$$MMI = 3.66 \log(PGA) - 1.66 \quad (7-1)$$

که در این روابط  $MMI$  شدت مرکالی اصلاح شده و  $PGA$  حداکثر شتاب زمین می‌باشد. از این روابط می‌توان جهت تخمین میزان شدت دستگاهی برای یک ساختگاه دارای ایستگاه شتابنگار استفاده نمود. مهم‌ترین کاربرد این روابط برای تولید نقشه‌های واکنش سریع می‌باشد که در فصل‌های چهارم و پنجم

به آن‌ها پرداخته شده است. رابطه تخمین شدت ارائه شده برای ایران و دیگر کشورها در شکل ۱ ترسیم شده‌اند. در این شکل رابطه وردن و همکاران (۲۰۱۲) با نام اختصاری Wetal12، رابطه فانتزا و میچلینی (۲۰۱۰) با نام اختصاری FM10، رابطه اتکینسون و کاکا (۲۰۰۷) با نام AK07، رابطه والد و همکاران (۱۹۹۹) با نام اختصاری Wetal99 و رابطه شاهوار (۱۳۹۲) با نام اختصاری SH13 نامگذاری شده‌اند.

آستانه تعریف جنبش نیرومند از منظر میزان شتاب متغیر بوده و عددی در حدود  $10 \text{ cm/s/s}$  را می‌توان عددی منطقی در نظر گرفت. دستگاه‌های شتابنگار قدیمی که در نیمه‌های قرن بیستم میلادی تولید می‌شدند، قادر به ثبت شتاب‌های کمتر از این عدد نبودند و از این‌رو قرار دادن این عدد برای معیار جنبش نیرومند زمین منطقی به نظر می‌رسید. در مقام مقایسه باید گفت مردمی که در حال استراحت هستند قادر به احساس جنبش‌هایی در حد شتاب ۱ سانتی متر بر محدود ثانیه می‌باشند. در زمین‌لرزه‌های با بزرگای متوسط خسارات به ساختمان‌هایی که مقاوم در برابر زمین‌لرزه طراحی نشده‌اند، در شتاب‌هایی با بیش از ۱۰۰ سانتی متر بر محدود ثانیه روی می‌دهد. اصولاً زمین‌لرزه‌های با بزرگای کمتر از ۵ در زلزله‌شناسی جنبش نیرومند اهمیت کمتری دارند. این زمین‌لرزه‌ها قاعده‌تا نمی‌توانند به ساختمان‌های مقاوم خساراتی وارد نمایند.



شکل ۱-۵ روابط مختلف تبدیلی شتاب و شدت به یکدیگر

جدول ۱-۱ نسبت شدت دستگاهی و شتاب با توجه رابطه شدت-شتاب (شاھوار ۱۳۹۲)

شدت دستگاهی	شتاب (g)	لرزش احساس شده	خسارت محتمل
I	کوچکتر از ۰/۰۰۵۳	بدون احساس	بدون خسارت
II-III	۰/۰۱۵- ۰/۰۰۵۳	ضعیف	بدون خسارت
IV	۰/۰۴۳- ۰/۰۱۵	کم	بدون خسارت
V	۰/۰۸۶- ۰/۰۴۳	متوسط	خیلی کم
VI	۰/۱۷- ۰/۰۸۶	زیاد	کم
VII	۰/۳۴- ۰/۱۷	خیلی زیاد	متوسط
VIII	۰/۶۹- ۰/۳۴	شدید	متوسط تا زیاد
IX	۱/۳۷۴- ۰/۶۹	بسیار شدید	زیاد
X+	بزرگتر از ۱/۳۷۴	وحشتناک	خیلی زیاد

تنها درصد کمی از این زمینلرزه‌ها می‌توانند باعث تلفات شوند، آن هم اگر در مناطق با ساخت و ساز ضعیف روی دهند. از آنجا که هر چقدر بزرگای زمینلرزه افزایش پیدا کند، توانایی تخریب و همچنین ایجاد تلفات انسانی رشد خواهد کرد، رویدادهای لرزه‌ای با بزرگای بین ۶ تا ۸ غالباً بیشترین مسئولیت را در برابر خسارات مهم بر عهده دارند. رویدادهای با بزرگای بیش از ۸، البته پتانسیل تخریب بی اندازه‌ای را دارا بوده اما خوشبختانه میانگین وقوع آن‌ها تنها یک رویداد در سال در کل جهان بوده که اغلب در مرزهای برخوردی و فرورانشی ورقه‌های زمین‌ساختی، بخصوص در مناطق اقیانوسی و مراز قاره‌ها روی می‌دهند.

ثبت داده‌های جنبش نیرومند سخت‌تر از اندازه‌گیری و ثبت داده در سایر حوزه‌های مربوط به زلزله‌شناسی است که علت این مسئله به دلیل اتفاقی بودن رویداد زمینلرزه‌های بزرگ و مشکلات ناشی از جنبش نیرومند برای ابزارگذاری و نصب تجهیزات در مناطق با پتانسیل لرزه‌خیزی بالا است.

در مباحث مربوط به لرزه‌نگاری، با توجه به مشخصات دستگاهها و ابزارهای اندازه‌گیری، حساسیت و دامنه امواج ثبت شده متفاوت می‌باشد. به عنوان نمونه یک رویداد با بزرگای ۶ در تمام نقاط دنیا با دستگاههای لرزه‌نگار قابل شناسایی و ثبت می‌باشد، همچنین جهت پایش زمینلرزه‌های خرد و کوچک، نیازمند به دستگاههای لرزه‌نگاری است که امواج ثبت شده توسط این نوع دستگاهها کاربردهای مختلفی

در علم زلزله شناسی همچون مطالعه ساختار پوسته زمین و یا لرزه‌زمین ساخت دارد. اما از آنجا که در زمین‌لرزه‌های شدید، این نوع دستگاه‌ها با توجه به دامنه بالای امواج، اشباع شده و نمی‌توانند میزان حداکثر دامنه امواج را ثبت کنند، دستگاه‌های شتابنگار با ویژگی‌های متفاوت، می‌توانند رکوردهای مناسبی از جنبش نیرومند زمین را ثبت کنند. قبل از ورود به بحث در مورد تاریخچه شتابنگاری در دنیا، به تعریف مختصری از شتابنگارها<sup>۱</sup> و اهمیت آن در ادامه پرداخت شده است.

## ۲-۱- شتابنگارها و اهمیت آن

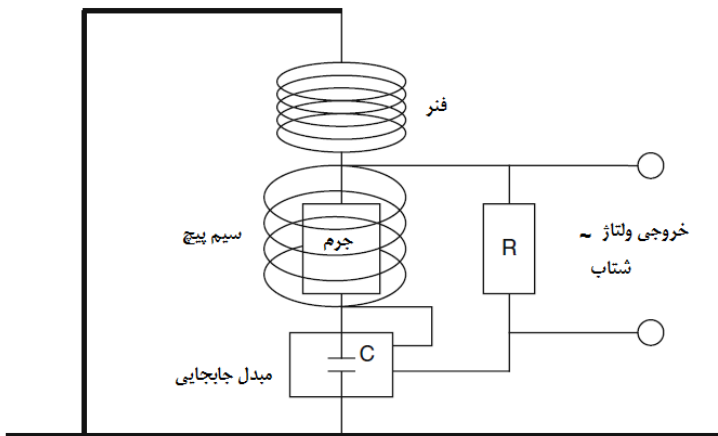
مهم‌ترین ابزار تشخیص و ارزیابی پارامترهای جنبش نیرومند زمین در زمین‌لرزه‌ها دستگاه‌هایی هستند که می‌توانند این حرکات را به خوبی ثبت نمایند. اندازه‌گیری دقیق این حرکات هم برای کاربردهای مهندسی زلزله و هم برای زلزله‌شناسی به شدت مورد نیاز است. بدون این اطلاعات امکان دستیابی منطقی به خطرات و تدوین روش‌های مناسب طراحی مقاوم در برابر زمین‌لرزه وجود نخواهد داشت. سیستم‌های اندازه‌گیری لرزه‌ای به دو گروه عمده شتابنگارها و لرزه‌نگارها<sup>۲</sup> تقسیم می‌شوند. لرزه‌نگارها به وسیله ژئوفیزیکدان‌ها و زلزله‌شناسان به منظور ثبت حرکات جزئی زمین در مقیاس بسیار کوچک که به طور طبیعی ممکن است قابل احساس نباشند، ساخته شده‌اند در حالی که شتابنگارها جهت ثبت حرکات نیرومند زمین در زمین‌لرزه‌های مخرب، توسط مهندسین زلزله طراحی شده‌اند. لرزه‌نگارها در نزدیکی کانون زمین‌لرزه‌ها اصطلاحاً اشباع می‌شوند، در حالی که شتابنگارها قادر به ثبت شتاب‌های بسیار بالا در نزدیکی کانون زمین‌لرزه‌ها هستند.

سنسورهای لرزه‌ای، حرکات ناشی از زمین‌لرزه را اندازه‌گیری کرده و به ولتاژ تبدیل می‌کند. این حرکات می‌تواند بصورت شتاب، سرعت و تغییر مکان نشان داده شوند. از آنجا که امواج زمین‌لرزه دارای دامنه‌های متفاوت فرکانسی هستند، سنسورهای مختلفی نیز جهت ثبت و اندازه‌گیری‌های آن‌ها جهت مقاصد مختلف ساخته شده است که می‌توان به دستگاه‌های شتابنگار و لرزه‌نگار اشاره کرد که از ساختار تقریباً

<sup>۱</sup> Accelerometer or Accelerograph

<sup>۲</sup> Seismometer or Seismograph

یکسانی برخوردار هستند. هر دستگاه شتابنگار یا لرزه‌نگار از دو بخش اصلی تشکیل شده‌اند که عبارتند از سنسور<sup>۱</sup> (ستجنه) و دیجیتایزر<sup>۲</sup> (رقومی‌ساز). اصلی‌ترین تفاوت دستگاه‌های شتابنگار با لرزه‌نگار در این است که لرزه‌نگارها جابجایی یا سرعت زمین را ثبت می‌کنند در حالی که شتابنگارها شتاب حرکت زمین را ثبت می‌نمایند. مبنای تمامی سنسورها بدین‌گونه است که یک جرم در پاسخ به حرکت زمین بایستی بطور نسبی نسبت به مرجع (سطح زمین) حرکت کند، بدین جهت یک جرم معلق را در تمامی سنسورها در نظر می‌گیرند.



شکل ۶-۱ نمایی ساده شده از ساختار یک شتابنگار

садه‌ترین شکل ممکن برای شتابنگارها را می‌توان به صورت یک سیستم یک درجه آزادی<sup>۳</sup> دارای جرم، فنر و میراکننده نمایش داد (شکل ۶-۱). بطور خلاصه می‌توان گفت که لرزه‌نگارها (با زمان تناوب کوتاه و یا باند پهن) جهت ثبت و مشاهده حرکات ناشی از زمین‌لرزه بصورت سراسری و جهانی، و در فواصل نزدیک تا بسیار دور کاربرد دارند، اما شتابنگارها جهت ثبت امواج حرکت زمین در زمین‌لرزه‌های بزرگ و در محدوده نزدیک به محل زمین‌لرزه (ثبت امواج غیر اشباع) کاربرد دارند. حتی در برخی موارد می‌توان از شتابنگارها بجای لرزه‌نگارهای با دوره تناوب کوتاه جهت ثبت و پایش زمین‌لرزه‌های محلی نیز استفاده

<sup>۱</sup> Sensor

<sup>۲</sup> Digitizer

<sup>۳</sup> SDOF (Single Degree of Freedom)

کرد (هاوسکف ۲۰۰۶). همانگونه که ذکر شد طراحی لرزه‌نگارها به طور کلی به گونه‌ای است که می‌توان با طراحی خاص خصوصیات مختلف زمین را اندازه‌گیری کرد. به مباحث ریاضی مربوط به پاسخ یک سیستم یک درجه آزادی در برابر لرزش زمین‌لرزه در اینجا پرداخته نمی‌شود ولی باید گفت برای فرکانس‌های حرکات زمین که بیش از فرکانس طبیعی لرزه‌نگار باشند، دامنه ثبت شده توسط دستگاه برابر دامنه جابجایی زمین است، در حالی که در فرکانس‌های کمتر از فرکانس طبیعی لرزه‌نگار، دامنه ثبت شده با دامنه شتاب زمین متناسب است.

پس یک سیستم لرزه‌نگار می‌تواند جابجایی‌ها را در فرکانس‌های بالا و شتاب‌ها را در فرکانس‌های پایین‌تر از فرکانس طبیعی خود اندازه‌گیری نماید که این وجه تمایز دستگاه‌های لرزه‌نگار و شتابنگار است.

کاربرد دستگاه‌های شتابنگار بیشتر در مباحث مربوط به زلزله‌شناسی مهندسی و مهندسی زلزله می‌باشد، اما کاربرد لرزه‌نگارها در زلزله‌شناسی و مطالعات اکتشافی می‌باشد. شتابنگارها حرکات نیرومند زمین را در سه مؤلفه عمود بر هم (دو جهت افقی و یک جهت عمودی) ثبت می‌نمایند. به نگاشتهای ثبت شده توسط سنسورهای شتابنگاری، شتابنگاشت گفته می‌شود.

## فصل دوم

### تاریخچه شتابنگاری در دنیا

بی تردید کوشش‌های بشر در مسیر شناسایی پدیده زمین‌لرزه به هزاران سال پیش بر می‌گردد. رویداد زمین‌لرزه در کشورهایی مانند چین و ژاپن که در برهه‌ای از زمان، مهد تمدن و شکوفایی علوم باستانی بوده‌اند، باعث گردید که پادشاهان و امپراطوران این سرزمین کوشش‌های قابل توجهی را در راستای ساخت این پدیده انجام دهند. معروفترین سند در این زمینه دستگاه لرزه‌نمایی<sup>۱</sup> بوده است که در چین باستان برای مشخص نمودن رویداد و جهت حادث شدن یک زمین‌لرزه ساخته شده بود و نمونه‌های آن هم اکنون در موزه‌های تاریخ علم و تصویر آن در اکثر کتاب‌های مرجع لرزه شناسی ارائه گردیده است. این نمونه جالب توجه توسط دانشمندی چینی به نام چانگ هنگ<sup>۲</sup> در سال ۱۳۲ میلادی ساخته شد که در آن از پاندول‌های عمودی استفاده شده بود، که در هنگام زمین‌لرزه و در اثر افتادن گوی‌های فلزی می‌توانستند به جهت رویداد زمین‌لرزه پی ببرند. در این دستگاه گوی فلزی در دهان ۶ (یا بیشتر) اژدهایی قرار داشت که در زیر آن‌ها قورباغه‌های فلزی با دهان باز قرار داشتند، فرض بر این بود که جهت زمین‌لرزه در راستای اژدهایی بود که توب از دهانش خارج می‌شد (شکل ۱-۲).

#### ۱-۲- تاریخچه ساخت شتابنگار

از اوایل سال‌های ۱۷۰۰ میلادی به این سوتلاش بشر برای ثبت زمین‌لرزه‌ها وارد مرحله تازه‌ای شد. اولین تلاش‌ها برای استفاده از پاندول‌ها در ساختار لرزه‌نما به سلسله زمین‌لرزه‌هایی بر می‌گردد که در سال ۱۷۳۱ میلادی در ناپل ایتالیا روی دادند. در سال ۱۷۸۳ پس از زمین‌لرزه مخرب کالابریا، اولین کمیسیون زمین‌لرزه تشکیل و موظف به مطالعه اثرات زمین‌لرزه‌ها گردید. زمین‌لرزه کالابریا منجر به

<sup>۱</sup> Seismo Scope

<sup>۲</sup> Chang Heng

تلاش‌های بسیاری در ساخت نمونه‌های مختلف لرزه‌نما برای پیدا کردن جهت زمین‌لرزه‌ها گردید. با کوشش‌های فراوان و در سالیان بعد، نمونه‌های پیشرفته‌تری از لرزه‌نماها ساخته شد که در آن از پاندول‌ها، جوهر و نوارهای کاغذی برای مشخص نمودن جهت زمین‌لرزه‌ها استفاده می‌شد.

شکل ۱-۲ نمایی از یک دستگاه لرزه‌نما  
در سال ۱۳۲ میلادی



روند ساخت لرزه‌نماها منجر به ساخت اولین لرزه‌نگار در سال ۱۸۷۵ میلادی در ایتالیا گردید. اولین لرزه‌نگار ساخته شده دارای سه پاندول برای ثبت حرکت زمین در سه جهت بوده و بزرگنمایی آن حدود ۳ بود. این دستگاه یک زمین‌لرزه بزرگ در مرز فرانسه- ایتالیا را ثبت نمود. در همین زمان تعدادی از دانشمندان انگلیسی در ژاپن بر روی توسعه لرزه‌نگارها کار نمودند. اولین لرزه‌نگار محصول این همکاری دارای یک پاندول ۲۱ فوتی (۶۴۰ سانتی‌متر) و پریود طبیعی ۵ ثانیه و بزرگنمایی ۶ برابری بود. در این لرزه‌نگار برای اولین بار از یک پاندول افقی استفاده شد و اولین لرزه‌نگاشت دارای زمان در سال ۱۸۸۰ ثبت گردید.

روند توسعه و ساخت لرزه‌نگارها در اواخر قرن نوزدهم همچنان به رشد خود ادامه می‌داد. یکی از اولین لرزه‌نگاشت‌های ثبت شده از یک زمین‌لرزه دوردست در سال ۱۸۸۹ ثبت گردید. در سال ۱۸۹۸ ویچرت<sup>۱</sup>، میرایی چسبنده<sup>۲</sup> پاندول را با استفاده از مقاومت هوا در یک پیستون و سیلندر به منظور تامین میرایی

<sup>۱</sup> Wiechert

<sup>۲</sup> Viscous Damping

مورد نیاز لرزه‌نگار به وجود آورد. در لرزه‌نگار اولیه ویچرت از یک پاندول افقی و سیستم ثبت بر روی فیلم استفاده می‌شد و لرزه‌نگار دوم وی دارای جرمی به وزن ۱۰۰۰ کیلوگرم و بزرگنمایی ۲۰۰ و سیستم ثبت بر روی کاغذ دود آندود بود. در ابتدای سده بیستم بود که تلاش‌ها و کوشش‌ها برای ساخت دستگاه‌های شتابنگار زمین‌لرزه آغاز گردید.

بی‌تردید بحث شتابنگاری و مطالعات جنبش نیرومند زمین در جهان مرهون تلاشهای دو تن از دانشمندان بزرگ می‌باشد که یکی از قاره آسیا و دیگری از قاره آمریکا می‌باشند (شکل ۲-۲).

کیوجی سایه هیرو<sup>۱</sup> (۱۸۷۷-۱۹۳۲) عضو آکادمی سلطنتی ژاپن و پروفسور در رشته مکانیک کاربردی در دانشگاه سلطنتی توکیو بود. پس از زمین‌لرزه ۱۹۲۳ توکیو، زمانی که دولت ژاپن موسسه تحقیقات زمین‌لرزه را راه‌اندازی کرد، وی به عنوان اولین مدیر این موسسه انتخاب گردید. او مطالعات فراوانی در خصوص رفتار ساختمان‌ها در هنگام رویداد زمین‌لرزه انجام داد و به نوعی می‌توان او را پدر علم مهندسی زلزله نامید. او در سال ۱۹۳۱ به دعوت پروفسور جان فریمن<sup>۲</sup> به آمریکا رفت و سخنرانی‌های بسیار مفید وی باعث ایجاد شور و هیجان زیادی در فرآیندی زلزله‌شناسی مهندسی در دانشگاه‌های معروف آمریکا گردید.

پروفسور سایه هیرو در این سخنرانی‌ها به اهمیت اندازه‌گیری‌های جنبش‌های نیرومند زمین (به صورت مستقیم) تاکید فراوان داشت و آن را جهت پیشرفت علم زلزله شناسی مهم می‌دانست. برای این مهم پیشنهاد تغییر لرزه‌نگار وود - آندرسون<sup>۳</sup> را نمود که در آن زمان در آمریکا طراحی شده بود. بی‌تردید تلاش‌های سایه هیرو بدون کمک‌های فریمن راه به جایی نمی‌برد. وی یک مهندس عمران با گرایش هیدرولیک بود که از انسیتیتو تکنولوژی ماساچوست<sup>۴</sup> فارغ التحصیل شده بود. او در سن ۷۰ سالگی به زمین‌لرزه‌ها علاقمند گردید. وی با علم به اینکه کمبود فراوانی در زمینه کتاب‌های مربوط به زمین‌لرزه وجود دارد، اقدام به نوشتتن کتابی در مورد زمین‌لرزه تحت عنوان خسارات زمین‌لرزه و بیمه زمین‌لرزه نمود که در سال ۱۹۳۲ منتشر شد. در این کتاب او به طراحی و ساخت دستگاه برای ثبت جنبش‌های

<sup>۱</sup> Kyoji Suyehiro

<sup>۲</sup> John R. Freeman

<sup>۳</sup> wood Anderson

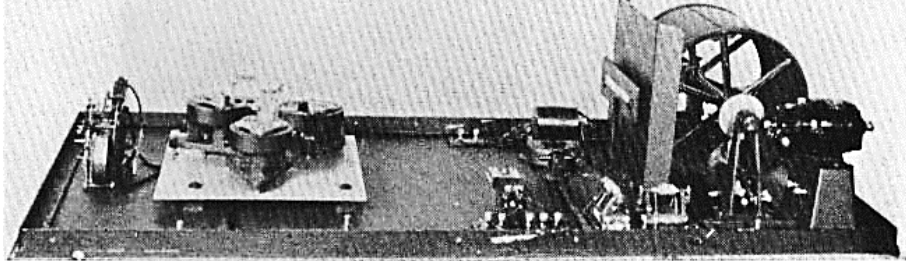
<sup>۴</sup> MIT

نیرومند زمین یا همان شتابنگار تاکید و ویژگی‌های این دستگاه را توصیف نمود (تریفوناک ۲۰۰۶).



شکل ۲-۲ جان فریمن (سمت راست) و سایه هیرو (سمت چپ) تریفوناک (۲۰۰۹)

تلاش‌های فریمن و سایه هیرو منجر به ساخت دستگاهی بر اساس لرزه‌نگار استاندارد وود اندرسون شد. در این سال‌ها تلاش‌های فراوانی در جهت ساخت دستگاه شتابنگار در ارگان‌های مختلف آغاز شد که نهایتاً منجر به ساخت دستگاه شتابنگار USC&GS گردید (شکل ۳-۲). اولین شتابنگاشت دنیا در زمین لرزه ۱۹۳۳ لانگ بیج توسط این دستگاه ثبت شده است (شکل ۴-۲). مشخصات این دستگاه عبارت بود از: استفاده از کاغذ ۱۲ اینچ عکاسی، دارا بودن ۳ کanal، ۶/۵ دقیقه ظرفیت ثبت و پاسخ دینامیکی DC -18 HZ.



شکل ۳-۲ نسخه اصلی از شتابنگار USC&GS که شتابنگاشت زمین لرزه لانگ بیج را در سال ۱۹۳۳ میلادی ثبت نمود.

نصب اولین دستگاه‌های شتابنگار در تابستان سال ۱۹۳۲ در آمریکا آغاز گردید. اولین دستگاه‌ها در لانگ‌بیچ، ورنون، ال ستررو و سن دیه گو نصب گردیدند. در ۲۰ دسامبر ۱۹۳۲ زمین‌لرزه‌ای با بزرگای  $\frac{7}{3}$  در نوادای غربی اتفاق افتاد. این زمین‌لرزه شتابنگار لانگ‌بیچ را فعال کرد و لیکن به دلیل اینکه زمین‌لرزه حدود ۵۶۰ کیلومتر دورتر اتفاق افتاده بود، بیشینه شتاب رکورد بسیار کوچک بود. این اولین رکورد شتابنگاشت ثبت شده به وسیله دستگاه شتابنگار USC&GS بود.

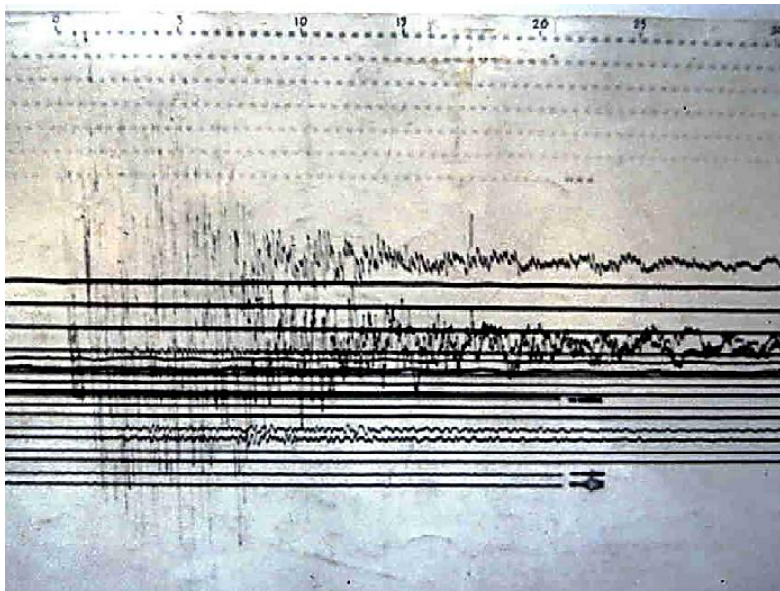
اما اولین شتابنگاشت جنبش نیرومند به معنای واقعی در اثر زمین‌لرزه ۱۰ مارس ۱۹۳۳ ثبت گردید، زمین‌لرزه اصلی لانگ‌بیچ، به وسیله ۳ ایستگاه شتابنگاری با حداکثر شتاب حدود ۲۷۹ سانتی متر بر محدوده ثانیه در ایستگاه لانگ‌بیچ به ثبت رسید. اهمیت این شتابنگاشت به این دلیل بود که این رکورد در واقع اولین شتابنگاشت جنبش نیرومند زمین در تاریخ زلزله‌شناسی مهندسی می‌باشد (شکل ۴-۲).

پس از زمین‌لرزه لانگ‌بیچ، توسعه دستگاه‌های شتابنگار به آهستگی آغاز و روند تکاملی ساخت دستگاه‌های شتابنگار به کندی ادامه پیدا کرد (هادسون ۱۹۸۳). در سال ۱۹۶۳ دستگاه شتابنگار AR-240 به عنوان اولین شتابنگار تجاری ساخته شد (شکل ۵-۲). این دستگاه دارای سه کانال با ۲۰ دقیقه ظرفیت ثبت و پاسخ فرکانسی DC-18HZ بود. در این دستگاه از کاغذ ۱۲ اینچ عکاسی استفاده شده بود. از دستگاه‌های AR-240 در حدود ۲۰۰ عدد ساخته شد. برخی از مشهورترین شتابنگاشتهای دنیا نظیر زمین‌لرزه پارک فیلد کالیفرنیا ۱۹۶۶، سد کوبنا در هند ۱۹۶۷ و سدپاکویما کالیفرنیا ۱۹۷۱ توسط این نوع از دستگاه ثبت گردیدند.

در همان زمان کارشناسان سازمان زمین‌شناسی آمریکا مشغول طراحی نسل جدیدی از دستگاه‌های شتابنگار قدیمی آن سازمان بودند که این کوشش‌ها منجر به ساخت شتابنگار Mark II گردید. ۶ عدد از این نوع شتابنگار ساخته شد، ولی از آنجایی که عملاً در مقابل شتابنگار AR-240 توان رقابت نداشت، تولید آن متوقف گردید (شکل ۶-۲).

همچنین در این سال‌ها شتابنگار MO2 نیز توسط یک گروه از دانشمندان نیوزیلند، طراحی و ساخته شد که در این دستگاه نگاشت زمین‌لرزه بر روی فیلم ۳۵ میلیمتری ضبط می‌گردید. تولید این دستگاه که دارای استارتر الکترونیکی بود با حدود یک سوم هزینه دستگاه AR-240 صورت گرفت (شکل ۷-۲).

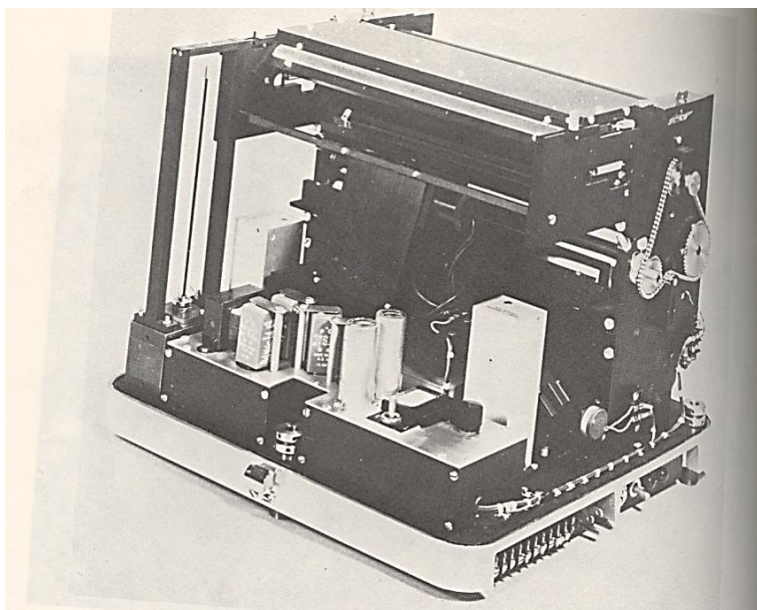
توسعه دستگاه شتابنگار در این سال‌ها در نهایت به تولید مدل RFT250 توسط شرکت تلداين<sup>۱</sup> با نصف هزینه AR240 ختم شد (شکل ۴-۲). در این دستگاه از یک مبدل ساده استفاده و نگاشت زمین‌لرزه بر روی فیلم ۷۰ میلیمتری ضبط می‌گردید. محصول بعدی این شرکت دستگاه شتابنگار RMT280 بود (شکل ۹-۲) این شتابنگار اولین دستگاه آنالوگ بود که جنبش‌های زمین را بر روی نوار ضبط نمود. در سال ۱۹۶۹ گروهی از کارشناسان دست اندکار تولید دستگاه‌های شتابنگار، کمپانی کینمتریکس<sup>۲</sup> را پایه گذاری نمودند که تولیدات این شرکت انقلابی در تولید دستگاه‌های شتابنگار ایجاد نمود.



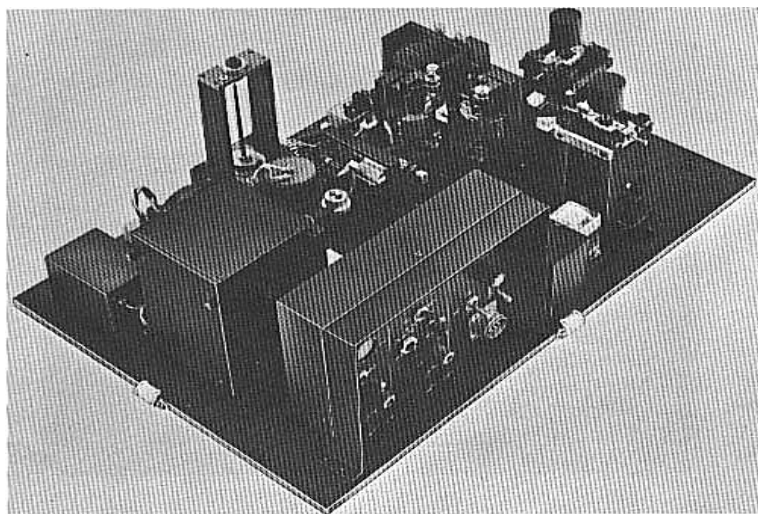
شکل ۴-۲ اولین شتابنگاشت ثبت شده در زمین‌لرزه لانگ‌بیچ ۱۹۳۳ امریکا (نسخه اصلی) تریفوناک (۲۰۰۹)

<sup>۱</sup> Teledyne Earth Science

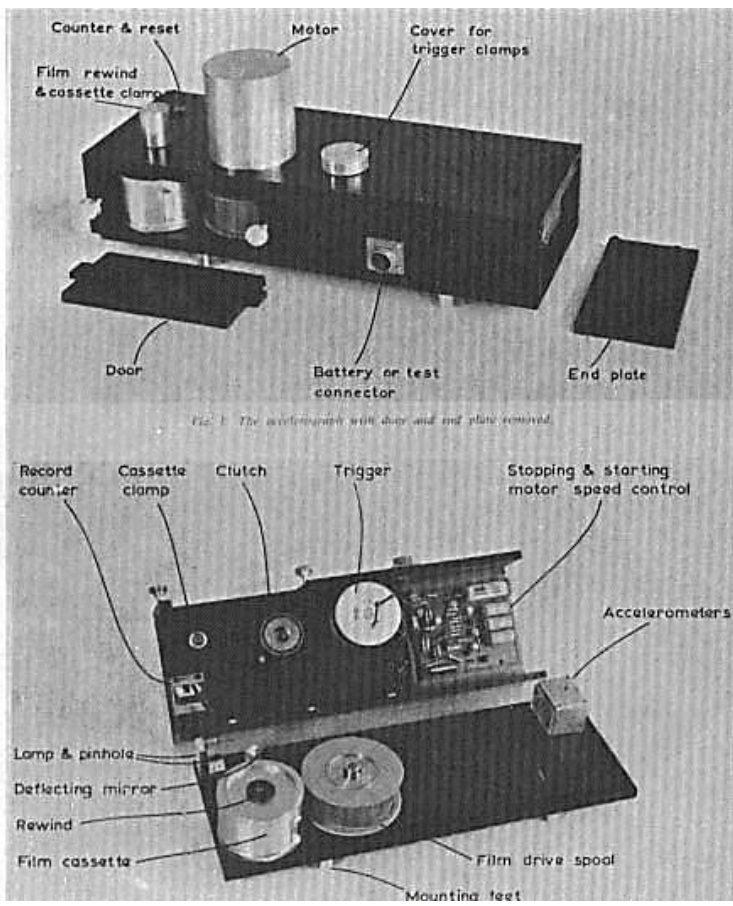
<sup>۲</sup> Kinematics



شکل ۵-۲ نمایی از شتابنگار AR 240



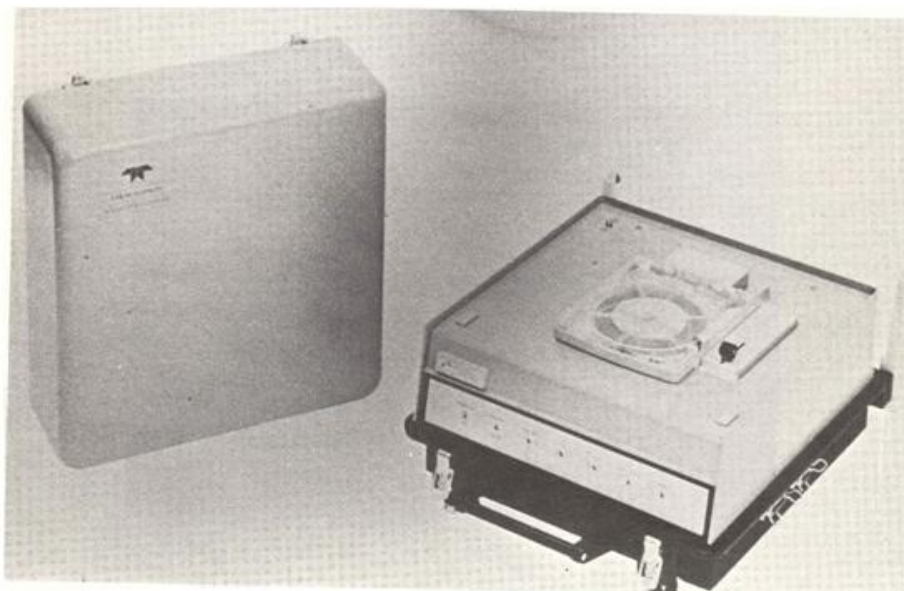
شکل ۶-۲ نمایی از شتابنگار USC&GS MARK II



شکل ۷-۲ نمایی از شتابنگار MO2 از نیوزیلند



شکل ۸-۲ نمایی از شتابنگار RFT250



شکل ۹-۲ نمایی از شتابنگار RMT280

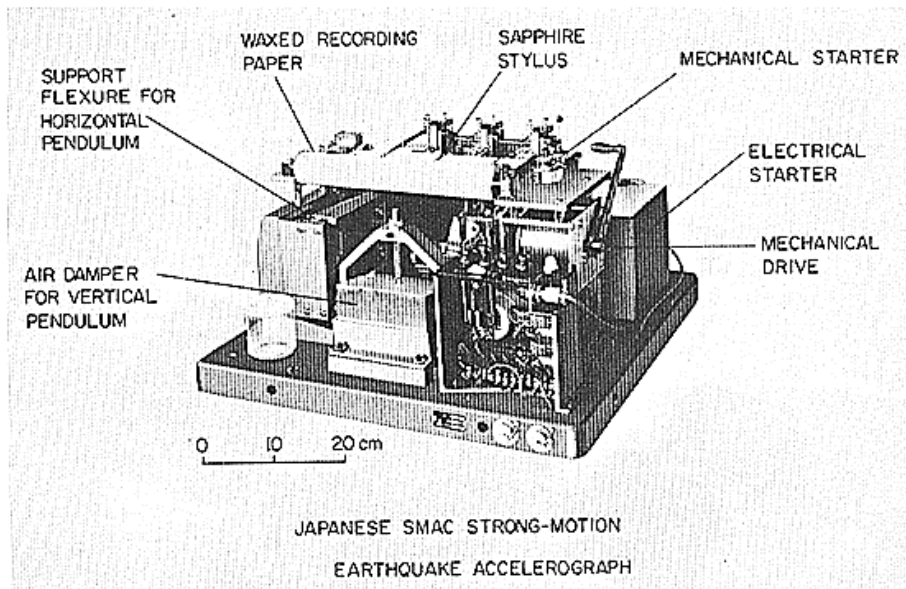
شرکت کینمتریکس به عنوان اولین محصول، دستگاه SMA-1 را در سال ۱۹۷۰ میلادی به بازار عرضه نمود. این دستگاه دارای سیستم ثبت بر روی فیلم ۷۰ میلیمتری به همراه استارتر الکترودینامیکی عمودی است. از آنجا که در اغلب ایستگاه‌ها امواج عمودی، اولین امواجی هستند که به دستگاه می‌رسند، از این رو استفاده از استارتر عمودی در شتابنگارها سودمند می‌باشد. این نکته از آن پس در تولید دستگاه‌های شتابنگار به کار گرفته شد. دستگاه شتابنگار SMA-1 یکی از پرفروش‌ترین دستگاه‌های شتابنگار ساخته شده در طول تاریخ می‌باشد. شرکت سازنده در حدود ۸۰۰۰ عدد از این دستگاه‌ها را در سراسر دنیا به فروش رساند. نسل‌های بعدی این دستگاه، SMA-2 (با قابلیت ثبت بر روی نوار کاست) و SMA-3 (یک شتابنگار چند کanalه که به طور گسترده در نیروگاه‌های اتمی استفاده گردید) بودند که به بازار عرضه شدند. دستگاه شتابنگار SMA-1 در واقع پایانی بود بر نسل دستگاه‌های شتابنگار که از فیلم و کاست برای ثبت اطلاعات استفاده می‌کردند. این دستگاه‌ها تا اواسط دهه ۹۰ میلادی در بسیاری از کشورها از جمله ایران مورد استفاده قرار گرفتند.

در سال ۱۹۷۵ اولین دستگاه‌های ثبت نوار دیجیتالی وارد بازار گردید. در این سال دستگاه DSA-1 توسط شرکت کینمتریکس برای کاهش نیاز به نیروی انسانی و درجهت تبدیل اطلاعات آنالوگ به دیجیتال طراحی گردید. به موازات فعالیت اندیشمندان آمریکایی، دانشمندان ژاپنی نیز در طراحی و ساخت دستگاه‌های شتابنگار قدم‌های بزرگی برداشتند. در سال ۱۹۵۱ کمیته شتاب جنبش نیرومند زمین در ژاپن تشکیل گردید. این کمیته اولین شتابنگار ژاپنی را طراحی نمود. این شتابنگار که اصطلاحاً SMAC نامیده شد، در اولین کنفرانس مهندسی زلزله در سال ۱۹۵۶ در برکلی معرفی گردید (شکل ۱۰-۲). از مشخصات این دستگاه می‌توان به داشتن میرایی غیر معمول ۱۰۰٪ و قیمت بالای آن اشاره نمود.

در دهه هشتاد میلادی دوران ثبت در حافظه الکترونیکی آغاز و دستگاه شتابنگار A-700 توسط شرکت ژئوتک<sup>۱</sup> و دستگاه‌های SSA-1 و SSA-2 توسط شرکت کینمتریکس به بازار عرضه شد. این دستگاه‌ها دارای حافظه الکترونیکی با ۳ یا ۴ کanal ثبت لرزه، ۲۰ دقیقه طرفیت ثبت داده(A-700,SSA-1) به

<sup>۱</sup> Geotech

همراه پاسخ DC-50HZ و دامنه دینامیکی ۷۷ dB بودند. در اواخر دهه هشتاد میلادی سوئیسی‌ها نیز وارد عرضه تولید شتابنگار دیجیتال گردیدند که دستگاه SM-1 در سال ۱۹۸۹ و MR-2002 را در سال ۱۹۹۰ را به بازار عرضه نمودند (شکل ۱۱-۲).



شکل ۱۱-۲ نمایی از شتابنگار ژاپنی SMAC

نسل جدید دستگاه‌های شتابنگار در میانه دهه ۹۰ میلادی به بازار عرضه شد. شتابنگارهایی نظیر K2 (شکل ۱۲-۲) با دامنه دینامیکی ۱۱۴ dB، پاسخ فرکانسی صفر تا ۸۰ هرتز، ۶ مگابایت ظرفیت ثبت داده، شتابنگار Etna (شکل ۱۳-۲) با دامنه دینامیکی ۱۰۸ dB، پاسخ فرکانسی DC-80Hz و قابلیت ثبت شتاب‌هایی با اندازه  $2g$  (حتی در صورت نیاز  $4g$ ) و ظرفیت ۱۵ تا ۴۰ دقیقه ثبت داده از مشهورترین آن‌ها محسوب می‌شوند. آخرین شتابنگارهای بروز و جدید در فصل پنجم ذکر شده‌اند.



شکل ۱۱-۲ نمایی از شتابنگار سوئیسی MR2002



شکل ۱۲-۲ نمایی از شتابنگار K2



شکل ۱۳-۲ نمایی از شتابنگار Etna

در سالیان اخیر دستگاه‌های شتابنگار با ویژگی‌های منحصر به فردی تولید گردیده‌اند. محدوده دینامیکی فراتر از ۱۵۰ دسی‌بل، حافظه الکترونیکی و کارت‌های حافظه با ظرفیت چند گیگابایت، سیستم‌های ارتباطی پیشرفته نظیر TCP/IP و مودم‌های مخابراتی نسل ۳ و ۴، پروتکل‌های ارتباطی جدید و ویژگی‌های فنی قابل توجه برای مطالعات خاص نظیر رفتارنگاری سدها و ساختمان‌های بلند و پل‌ها از این جمله این ویژگی‌ها هستند. در بخش تجهیزات شبکه ملی شتابنگاری ایران به توضیح این دستگاه‌ها پرداخته شده است.

در حال حاضر معروف‌ترین شرکت‌های تولید کننده دستگاه‌های شتابنگار در کشورهای آمریکا، کانادا، سوئیس و انگلستان قرار دارند. ژاپن، ایتالیا و نیوزلند نیز از کشورهای سازنده این دستگاه‌ها محسوب می‌گردند که عمدتاً نیازهای داخلی خود را تامین می‌نمایند.

## ۲-۲- ساخته استقرار شتابنگارها در منطقه و جهان

همانطور که در بخش پیش اشاره شد آمریکا و ژاپن از قدیمی‌ترین کشورها در نصب شتابنگار بوده‌اند و در اوخر دهه ۶۰ میلادی کشور نیوزلند نیز به آن‌ها پیوست. با تولید انبوی دستگاه‌های تجاری در اوایل دهه هفتاد میلادی، کشورهای مختلفی همچون ایران، تایوان، و ترکیه نیز شروع به نصب دستگاه‌های شتابنگار نمودند و تقریباً همزمان در سال ۱۹۷۳ میلادی تعدادی از دستگاه‌های آنالوگ SMA-1 را نصب نمودند. با گذشت زمان کشورهای دیگری همچون ایتالیا، یونان، سوئیس و چین نیز اقدام به نصب این نوع دستگاه‌ها نمودند. اما در اوایل دهه ۹۰ میلادی با تولید شتابنگارهای دیجیتال، سیر صعودی نصب و راهاندازی دستگاه‌های شتابنگار بصورت شبکه آغاز گردید که در ادامه به معرفی مهمترین شبکه‌های شتابنگاری موجود در دنیا پرداخته شده است.

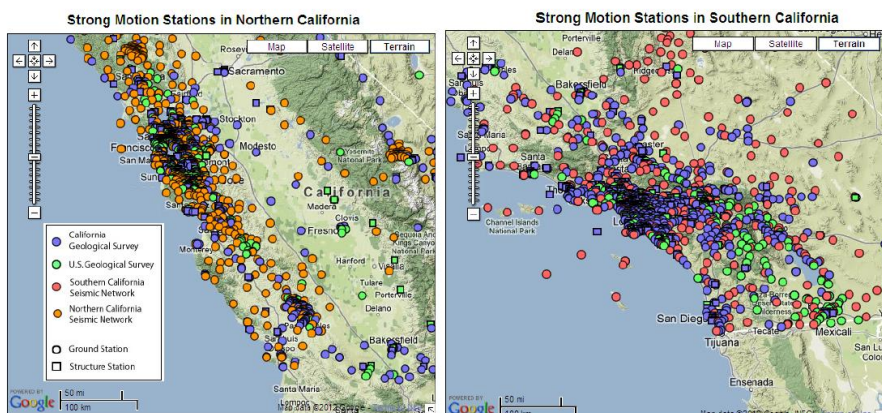
## ۲-۲-۱- شبکه شتابنگاری آمریکا

کشور آمریکا از نظر لرزه‌خیزی با توجه به وسعت آن از وضعیت مطلوبی برخوردار است و بر خلاف ایران که تقریباً تمامی پهنه‌ای آن لرزه خیز است (به غیر از قسمت‌های محدودی)، در اکثر مناطق خود از لرزه خیزی پایینی برخوردار است و بیشترین زون لرزه‌زا در آمریکا محدود به غرب آمریکا و ایالت کالیفرنیا و

همچنین قسمت کوچکی در شرق و مرکز آمریکا است. هم اکنون در آمریکا بیش از ۲۵۰۰ دستگاه شبینگار نصب شده است که ۱۲۱۴ از آن‌ها در شبکه ملی شبینگاری آمریکا<sup>۱</sup> و توسط USGS اداره می‌گردد که در شکل ۱۴-۲ نشان داده شده است و ۱۱۸۰ ایستگاه نیز توسط سازمان زمین‌شناسی کالیفرنیا اداره می‌شود که در شکل ۱۵-۲ نشان داده است. همچنین حدود ۴۶۰ دستگاه نیز در ساختمان‌ها نصب شده است (CGS,USGS,FDSN).



شکل ۱۴-۲ شبکه ملی شبینگاری ایالات متحده آمریکا (USGS)

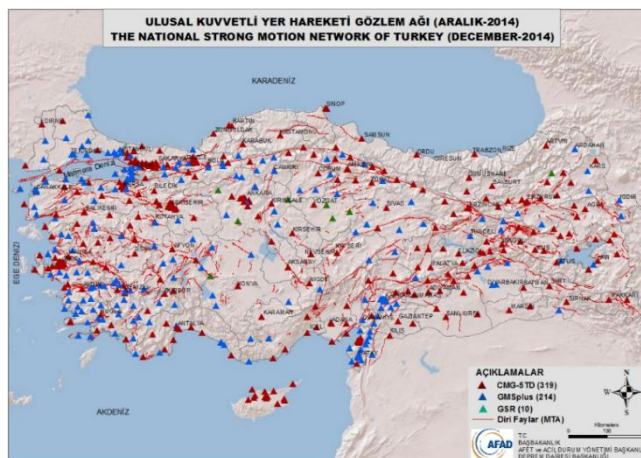


شکل ۱۵-۲ شبکه شبینگاری کالیفرنیا (CGS)، کالیفرنیای جنوبی (راست) و کالیفرنیای شمالی (چپ) برگرفته از CISN

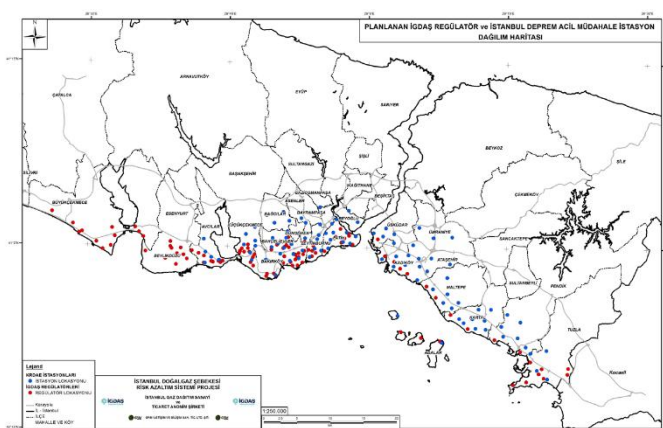
<sup>۱</sup> NSMP

### ۲-۲-۲- شبکه شتابنگاری ترکیه

در ترکیه ۵۴۳ ایستگاه شتابنگاری ملی وجود دارد که در شکل ۱۶-۲ نشان داده شده است و ۲۳۰ ایستگاه نیز برای سامانه پاسخ سریع و هشدار سریع در شهر استانبول وجود دارد که در شکل ۱۷-۲ نشان داده شده است. برنامه این کشور تا سال ۲۰۱۸ نصب ۸۰۰ دستگاه شتابنگار دیگر برای شبکه کشوری می‌باشد.



شکل ۱۶-۲ شبکه شتابنگاری کشوری ترکیه. شتابنگارهای مختلف توسط مختلف و با رنگ مجزا شده‌اند (برگرفته از سایت شبکه شتابنگاری ترکیه ([http://kyhdata.depren.gov.tr](http://kyhdata.deprem.gov.tr))

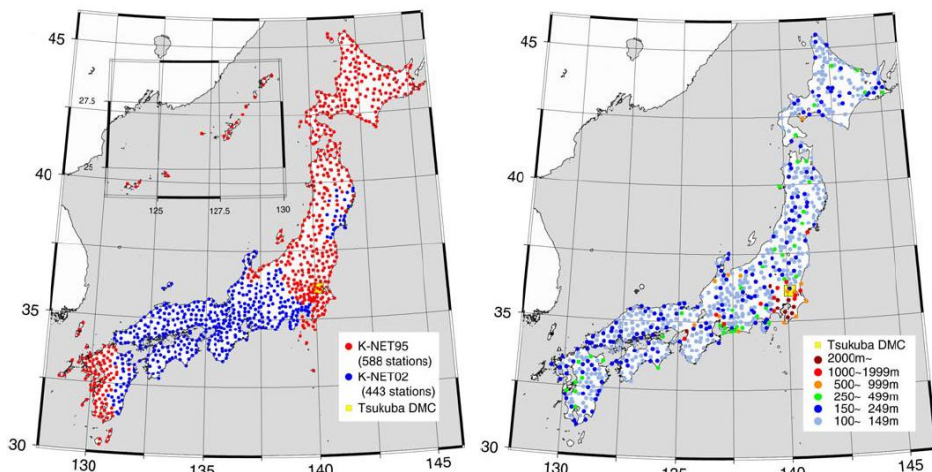


شکل ۱۷-۲ شبکه شتابنگاری استانبول ترکیه. نقاط آبی رنگ شبکه پاسخ سریع و نقاط قرمز رنگ شبکه شتابنگاری هشدار سریع در جا برای قطع شیرهای اصلی شبکه گاز ترکیه می‌باشند (برگرفته از (<http://www.koeri.boun.edu.tr>)

یک سامانه هشدار ناحیه‌ای نیز برای کل شهر نصب شده است که شامل ۱۳ دستگاه شتابنگار که در طول ساحل شمالی دریای مرمره قرار گرفته‌اند که به عنوان بخشی از سامانه هشدار سریع و واکنش سریع استانبول عمل می‌کنند.

### ۲-۲-۳- شبکه شتابنگاری ژاپن

سابقه نصب شبکه شتابنگاری در ژاپن به دهه ۱۹۵۰ میلادی بر می‌گردد که توسط آژانس هوافضای ژاپن<sup>۱</sup> شروع و سپس توسط موسسه تحقیقات ساختمان<sup>۲</sup> در این کشور ادامه یافت. نسل جدید شبکه موجود در ژاپن توسط موسسه تحقیقات ملی علوم زمین و پیشگیری بحران<sup>۳</sup> شامل ۸۰۰ ایستگاه سرعت سنج با حساسیت بالا (Hi-net)، ۶۶۹ شتابنگار درون‌چاهی و هم سطح توaman (KiK-net) و ۱۰۳۴ دستگاه شتابنگار سطحی (K-net) اداره می‌شود.



شکل ۱۸-۲ شبکه شتابنگاری ژاپن. شبکه KIK-Net (سمت راست) که رنگ‌ها بیانگر عمق نصب دستگاه‌های درون‌چاهی را نشان می‌دهد. شبکه K-Net (سمت چپ) برگرفته از سایت شبکه شتابنگاری ژاپن

نکته قابل توجه برای شتابنگارهای درون چاهی، عمق نصب سنسور آن است که از حداقل ۱۰۰

<sup>۱</sup> Japan Meteorological Agency, JMA

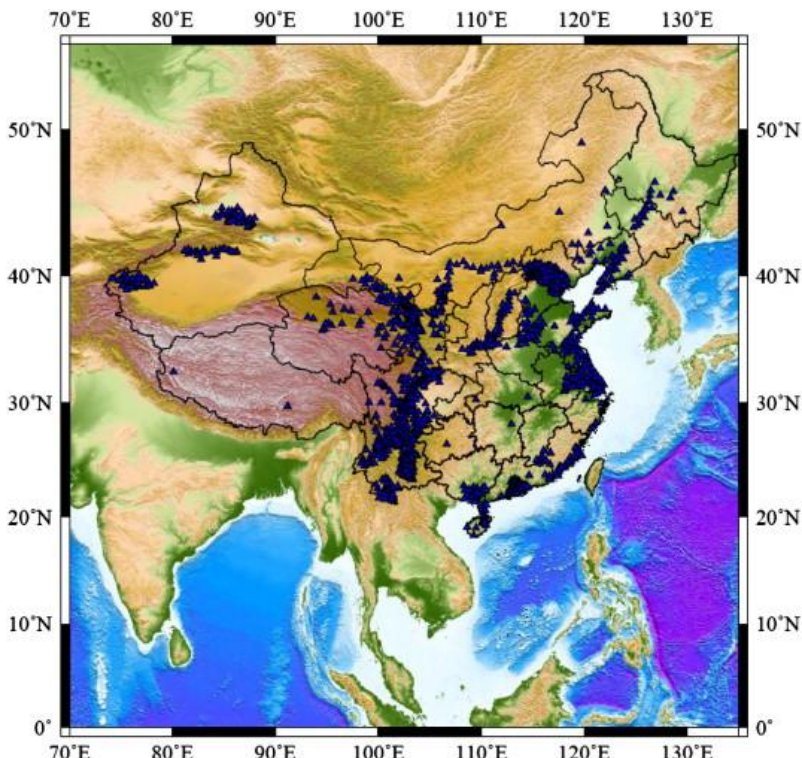
<sup>۲</sup> Building Research Institute, BRI

<sup>۳</sup> National Research Institute for Earth Science and Disaster Prevention NIED

متر تا ۲۰۰۰ متر متغیر است که تاثیر اثر خاک بر روی نگاشت را به حداقل می‌رساند. همچنین ۲۰۰ شتابنگار نیز توسط آژانس هواسنایی ژاپن اداره می‌شود. در شکل ۱۸-۲ توزیع دستگاهی شتابنگارها در ژاپن نشان داده شده است.

#### ۴-۲-۴- شبکه شتابنگاری چین

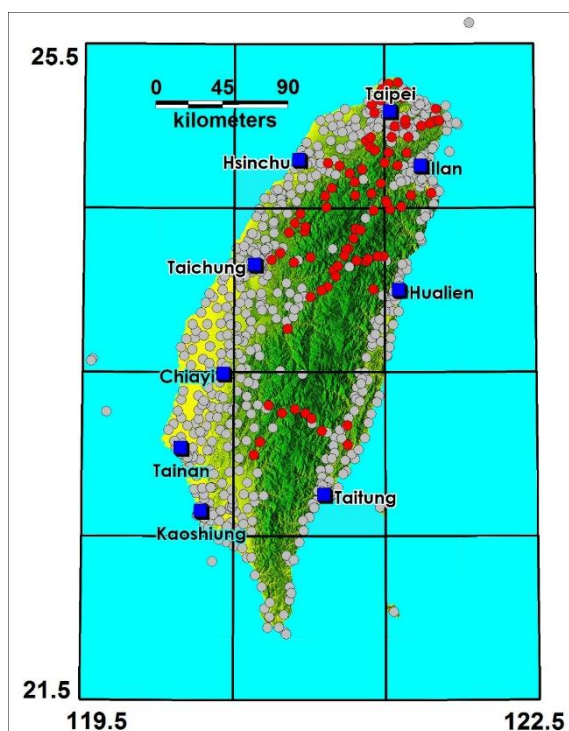
شبکه شتابنگاری در کشور چین با ۱۱۵۴ دستگاه فعال می‌باشد که در شکل ۱۹-۲ نشان داده شده است. برنامه این کشور تا سال ۲۰۲۰ میلادی نصب ۹۰۰۰ ایستگاه جهت پوشش کافی برای شبکه پاسخ سریع و هشدار سریع می‌باشد که در صورت موققیت میتواند به عنوان بهترین شبکه از منظر کمیت شناخته شود.



شکل ۱۹-۲ شبکه شتابنگاری چین (ون و همکاران، ۲۰۱۴)

### ۲-۵- شبکه شتابنگاری تایوان

کشور تایوان دارای حدود ۸۰۹ ایستگاه شتابنگاری می‌باشد که در شکل ۲۰-۲ نشان داده شده است. از این تعداد ۱۱۰ ایستگاه بصورت برخط (آنلاین)، ۵۷ ایستگاه در ساختمان‌ها و ۷۵ ایستگاه در کوهستان‌های تایوان نصب شده‌اند. همچنین در این شبکه ۱۷ دستگاه بصورت درون‌چاهی نصب شده‌اند.

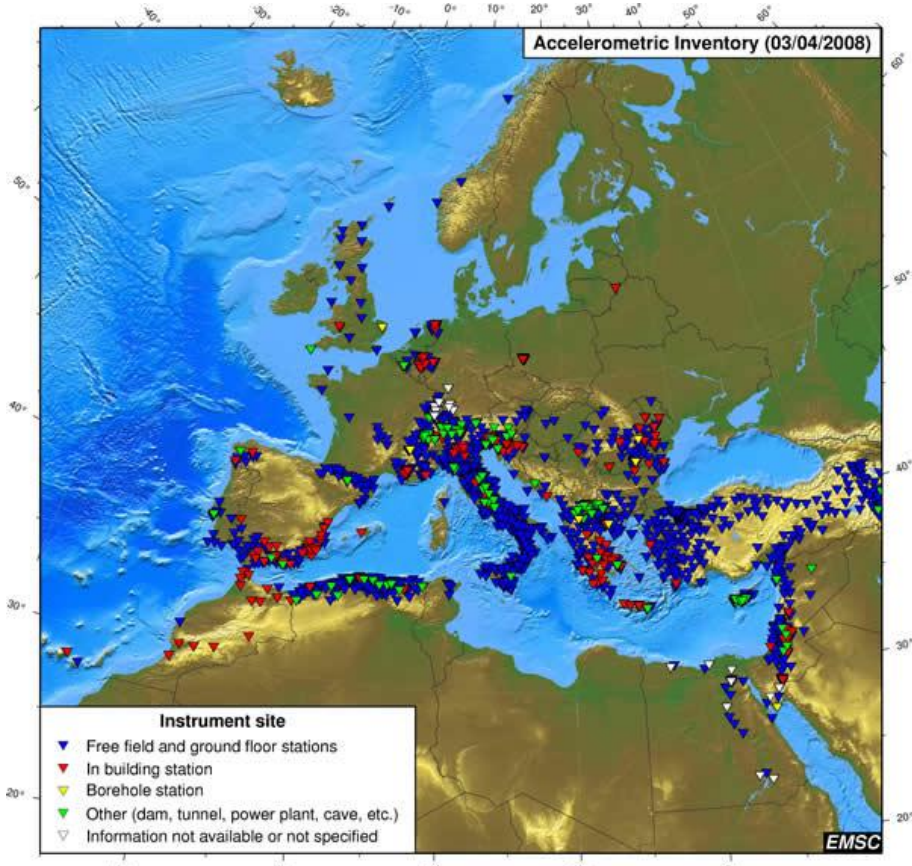


شکل ۲۰-۲ شبکه شتابنگاری تایوان، دایره‌های قرمز نشان دهنده ایستگاه‌های کوهستانی می‌باشند (برگرفته از سایت شبکه شتابنگاری تایوان).

### ۶-۲- شبکه‌های شتابنگاری در اروپا

در کشورهای اروپایی بدليل تمرکز میزان لرزه‌خیزی در تعداد کمی از کشورها، پراکندگی دستگاه‌های شتابنگار صرفاً در برخی از کشورها همچون ایتالیا، یونان، سوئیس و رومانی از تراکم بالایی برخوردار بوده و در برخی از کشورها همچون فرانسه، پرتغال، بلژیک، هلند و اسلونی بطور ناحیه‌ای و در قسمت‌های لرزه‌خیز نصب شده‌اند.

در شکل ۲۱-۲ توزیع دستگاه‌های شتابنگار در اروپا در سال ۲۰۰۸ میلادی نشان داده شده است. در بین این کشورها تا سال ۲۰۱۵ میلادی، کشور ترکیه با دارا بودن ۷۷۳ ایستگاه و ایتالیا با ۵۲۸ ایستگاه دارای بیشترین پراکندگی میباشند. کشور رومانی نیز با داشتن ۱۱۹ ایستگاه شتابنگاری نیز از دیگر کشورهای فعال در زمینه شتابنگاری میباشد. همچنین همانطور که در شکل ۲۱-۲ مشخص است در کشورهای شمال آفریقا نیز الجزایر با دارا بودن ۱۶۵ ایستگاه دارای بیشترین ایستگاه میباشد. همچنین از دیگر شبکه‌های شتابنگاری در دنیا میتوان به شبکه نیوزلند با ۲۷۰ ایستگاه آنلاین، هند با ۳۰۰ ایستگاه و یونان با ۲۰۰ ایستگاه اشاره نمود.



شکل ۲۱-۲ پراکندگی دستگاه‌های شتابنگاری در اروپا در سال ۲۰۰۸ میلادی برگرفته از سایت مرکز لرزه‌نگاری اروپا



## فصل سوم

### تاریخچه شتابنگاری در ایران

#### ۱-۳ - مرحله اول فعالیت - شبکه آنالوگ (۱۳۷۲-۱۳۵۲)

آغاز مطالعات جنبش نیرومند زمین در ایران به ابتدای دهه پنجاه خورشیدی باز می‌گردد. رویداد زمین‌لرزه‌های متعدد در بیوین زهرا (۱۳۴۱ میلادی) با بزرگای ۷، زمین‌لرزه دشت بیاض (۱۳۴۷ میلادی) با بزرگای  $\frac{7}{3}$ ، زمین‌لرزه قیر-کارزین (۱۳۵۱ میلادی) با بزرگای  $\frac{7}{1}$  باعث (۱۳۶۸ میلادی) کشته شدن ۷۰۰ نفر و زخمی شدن ۱۰۰۰ نفر شد. همان‌گونه که در تاریخچه شتابنگاری در دنیا ارائه شد، همواره تلاش‌ها و کوشش‌های فردی محققین علاقمند، نقش مهم و به سزاوی در ایجاد و تحول در علوم داشته است. کوشش‌های دکتر سایه هیروی ژاپنی و دکتر فریمن امریکایی منجر به ساخت دستگاه شتابنگار در ابتدای دهه سی میلادی شد. در ایران نیز می‌توان از افرادی نام برد که نقشی تعیین کننده در پی ریزی و ایجاد شبکه ملی شتابنگاری ایران داشتند. البته فضای علمی و مهندسی ایران در اوخر دهه چهل و پنجاه خورشیدی قابل قیاس با فضای امروزی نبوده است و مسلماً مسیر ایجاد یک شبکه اندازه‌گیری جنبش نیرومند زمین در ایران، مسیری سخت و مملو از موافع گوناگون بوده است. در ایجاد و توسعه شبکه شتابنگاری در ایران از مهندس علی اکبر معین فر (شکل ۱-۳) می‌توان نام برد که نقش مهم و تأثیرگذاری داشته است. وی پس از تحصیل در دانشگاه واسدا<sup>۱</sup> در ژاپن در رشته مهندسی زلزله، در دفتر فنی سازمان برنامه و بودجه مشغول به کار شد و شروع کننده تدوین بسیاری از آیین‌نامه‌ها و دستورالعمل‌های فنی بوده و پیش‌نویس اولین آیین‌نامه زلزله برای ایران را در سال ۱۳۴۳ تهیه نمود. علاوه بر استاندارد ۵۱۹ که شاید قدیمی‌ترین

<sup>۱</sup> Waseda University

دستورالعمل فنی در صنعت ساختمان ایران باشد، تدوین آینه‌نامه بتن ایران (آبآ) در زمان تصدی ایشان در سازمان شروع شد. از مهم‌ترین خدمات بنیادی ایشان در علم مهندسی زلزله به کشور ایران را می‌توان ایجاد شبکه ملی شتابنگاری در سال ۱۳۵۲ خورشیدی در دفتر فنی سازمان برنامه و بودجه وقت را ذکر کرد. وی به درستی دریافته بود که ابزار اساسی برای پیشبرد اهداف مهندسی زلزله در کشور و تدوین یک آینه‌نامه مناسب برای طراحی سازه‌های مقاوم در برابر زمین‌لرزه داده‌های بدست آمده از دستگاه‌های شتابنگاری می‌باشد، لذا تمام سعی و تلاش خود را معطوف اقانع مدیران مسئول برای اختصاص بودجه به این مهم نمود.

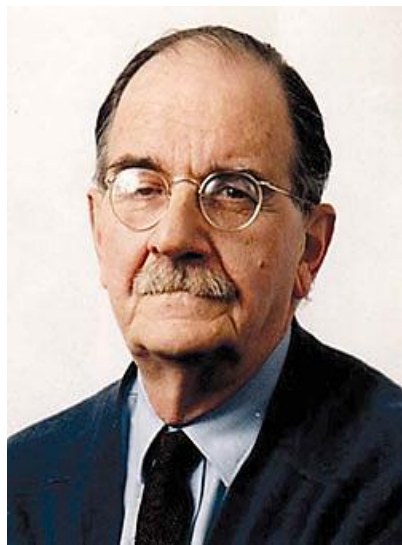


شکل ۱-۳ مهندس علی اکبر معین‌فر، موسس شبکه شتابنگاری ایران

فرد دیگری نیز که در این مسیر یاری‌سان مهندس معین‌فر بوده است، پروفسور نیکلاس نوکلس آمبرسیز<sup>۱</sup> بود، که در ایران به واسطه تحقیقات ارزشمندش در زمینه مطالعه زمین‌لرزه‌های تاریخی ایران به همراه پروفسور چارلز ملویل<sup>۲</sup> (کتاب تاریخ زمین‌لرزه‌های ایران) شهره است، همچنین مجموعه تحقیقات وی در زمینه زلزله‌شناسی و مهندسی زلزله در منطقه خاورمیانه و اروپا بسیار مفصل و ارزشمند است (شکل ۲-۳).

<sup>۱</sup> Nicholas Neocles Ambrasy

<sup>۲</sup> Charles Melville



شکل ۲-۳ پروفسور نیکلاس نوکلاس آمبرسیز (۱۹۲۹-۲۰۱۲ میلادی)

پس از زمین لرزه مخرب قیر کارزین در سال ۱۳۵۱ (۱۹۷۲ میلادی) پروفسور آمبرسیز دو دستگاه شتابنگار SMA-1 از سوی کالج سلطنتی لندن به ایران ارسال و تعدادی از پسلرزه‌های زمین لرزه قیر-کارزین توسط این دستگاه‌ها ثبت شد. این دو دستگاه بعدها در زمین لرزه‌ای که در کشور پاکستان روی داد نیز مورد استفاده قرار گرفت.

در سال ۱۳۵۲ پس از تغییراتی که در ساختار سازمان برنامه ایجاد گردید، چند مدیریت جدید مانند دفتر فنی، مهندسین مشاور، دفتر پیمانکاران و مدیریت تحت عنوان دفتر استانداردها و تحقیقات فنی تشکیل گردید که مسئولیت دفتر یاد شده به مهندس معین فر محول گردید. ایشان با شرط ادامه تحقیقات در مورد زمین لرزه این مسئولیت را پذیرفت و مقدمات تشکیل شبکه شتابنگاری را در این راستا آغاز نمود. با تخصیص بودجه از محل اعتبارات منابع آب، تعداد ۶ دستگاه شتابنگار آنالوگ SMA-1 که در سال ۱۹۶۹ میلادی طراحی و تولید شده بود، وارد کشور شد که مقدمه‌ای برای آغاز تشکیل شبکه ملی شتابنگاری بود.

خرید و واردات دستگاه‌های شتابنگار SMA-1 به تدریج ادامه پیدا کرد و تا پیروزی انقلاب اسلامی این تعداد به ۳۳۰ دستگاه رسید. نصب دستگاه‌های شتابنگار به دلیل وسعت ایران، لرزه‌خیزی بالا و تعداد کم

دستگاه‌ها، از معیار مشخصی برخوردار نبود. نگاهی به نقشه توزیع دستگاه‌های شتابنگار و اسامی محل نصب دستگاه‌ها در نقاط مختلف کشور، نشان‌دهنده در نظر گرفتن وسعت، جمعیت و سابقه لرزه‌خیزی تاریخی در نصب دستگاه‌های شتابنگار است.

عمده دستگاه‌های SMA-1 در مراکز شیر و خورشید سابق که به نوعی مراکز امداد در موقع بحران‌های طبیعی نیز بوده نصب گردیدند. مدارس، بخشداری‌ها و تعدادی از فرمانداری‌ها نیز در این میان میزبان دستگاه‌های شتابنگار بودند. تمامی دستگاه‌های شتابنگاری SMA-1 دستگاه‌های مکانیکی قریب به اتفاق ساختمان‌ها یک طبقه بودند. دستگاه‌های شتابنگاری SMA-1 بودند که البته اکثریت بودند که حرکت زمین را در سه جهت عمود بر هم بر روی فیلم ۷۰ میلی متری ثبت می‌کردند. این دستگاه‌ها قادر به ثبت جنبش‌های نیرومند زمین حداکثر تا میزان ۱ برابر شتاب ثقل زمین بودند. نصب دستگاه‌های شتابنگار SMA-1 بسیار ساده بوده و تنظیم دستگاه برای آماده به کار بودن زمان چندانی را نیاز نداشت.

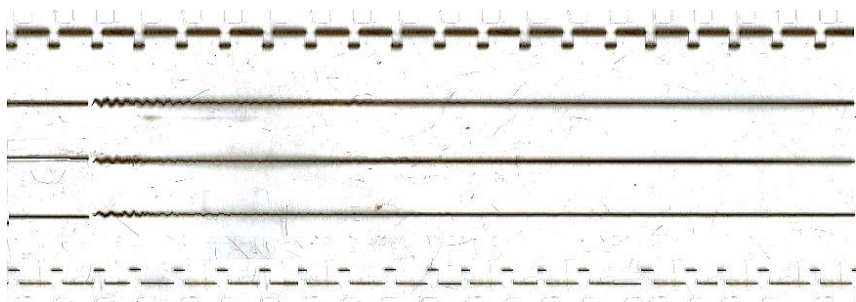
اولین دستگاه شتابنگار در حرکتی نمادین و به یاد دانشمند ایرانی، بوعلی سینا، در آرامگاه وی در شهر همدان در تاریخ ۱۳۵۲ نصب و راهاندازی شد. اما اولین رکورد ثبت شده توسط شبکه ملی شتابنگاری ایران در ایستگاه جهرم در استان فارس در فاصله حدود ۹۰ کیلومتری از مرکز زمین‌لرزه به ثبت رسید. این رکورد که در بانک اطلاعاتی شبکه ملی شتابنگاری با شماره ۱۰۰۱ نمایه گردیده است، در اثر زمین‌لرزه‌ای با بزرگای ۴/۹ در تاریخ ۲۵ آذر ۱۳۵۲ و با شتابی در حدود ۲۰ سانتی متر بر محدوده ثانیه ثبت شد. شکل ۳-۴، تاریخچه زمانی این شتابنگاشت را نشان میدهد. با اینکه اولین رکورد در ایستگاه جهرم به ثبت رسید، ولیکن اولین شتابنگاشت با شتابی افزون بر ۱۰۰ سانتی متر بر محدوده ثانیه در ایستگاه بندر عباس در تاریخ ۱۶ اسفند ۱۳۵۳، در اثر زمین‌لرزه سرخون در حدود ۱۲۴ سانتی متر بر محدوده ثانیه به ثبت رسید. بزرگای این زمین‌لرزه ۱/۶ و ایستگاه بندر عباس در فاصله ۳۶ کیلومتری مرکز زمین‌لرزه قرار داشته است. شکل ۳-۵ تاریخچه زمانی این شتابنگاشت را به نمایش می‌گذارد. روند رو به رشد ثبت زمین‌لرزه‌ها توسط شبکه شتابنگاری همزمان با توسعه شبکه در طول سالیان بعد از آغاز به کار ادامه داشته به طوریکه در سالهای ۱۳۵۲ تا ۱۳۵۸ به ترتیب ۲، ۴، ۲۵، ۲۹، ۷۳، ۸۷ شتابنگاشت

به ثبت رسید. در این فاصله زمانی زمین‌لرزه‌های مهمی توسط دستگاه‌های شتابنگار شبکه ثبت گردید که برخی از آن‌ها از مهم‌ترین شتابنگاشت‌های عصر خود محسوب شده و تعدادی مانند رکورد ثبت شده از زمین‌لرزه اصلی در شهر طبس در زمین‌لرزه ۱۳۵۷ هنوز هم به عنوان یکی از شاخص‌ترین رکوردهای شتابنگاشتی دنیا محسوب می‌گردد. در سال ۱۳۶۰ خورشیدی شبکه شتابنگاری که تا آن زمان در دفتر فنی سازمان برنامه و بودجه فعالیت می‌نمود از این سازمان جدا شده و با توجه به مذاکرات صورت گرفته از سوی مدیران ارشد آن سازمان و وزارت مسکن این مجموعه با تمامی تجهیزات و پرسنل به مرکز تحقیقات ساختمان و مسکن منتقل و مقدمات شکل‌گیری بخشی تحت عنوان مهندسی زلزله با محوریت شبکه شتابنگاری فراهم گردید.

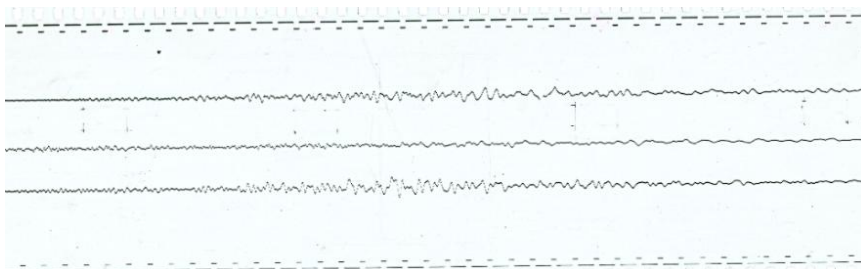


شکل ۳-۳ دکتر پاکدامن، بنیانگذار مرکز تحقیقات راه، مسکن و شهرسازی، چهلمین سالگرد تاسیس مرکز، اسفند ۱۳۹۳ لازم بذکر است که ایده تاسیس مرکز تحقیقات ساختمان و مسکن در اوایل دهه ۵۰ خورشیدی به دنبال قوع زمین‌لرزه دشت‌بیاض و فردوس در سال ۱۳۴۷ و تلفات دوازده هزار نفری آن شکل گرفت. این مطلب از سوی دکتر ناصر پاکدامن، بنیانگذار این مرکز در مراسم چهلمین سالگرد تاسیس مرکز در اسفندماه ۱۳۹۳ مطرح شد (شکل ۳-۳). اسناد مرکز در سال ۱۳۵۶، به تصویب مجلس رسید و از آن زمان مرکز دارای شخصیت سازمانی مستقل گردید. در سال ۱۳۶۰ شبکه ملی شتابنگاری با تمامی افراد و تجهیزات از دفتر فنی سازمان برنامه و بودجه منفک و براساس مذاکرات صورت گرفته با وزیر وقت مسکن، کل مجموعه به مرکز تحقیقات ساختمان و مسکن منتقل گردید. این مجموعه در قالب بخشی تحت عنوان مهندسی زلزله شامل شبکه شتابنگاری، بخش سازه و بخش

خاک و پی، فعالیت خود را ادامه دادند که در سال ۱۳۷۹ ۱۳ بخش‌های سازه و خاک و پی از بخش مهندسی زلزله جدا شدند و ماهیت مستقلی پیدا کردند. در این سال با توجه به اهمیت موضوع وقوع زمین‌لرزه، شبکه شتابنگاری به صورت بخش مستقلی ایجاد گردید و وظیفه کنترل، نگهداری و توسعه کمی و کیفی شبکه ملی شتابنگاری به منظور ثبت و پایش زمین‌لرزه‌های کشور، گردآوری شتابنگاشتها و اطلاعات حاصل از حرکات قوی زمین و تهییه بانک اطلاعات شتابنگاشتی مورد نیاز کلیه کارهای پژوهشی مهندسی زلزله و زلزله‌شناسی مهندسی جهت استفاده در تدوین دستورالعمل‌ها، آئین‌نامه‌ها و مقررات ملی مرتبط با زمین‌لرزه و استاندارد ۲۸۰۰ به این بخش واگذار گردید.



شکل ۴-۳ اولین شتابنگاشت ثبت شده در زمین‌لرزه ۲۵ آذر ۱۳۵۲، جهرم



شکل ۵-۳ اولین شتابنگاشت مهم ثبت شده در زمین‌لرزه سرخون بندرعباس، ۱۶ اسفند ۱۳۵۳

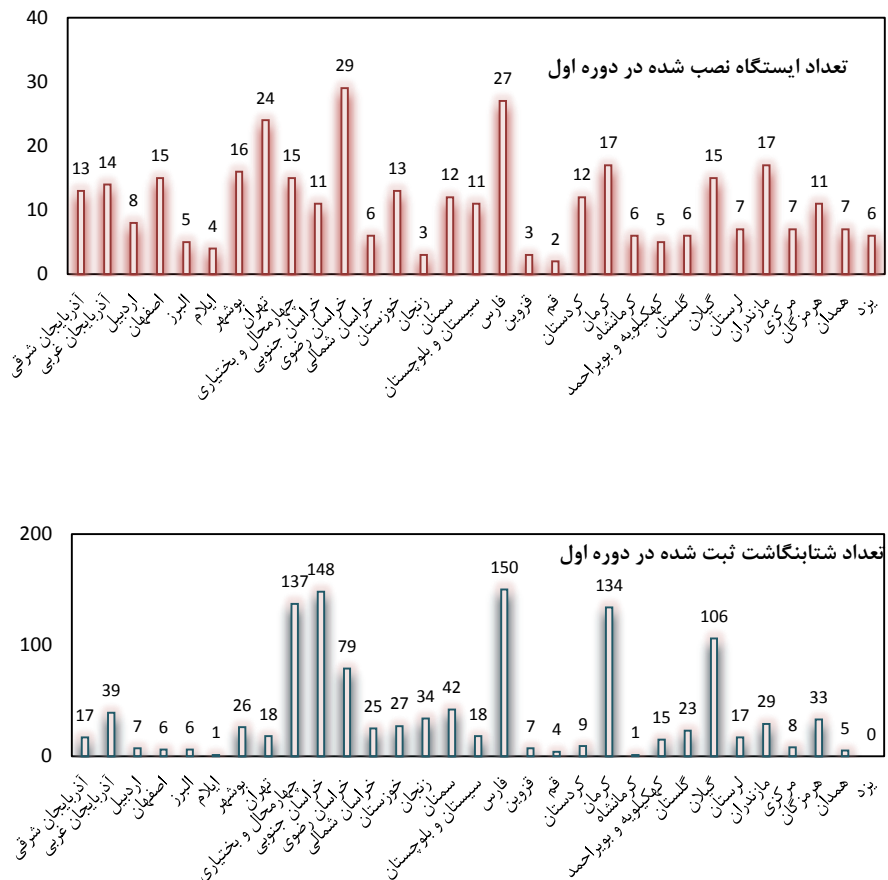
### ۳-۱-۱- ایستگاه‌های شبکه

همانگونه که ذکر شد مجموع دستگاه‌های شتابنگار SMA-1 که به ایران وارد و در شبکه ملی شتابنگاری نصب گردید، به ۳۳۰ دستگاه در اوج خود رسید. در مجموع حدود ۴ درصد از کل دستگاه‌های شتابنگار

SMA-1 تولیدی شرکت کینمتریکس<sup>۱</sup> به ایران فروخته شد. متأسفانه همزمان با پیروزی انقلاب و سالهای آغازین جنگ تحمیلی عراق به ایران، مشکلات متعددی در مسیر تامین اقلام مهم مورد نیاز این دستگاهها به وجود آمد، که مهم‌ترین آن‌ها کمبود فیلم‌های مخصوص ۷۰ میلیمتری این دستگاه را بود، که ساخت شرکت کداک بود. همچنین نبود باتری‌های دستگاه‌های شتابنگار در مقاطعی به حدی مشکل آفرین شده بود که از باتری‌های موتور سیکلت برای این منظور استفاده گردید.

بررسی بانک اطلاعاتی شبکه ملی شتابنگاری نشان می‌دهد که بیشترین دستگاه‌های شتابنگار-SMA-1 در استان خراسان رضوی با ۲۹ ایستگاه و کمترین آن در استان قم با ۲ دستگاه نصب یوده‌اند. ایستگاه شتابنگاری ناغان در استان چهارمحال و بختیاری با ثبت بیش از ۹۵ شتابنگاشت، بیشترین تعداد شتابنگاشت‌ها را در میان ایستگاه‌های شبکه آنالوگ در فاز اول فعالیت شبکه دارا بوده است. پس از آن بیشترین شتابنگاشت در ایستگاه طبس با ۷۳ شتابنگاشت ثبت شده است. حداکثر شتاب در میان شتابنگاشت‌های ثبت شده از دستگاه‌های SMA-1 در ایستگاه طبس در زمین‌لرزه ۱۳۵۷ طبس با شتابی در حدود ۸۹۸ سانتی‌متر بر محدود ثانیه بوده است. دستگاه‌های شتابنگار SMA-1 تا سال ۱۳۸۴ در شبکه ملی شتابنگاری ایران فعالیت کرده و در این سال با جمع‌آوری آخرین این دستگاه‌ها که به ۳۰ دستگاه بالغ می‌شدند، دوران فعالیت پر فراز و نشیب این دستگاه‌ها در شبکه ایران به پایان رسید. شکل ۳-۶، شکل ۷-۳، جدول ۲-۳ و جدول ۱-۳، اطلاعات مربوطه به هر استان و ایستگاه‌های شتابنگاری در فاز اول فعالیت شبکه را نشان می‌دهد.

<sup>۱</sup> Kinemetrics



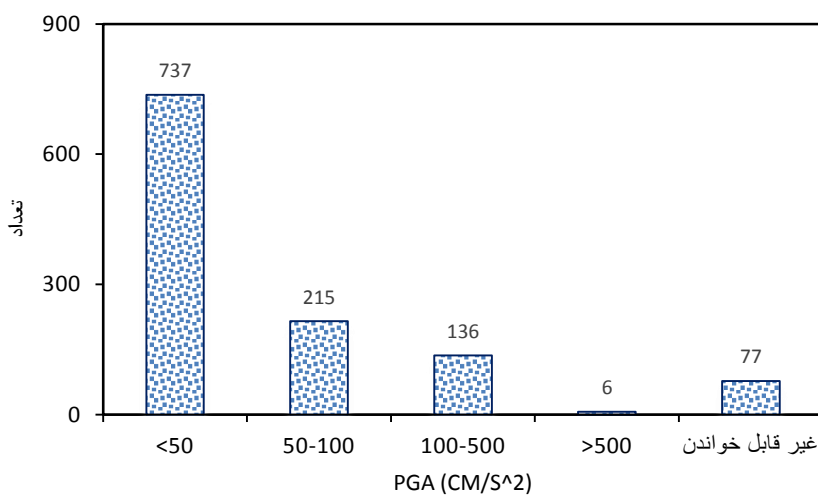
شکل ۳-۶ تعداد دستگاه‌های نصب شده (بالا) و تعداد شتابنگاشت ثبت شده (پایین) به تفکیک استانی در فاز اول توسعه شبکه

جدول ۱-۳ فراوانی شتابنگاشتهای ثبت شده در دوران اول و حداکثر شتاب ثبت شده در ایستگاههای لرزهخیز

نام ایستگاه	استان	شتابنگاشت	تعداد	بیشینه شتاب ثبت شده (cm/s/s)
ناغان	چهارمحال و بختیاری		95	872
طبس	خراسان جنوبی		73	898
گلباف	کرمان		63	321
رودبار	گیلان		43	329
سیرچ	کرمان		34	750
آب بر	زنجان		31	635
شلمزار	چهارمحال و بختیاری		22	349
گرمسار	سمنان		20	138
لارقدیم	فارس		20	155
فراشبند	فارس		19	95
منجیل	گیلان		19	415
کنارتخته	فارس		18	73
وندیک	خراسان جنوبی		16	545
سد	خراسان جنوبی		14	87
دوگنبدان	کهکلیویه و بویراحمد		14	158
کازرون	فارس		13	122
سد سفیدرود <sup>۱</sup>	گیلان		13	445
دیهوک	خراسان جنوبی		12	411
گیفان	خراسان شمالی		12	138
آغاجاری	خوزستان		12	112
اردل	چهارمحال و بختیاری		11	225
کاشمر	خراسان رضوی		11	83
قیر	فارس		11	290
خوی	آذربایجان غربی		10	56
برازجان	بوشهر		10	215
بندرعباس <sup>۱</sup>	هرمزگان		10	161

جدول ۲-۳ حداقل شتاب ثبت شده در دوران اول فعالیت شبکه ملی شتابنگاری

نام ایستگاه	استان	پیشینه شتاب (cm/s/s)	تاریخ رویداد
طبیس	خراسان جنوبی	898	1357/06/25
ناغان	چهارمحال و بختیاری	872	1356/01/17
سیرج	کرمان	750	1376/12/23
آب بر	زنجان	635	1369/03/30
وندیک	خراسان جنوبی	545	1355/08/18
میمند	فارس	503	1373/03/30



شکل ۳-۷ فراوانی شتاب‌های ثبت شده در دوره اول فعالیت شبکه ملی شتابنگاری

### ۳-۱-۲-تجهیزات دستگاهی

#### ۳-۱-۲-۱-دستگاه شتابنگار SMA-1

بدنه اصلی تجهیزات شبکه ملی شتابنگاری در حد فاصل سالهای ۱۳۵۲ تا ۱۳۷۲ را یکی از مشهورترین دستگاه‌های شتابنگار دنیا به نام دستگاه شتابنگار ۱ SMA-1 (شکل ۸-۳) تشکیل می‌داد. این دستگاه شتابنگار که محصول شرکت کینمتریکس در آمریکا می‌باشد، در سال ۱۹۶۹ میلادی طراحی و در سال ۱۹۷۰ وارد بازار جهانی گردید. بنا به گزارش‌ها بیش از ۸۰۰۰ دستگاه از این شتابنگار در سراسر دنیا نصب بوده و از این منظر یکی از منحصر به فردترین دستگاه‌های شتابنگار تاریخ می‌باشد.

این دستگاه از مشهورترین دستگاه‌های شتابنگار با تکنولوژی نوری - فیلمی بود که در واقع جزء آخرین نسل این گونه دستگاه‌ها در آمریکا نیز محسوب می‌گردید. در حقیقت از زمان تولید دستگاه‌های شتابنگار در سال ۱۹۳۲ میلادی، ۱ SMA-1 چهارمین نسل دستگاه‌های شتابنگار بود. این دستگاه در مقایسه با دستگاه AR-240 که حدود ۲۵ کیلوگرم وزن داشت، تنها حدود ۱۲ کیلوگرم وزن داشت. این دستگاه دارای ساختاری ساده و در عین حال پیشرفته بود و در صورت تنظیم صحیح، از دقت بالایی در ثبت جنبش‌های زمین برخوردار بود. دستگاه شتابنگار ۱ SMA-1 که با باطری نیز کار می‌کرد، دارای سه سنسور عمود بر هم بوده که جنبش نیرومند زمین را بر روی فیلم ۷۰ میلیمتری ثبت می‌کرده است. باطری‌ها در داخل جعبه آلومینیمی قرار داشته و می‌توانست دستگاه را بدون شارژ مجدد تا چند ماه (حدود ۶ ماه در صورت سالم بودن و شرایط طبیعی) راهاندازی کند. ابعاد مناسب این دستگاه (۸×۸×۱۴ اینچ) باعث شده بود تا این دستگاه انتخاب مناسبی برای مطالعات پس‌لرزه‌ها باشد.

تنها کنترل کننده خارجی دستگاه، کلید کالیبراسیون است که در بیرون دستگاه قرار دارد. در کنار این کلید حباب کوچکی قرار دارد که مشخص کننده ثبت رویداد توسط دستگاه است (در صورت سفید شدن حباب). کلید کالیبراسیون دستگاه شتابنگار ۱ SMA-1، در واقع یک کنترل کننده نیمه اوتوماتیک فرکانس و میرایی سنسورهای دستگاه می‌باشد. این عملیات کالیبراسیون بر روی فیلم ۷۰ میلیمتری دستگاه ثبت شده و افراد کنترل کننده دستگاه شتابنگار می‌توانند به وضعیت فرکانس طبیعی و میرایی سنسورها پی ببرند.

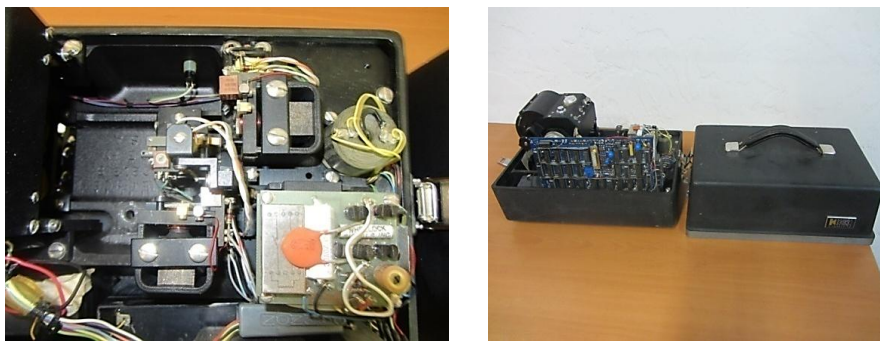
در کنار کلید کالیبراسیون و حباب مشخص کننده رویداد، محل اتصال ورودی برق دستگاه شتابنگار است که برای شارژ باطری‌های ۶ ولت دستگاه استفاده می‌گردد.

دستگاه شتابنگار SMA-1 به وسیله راهانداز لرزه‌ای داخلی خود هنگام رویداد زمین‌لرزه فعال می‌گردید. این فعالیت تا زمانی که جنبش زمین به حدی که برای دستگاه تعریف شده است برسد، ادامه داشت. در دستگاه SMA-1، راه انداز لرزه‌ای اولین امواج لرزه‌ای زمین‌لرزه (امواج P) را دریافت و ظرف مدت ۱۰۰ میلی ثانیه دستگاه شتابنگار به طور کامل فعال می‌شد. پس از اینکه شتاب حرکت عمودی زمین طی زمین‌لرزه به زیر حد تعریف شده، برای دستگاه می‌رسید (مجموعاً  $0.01\text{ g}$ )، دستگاه بین ۶ تا ۱۵ ثانیه به فعالیت خود ادامه می‌داد و پس از اینکه دستگاه زمین‌لرزه را ثبت کرد، فیلم دستگاه برداشته شده و در یک اتاق تاریک ظاهر می‌گشت.

سیستم نوری دستگاه شتابنگار SMA از مهم‌ترین قسمت‌های این دستگاه به شمار می‌رفت. منبع نور شاید از مهم‌ترین قسمت‌های سیستم نوری دستگاه بود. اشعه لامپ باید به حدی ظریف و دقیق می‌بود که یک اثر نازک بر روی فیلم ۷۰ میلی‌متری باقی گذارد. این لامپ باید عمر کافی و مؤثری می‌داشت تا شدت اشعه در طول مدت فعالیت تغییر نکند. در دستگاه شتابنگار SMA-1 از لامپهای BFT استفاده می‌شد. یکی دیگر از خصوصیات منحصر به فرد سیستم نوری SMA-1 وجود یک آئینه تخت ثانویه بود که برای هر کدام از شتاب سنج‌های پایه مورد استفاده قرار می‌گرفت. این آئینه‌های تخت تصویر نور را به آئینه‌های جرم شتاب سنج و سپس به لنزهای سیلندری دوربین منعکس می‌کند بنابراین نیمی از فاصله ضروری بین آئینه – جرم و دوربین برای یک دامنه مشخص روی فیلم ۷۰ میلی‌متری کاهش پیدا می‌کند.

یک شتابنگار استاندارد SMA با قابلیت ثبت شتاب  $g$  ۱ دارای حساسیت معادل  $1/9\pm\text{cm}$  بود. سایر قسمت‌های مهم دستگاه شتابنگار شامل ۳ سنسور، دوربین، موتور راه انداز AC، دو کاست مخصوص فیلم و یک برد ساده جهت تنظیم شدت لامپ، مدار زمان و سایر قسمت‌های الکترونیکی مربوط به موتور راه انداز و کنترل لامپ بود. وظیفه راه انداز لرزه‌ای، دریافت امواج لرزه‌ای P و راه اندازی دستگاه شتابنگار بود. فرکانس طبیعی سنسورهای دستگاه ۲۵ هرتز می‌باشد. شکل ۹-۳ پرسنل شبکه

شتابنگاری و تجهیزات رقومی کردن داده‌های شتابنگاری را در دهه شصت و هفتاد خورشیدی نشان می‌دهد.



شکل ۸-۳ دستگاه شتابنگار



شکل ۹ پرسنل شبکه شتابنگاری و تجهیزات رقومی کردن داده‌های شتابنگاری در دهه شصت و هفتاد خورشیدی

### ۳-۲-۱-۲- دستگاه لرزه‌نما و یلموت و آردا

یکی دیگر از دستگاه‌هایی که تا مدتی در شبکه شتابنگاری ایران مورد استفاده قرار می‌گرفت و امروزه جنبه تاریخی دارد، دستگاه‌های لرزه‌نما یا سایزموسکوپ بودند که در دو مدل ویلموت که نمونه خارجی بود و آردا که نمونه ساخت داخل بود در شبکه شتابنگاری به کار گرفته شدند.

لرزه‌نماها دستگاه‌های ساده و ارزان قیمتی بودند که دارای پریود و میرایی مشخصی هستند. این دستگاه‌ها در دهه ۶۰ و ۷۰ میلادی به همراه دستگاه‌های شتابنگار زمین لرزه در مناطق لرزه‌خیز مورد استفاده قرار می‌گرفتند. در این دستگاه‌ها، لرزش‌ها روی شیشه‌ای آغشته به دود ثبت می‌شدند و طیف پاسخ را بدون نیاز به اندازه‌گیری تاریخچه زمانی جنبش نیرومند زمین ایجاد می‌کردند. همان‌طور که گفته شد مشهورترین لرزه‌نمای ساخته شده لرزه‌نما و یلموت بود که دارای پریود و میرایی نوسانی

تقریبی برابر با یک ساختمان هشت تا ده طبقه بود. این لرزه‌نما از یک پاندول مخروطی تشکیل شده بود که می‌توانست در یک صفحه کروی حرکت کند. این پاندول توسط سیم باریکی به پایه دستگاه آویخته شده بود. لرزه‌نماها می‌توانند از چند پاندول با پریود و میرایی مشخص تشکیل شوند، این امر باعث می‌شود تعداد نقاط طیفی بیشتری بدست آید. با توجه به این امر لرزه‌نمای آردا در دانشگاه صنعتی شریف طراحی و ساخته شد. این لرزه‌نما از دو پاندول با پریود طبیعی  $5/0$  و  $75/0$  ثانیه تشکیل شده بود که در واقع معادل پریود طبیعی ساختمان‌های ۵ تا ۱۰ طبقه بود. در این دستگاه‌ها زمان سنج در نظر گرفته نشده بود و اندازه پاندول‌ها طوری انتخاب شده بود که ابعاد طیف حاصله روی شیشه کروی دودی برای زمین‌لرزه‌های شدید محلی از ابعاد شیشه تجاوز نکند (شکل ۳-۱۰).



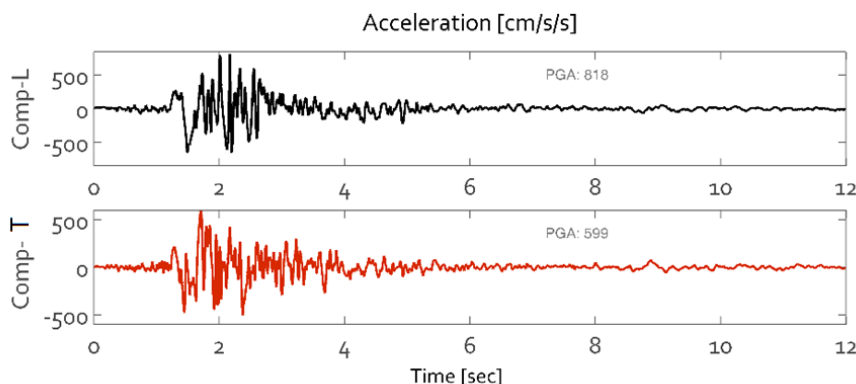
شکل ۳-۱۰ دستگاه لرزه‌نما و پیلوموت (سمت راست) و دستگاه آردتا (سمت چپ)

### ۳-۱-۳- مهم‌ترین زمین‌لرزه‌ای ثبت شده توسط شبکه ملی شنایپنگاری در دوره اول فعالیت

زمین لرزه‌های زیادی از ابتدای فعالیت شبکه ملی شتابنگاری توسط دستگاه‌های شتابنگار به ثبت رسیده است. در دوره اول فعالیت شبکه شتابنگاری (۱۳۵۲-۱۳۷۲)، مهم‌ترین زمین لرزه‌های رویداده که در ادامه آمده است، عبارتند از زمین لرزه ناغان (۱۷ فروردین ۱۳۵۶، ۶ آوریل ۱۹۷۷ میلادی) زمین لرزه طبس (۲۵ شهریور ۱۳۵۷، ۱۶ سپتامبر ۱۹۷۸ میلادی) و زمین لرزه منجیل (۳۱ خرداد ۱۳۶۹، ۲۱ ژوئن ۱۹۹۰ میلادی).

## ۱۳۵۶-۱-۳-۱-زمین‌لرزه ناغان، ۱۷ فروردین

زمین‌لرزه ناغان با بزرگای ۱/۶ در منطقه زاگرس (استان چهارمحال و بختیاری) رخ داد. در این زمین‌لرزه، ۳۴۸ نفر کشته و ۲۰۰ زخمی شدند. با توجه به اینکه منطقه زاگرس کوهستانی بوده، تعداد ایستگاه‌های نصب شده در این منطقه اندک بوده است و این رویداد تنها در ۲ ایستگاه به ثبت رسید. در ایستگاه ناغان حداقل شتاب تصحیح شده در حدود ۸۵۰ سانتی‌متر بر مجدور ثانیه بوده که یکی از نگاشتهای مهم ثبت شده تاکنون می‌باشد. لازم به ذکر است که مؤلفه عمودی این زمین‌لرزه به دلیل خوانا نبودن موجود نمی‌باشد. در شکل ۱۱-۳ تاریخچه زمانی ۲ مولفه این زمین‌لرزه نشان داده شده است.



شکل ۱۱-۳ تاریخچه زمانی زمین‌لرزه ناغان، ۱۷ فروردین ۱۳۵۶

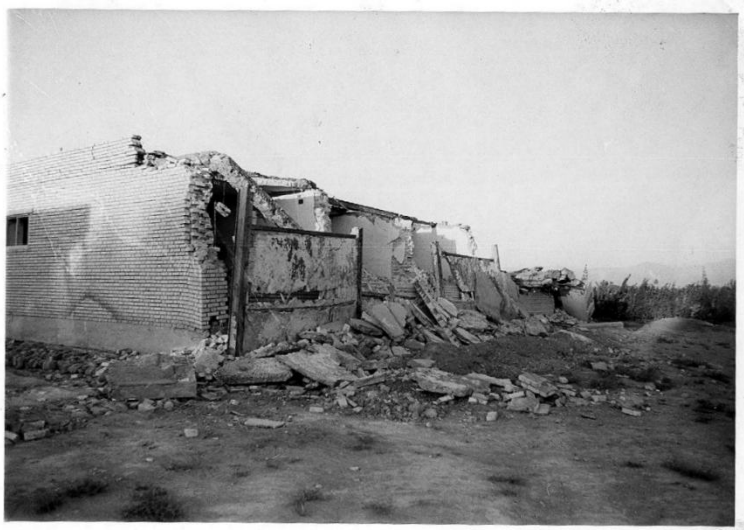
## ۱۳۵۷-۱-۳-۲-زمین‌لرزه طبس، ۲۵ شهریور

بی‌تربید اگر بخواهیم از زمین‌لزه‌ای بزرگ و تاثیر گذار در تاریخ ایران زمین نام ببریم، زمین‌لرزه ۱۳۵۷ طبس با بزرگای  $Mw7/3$  دارای جایگاهی ویژه در این میان است. این رویداد نزدیک به ۱۸ هزار نفر تلفات انسانی در برداشت و خسارت بسیاری بر جای گذاشت (شکل ۱۲-۳ و شکل ۱۳-۳). این زمین‌لرزه در تاریخ شبکه شتابنگاری نیز بسیار مهم و تاثیر گذار بوده است، چرا که برای اولین بار یک رکورد شتابنگاشت نزدیک به گسل در این زمین‌لرزه به ثبت رسید. این رکورد به لحاظ مدت دوام، محتوی فرکانسی، دامنه‌های بسیار بالای شتاب زمین‌لرزه از چنان ویژگی‌هایی برخوردار است که نه تنها در زمان ثبت، بلکه هم اکنون پس از گذشت بیش از سه دهه از رویداد زمین‌لرزه طبس یکی از مهم‌ترین شتابنگاشتهای ثبت شده در دنیا می‌باشد. از این شتابنگاشت تقریباً در تمامی روابط تخمین جنبش

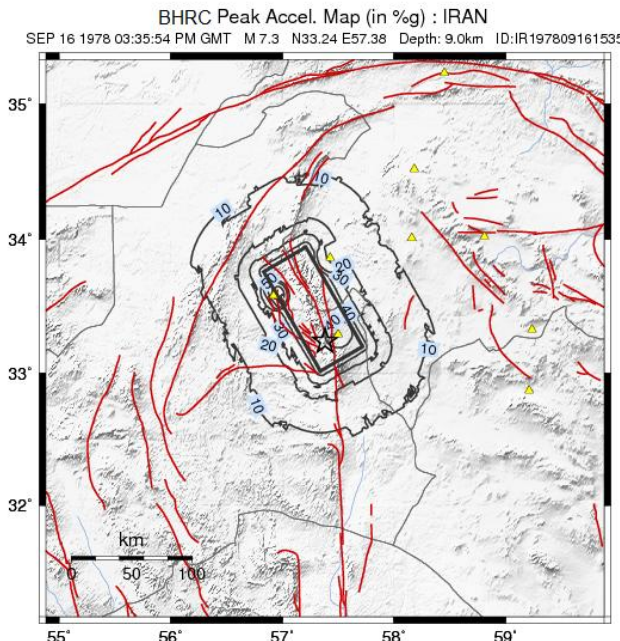
زمین (برای زمینلرزه‌های کم عمق پوسته‌ای) تدوین شده در دنیا استفاده شده است. زمین (NGA2008,2014). این زمینلرزه توسط ۹ ایستگاه شتابنگاری آنالوگ SMA-1 ثبت گردید. ایستگاه‌های طبس، دیهوک و بشرویه نزدیکترین ایستگاه‌ها به گسل این زمینلرزه بودند. در شکل ۱۴-۳ ایستگاه‌های ثبت کننده این رویداد نشان داده شده است.



شکل ۱۲-۳ خرابی‌های ناشی از زمینلرزه طبس، شهریور ۱۳۵۷

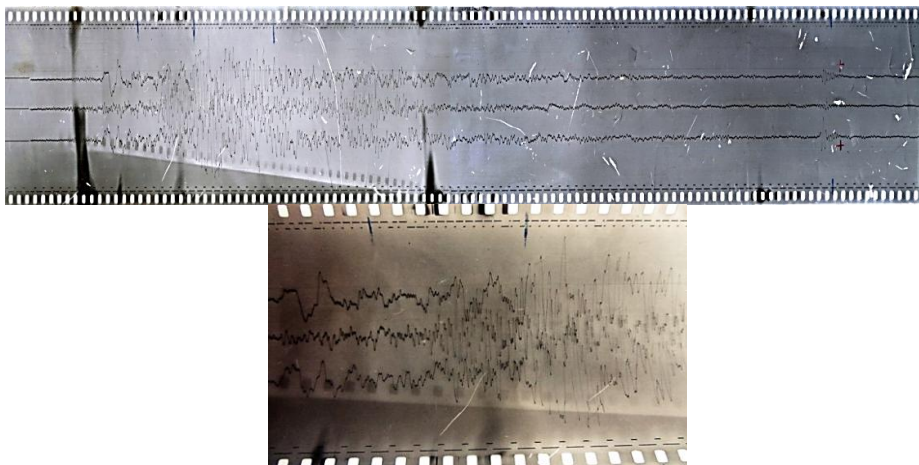


شکل ۱۳-۳ خرابی‌های ناشی از زمین‌لرزه طبس، شهریور ۱۳۵۷



شکل ۱۴-۳ ایستگاه‌های شتابنگاری ثبت کننده زمین‌لرزه طبس که توسط مثلث نشان داده شده است.

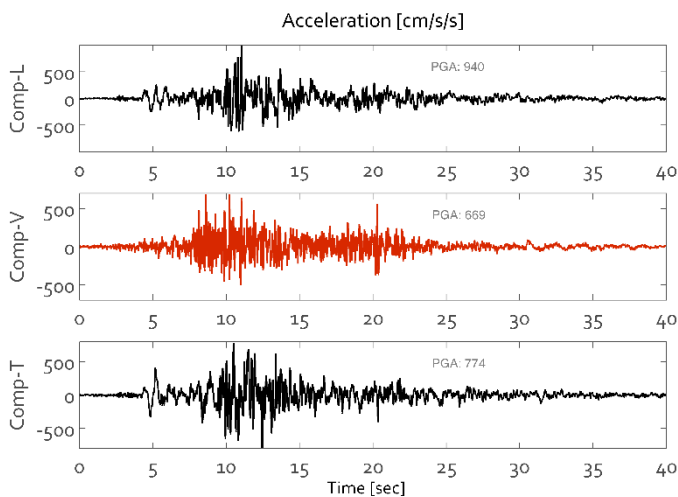
اگرچه ایستگاه طبس در فاصله ۵۰ کیلومتری از رومکز زمین‌لرزه بوده است، اما در فاصله حدود ۳ کیلومتری از شکستگی گسل مسبب زمین‌لرزه واقع بوده و شتابی در حدود ۹۴٪ شتاب ثقل زمین در این ایستگاه به ثبت رسید. بخشی از شدیدترین جنبش‌های ثبت شده بر روی فیلم رکورد طبس، در شکل ۱۵-۳ نشان داده شده است. در مورد این زمین‌لرزه ذکر این نکته ضروری است که خوشبختانه بازدید کارشناس شبکه شتابنگاری، آقای علی اکبر بداغی، از این ایستگاه و ایستگاه‌های پیرامون زمین‌لرزه طبس، تنها دو ماه پیش از رویداد، باعث آماده به کار شدن دستگاه‌های شتابنگار منطقه گردید، به خصوص در مورد دستگاه طبس که در هنگام بازدید قبل از زمین‌لرزه از کار افتاده بود که این عمل باعث شد تا یکی از معروف‌ترین رکوردهای دنیا ثبت گردد. شکل ۱۶-۳ تصویر فرم بازدید این ایستگاه قبل و بعد از رویداد زمین‌لرزه ۲۵ شهریور طبس را نشان می‌دهد.



شکل ۳-۱۵ نسخه اصلی فیلم ثبت کننده تاریخچه زمانی طبس در ایستگاه شتابنگاری طبس

شماره دستگاه	۱۷۹	نام استخوان	پارسید کنند - ملک	تاریخ	۳۰-۶-۱۴۷۸
نحوه احتساب	مقدار خروجی	نحوه محاسبه	مقدار خروجی	نحوه محاسبه	نحوه احتساب
موارد	دستگاه	موارد	دستگاه	موارد	دستگاه
ردیف	(۱)	ردیف	(۲)	ردیف	(۳)
نرخ حباب حداده نگار		نرخ حباب حداده نگار		نرخ حباب حداده نگار	
تعداد کالا پر		تعداد کالا پر		تعداد کالا پر	
ولاتیما طاری و قرض مخ موشی		ولاتیما طاری و قرض مخ موشی		ولاتیما طاری و قرض مخ موشی	
ولاتیما لام		ولاتیما لام		ولاتیما لام	
نتظیر بود و شدت نقصان نور		نتظیر بود و شدت نقصان نور		نتظیر بود و شدت نقصان نور	
ناظم حساسیت اخیرینه مقادیر خود		ناظم حساسیت اخیرینه مقادیر خود		ناظم حساسیت اخیرینه مقادیر خود	
رازد کامپونن		رازد کامپونن		رازد کامپونن	
نقطه شروع کنند (—)		نقطه شروع کنند (—)		نقطه شروع کنند (—)	
زمان آدم کار دستگاه های از هر		زمان آدم کار دستگاه های از هر		زمان آدم کار دستگاه های از هر	
تغییر مقدار و نویز گیم خام موجود		تغییر مقدار و نویز گیم خام موجود		تغییر مقدار و نویز گیم خام موجود	
کنترل احتمال دستگاه بزمی		کنترل احتمال دستگاه بزمی		کنترل احتمال دستگاه بزمی	
ولتاژ روید و خوش چا روزگار		ولتاژ روید و خوش چا روزگار		ولتاژ روید و خوش چا روزگار	

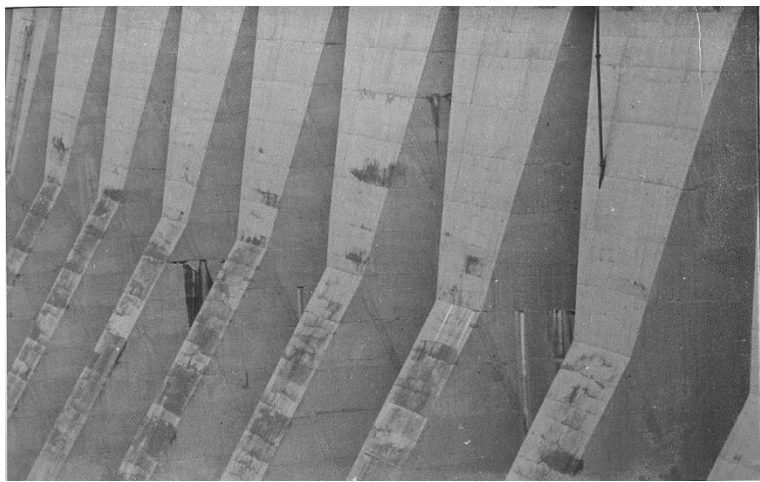
شکل ۱۶-۳ تصویر فرم بازدید از ایستگاه طبس قبل از رویداد زمین لرزه (سمت راست) و بعد از رویداد زمین لرزه (سمت چپ) دورترین ایستگاه به کانون زمین لرزه ایستگاه کاشمر با ۲۲۷ کیلومتر فاصله و شتاب ۴۳ سانتی متر بر مجدور ثانیه و نزدیکترین ایستگاه به کانون ایستگاه دیهوک با ۱۰ کیلومتر فاصله و شتابی در حدود ۴۰۳ سانتی متر بر مجدور ثانیه بوده است. در شکل ۱۷-۳ تاریخچه زمانی نگاشت ثبت شده در این زمین لرزه در ایستگاه طبس نشان داده شده است.



شکل ۱۷-۳ تاریخچه زمانی ثبت شده در ایستگاه طبس در زمین‌لرزه طبس

### ۱۳۶۹-۰۳-۰۳-زمین‌لرزه منجیل ۳۱ خرداد

رویداد ۳۱ خرداد ۱۳۶۹ آخرین زمین‌لرزه بزرگی بود که توسط مجموعه دستگاه‌های شتابنگار SMA-1 در دوره اول فعالیت شبکه ملی شتابنگاری ثبت گردید. این زمین‌لرزه و اثرات آن، جدا از خسارات جانی و مالی فراوانی که بر جای گذاشت و از منظر تلفات جانی از بزرگترین زمین‌لرزه‌های تاریخ ایران گردید، در عین حال انقلابی در بحث مهندسی زلزله و مطالعات مرتبط با طراحی مقاوم سازه‌ها در برابر زلزله ایجاد نمود. زمین‌لرزه منجیل اولین زمین‌لرزه‌ای بود که در یک منطقه شهری نسبتاً پرجمعیت که دارای کارخانه، سد و سایر شریان‌های حیاتی بود اتفاق افتاد. این زمین‌لرزه شهرهای رودبار، منجیل و لوشان را ویران و ددها روستا را به زیر خاک فربود. این زمین‌لرزه دارای اثرات ثانویه ناشی از پدیده‌های ژئوتکنیکی مانند لغزش‌های بزرگ، ریزش کوه و نشست زمین بود که منجر به خسارات فراوانی شد. خرابی‌های واردہ از این رویداد در شکل ۱۸-۳ الی شکل ۲۳-۳ نشان داده شده است. تلفات این زمین‌لرزه طبق آمار رسمی ۱۵۸۰۰ نفر و آمار غیر رسمی تا مرز ۳۵۰۰۰ هم نفر رسیده است.



شکل ۳-۱۸-۳ ترک‌های ایجاد شده در پایه‌های سد سفیدرود در اثر زمین‌لرزه منجیل. نشت آب در پایه مشخص می‌باشد (عکس از مهندس نادرزاده).



شکل ۳-۱۹-۳ عبور گسیختگی از کف و دیوار خانه مسکونی در پاکده (راست). عدم فروریختش در منبع آب تازه احداث در شهر رشت (چپ)، هنگام وقوع زمین‌لرزه منبع خالی بود (عکس از مهندس نادرزاده).



شکل ۲۰-۳ خرابی بیمارستان رودبار پس از زمین لرزه (عکس از مهندس نادرزاده)



شکل ۲۱-۳ فروریختن طره های بزرگ در ساختمان بیمارستان رودبار (عکس از مهندس نادرزاده)



شکل ۲۲-۳ ۲۲ سال ماندن مجتمع مسکونی کارکنان کارخانه سیمان لوشان (عکس از مهندس نادرزاده)



شکل ۲۳-۳ عدم آسیب‌دیدگی مخازن ۵۰۰,۰۰۰ لیتری بنزین با وجود تخریب سازه‌های اطراف پمپ بنزین (عکس از مهندس نادرزاده)

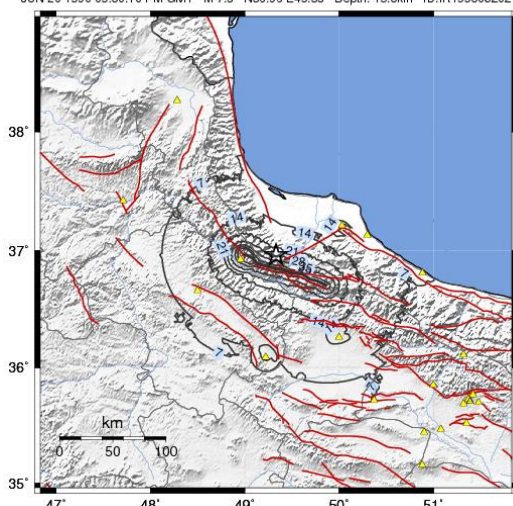
شبکه شتابنگاری ایران در این سال‌ها با بحران ناشی از کمبود فیلم ۷۰ میلیمتری و سایر لوازم یدکی مانند باتری و اقلام مورد نیاز راهاندازی دستگاه‌های شتابنگار روپرتو بود. این مشکلات باعث شد که در برخی از این زمین‌لرزه‌ها تعدادی از دستگاه‌های شتابنگاری قادر به ثبت زمین‌لرزه‌ها نباشند. در زمین‌لرزه ۳۱ خرداد ماه ۱۳۶۹ منجیل، دستگاه‌های شتابنگار روپرتو و منجیل در اثر زمین‌لرزه در زیر آوار قرار گرفته و متاسفانه نابود گردیدند. در این زمین‌لرزه نزدیک‌ترین ایستگاه ثبت کننده، شتابنگار ایستگاه آب بر بود، که در این ایستگاه نیز یکی از رکوردهای شاخص شبکه شتابنگاری ایران به ثبت رسید.

جدول ۳-۳ مشخصات شتابنگاشتهای ثبت شده از زمین‌لرزه روپرتو را نشان می‌دهد. در مجموع ۲۲ دستگاه شتابنگار این زمین‌لرزه را ثبت کردند. حداکثر شتاب در ایستگاه آب بر در حدود ۷۰۰ سانتی متر بر محدوده ثانیه بوده است. متاسفانه دستگاه شتابنگار شهر رشت که رکورد آن می‌توانست توجیه کننده علل خرابی برخی ساختمان‌های بلند مرتبه در این شهر باشد به دلیل خرابی دستگاه ثبت نگردید. ۵ ایستگاه شتابنگاری شهر تهران نیز این زمین‌لرزه را در فاصله بیش از ۲۰۰ کیلومتر ثبت کردند. در شکل ۲۴-۳ ایستگاه‌های ثبت کننده در این رویداد را نشان می‌دهد.

جدول ۳-۳ لیست ایستگاه‌های ثبت کننده زمین‌لرزه منجیل - رودبار

کد ایستگاه	فاصله رومترکی	بیشینه شتاب زمین (cm/s/s)	شماره رکورد	نام ایستگاه (الاتین)	نام ایستگاه(فارسی)
TEH41-A	232	29	1351	Tehran 41	تهران ۱ (دانشگاه شریف)
TEH51-A	223	34	1352	Tehran 51	تهران ۵ (مرکز تحقیقات)
GHZ-A	94	164	1353/01	Qazvin	قزوین
ABH-A	98	211	1354	Abhar	اهبر
RUS-A	81	92	1355	Roodsar	رودسر
TEH47-A	222	12	1356/02	Tehran 47	تهران ۷ (زمین شناسی)
LHI-A	62	184	1357/01	Lahijan	لاهیجان
MIN-A	159	34	1358/02	Miyaneh	میانه
TNK-A	132	130	1359	Tonekabon	تنکابن
GCH-A	195	100	1361	Gachsar	گچسر
ABB-A	41	623	1362/01	Ab-bar	آب بر
TEH53-A	236	47	1363/02	Tehran 53	تهران ۳ (کهریزک)
ZNJ-A	88	130	1364	Zanjan	زنجان
ARB-A	176	30	1365/02	Ardebil	اردبیل
TEH39-A	223	21	1366	Tehran 39	تهران ۳۹ (چیدر)
ROD-A	215	42	1369	Roodshour	رودشور
ROB-A	223	17	1370/01	Robat Karim	رباط کریم
KRJ-A	188	27	1371/02	Karaj	کرج
EST-A	163	69	1372	Eshtehard	اشتهراد
TEH42-A	225	59	1407	Tehran 42	تهران ۴ (وزارت کشاورزی)
TEH46-A	225	53	1408	Tehran 46	تهران ۶ (وزارت کشاورزی)
KNR	240	27	1409/02	Koosk-e-Nosrat	کوشک نصرت

BHRC Peak Accel. Map (in %g) : IRAN  
JUN 20 1990 09:00:10 PM GMT M 7.3 N36.96 E49.33 Depth: 15.0km ID:IR199006202100



شکل ۳-۴ نقشه ایستگاه‌های ثبت کننده زمین‌لرزه منجیل به همراه کنتورهای هم شتاب. ایستگاه‌ها توسط ملت نشان داده شده‌اند.

همانگونه که در بخش‌های پیشین آمده، دستگاه‌های آنالوگ SMA-1 حرکت زمین را توسط قلم‌های نوری بر روی فیلم ۷۰ میلیمتری ثبت می‌کنند. برای تبدیل این فیلم‌ها به فایل‌های رقومی از دو روش رقومی‌سازی استفاده می‌شود. در روش اول که قدیمی‌تر بوده است، از دستگاه رقومی‌ساز نیمه اتوماتیک

استفاده می‌گردید. این روش، کاری طاقت فرسا بوده و با خطای بیشتری همراه بوده است. در روش دوم با استفاده از دستگاه‌های اسکنر و برنامه Scanview اقدام به رقومی سازی این رکوردها می‌شده است. این روش از خطای کمتری نسبت به روش اول برخوردار بوده است. در این رویداد، بخش‌هایی از فیلم ثبت شده در ایستگاه آب بر به خصوص در انتهای فیلم قابل قرائت در مؤلفه عرضی دستگاه نبوده است.

### ۲-۳- مرحله دوم فعالیت- شبکه دیجیتال (۱۳۷۳ تا ۱۳۹۴)

پس از رویداد زمین‌لرزه منجیل، با توجه به خسارات جانی و مالی آن، در نگرش مسئولین و محققین در ایران تحولی ایجاد شد به طوری که تاسیس سازمان‌های جدید مانند پژوهشگاه بین‌المللی زلزله‌شناسی و مهندسی زلزله، ایجاد و توسعه رشته‌های جدید در زمینه‌های مهندسی زلزله و زلزله‌شناسی مهندسی و تغییرات اساسی در آیین‌نامه زلزله ایران از نمودهای باز این اثرات می‌باشد.

بعد از رویداد زمین‌لرزه منجیل، شبکه شتابنگاری ایران نیز از این تغییرات مصون نماند. در آن سال مشکلات عمدۀ بر سر راه فعالیت دستگاه‌های شتابنگار آنالوگ SMA-1 وجود داشت که منجر به نوسازی شبکه و انجام اقدامات جدی در مرکز تحقیقات شد. مهم‌ترین آن مشکلات به شرح ذیل بود:

- کمبود فیلم ۷۰ میلیمتری، باتری و ...
- کمبود لوازم یدکی دستگاه‌ها
- فرسودگی دستگاه‌های شتابنگار
- کمبود دستگاه در مناطق لرزه‌خیز و مهم
- مشکلات مربوط به رقومی کردن رکوردهای دستگاه‌های آنالوگ

با توجه به پیشرفت علم در دنیا، دستگاه‌های جدید دیجیتال جایگزین دستگاه‌های آنالوگ شده بود، بدین ترتیب که با جایگزین کردن تبدیل کننده آنالوگ به دیجیتال، ثبت امواج بر روی فیلم حذف شده بود و ظرفیت ثبت امواج به طور محسوسی افزایش یافته بود. از این رو تمامی شبکه‌های شتابنگاری دنیا تغییرات را در شبکه خود آغاز نموده بودند و به دنبال فعالیت‌های صورت گرفته پس از زمین‌لرزه رودبار منجیل، توسعه شبکه ملی شتابنگاری در دستور کار مرکز تحقیقات ساختمان و مسکن قرار گرفت که

دوره دوم فعالیت شبکه، در واقع به دلیل ورود دستگاه‌های دیجیتال و نصب آن‌ها شکل گرفت. انجام این مهم با وامی که بانک جهانی در اختیار دولت جمهوری اسلامی ایران قرار داد صورت گرفت. در آن سال، تولید کنندگان عمدۀ و معروف دستگاه‌های شتابنگار در کشورهای آمریکا و سوئیس مستقر بوده و انتخاب دستگاه‌های شتابنگار برای توسعه شبکه شتابنگاری از میان دو برنده کینمتریکس از آمریکا و سیسکام از سوئیس صورت گرفت. در این میدان رقابت، شرکت کینمتریکس دستگاه SSA-2 و شرکت سیسکام دستگاه MR2002 را پیشنهاد نمودند که پس از بررسی و مطالعه، دستگاه SSA-2 انتخاب و تعداد ۱۲۳۸ دستگاه از این مدل توسط مرکز تحقیقات ساختمان و مسکن خریداری شد.

### ۱-۲-۳- دستگاه شتابنگار SSA-2

دستگاه شتابنگار دیجیتال SSA-2 که در حال حاضر بدنه اصلی شبکه ملی شتابنگاری را تشکیل می‌دهد، آخرین نسل از دستگاه‌های سری SSA شرکت کینمتریکس بوده که در سال ۱۹۹۲ میلادی وارد بازار جهانی گردید. شتابنگار SSA-2 (شکل ۲۵-۳)، دستگاه ساده شده شتابنگار معروف SSA-1 است. البته از لحاظ نرم افزاری و سخت‌افزاری، تفاوت محسوسی بین دو دستگاه SSA-1 و SSA-2 وجود نداشت. شاید محسوس‌ترین اختلاف بین این دو دستگاه تفاوت قیمت آن‌ها است که از نظر تجاری استفاده از SSA-2 رامقرون به صرفه می‌کرد. این تفاوت قیمت بخاراط عوامل زیر ایجاد شده بود.

- استفاده از بردۀای الکترونیکی اصلی (نصف بردۀای SSA-1)
- استفاده از یک باطری ۱۲ ولت بجای دو عدد باطری
- حافظه استاندارد و کوچکتر (۲۵۶ کیلوبایت برای ۱۰ دقیقه، قابل افزایش به ۲ مگابایت یا ۸۰ دقیقه)
- قابلیت وصل شدن چند دستگاه بهم بدون کمک از سخت افزار خارجی
- کوچکتر و سبکتر بودن که قابلیت حمل آن را راحت‌تر کرده است.



شکل ۲۵-۳ شتابنگار SSA-2 نصب شده در فرمانداری بهم که رکورد مهمن زندگی گسل زمین لرزه بهم را با پیشینه شتاب ۹۰،۹ ثبت نمود (راست) به همراه محتوا داخلي دستگاه (چپ)

دستگاه SSA-2 زمین لرزه را به وسیله پایش سیگنال های شتاب از هر کدام از سنسورهای سه گانه آن ثبت می کند. هنگامی که جنبش نیرومند زمین (شتاب حاصله) از حدی که برای دستگاه توسط کاربر تعريف شده، بیشتر شود، دستگاه شروع به کار نموده و تا زمانی که شتاب حرکت زمین مجدداً به این حد برسد، فعالیت دستگاه ادامه خواهد داشت، که این آستانه شتاب یا آستانه تحریک بین ۱ / ۰ تا ۱۰ درصد شتاب ثقل زمین (۱۹) تغییر می کند.

داده های شتاب دریافت شده توسط سنسورهای دستگاه بوسیله تبدیل کننده آنالوگ به دیجیتال برد اصلی، رقمی شده و در حافظه CMOS دستگاه ذخیره می شوند. این اطلاعات تا زمانی که باطری پشتوانه حافظه دستگاه از محل خود خارج نشود، در حافظه باقی می ماند.

همچنین یک ساعت داخلی که دارای دقت خیلی بالایی نمی باشد، نیز در این دستگاه وجود دارد. این ساعت برای مشخص کردن زمان رویداد زمین لرزه های ثبت شده بسیار مفید است. دستگاه شتابنگار SSA-2 دارای یک باطری داخلی ۱۲ ولت می باشد که قادر است در شرایط استاندارد، به مدت ۳ روز توان لازم را برای ادامه کار دستگاه را بدون شارژ مجدد مهیا کند. باطربهای لیتیوم ۳/۵ ولت به منظور پشتوانه حافظه و ساعت داخلی دستگاه نیز پیش بینی شده اند.

به منظور تخلیه اطلاعات ثبت شده توسط این نوع دستگاه شتابنگار، از دو روش استفاده می شود، ارتباط مستقیم با دستگاه در محل نصب از طریق کامپیوترهای کیفی یا PC و ارتباط از طریق خطوط تلفن و با کمک مودم. در هر دو روش از نرم افزار استاندارد دستگاه که به Quicktalk معروف است استفاده

می‌گردد. این نرم افزار دارای بخش‌های مختلفی است که برای تخلیه و مشاهده نگاشت از آن استفاده می‌شود.

شتابنگار-2 SSA در زمان تولید یکی از مفیدترین دستگاه‌ها برای شبکه‌های ناحیه‌ای محسوب می‌گردید که برای مطالعه پس‌لرزه‌ها و آرایه‌های ساختمانی نیز بسیار مفید است.

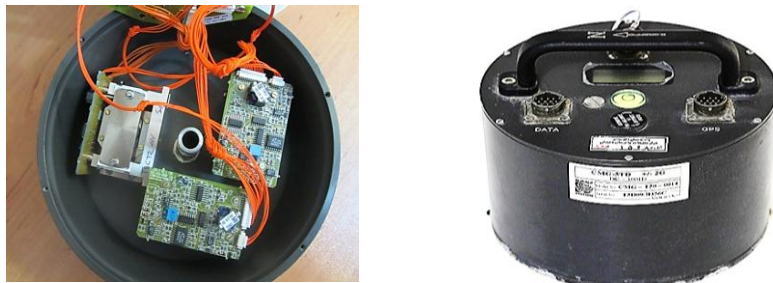
### ۲-۲-۳- دستگاه شتابنگار گورالپ، مدل CMG-5TD

با توجه به تولید و عرضه دستگاه‌های دیجیتال جدید با قابلیت‌های ارتباطی بروز، در سال ۱۳۸۵ تلاش‌ها و کوشش‌هایی برای خرید تعدادی دستگاه شتابنگار مدرن در شبکه شتابنگاری آغاز شد که منجر به خرید بیش از ۱۶۰ دستگاه و سنسور از شرکت گورالپ انگلستان گردید. دستگاه‌های شتابنگار گورالپ جز دستگاه‌های رده A محسوب شده و در بسیاری از شبکه‌های شتابنگاری دنیا نظیر ترکیه، ایتالیا، آمریکا و تایوان مورد استفاده قرار گرفته‌اند. شتابنگار مورد استفاده در شبکه ایران از نوع CMG-5TD می‌باشد که در شکل ۲۶-۳ نشان داده شده است.

این دستگاه شتابنگار شامل یک دیجیتايزر ۲۴ بیتی DM24 و سنسور CMG-5T در یک مجموعه یکپارچه شده است. سنسور این دستگاه دارای محدوده دینامیکی ۱۴۰ دسی بل و حساسیت آن می‌تواند ۲ تا ۴ برابر شتاب تقلیل زمین نیز سفارش داده شود که در مورد دستگاه‌های شبکه ایران این عدد ۲ و می‌باشد. پاسخ فرکانسی شتاب این سیستم از DC تا ۱۰۰ هرتز خطی می‌باشد. این شتابنگار دارای دو خروجی RS-232 به صورت جداگانه می‌باشد. نرخ نمونه برداری به طور استاندارد تا ۲۰۰ نمونه در ثانیه و در صورت نیاز به صورت انتخابی تا ۱۰۰۰ نمونه امکان پذیر می‌باشد. این دستگاه دارای حافظه داخلی به طور استاندارد تا ۲۵۶ مگابایت بوده که بر اساس سفارش قابل ارتقا نیز می‌باشد.

نصب این دستگاه بسیار ساده بوده و هیچ نیازی به تراز کردن خود سنسورها وجود ندارد. انواع مختلفی از سنسورهای شتاب از این مدل وجود دارد. به عنوان مثال شتابنگار CMG-5TDB برای مطالعات درون چاهی طراحی شده است که شبکه شتابنگاری ایران در حال حاضر دارای ۴ عدد از این نوع دستگاه‌ها می‌باشد. دستگاه‌های دیگری که از این شرکت برای رفتار نگاری لرزه‌ای ساختمان‌ها و سدها خریداری گردید، دستگاه‌های چند کاناله می‌باشند که می‌توانند به چندین سنسور متصل شوند و از طریق

سیستم کنترل مرکزی کنترل گردند. در جدول ۴-۳ مشخصات سه نوع دستگاه استفاده شده در شبکه شتابنگاری ایران آمده است.



شکل ۲۶-۳ شتابنگار گورالپ CMG-5TD (راست) و نمایی از ۳ مولفه سنسور شتابسنج CMG-5TD گورالپ (چپ)

جدول ۴-۳ جدول مقایسه مشخصات دستگاه‌های SSA-2، SMA-1 و CMG-5TD

CMG-5TD	SSA-2	SMA-1	خصوصیات
۳	۳	۳	تعداد کانال‌ها
۲۰۰-۱۰۰	۲۰۰	۱۶۰	نرخ بهره‌برداری داده
۱۴۰ dB	۷۲ dB	۵۵ dB	محدوده دینامیکی
Force Balance	Force Balance	Passive, Spring mass	نوع سنسور
داخلی و سنسور اضافی خارجی	داخلی و سنسور اضافی خارجی	داخلی	سنسور داخلی، خارجی
۴۵۰ HZ >	۵۰ HZ	۲۵ HZ	فرکانس طبیعی
±( 0.1-4) g	±2 g opt 1,05,025,01	±1g	حساسیت
%۷۰	%۷۰	%۶۵	میزانی
۲۴ bit	۱۲ bits	0.0035 g	قدرت تفکیک
DC-100HZ	DC-50HZ	0.1-50 HZ	پهنای باند
دارد	دارد	-	حافظه قبل از رویداد
حافظه داخلی	HZ ۱۲ - +/1	HZ ۱۰ - ۱	پهنای باند راه اندازی
۱۶ گیگابایت حافظه جانی	256 KBYT CMOS	film 70 mm	نحوه ثبت
۹ دقیقه (۲۵۶ کیلو بایت)	۹ دقیقه (فیلم کامل)	۲۵ دقیقه (ظرفیت ثبت)	حافظه (ظرفیت ثبت)
اتصال کابل RS-232 با مودم، اینترنت و USB درگاه	اتاق تاریک جهت ظهور یا از طریق مودم	اتاق تاریک جهت ظهور	سخت افزار تخلیه
۱ باتری ۱۲ ولت ۶/۵ آمپر	۱ باتری ۱۲ ولت ۶/۵ آمپر	۲ باتری ۶ ولت ۲/۵ آمپر	منع تغذیه
۳ تا ۴ روز	۳ تا ۴ ماه	۲ تا ۳ ماه	ظرفیت کار باتری
۱۷۶ × ۲۴۵ × ۱۶۰ mm	۲۷۰ × ۳۸۰ × ۱۰۰ mm	۲۰۰ × ۲۰۰ × ۳۵۰ mm	ابعاد
۴,۳ کیلوگرم	حدود ۱۲ کیلو گرم	حدود ۱۱ کیلوگرم	وزن
- ۲۰ تا ۷۰ °C	- ۲۰ تا ۶۵ °C	- ۰°C - ۲۰ + ۵۵	درجه حرارت فعالیت
%۱۰۰	%۱۰۰	%۱۰۰	مقاوم در برابر رطوبت

### ۳-۲-۳- معیارهای انتخاب ایستگاه‌های جدید در مرحله دوم توسعه شبکه شتابنگاری

پس از خرید بیش از ۱۲۳۸ دستگاه شتابنگار-2 SSA مهم‌ترین نکته پیش رو در برابر کارشناسان شبکه شتابنگاری انتخاب نقاط مناسب جهت نصب این دستگاه‌ها و تدوین معیارهای فنی برای انتخاب بهترین نقاط برای نصب این دستگاه‌ها بود. بر این اساس پروژه‌ای در مرکز تعریف و با بررسی سایر شبکه‌های شتابنگاری در دنیا و گزارش‌های مربوط به این شبکه‌ها، معیارها و پارامترهای مشخصی برای این مهم اندیشه شد (میرزایی و رمضانی، ۱۳۷۶؛ میرزایی و فرزانگان، ۱۳۷۸). مهم‌ترین معیارها در ادامه به اختصار آرایه خواهد شد:

#### ۳-۲-۳-۱- سابقه لرزه‌خیزی تاریخی

یکی از معیارها در انتخاب نقاط جدید سابقه لرزه‌خیزی تاریخی بوده است (رویداد زمین‌لرزه‌های بزرگ و ویرانگر در سده‌های قبل از سده بیستم). مهم‌ترین منبع در این زمینه کتاب ارزشمند تاریخ زمین‌لرزه‌های ایران نوشته آمبرسیز و ملویل (ترجمه ابوالحسن رده) بود. انتخاب ایستگاه‌هایی مانند نیشابور در استان خراسان رضوی، دامغان در استان سمنان، و برخی از شهرهای استان مازندران و سایر نقاط کشور که در صد سال اخیر لرزه‌خیزی قابل توجهی نداشته‌اند، ولیکن در طول تاریخ گزارشی از رویداد زمین‌لرزه‌های بزرگ و ویرانگر در آن‌ها به ثبت رسیده بود، از این جمله بوده‌اند.

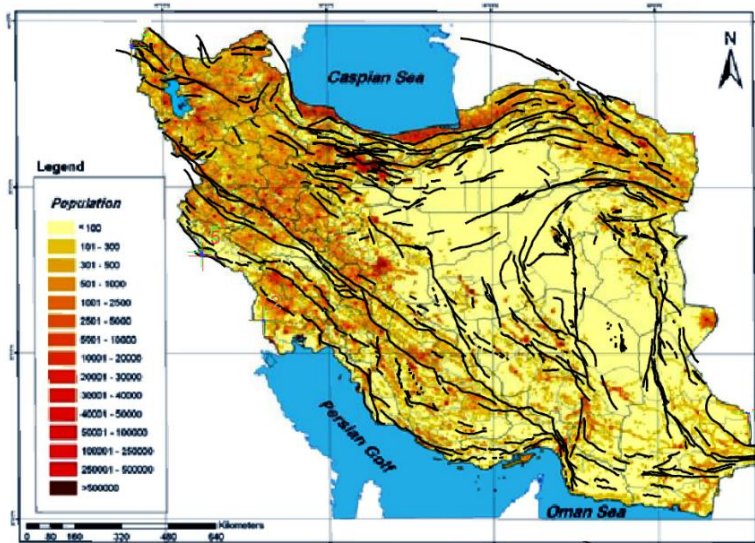
#### ۳-۲-۳-۲- سابقه لرزه‌خیزی و رویداد زمین‌لرزه‌های بزرگ و متوسط‌ظریه سده اخیر

یکی دیگر از معیارهای انتخاب ایستگاه‌های شتابنگاری رویداد زمین‌لرزه‌های بزرگ و متوسط در منطقه در سده بیستم بوده است. برخی از مناطق کشور که فاقد سابقه لرزه‌خیزی مهم در تاریخ گذشته خود بودند در سده بیستم شاهد رویداد زمین‌لرزه‌های مهمی بوده‌اند که بر همین اساس این شهرها و روستاهای جهت نصب ایستگاه‌های جدید انتخاب گردیدند. مناطقی مانند شنبه در استان بوشهر و ایستگاه‌هایی پیرامون کانون زمین‌لرزه‌های بزرگ مانند طبس، رودبار و منجیل از این دست می‌باشند.

#### ۳-۲-۳-۳- پوشش گسل‌های فعل و لرزه‌زادر مجاورت شهرها و روستاهای

متاسفانه به دلایل عمدتاً زمین‌شناختی، اکثر شهرها و روستاهای ایران در مناطق کوهپایه‌ای و مرز بین کوه و دشت، به خصوص در نواحی البرز و زاگرس ساخته شده‌اند، که این مهم منجر به توسعه این

مناطق جمعیتی در مجاورت گسل‌های فعال و لرزه‌زا شده است. نگاهی به نقشه‌های تهیه شده از گسل‌های ایران که مناطق جمعیتی بر روی آن مکانیابی شده‌اند (شکل ۲۷-۳)، نشان‌دهنده گسترش شهرها و روستاها در امتداد گسل‌های مهم و لرزه‌زا است. به همین دلیل شبکه شتابنگاری با علم به این مسئله و تاثیر مخربی که حرکت این گسل‌ها و رویداد زمین‌لرزه‌های متعاقب آن بر جمعیت و بناهای روستایی و شهری خواهد گذاشت، یکی از معیارهای گسترش شبکه را پوشش این نوع از گسل‌ها در نظر گرفت. نمونه مهم و شاخص این گسل‌ها را می‌توان در گسل شمال تبریز، گسل‌های شهر تهران و پیرامون آن مانند گسل‌های مشا، پیشو، فیروزکوه و ... مشاهده کرد.

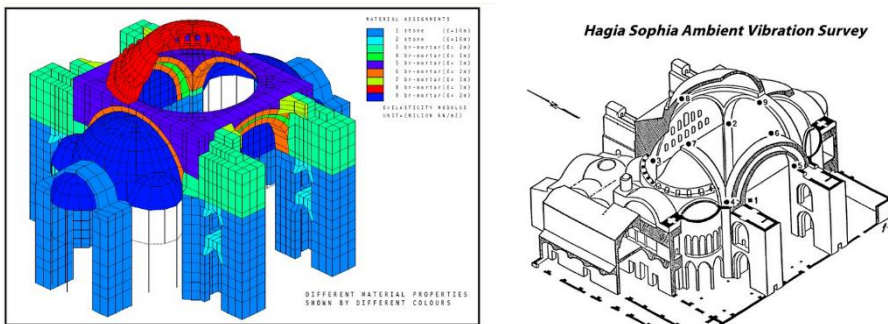


شکل ۲۷-۳ نقشه پراکندگی جمعیت به همراه گسل‌های فعال ایران

#### ۳-۲-۴- وجود یادمان‌های تاریخی و باستانی

ارزش یادمان‌های تاریخی و باستانی امروزه بر کسی پوشیده نیست. وجود این سازه‌ها در مناطق مختلف کشور به خصوص در نواحی لرزه‌خیز ضرورت بررسی و تدوین روشهای ایمن سازی در برابر زمین‌لرزه این سازه‌ها را بیش از پیش ضروری می‌سازد. امروزه در کشورهای لرزه‌خیز که سازه‌های تاریخی دارای اهمیت در آن‌ها وجود دارند، رفتارنگاری لرزه‌ای و ایجاد شبکه‌های ثبت جنبش زمین از اهمیت بالایی

برخوردار است. در این مورد می‌توان از رفتار نگاری مسجد ایاصوفیه در استانبول ترکیه نام برد (شکل ۲۸-۳). در مجموعه شبکه شتابنگاری علاوه بر رفتار نگاری مستقیم، با نصب دستگاه در برخی از یادمان‌های تاریخی مانند تخت جمشید، در سایر شهرها نیز پوشش دستگاهی این سازه‌ها در گسترش شبکه مد نظر قرار داد.



شکل ۲۸-۳ رفتارنگاری لرزه‌ای مسجد ایاصوفیه استانبول. محل قرارگیری سنسورها در شکل سمت راست و مدل نهایی در شکل سمت چپ نشان داده شده است (ذوالفقار و همکاران، ۲۰۱۴)

#### ۵-۳-۲-۳- وجود مراکز جمعیتی، اقتصادی و سیاسی

در ۵۰ سال اخیر با توسعه صنعتی کشور و رشد روزافزون شهرهای بزرگ و کوچک در کشور، الگوی توزیع جمعیت در کشور تغییر یافته و عمدۀ جمعیت کشور در شهرهای بزرگ و کوچک ساکن شده‌اند. لذا در انتخاب ایستگاه‌های جدید شتابنگاری به این مهم نیز توجه شده است. لذا وزن پوشش دستگاهی شهرهای همچون تهران، تبریز، مشهد و شیراز با توجه به اهمیت اقتصادی و سیاسی آن‌ها بیشتر از شهرهای دیگر در نظر گرفته شد.

#### ۶-۳-۲-۳- پوشش مناطق با شرایط متفاوت زمین‌شناسی

یکی از مهم‌ترین پارامترهای تاثیر گذار بر روی جنبش نیرومند زمین ناشی از رویداد زمین‌لرزه‌ها، شرایط خاک و زمین‌شناسی محل نصب ایستگاه‌های شتابنگاری است. پس از زمین‌لرزه مخرب مکزیکو سیتی در سال ۱۹۸۵، موضوع بررسی اثرات خاک در تشید جنبش نیرومند زمین به شدت مورد علاقه دانشمندان قرار گرفت. امروزه با تحقیقات صورت گرفته، این مهم به خوبی شناخته شده است. در توسعه شبکه‌های شتابنگاری در سراسر دنیا با علم به این موضوع سعی می‌گردد تا نسبت به نصب دستگاه‌های

شتابنگار در شرایط مختلف زمین‌شناسی، داده‌های مناسبی از گونه‌های مختلف خاک برای محققین فراهم گردد. این مهم در انتخاب نقاط جدید در شبکه شتابنگاری ایران نیز مد نظر قرار گرفت و سعی گردید تا با استفاده از نقشه‌های زمین‌شناسی، گزارشات و بازدیدهای محلی، ایستگاه‌های شتابنگاری در شرایط مختلف زمین‌شناسی نصب و راهاندازی گردد.

#### **۷-۳-۲- وجود مکانات سخت‌افزاری مورد نیاز احداث ایستگاه**

بی‌تردید ایجاد یک ایستگاه شتابنگاری در مناطقی که به لحاظ علمی مورد شناسایی قرار گرفته‌اند، مستلزم وجود زیرساخت‌های لازم جهت احداث، راهاندازی و ارتباط با ایستگاه می‌باشد. برق، خطوط مخابراتی و امنیت ایستگاه از مهم‌ترین پارامترهای مورد نیاز است. بر این اساس، با توجه به اینکه موارد یاد شده عمدتاً در ادارات دولتی وجود دارند، عمدۀ ایستگاه‌های شتابنگاری در ساختمان‌ها یا محوطه دستگاه‌های دولتی قرار گرفتند.

با توجه به معیارهای فوق و پس از انتخاب نقاط مناسب جهت نصب دستگاه‌های شتابنگار، اقدامات اولیه برای هماهنگی و نصب دستگاه‌های SSA-2 در شهرهای مختلف آغاز شد. اولین دستگاه شتابنگار SSA-2 در روستای سفیدآبه در اسفندماه ۱۳۷۲ نصب شد که سرآغاز نوسازی شبکه موجود در آن زمان بود و تا سال ۱۳۷۹ بیش از ۱۱۰۰ دستگاه شتابنگار SSA-2 در شهرها و روستاهای از پیش مشخص شده در سراسر کشور نصب گردیدند. بخشی از دستگاه‌های SSA-2 به تدریج جایگزین دستگاه‌های آنالوگ SMA-1 گردیدند و بقیه دستگاه‌ها در نقاط از پیش مشخص شده نصب شدند. این مهم با همکاری دستگاه‌های دولتی نظیر استانداری‌ها، فرمانداری‌ها، بخشداری‌ها، مراکز مخابراتی، مراکز بهداشت و آموزشی صورت گرفت.

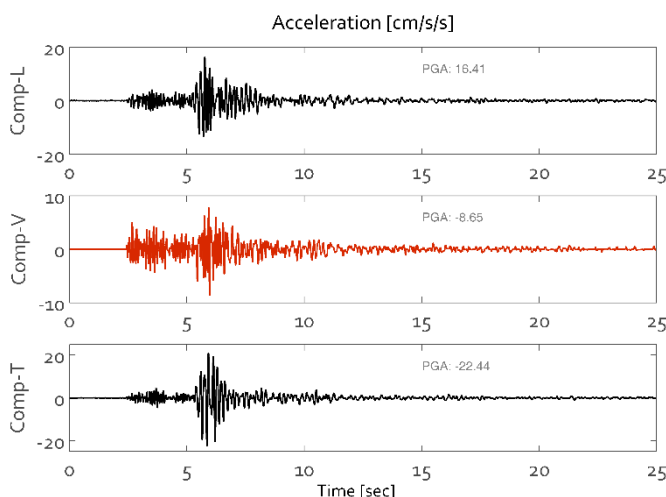
همزمان با نصب دستگاه‌های شتابنگار جدید، کارهایی نظیر تجهیز به مودم و نصب خط تلفن جهت ارتباط نیز صورت می‌گرفت. در طول سالیان فعالیت شبکه شتابنگاری، دستگاه‌های SSA-2 عملکرد بسیار خوبی از خود به نمایش گذاشتند بطوریکه پس از گذشت ۲۲ سال از نصب این دستگاه‌ها در شبکه، کمتر از ۱۰ درصد آن‌ها دچار خرابی شده‌اند. البته در این دوران متأسفانه دو ایستگاه شتابنگاری در اثر صاعقه، دچار آسیب شدند که شامل ایستگاه روستای تَشان در استان خوزستان و ایستگاه روستای ابر در

استان سمنان بودند. نکته جالب در این میان، سرقت تنها یک ایستگاه شتابنگاری در طول ۲۰ سال گذشته بوده است که خوشبختانه آن دستگاه نیز بعد از مدتی، بازگردانده شد.

### ۳-۲-۴- مهم‌ترین زمین‌لرزه‌های ثبت شده در دوره دوم فعالیت شبکه شتابنگاری

اولین دستگاه‌های شتابنگار دیجیتال SSA-2 در اسفند ۱۳۷۲، چند روز بعد از زمین‌لرزه ۴ اسفند ماه ۱۳۷۲ در سفیدآبه سیستان (بزرگای ۶/۲) در مدرسه این روستا و در ایستگاه ماکروویو نصب شدند. این دو دستگاه پس‌لرزه‌های زیادی از زمین‌لرزه سفیدآبه را ثبت کردند، که در واقع اولین رکوردهای دیجیتال شبکه شتابنگاری ایران بودند. اولین رکوردهای ثبت شده در این ایستگاه درست یک هفته بعد از زمین‌لرزه در روز دهم اسفند ماه ۷۲ در مدرسه روستای سفیدآبه به ثبت رسید و اولین رکورد منتبه به زمین‌لرزه نیز در تاریخ یازدهم اسفند برای زمین‌لرزه‌ای با بزرگای ۴/۷ به ثبت رسید (شکل ۲۹-۳).

مهم‌ترین زمین‌لرزه‌های ثبت شده در دوره دوم فعالیت‌های شبکه شتابنگاری در ادامه معرفی شده است.



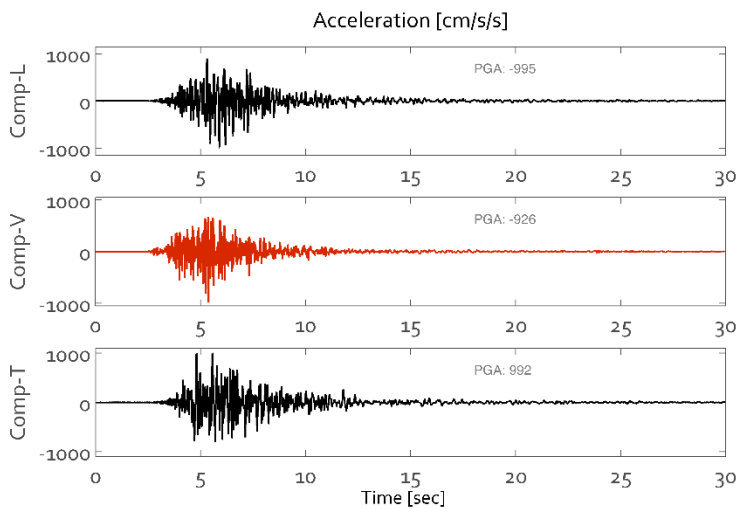
شکل ۲۹-۳ اولین رکورد دیجیتال ثبت شده در ایران ، پس‌لرزه‌های زمین‌لرزه سفیدآبه سیستان

### ۳-۲-۵- زمین‌لرزه زنجیریان، ۳۰ خرداد ماه ۱۳۷۳، استان فارس (بزرگای ۵/۸)

در ساعت ۱۲ و ۴۰ دقیقه و ۴۴ ثانیه روز ۳۰ خرداد ۱۳۷۳ (بیستم ژوئن ۱۹۹۴ میلادی)، زمین‌لرزه‌ای با بزرگای ۵/۸ Mw ۵/۸ mb در ناحیه فیروز آباد فارس روی داد که باعث مرگ سه نفر و زخمی شدن

یک صد نفر گردید. این زمین‌لرزه شهرهای فیروزآباد، میمند و کوار را به شدت لرزاند. در شعاع ۱۰۰ کیلومتری مرکز مهلزه‌ای رویداد، ۱۰ دستگاه شتابنگار دیجیتال (SSA-2) و چهار دستگاه شتابنگار آنالوگ (SMA-1) آماده به کار بودند که جنبش نیرومند زمین در ده ایستگاه به ثبت رسید. ایستگاه زنجیران بیشینه شتاب تصحیح نشده برابر با ۱۰۱۰ سانتی متر بر مجدور ثانیه را ثبت کرد، که این بالاترین دامنه شتابی می‌باشد، که تاکنون توسط شبکه شتابنگاری ثبت گردیده است (شکل ۳۰-۳).

این زمین‌لرزه با شکستگی‌های زمین‌ساختی فراوانی همراه بود که روند غالب ۳۱۵ درجه را نشان می‌دادند. در برخی از نقاط چندین پسته فشاری<sup>۱</sup> مشاهده گردید که تأکید کننده انتشار گسلش زمین‌لرزه‌ای به درون پوشش رسوبی ناحیه می‌باشد. نتایج مطالعه زمان رسیدن امواج P و S در شتابنگاشتها و شدت‌های مشاهده شده نشان‌دهنده ژرفای کانونی کم (۶ کیلومتر) برای این رویداد می‌باشند. وجود لایه‌های شکل پذیر بر روی سنگ کف زاگرس مانع از رختنمون گسلش زمین‌لرزه‌ای در سطح زمین می‌شود.



شکل ۳۰-۳ تاریخچه زمانی ثبت شده در ایستگاه زنجیران، بالاترین شتاب ثبت شده تاکنون در شبکه شتابنگاری علاوه بر زمین‌لرزه زنجیران، زمین‌لرزه‌های دیگری در این منطقه روی داده است که مهم‌ترین آن‌ها

<sup>۱</sup> Pressure ridge

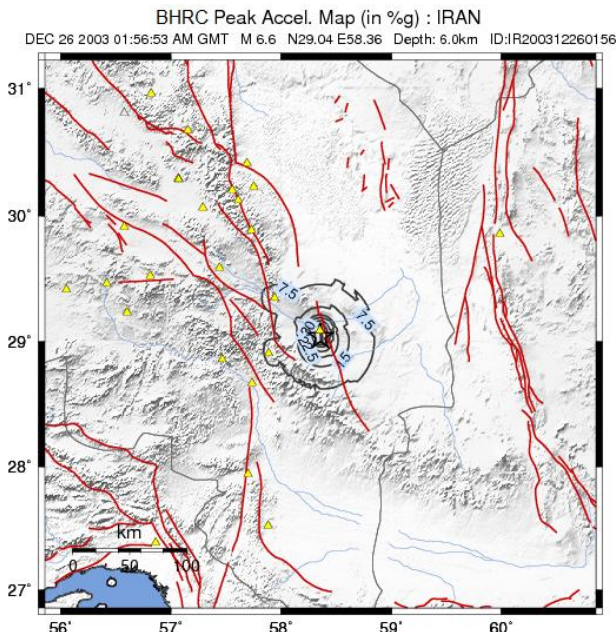
عبارتند از زمین‌لرزه‌های ۲۱ فروردین ۱۳۵۱ قیر (mb6/۹) و زمین‌لرزه دهم اسفند ۱۳۷۲ موک با بزرگی (mb5/۷) که زمین‌لرزه موک توسط یک دستگاه SMA-۱ با حداکثر شتاب ۱۲۰ سانتی‌متر بر مجدور ثانیه ثبت گردید.

#### ۳-۴-۲-۳-زمین‌لرزه ۵ دی ماه ۱۳۸۲، بهم-استان کرمان (بزرگای ۵/۷)

در فاصله زمانی بین زمین‌لرزه زنجیران در سال ۱۳۷۳ تا زمین‌لرزه بهم در سال ۱۳۸۲، چندین زمین‌لرزه دیگر با بزرگی‌های مختلف در کشور روی دادند که بعضاً خسارات و تلفات زیادی نیز بر جای گذاشتند. از این میان می‌توان به زمین‌لرزه گرمخان در خراسان شمالی در ۱۶ بهمن ۱۳۷۵ با بزرگای ۵/۶ زمین‌لرزه سرعین اردبیل ۱۰ اسفند ۱۳۷۵ با بزرگای ۱/۶ و زمین‌لرزه اردکول- حاجی آباد، ۲۰ اردیبهشت ۱۳۷۶، با بزرگای ۷/۳ اشاره نمود. اما بی‌تر دید مهم‌ترین زمین‌لرزه‌ای که پس از زمین‌لرزه رودبار منجیل در سال ۱۳۶۹ در کشور اتفاق افتاد، زمین‌لرزه مخرب بهم در دی ماه ۱۳۸۲ بود. این زمین‌لرزه جدا از اثرات دهشتتک انسانی و خساراتی که از این منظر به کشور وارد نمود از لحاظ شتابنگاری نیز شاهد ثبت یکی از مهم‌ترین شتابنگاشت‌های زمین‌لرزه‌های ایران و دنیا بود. رکوردي که در ایستگاه فرمانداری بهم به ثبت رسید در کمترین فاصله نسبت به کانون زمین‌لرزه و همچنین گسل مسبب زمین‌لرزه به ثبت رسید. زمین‌لرزه اصلی بهم توسط ۲۷ دستگاه شتابنگار در استان‌های کرمان، سیستان و بلوچستان و هرمزگان ثبت گردید (شکل ۳-۱). آستانه تحریک تمامی این دستگاهها بر روی شتاب ۰/۰۱ نقل زمین تنظیم و همگی دارای حافظه پیش از رویداد<sup>۱</sup> ۱۵ ثانیه بودند. درهنگام رویداد زمین‌لرزه بهم در شعاع ۳۰۰ کیلومتری شهر بهم، تعداد ۷۸ دستگاه شتابنگار دیجیتال نصب بوده، که دورترین ایستگاهی که این زمین‌لرزه را ثبت کرده، ایستگاه راور در فاصله ۲۸۹ کیلومتری از رومکز زمین‌لرزه بوده و نزدیک‌ترین ایستگاه، دستگاه مستقر در فرمانداری شهر بهم بوده است. ایستگاه نصرت آباد در استان سیستان و بلوچستان در فاصله ۱۸۱ کیلومتری و ایستگاه حسن لنگی در استان هرمزگان در فاصله ۲۳۶ کیلومتری نیز تکان اصلی زمین‌لرزه را ثبت کرده‌اند که برای زمین‌لرزه با این بزرگی و با این آستانه تحریک دستگاهی، از نکات جالب توجه می‌باشند.

<sup>۱</sup> Pre-Event Memory

تکان اصلی زمین‌لرزه توسط شتابنگار مستقر در فرمانداری بم به طور کامل ثبت گردیده است (شکل ۳۲-۳). تخلیه دستگاه شتابنگار بم یک روز بعد از رویداد زمین‌لرزه، در ۶ دی ماه ۱۳۸۲ در شرایط بحرانی و هرج و مرج ناشی از زمین‌لرزه به همراه نگرانی از عملکرد دستگاه صورت گرفت، که خوشبختانه یکی از بهترین رکوردهای حوزه نزدیک به گسل در طول تاریخ شبکه ثبت شد. زاویه مؤلفه طولی دستگاه (L) نسبت به شمال ۲۷۸ درجه و زاویه مؤلفه عرضی (T) ۸ درجه بوده است. مؤلفه طولی دستگاه تقریباً شرقی-غربی و در جهت مؤلفه عمود بر گسل بوده و مؤلفه عرضی دستگاه تقریباً شمالی-جنوبی و در جهت مؤلفه موازی با گسل بوده است. بیشینه شتاب ثبت شده بر روی مؤلفه طولی دستگاه بم ۰/۷۹۹۵، بر روی مؤلفه عرضی دستگاه ۰/۶۳۶۹ و بر روی مؤلفه قائم دستگاه ۰/۹۸۸۹ بوده است (همگی مقادیر به صورت تصحیح نشده هستند). رکورد اصلی که توسط دستگاه شتابنگار بم ثبت شده، به دلیل اینکه دارای حافظه پس از رویداد بالایی بوده (حدود ۳۲ ثانیه)، لذا پس‌لرزه‌هایی نیز که در فاصله کمی از زمین‌لرزه اصلی روی داده بودند، در خود جای داده است، لذا طول کلی رکورد به بیش از ۱۹۰ ثانیه می‌رسد که در عین حال نشان دهنده لرزش بسیار زیاد شهر بم در دقایق اولیه رویداد زمین‌لرزه بوده است (شکل ۳۳-۳).



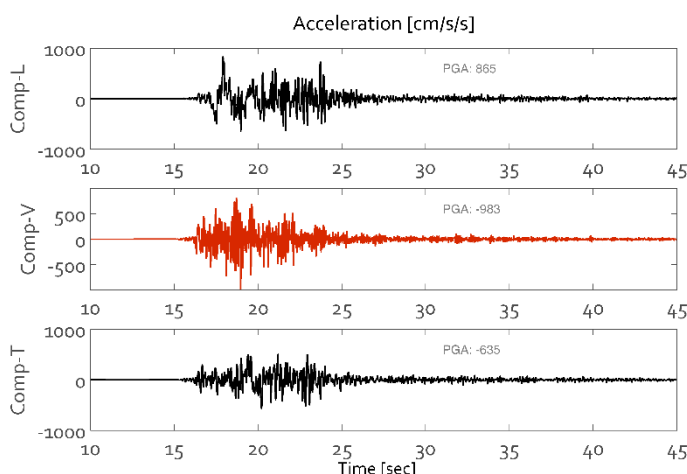
شکل ۳۱-۳ ایستگاه‌های ثبت کننده شتاب زمین لرزه به ۱۳۸۲ م. ایستگاه‌ها توسط مثلث نشان داده است.



شکل ۳۲-۳ محل نصب ایستگاه شتابنگاری در فرمانداری به

از میان ۲۷ شتابنگاشت ثبت شده از زمین لرزه ۵ دی ماه ۱۳۸۲ به، شتابنگاشت ثبت شده در ساختمان فرمانداری به به لحاظ اینکه نزدیکترین ایستگاه به کانون و گسل مسبب زمین لرزه بوده و بیشترین مقادیر شتاب در این ایستگاه به ثبت رسیده است، از اهمیت بالایی برخوردار است. بیشینه شتاب ثبت

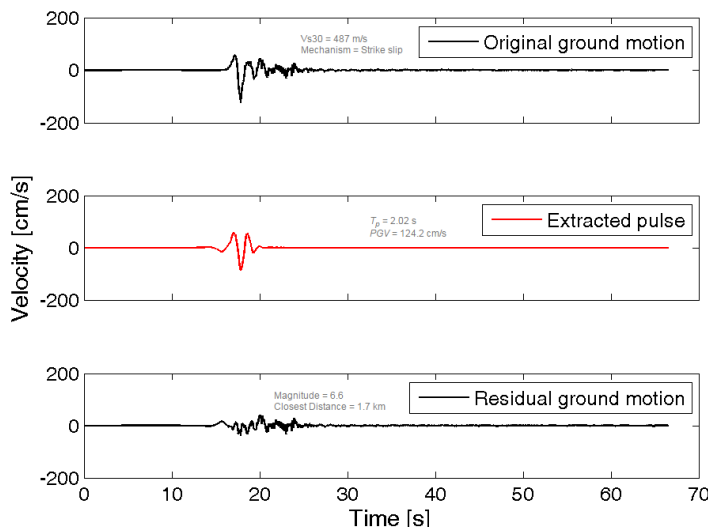
شده در این ایستگاه نزدیک به ۱۹ بروی مؤلفه قائم بوده است که این شتاب در مجموعه ملی شتابنگاری تنها یکبار در زمین‌لرزه ۱۳۷۳ زنجیران فارس ثبت شده که آن رویداد از لحاظ اهمیت لرزه‌ای و دامنه خسارات در مرتبه بسیار پایین تری نسبت به زمین‌لرزه بهم قرار داشته است. این شتابنگاشت با فیلتر باندگذار ۳۳-۰/۱ هرتز پردازش و تاریخچه زمانی شتاب آن در شکل ۳۳-۳ نشان داده شده است. بیشینه شتاب تصحیح شده در این نگاشت بر روی مؤلفه قائم و برابر با ۹۷۹/۹۵ سانتی‌متر بر مجدور ثانیه و بیشینه سرعت بر روی مؤلفه طولی دستگاه (عمود بر امتداد گسل و در جهت مؤلفه نرمال گسل) برابر با ۱۲۳/۵۱ سانتی‌متر بر ثانیه و بیشینه جایجایی نیز بر روی همین مؤلفه و ۳۴/۲۶ سانتی‌متر بوده است. اولین ویژگی بارز این شتابنگاشت دارا بودن بیشینه شتاب قائم بزرگتر نسبت به شتاب ثبت شده در مؤلفه‌های افقی است. اگر چه در مهندسی زلزله به شتاب‌های قائم توجه کمتری نسبت به شتاب‌های افقی می‌گردید و در کاربردهای مهندسی اغلب فرض می‌شد که شتاب بیشینه قائم دو سوم شتاب بیشینه افقی است. اما با افزایش داده‌های شتابنگاشتی نزدیک به گسل و چشممه زمین‌لرزه مشاهده شده است که در بعضی موارد این نسبت بین شتاب قائم به افقی نه تنها از نسبت معمول تعییت نمی‌کند بلکه در برخی از موارد این نسبت به بیش از یک نیز می‌رسد (کرامر ۱۹۹۶). در مورد زمین‌لرزه بهم نیز این نسبت بیش از یک می‌باشد.



شکل ۳۳-۳ نگاشت اصلی زمین‌لرزه بهم، ثبت شده در ایستگاه بهم (فرمانداری بهم)

یکی از ویژگی‌های مهم شتابنگاشت ثبت شده در بم، مشاهده پالس پریود بلند که به فاصله بسیار کمی از آغاز فاز P بر روی شتابنگاشت بم، است. بر روی مؤلفه طولی شتابنگاشت که تقریباً در جهت شرقی- غربی و در امتداد مؤلفه نرمال گسل مسبب زمین لرزه می‌باشد، مقادیر سرعت و جابجایی نزدیک به دو برابر مقادیر ثبت شده در جهت عرضی شتابنگاشت است که تقریباً هم امتداد با مؤلفه موازی گسل است، می‌باشد. این مسئله به دلیل وجود پدیده جهت پذیری پیشرونده گسل در امتداد عمود بر گسل مسبب زمین لرزه که همان مؤلفه طولی دستگاه شتابنگار است، می‌باشد (شکل ۳۴-۳).

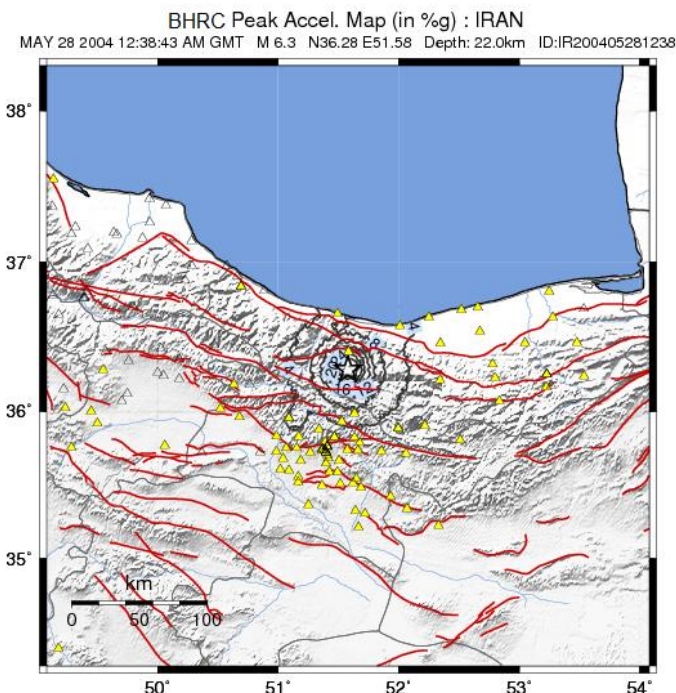
مهتمترین علل خرابی ساختمان‌ها در این زمین لرزه میتوان علاوه بر تاثیر وجود آبرفت، به قدیمی و سنتی بودن سازه‌ها اشاره نمود که اکثریت آن‌ها بصورت خشت-گلی و یا مصالح بنایی بوده و در اکثریت آن‌ها توصیه‌های ذکر شده در آیین‌نامه زلزله مربوطه به این نوع سازه‌ها رعایت نشده است. برای ساختمان‌های آسیب‌دیده اسکلت فلزی و بتی نیز اجرای نامناسب و عدم در نظر گرفتن بادبند یا دیوار برشی از علت‌های خسارت شدید در این زمین لرزه بود. همچنین بیشترین درصد خرابی بر روی آبرفت‌های سخت با عمق کم و نیمه عمیق رویداده است (جمعفری و همکاران، ۲۰۰۵).



شکل ۳۴-۳ پالس پریود بلند در نگاشت ثبت شده در مؤلفه عمود بر گسل (زمین لرزه ۱۳۸۲ بم). از بالا به پائین: سرعت ثبت شده اولیه، پالس استخراج شده، سیگنال‌های باقیمانده.

### ۳-۲-۴-۳-زمینلرزه ۸ خرداد ۱۳۸۳ فیروزآباد کجور (بزرگای ۷۳)

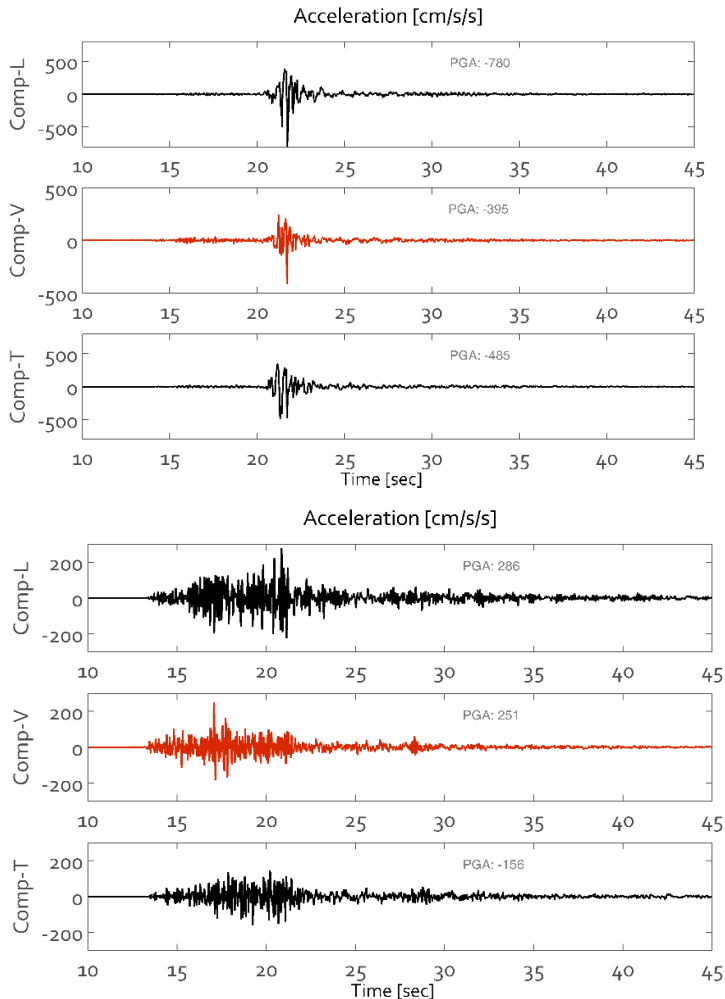
این زمینلرزه از دو دیدگاه دارای اهمیت می‌باشد، ابتدا رویداد آن در ایالت لرزو زمین ساختی البرز، به طوریکه پس از زمینلرزه ۱۳۶۹ منجیل، این رویداد مهم‌ترین زمینلرزه‌ای بوده است که در ۳۰ سال گذشته این گستره را به لرزه درآورده بود که با توجه به نزدیکی کانون این زمینلرزه به شهر تهران، باعث وحشت عمومی در این شهر گردید و در واقع هشدار مجددی بر آسیب پذیری این شهر بزرگ بود. دوم اینکه بیشترین تعداد ایستگاه ثبت کننده یک رویداد را در شبکه شتابنگاری به وجود آورد. در این زمینلرزه ۱۴۸ ایستگاه شتابنگاری در استان‌های مختلف کشور فعال شدند (شکل ۳۵-۳). این زمینلرزه در بعد از ظهر جمعه مورخ ۸ خرداد ماه سال ۱۳۸۳، ساعت ۱۲ و ۳۸ دقیقه و ۴۶ ثانیه به وقت بین‌المللی (ساعت ۱۷ و ۸ دقیقه و ۴۶ ثانیه به وقت محلی) در حد فاصل بلده و مرزن‌آباد به وقوع پیوست. جنبش ناشی از این رویداد در بخش‌های وسیعی از شمال کشور حس شد و موجی از نگرانی عمومی را برانگیخت. علیرغم حس جنبش زمینلرزه تا فواصل دور، طبق گزارش‌های صورت گرفته خسارات و صدمات جانی و مالی این زمینلرزه محدود بوده که یکی از علل اصلی آن تراکم کم جمعیت در پیرامون مرکز زمینلرزه بوده است. مشخصات این زمینلرزه توسط سازمان‌های مختلف ملی و بین‌المللی گزارش شده است. موسسه ژئوفیزیک دانشگاه تهران بزرگای  $mb5/5$  و سازمان زمین‌شناسی امریکا بزرگای آن را  $Mw6/3$  با عمق کانونی ۱۷ کیلومتر گزارش کرده بودند.



شکل ۳-۳۵ ایستگاه‌های ثبت کننده شتاب زمین‌لرزه فیروزآباد کجور ۱۳۸۳.

آستانه تحریک تمامی دستگاه‌های شتابنگار در این زمین‌لرزه بر روی  $10/0\%$  تنظیم و همگی دارای حافظه پیش از رویداد  $10$  ثانیه بوده‌اند. نزدیکترین ایستگاه به مرکز زمین‌لرزه، ایستگاه پول (کجور) بود که در مختصات جغرافیایی  $36/38^{\circ}N$  و  $51/72^{\circ}E$  قرار دارد. بیشینه شتاب ثبت شده بر روی مؤلفه L (طولی) این دستگاه برابر  $9/289$  g و بر روی مؤلفه V (قائم)  $9/253$  g و بر روی مؤلفه T (عرضی)  $9/167$  g می‌باشد (مقادیر به صورت تصحیح نشده هستند). اختلاف زمانی رسید امواج P و S بر روی نگاشت اصلی، زمانی حدود  $2/54$  ثانیه را نشان می‌دهد، که معادل فاصله‌ای حدود  $18$  کیلومتر است. این دستگاه همچنین تعداد  $12$  پس‌لرزه را به ثبت رساند. اما بالاترین شتاب در ایستگاه حسن کیف در منطقه کلاردشت در فاصله‌ای  $48$  کیلومتری کانون زمین‌لرزه ثبت شد که شتاب غیر معمول  $900$  سانتی متر بر مجدور ثانیه را ثبت نمود (شکل ۳-۳). یکی از عوامل تاثیرگذار بر ثبت این شتاب غیر معمول شرایط زمین‌شناسی و توپوگرافی حسن کیف بوده است. این زمین‌لرزه در ناحیه کلاردشت خسارات زیادی را به

ساختمان‌های ویلایی منطقه وارد نمود (شکل ۳۷-۳).



شکل ۳-۳ رکورد کلاردشت (بالا) به همراه رکورد ایستگاه پول (پایین) ثبت شده از زمین لرزه فیروزآباد-کجور



شکل ۳۷-۲ تخریب ویلاهای ساخته شده در منطقه کلاردشت به علت شرایط توپوگرافی و ساختگاهی و کیفیت نامناسب اجرا بر اساس بازدید انجام شده از ایستگاه‌های مختلف، می‌توان نقش شرایط ساختگاهی و توپوگرافی را بخوبی مشاهده کرد. به عنوان مثال ایستگاه بومهن که بر روی آبرفت قرار گرفته، این زمین‌لرزه را با بیشینه شتاب  $g/0.21$  ثبت کرده است و این در حالی است که ایستگاه رودهن در فاصله تقریبی ۴ کیلومتری با بستر سنگی، این زمین‌لرزه را ثبت ننموده است. همچنین ایستگاه کندور که در ارتفاعات (ارتفاع ۱۸۹۰ متر از سطح دریا نزدیک سد کرج) و در مختصات جغرافیایی E $51/11$  و N $35/84$  قرار گرفته، به دلیل شرایط زمین‌شناسی و توپوگرافی این رویداد را به ثبت نرسانده بود.



## فصل چهارم

### فعالیت‌های شبکه شتابنگاری ایران

شبکه ملی شتابنگاری به موازات کنترل و نگهداری دستگاه‌های شتابنگار در سراسر کشور، پروژه‌های مهمی را انجام داده است که علاوه بر اهمیت علمی دارای ویژگی‌های منحصر به فردی نیز بوده‌اند و در طول دوران فعالیت خود توانسته است داده‌های بسیار با اهمیتی را در اختیار مهندسین و محققین علوم زمین قرار دهد.

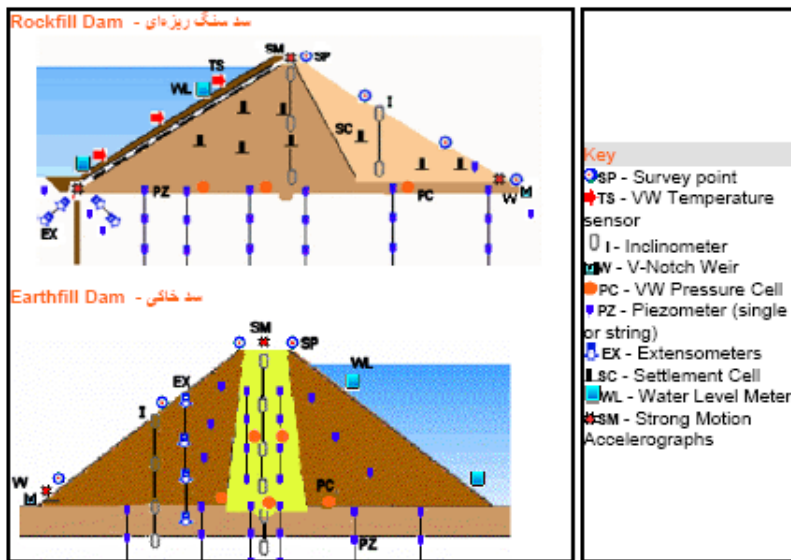
در ادامه به فعالیت‌های مهم شبکه در طول دوران فعالیت خود پرداخته شده است.

#### ۴-۱- رفتارنگاری سدهای بزرگ

سدها از جمله مستحدثاتی هستند که بدلیل حجم عظیم آب ذخیره شده در مخازن آن‌ها و توسعه‌های شهری و صنعتی در پایین دست خود، تهدیدی بالقوه بوده و در صورت تخریب می‌توانند منشاء فجایع عظیمی باشند. به همین دلیل انواع ابزار و تجهیزات اندازه‌گیری از جمله شتابنگارها برای مطالعه و پایش رفتار سدها در نظر گرفته می‌شود. شکل ۱-۴ محل نصب انواع تجهیزات اندازه‌گیری از جمله شتابنگارها را برای دو نوع سد خاکی و سنگ ریزه‌ای نشان می‌دهد.

مطالعه رفتار دینامیک بدن سدهای موجود در خلال رویداد زمین‌لرزه‌ها برای دستیابی به اینمنی لرزه‌ای آن‌ها ضروری است. اعتبار مفروضات و شیوه‌های تحلیل به کارگرفته شده برای تهیی طرح‌های مقاوم در برابر زمین‌لرزه با داده‌های حاصل از شبکه‌های شتابنگاری مناسب، قابل کنترل و بهبود است. انجام این کار مستلزم مقایسه میزان حرکات زمین در میدان آزاد یک ساختگاه معین (که در بردارنده ویژگی‌های زمین‌لرزه رویداده می‌باشد)، با میزان حرکات سازه‌ای است. طراحی چنین شبکه‌ای غالباً باید با همکاری متخصصین زلزله‌شناسی، مهندسین عمران، متخصصین ابزار دقیق، متولیان سد و مسئولین مربوطه انجام شود. در این ارتباط نصب دو دسته تجهیزات لرزه‌ای در سازه و نزدیکی محل سد شامل دستگاه‌های

شتابنگار با هدف ثبت جنبش‌های نیرومند و بالقوه مخرب زمین که باعث ارتعاش سد می‌شوند و دستگاه‌های لرزه‌نگار حساس برای مطالعه لرزه‌خیزی منطقه پیش بینی می‌شود.



شکل ۴-۱ مکان‌های مناسب برای نصب دستگاه‌های شتابنگار در انواع سدهای خاکی

#### ۴-۱-۱- دستگاه‌های مورد نیاز جهت پایش لرزه‌ای یک سد

ابزارگذاری سد با هدف مطالعه رفتار لرزه‌ای سد باید نیازهای متعددی را برآورده کند. مهندسین عمران علاوه بر پایش رفتار بدنه سد، به داده‌های جنبش در تکیه‌گاهها و پایش در میدان آزاد<sup>۱</sup> در هنگام رویداد یک زمین‌لرزه نیاز دارند، در حالیکه زلزله شناسان غالباً به داده‌های میدان آزاد و زمان دقیق وقوع آن علاقمند هستند و آگاهی سریع از وضعیت پس از رویداد زمین‌لرزه مورد توجه متولیان و اداره کنندگان سد است.

همچنین متولیان سد به یک سیستم اعلام خطر سریع نیاز دارند که در صورت فروتنی میزان جنبش از سطح معین پیش تعریف شده، بتوانند اقدامات فوری را انجام دهند. علاوه هزینه تعمیرات کم، حداقل نیازهای تعمیراتی و سیستم هشدار دهنده در صورت بروز نقص در سیستم اعلام خطر نیز از انتظارات

<sup>۱</sup> Free Field

آن‌هاست. این سیستم همچنین باید قادر باشد با دادن اطلاع دقیق و جزئی از وضعیت، به کارشناسان مسئول در عملیات‌های مورد نیاز کمک کند.

#### ۴-۱-۲- آرایش مکانی دستگاه‌ها

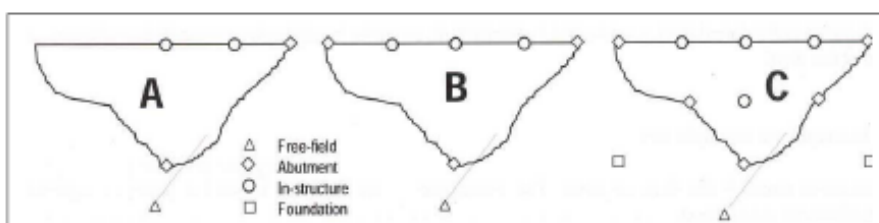
مکان‌های مناسب برای نصب دستگاه‌های شتابنگار در سدهای بتونی قوسی، سدهای بتونی وزنی و انواع سدهای خاکی به ترتیب در شکل ۴-۴ الی شکل ۲-۴ نشان داده شده‌اند. آرایه متناسب با حداقل نیاز، آرایه‌های کامل (مناسب برای سدهای بزرگ) و آرایه‌های متناسب با مقاصد تحقیقاتی و به خصوص جهت پایش لرزه‌ای سد به ترتیب با حرف A تا C دیده می‌شود. در ادامه به محل‌های مختلف نصب دستگاه یا سنسورها در ساختگاه‌های سد به اختصار پرداخته شده است.

#### ۴-۱-۲-۱- نصب در میدان آزاد

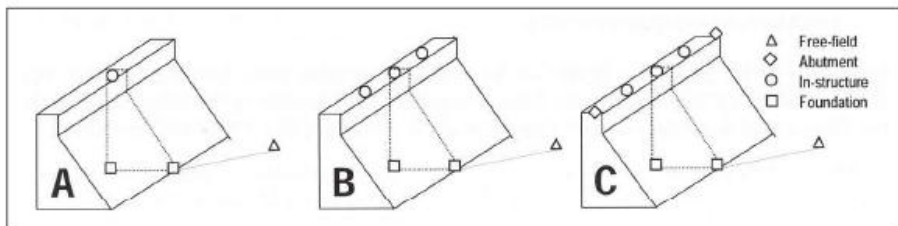
جهت نصب سنسور در میدان آزاد، دستگاه باید به اندازه کافی دور از سازه سد نصب شود تا تحت تأثیر ارتعاشات آن قرار نگیرد. در عین حال باید به اندازه کافی نزدیک باشد تا جنبش ثبت نموده حاوی ویژگی‌های مکانی خود سد نیز باشد. این فاصله بین یک تا دو برابر ارتفاع سد توصیه شده است.

#### ۴-۱-۲-۲- نصب در تکیه گاه سد

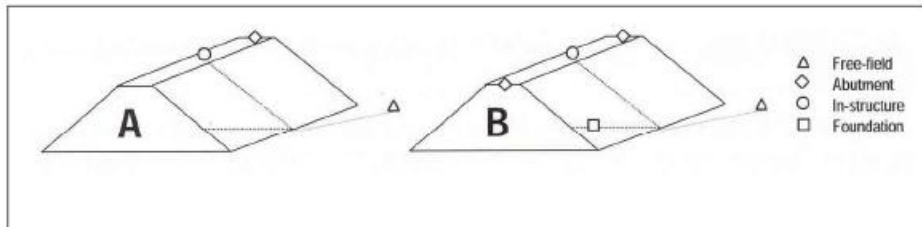
جنب ش مؤثر ورودی به سد را می‌توان با نصب دستگاه یا سنسورهایی در امتداد مرز بین جسم سد و پی اندازه‌گیری کرد. بدین ترتیب می‌توان میزان تشدید در امواج را در اثر سازه با توجه به نگاشت ثبت شده در این قسمت اندازه‌گیری نمود.



شکل ۴-۲ مکان‌های مناسب برای نصب دستگاه‌های شتابنگار در سدهای بتونی قوسی



شکل ۴-۳ مکان‌های مناسب برای نصب دستگاه‌های شتابنگار در سدهای بتنی وزنی



شکل ۴-۴ مکان‌های مناسب برای نصب دستگاه‌های شتابنگار در انواع سدهای خاکی

#### ۴-۲-۱-۳-نصب در پی

چگونگی انتشار امواج در پی بواسطه دستگاه‌های نصب شده در گالری‌های اکتشافی و تزریقی، یا سطح جسم سد اندازه‌گیری می‌شود.

#### ۴-۲-۴-دستگاه‌های درون سازه‌ای

رفتار دینامیکی سد توسط این دستگاه‌ها اندازه‌گیری می‌شود به طوری که سنسورها بر روی تاج سد و در نقاطی که دارای بیشترین انحرافات مودی هستند نصب می‌شود تا میزان دقیق تغییرات دینامیکی سازه سد ثبت شوند.

#### ۴-۱-۳-شرایط ویژه نگهداری آرایه‌های شتابنگاری در سدها

##### ۴-۱-۳-۱-اثر میدان الکترومغناطیسی

میدان‌های الکترومغناطیسی ایجاد شده در اثر کابل‌های ولتاژ متوسط و یا ولتاژ بالا ممکن است بر عملکرد سنسور اثر بگذارد. در چنین شرایطی و در صورتی که حل مشکل میسر نباشد، برای اطمینان از

صحت عملکرد فقط باید از کابل‌های فیبر نوری استفاده نمود.

#### ۴-۲-۳-۱-حافظت در برابر افزایش ناگهانی ولتاژ

چنین پدیده‌ای ممکن است به طور موضعی در محلی که در اثر صاعقه آسیب دیده، ایجاد شود. بنابراین تمام کابل‌های برق و سایر کابل‌های فلزی مجموعه باید با تجهیزات مناسب و مطمئن از این بابت محافظت شوند.

#### ۴-۲-۳-۲-اتصال به زمین

اختلاف در پتانسیل الکتریکی می‌تواند باعث بروز مشکلات جدی در آرایه شتابنگاری سد شود. بنابراین کابل‌های ارتباط داخلی باید از این بابت نیز محافظت شوند.

#### ۴-۲-۳-۳-محفظه نصب

پس از اتخاذ تصمیمات در خصوص اجزاء آرایه، نوبت به نصب و در نظر گرفتن شرایط و مکان نصب مناسب است. شرایط اقلیمی در سدها بدلیل رطوبت زیاد، مناسب دستگاه‌های الکتریکی و الکترونیکی نیست. بنابراین باید اتفاقک‌های مناسبی برای محافظت از دستگاه‌ها در نظر گرفته شد که به خصوص در مقابل رطوبت و پاشیدن دائمی آب مقاوم باشند. دستگاه‌های موجود به گونه‌ای طراحی و ساخته شده که در شرایط محیطی سدها نیز بسیار مقاوم بوده و کمترین آسیب برای آن‌ها متصور شد. برای محافظت از دستگاه‌ها در مقابل شرایط محیطی استفاده از اتفاقک‌های فایبر‌گلاس پیش ساخته در نظر گرفته شده است. در شرایط خاص می‌توان از اتفاقک‌های بتی و یا اتفاقک‌هایی از جنس مصالح بنایی که در محل اجرا می‌شوند، نیز استفاده نمود. در ادامه به یکی از پروژه‌های اجرا شده در سدهای کشور پرداخته شده است.

#### ۴-۱-۴-آربیه سد شهید عباسپور

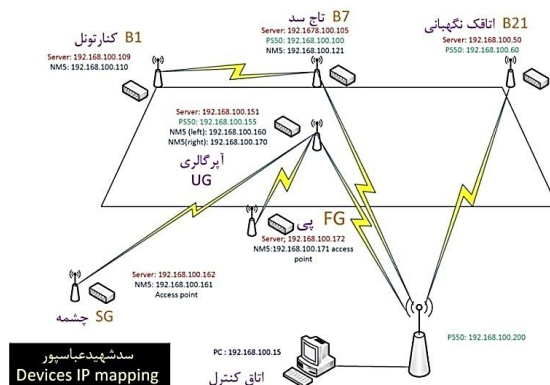
سد شهید عباسپور (شکل ۴-۵) در استان خوزستان از مهم‌ترین سدهای کشور به لحاظ حجم مخزن می‌باشد. این سد در نزدیکی شهر مسجد سلیمان در استان خوزستان بنا شده است و از نوع سد بتونی دوقوسی است. ارتفاع تاج سد از بی، ۱۸۸ متر و طول تاج آن ۳۸۵ متر می‌باشد. این سد، از اولین سدهای ساخته شده در ایران و خاورمیانه است که ساخت بدن آن در سال ۱۳۴۴ آغاز و تا سال ۱۳۵۴ ادامه داشت.

از آنجا که این سد در بخش لرستان خوزستان قرار گرفته است، پایداری آن در مقابل رویدادهای لرزه‌ای از اهمیت بالایی برخوردار است. لذا شبکه شتابنگاری اولین آرایه به هم پیوسته سدهای بزرگ کشور را در این سد پیاده‌سازی نمود.

این آرایه مجهز به ۶ دستگاه شتابنگار گورالپ بوده که توسط آنتن‌های رادیویی به یک کامپیوتر مرکزی متصل می‌باشند. رادیوها وظیفه انتقال داده‌ها را از ایستگاه‌های شتابنگاری به مرکز کنترل بر عهده دارند. در شکل ۴-۴ جانمایی این ایستگاه‌ها به صورت شماتیک نشان داده شده است. همچنین در شکل ۷-۴ دستگاه‌های نصب شده در تکیه‌گاه و تاج سد و در شکل ۸-۴ ایستگاه‌های نصب شده در گالری‌های سد نشان داده شده است. این آرایه در تاریخ ۱۱ دیماه ۱۳۹۰ زمین‌لرزه‌ای با بزرگای محلی ۳ را به ثبت رساند که رکوردهای ثبت شده در این آرایه در شکل ۹-۴ نشان داده شده است.



شکل ۴-۵ سد شهید عباسپور



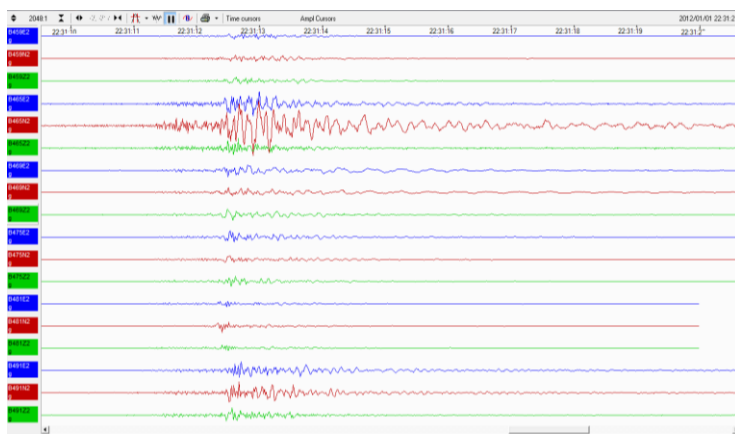
شکل ۴-۶ نقشه و وضعیت ایستگاه‌های شتابنگاری سد شهید عباسپور



شکل ۷-۴ شتابنگار نصب شده در تکیه گاه راست و تاج سد



شکل ۸-۴ دستگاه شتابنگار نصب شده در گالری‌های سد



شکل ۹-۴ شتابنگاشت‌های ثبت شده در زمین‌لرزه ۱۱ دیماه ۱۳۹۰ در آرایه سد شهید عباسپور

#### ۴-۲- طراحی و اجرای آرایه شتابنگاری لرزه‌ای برای ساختمان‌های بلند

اگر چه فعالیت شبکه ملی شتابنگاری از سال ۱۳۵۲ پس از زمین‌لرزه مخرب قیر-کارزین آغاز گردید، ولیکن تجربه ایجاد آرایه‌های خاص به خصوص آرایه درون سازه‌ای، تجربه‌ای نوین برای این شبکه محسوب می‌شود. ساختمان وزارت کشاورزی در شهر تهران از چند سال پیش دارای تعدادی دستگاه شتابنگار بوده که در ترازهای مختلف آن نصب بوده‌اند، ولیکن این دستگاه‌ها به هم متصل نبوده و دارای زمان مشترک و نرخ داده برداری مشترک نمی‌باشند، لذا به صورت یک آرایه سازه‌ای محسوب نمی‌گردیدند. در سال ۱۳۸۰ یک آرایه شتابنگاری مشتمل بر ۴ دستگاه شتابنگار دیجیتال در ساختمان مرکزی وزارت مسکن و شهر سازی نصب و راهاندازی گردید، که این آرایه توансنت در مدت فعالیت خود دو زمین‌لرزه مهم چنگوره-آوج و فیروزآباد-کجور را ثبت نموده و مجموعاً ۷ شتابنگاشت را ثبت نماید. ممکن است در ذهن برخی از افراد این نکته تداعی شود که رویداد زمین‌لرزه‌های ویرانگر که این آرایه‌ها بتواند داده‌های مناسبی از آن در اختیار جامعه علمی کشور قرار دهد تا چه حد امکان پذیر است و به عبارتی تا چند سال باید صبر کرد که نگاشتهایی از این آرایه‌ها بدست آید؟ بی تردید حتی در لرزه خیزترین منطقه‌های جهان نیز رویداد یک زمین‌لرزه بسیار نیرومند در یک ساختگاه معین، پیشامد کمیابی است و قطعاً اطلاعات ثبت شده در این رویداد می‌تواند کمک موثری در تدوین و بروزرسانی آیین نامه‌های لرزه‌ای داشته باشد. در حقیقت عملکرد واقعی سازه‌های ساخته شده در هنگام زمین‌لرزه در چنین

رویدادهایی مورد راستی آزمایی قرار گرفته و بر اساس داده‌های ثبت شده می‌توان نتیجه‌گیری نمود که آیا طراحی صورت گرفته مناسب بوده یا خیر.

#### ۴-۲-۱- آزمایشگاه طبیعی زمین

یکی از مهم‌ترین راهکارها برای ارزیابی رفتار سیستم‌های ساختمانی، استفاده از آزمایشگاه طبیعی زمین برای مطالعه و مشاهده عملکرد (و احتمالاً آسیب‌های وارد) تحت اثر زمین‌لرزه‌ها می‌باشد. با تعیین فقدان مقاومت لرزه‌ای طرح‌های مشخص و سپس استفاده از روش‌های آزمایشگاهی برای تست مدل‌های بهبود یافته، می‌توان به پیشرفت‌های قابل توجهی در روش‌های طراحی دست یافت. برای این قبیل مطالعات طراحی، آزمایشگاه طبیعی زمین، یک ناحیه لرزه خیز خواهد بود که در آن انواع سیستم‌های ساختمانی وجود داشته باشد. در این نواحی جنبش‌های نیرومند زمین و حتی سطوح متوسط جنبش زمین نیز می‌تواند برای آزمایش‌های سیستم‌های سازه‌ای مفید باشد.

مکمل راهکار "آزمایشگاه طبیعی" تجهیز ساختمان‌های انتخاب شده به دستگاه‌های شتابنگار است که پاسخ آن‌ها می‌تواند در برابر زمین‌لرزه‌های محتمل آتی ثبت گردد. بنابراین ضروری است که آرایه‌های مشخصی از ثبت کننده‌های جنبش نیرومند زمین از زمان آغاز زمین‌لرزه در کانون و شروع جنبش زمین، رفتار زمین و سازه را ثبت نمایند. سیستمی که زلزله شناسان و مهندسین سازه را به یکدیگر پیوند می‌دهد، کاملاً مشخص است: "توسعه آرایه‌های شتابنگاری که امواج ناشی از زمین‌لرزه را در چشممه زمین‌لرزه و مسیر عبور امواج ثبت کند و همچنین پاسخ سازه را در هنگام وقوع زمین‌لرزه ثبت نمایند."

هدف اصلی از تجهیز ساختمان‌ها به دستگاه‌های شتابنگار، بهبود دانش و فهم ما از رفتار و پتانسیل آسیب‌پذیری ساختمان‌ها تحت اثر بارهای دینامیکی زمین‌لرزه می‌باشد. به عنوان نتیجه این فرآیند، طراحی و اجرای ساختمان‌ها می‌تواند تا حدی بهبود یابد که در زمین‌لرزه‌های آینده، آسیب‌پذیری به حداقل برسد. در کنار تجهیزات و آرایه‌های نصب شده در ساختمان، اطلاعات ثبت شده مربوط به دستگاه میدان آزاد<sup>۱</sup> نیز می‌تواند به مهندسان کمک نماید تا در طراحی، پارامترهای دیگری همچون اندرکنش

<sup>۱</sup> Free Field

خاک و سازه را نیز در محاسبات خود در نظر بگیرند.

#### ۴-۲-تجربیات جهانی

تجهیز ساختمان‌های بلند به دستگاه‌های شتابنگار در کشورهای پیشرفته و لرزه‌خیز امری بدیهی و از دیر باز انجام شده است، به طوریکه در آیین‌نامه‌های زلزله این کشورها جزء ملزمات بوده است. به عنوان مثال در کالیفرنیا تمامی ساختمان‌های بلندتر از ۱۰ طبقه می‌بایست حداقل دارای ۳ دستگاه شتابنگار در طبقات مختلف باشند. دستور العمل‌های متنوعی در این باره توسط ارگان‌های مختلف در سطح جهان تدوین شده است که در طراحی این قبیل آرایه‌ها مورد استفاده شبکه ملی شتابنگاری قرار گرفته است.

#### ۴-۲-۳-وضعیت موجود در کشور

از آن جایی که متولی اصلی رفتار نگاری جنبش نیرومند ناشی از رویداد زمین‌لرزه‌ها در کشور، مرکز تحقیقات راه، مسکن و شهرسازی است، عمدۀ فعالیت‌های صورت گرفته در خصوص این مهم توسط این مرکز انجام شده است. سازمان‌های دیگر نیز فعالیتهایی صورت داده اند که در قیاس با حجم و کیفیت فعالیت‌های این مرکز، ناچیز بوده است. آنچه که مسلم است رشد روزافزون بلند مرتبه سازی در کشور نیاز به اجرای این قبیل آرایه‌ها را بیش از پیش آشکار می‌سازد. لذا از مجموع ساختمان‌های بلند در کشور، سه ساختمان وزارت جهاد کشاورزی، وزارت مسکن و شهر سازی، ساختمان مرکزی شرکت آب و نیروی ایران به این سامانه مجهز شده‌اند. البته واضح است که این تعداد با توجه به حجم سازه‌های موجود بسیار اندک بوده و تجهیز سازه‌های مهم دیگر بسیار ضروری می‌باشد که مقدمات انجام و اجرای آن در این مرکز صورت خواهد گرفت.

#### ۴-۳-آرایه‌های ساختمانی اجرا شده

##### ۴-۳-۱-ساختمان وزارت مسکن و شهر سازی

این ساختمان اولین سازه مجهز شده به یک آرایه شتابنگاری متصل به هم است که دارای ۴ دستگاه

شتابنگار در طبقات مختلف می‌باشد که در شهر تهران مورد مطالعه قرار گرفت. دستگاه‌های شتابنگار در زیر زمین، طبقه پنجم و بام ساختمان نصب و راهاندازی شدند که توسط کابل‌های مخصوص به یکدیگر متصل گردیدند (شکل ۴-۱۰). این سامانه از بدوانی تاسیس تاکنون چندین زمین‌لرزه را که در اطراف و نزدیکی شهر تهران روی داده‌اند را ثبت کرده و داده‌های ثبت شده در آن در پژوهش‌های تحقیقاتی مورد استفاده محققین قرار گرفته است.



شکل ۴-۱۰ ساختمان مرکزی وزارت مسکن و شهرسازی و دستگاه‌های نصب شده در آن



#### ۴-۳-۲- ساختمان مرکزی شرکت آب و نیروی ایران

ساختمان مرکزی شرکت آب و نیروی ایران دومین ساختمان بلندی بود که در شهر تهران به آرایه شتابنگاری درون سازه‌ای مجهز گردید. آرایه این ساختمان مشتمل از ۵ دستگاه شتابنگار دیجیتال متصل به هم می‌باشد که در طبقات مختلف آن نصب و راه اندازی شده‌اند. این آرایه نیز از بدوانی تاسیس چندین

زمین‌لرزه مهم را ثبت کرده است (شکل ۱۱-۴).

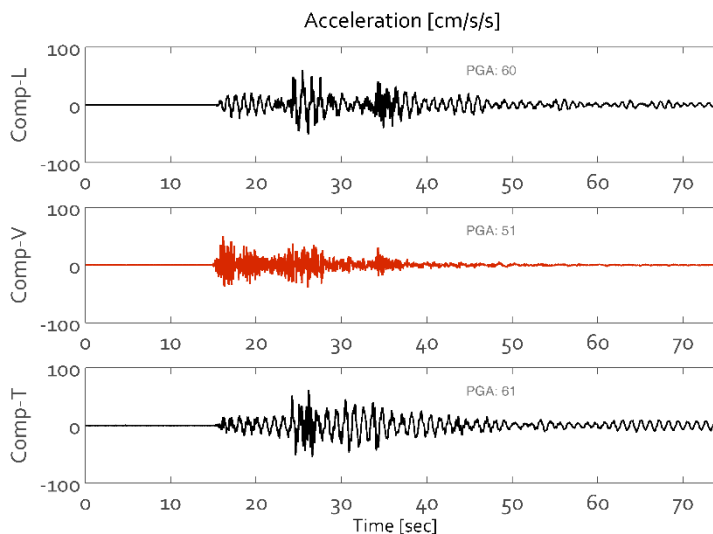


شکل ۱۱-۴ ساختمان مرکزی شرکت آب و نیروی ایران (بالا) به همراه نمونه‌ای از دستگاه شتابنگار نصب شده (پایین)

#### ۴-۳-۳- دستاوردهای کاربردی

ماحصل فعالیت‌های آرایه‌های شتابنگاری درون سازه‌ای، ثبت رکوردهای سه مؤلفه‌ای در طبقات مختلف یک سازه بوده که می‌تواند اطلاعات ذیقیمتی را از پاسخ واقعی یک سازه تحت اثر بارهای دینامیکی

زمین‌لرزه بدست دهد. این اطلاعات پس از انجام پردازش‌های لازم مانند تصحیح پاسخ دستگاه، تصحیح اثر خط پایه و فیلتر کردن بمنظور حذف نویه‌های فرکانس بالا و پایین به صورت تاریخچه زمانی‌های شتاب، سرعت، جابجایی، طیف‌های پاسخ و فوریه منتشر می‌گردند (شکل ۱۲-۴). در این مرحله مهندسین طراح و افرادی که دست اندرکار طرح‌های مقاوم سازی ساختمان‌ها می‌باشند می‌توانند با استفاده از این اطلاعات ویژگی‌های واقعی دینامیکی سازه را بدست آورده و نسبت به طراحی عناصری با مشخصات ویژه در جهت تقویت اسکلت سازه در برابر زمین‌لرزه اقدام نمایند.



شکل ۱۲-۴ نمونه‌ای از شتابنگاشت‌های ثبت شده در آرایه شتابنگاری وزارت مسکن

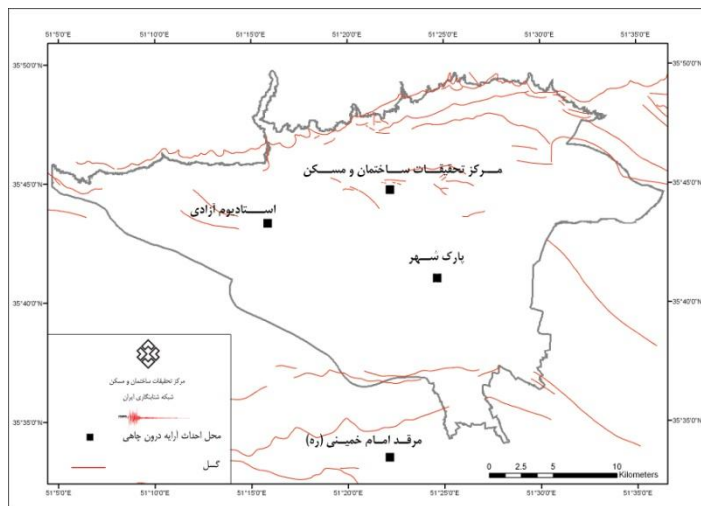
#### ۴-۴- طراحی و اجرای آرایه شتابنگاری درون چاهی

هدف از احداث آرایه‌های درون چاهی، ثبت شتابنگاشت‌های همزمان در بستر سنگی و در سطح زمین در یک محل می‌باشد. داده‌های ثبت شده در رویداد زمین‌لرزه‌های مخرب برای درک بهتر جنبش‌های نیرومند زمین و رفتار خاک تحت تنش‌های زیاد، برای متخصصین زلزله‌شناسی مهندسی و ژئوتکنیک لرزه‌ای حیاتی است.

احداث آرایه‌های درون چاهی و یا به عبارتی ابزاربندی درون چاهی امکان منحصر به فردی را برای

اندازه‌گیری مستقیم اثر سطحی ساختگاه ایجاد می‌کند. از آن جایی که به دلیل هزینه زیاد حفر گمانه و تهیه و نصب تجهیزات درون چاهی هنوز متکی به داده‌های سطحی هستیم، مشاهدات درون چاهی می‌تواند در تفسیر داده‌های سطحی نقشی تعیین کننده داشته باشند. اندازه‌گیری‌های درون چاهی، نتایج بسیار بحث برانگیزی را در مسائل بنیادی زلزله‌شناسی مهندسی و ژئوتکنیک لرزه‌ای باعث شده است. به عنوان نمونه می‌توان به رفتار غیرخطی خاک که می‌تواند به عنوان داده مرجع جهت کالیبراسیون مورد توجه قرار گیرد، اشاره کرد. همچنین با ثبت داده‌های درون چاهی می‌توان اثرات پارامترهای دیگر چون بزرگای زمین‌لرزه، پاسخ غیرخطی خاک، تقویت با کاهیدگی امواج لرزه‌ای، اثرات تغییرات تدریجی لایه‌ها نسبت به حالت تعییرات ناپیوسته و همچنین اثرات حالت اشباع خاک در مقایسه با خاک غیر اشباع را در اعمق مختلف خاک اندازه‌گیری نمود.

با توجه به خطر لرزه‌خیزی شهر تهران و سرعت احداث ساختمان‌های بلند مرتبه و اهمیت اثر خاک بر جنبش نیرومند زمین در هنگام رویداد زمین‌لرزه‌های احتمالی، نیاز است تا اثر خاک بر جنبش نیرومند زمین مورد مطالعه قرار داد. در این راستا در مرحله اول چهارمحل (مرقد امام، پارک شهر، ورزشگاه آزادی و مرکز تحقیقات راه، مسکن و شهرسازی) برای ایجاد آرایه‌های درون‌چاهی به گونه‌ای انتخاب شد تا مهم‌ترین آبرفت‌های شهر تهران را پوشش دهند (سینائیان و همکاران، ۱۳۹۰). بعد از انتخاب محل ایستگاه‌ها، (شکل ۱۳-۴)، عملیات حفر گمانه‌های ژئوتکنیکی صورت پذیرفت و آزمایش‌های ژئوفیزیکی و ژئو تکنیکی لازم در این گمانه‌ها صورت پذیرفت. سپس در عمق گمانه یک سنسور درون چاهی گورالپ و یک سنسور سطحی گورالپ در بالای هر گمانه نصب گردید. در شکل ۱۴-۴ الی شکل ۱۶-۴ مراحل مختلف نصب به همراه تصاویر ایستگاه‌ها نشان داده شده است.



شکل ۱۳-۴ محل ایستگاه‌های درون چاهی در محدوده شهر تهران



شکل ۱۴-۴ عملیات لوله‌گذاری در یکی از ایستگاه‌های شتابنگاری



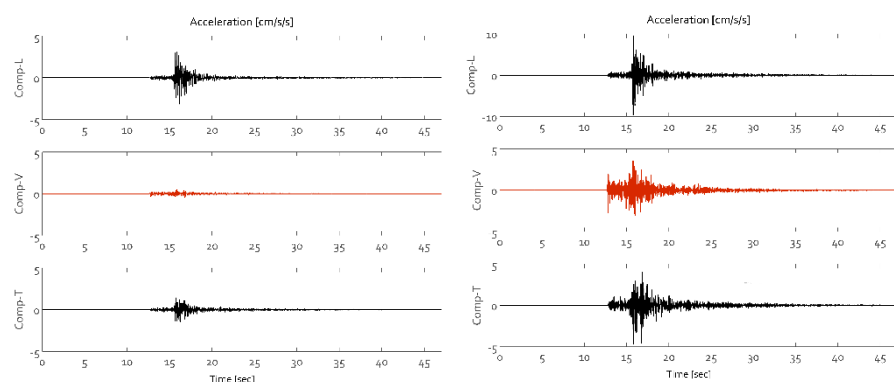
شکل ۱۵-۴ سنسور درون چاهی قبل از  
نصب در گمانه



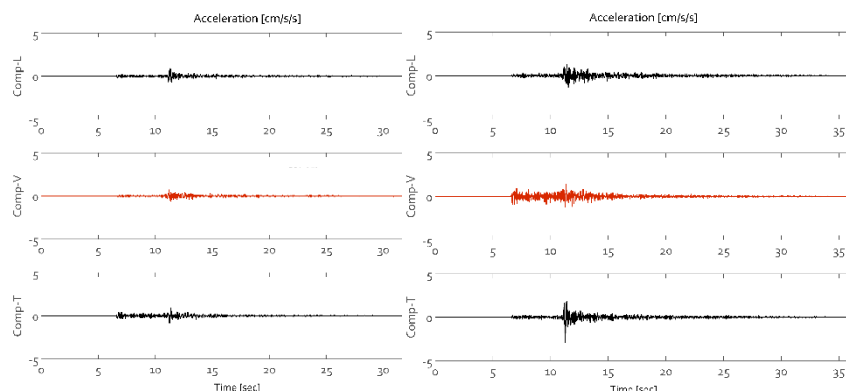
شکل ۱۶-۴ آرایه درون چاهی نصب شده در مرقد امام

#### ۴-۴-۱- دستاوردهای کاربردی

آرایه درون چاهی مرقد امام و ورزشگاه آزادی، زمین لرزه ۲۵ مهر ۱۳۸۸ شهر ری تهران با بزرگای ۴ را به ثبت رسانند. لازم به ذکر است که این اطلاعات نخستین داده‌های درون چاهی ثبت شده در کشور بوده و از این نظر منحصر به فرد هستند. بررسی و مطالعه شتابنگاشتهای ثبت شده در این دو ایستگاه، نشان می‌دهد که شتاب ثبت شده در سطح زمین نسبت به شتاب ثبت شده در عمق گمانه چندین برابر شده است که نشان دهنده تشدید شتاب توسط لایه‌های خاک می‌باشد (شکل ۱۷-۴ و شکل ۱۸-۴).



شکل ۱۷-۴ شتابنگاشت ثبت شده در ایستگاه مرقد امام، سطح زمین (راست) و داخل گمانه (چپ)



شکل ۱۸-۴ شتابنگاشت ثبت شده در ایستگاه استادیوم آزادی، سطح زمین (راست) و داخل چاه (چپ)

#### ۴-۵- برآورد میزان کاهندگی شتاب در اثر انفجار

یکی از مراحل مهم اکتشاف نفت عملیات لرزه‌نگاری است که در اغلب موارد با استفاده از انفجار انجام می‌شود. از دیگر کاربردهای مهم انفجارها برای استخراج معادن است. در اکتشاف نفت از انفجار به عنوان چشمی امواج لرزه‌ای و در استخراج معادن برای خرد کردن و جابجایی سنگ‌ها استفاده می‌شود. امواج لرزه‌ای ناشی از انفجارها در همه جهت‌ها منتشر می‌شوند و از ساختمان‌های اطراف منبع انفجار عبور کرده و بر آن‌ها تاثیر می‌گذارد. لرزش‌های حاصله می‌توانند باعث نگرانی شده و در صورتی که بیش از حد مجاز باشند، عامل ایجاد خسارت به ساختمان‌های اطراف خواهند بود.

از آن جایی که در اثر انفجار، نواحی نزدیک به چشمی انفجار (که اغلب به صورت سطحی می‌باشند) تحت تاثیر امواج قرار می‌گیرند، بررسی میزان کاهندگی این امواج تحت بررسی قرار گرفت تا محدوده تاثیرگذار چشمی‌های انفجاری در محیط را بتوان مشخص نمود.

تاکنون آئین‌نامه خاصی در ایران در این حوزه تدوین نشده است و تحقیقات صورت گرفته در شبکه شتابنگاری جزو اولین تلاش‌ها در این راه محسوب می‌شود.

در این پژوهش انجام شده، برداشت‌ها در زمان‌های مختلف با تعداد ۱۰ دستگاه شتابنگار انجام شده است. دستگاه‌ها در فواصل متفاوت از محل انفجارها به صورت میدان آزاد و همچنین بر روی ساختمان‌های موجود در محدوده مطالعاتی نصب شدند. از مجموع هزاران رکورد که تا فاصله تقریبی ۵۰۰۰ متر ثبت شده‌اند، حدود ۲۲۰۰ رکورد (فاصله افقی ۱ تا ۱۵۰۰ متر) برای تدوین رابطه کاهیدگی و ۲۳۶ رکورد برای مطالعه رفتار ساختمان‌های متداول روسایی مناسب تشخیص داده شدند. با توجه به دامنه کم ارتعاشات حاصل از انفجارها (جز در فواصل سیار نزدیک) و کاهیدگی شدید امواج انفجار، ثبت داده‌ها در بازه زمانی برداشت به طور پیوسته بوده و سپس رکورد انفجارها از مقایسه با جدول زمانی انفجارها، تهیه شده توسط گروه اکتشاف، تکمیل شده است.

داده‌های فوق توسط محققانی جهت برآورد میزان کاهندگی و شناسایی محدوده تاثیرگذار مورد استفاده قرار گرفته است. در شکل ۱۹-۴ و شکل ۲۰-۴ مراحل نصب تجهیزات در حوزه آزاد و سازه‌های اطراف محل چشمی انفجار نشان داده شده است. نتایج حاصل از این مطالعات به شرکت نفت ارائه گردید.



شکل ۴-۱۹ نصب تجهیزات ثبت ارتعاشات ناشی از انفجار



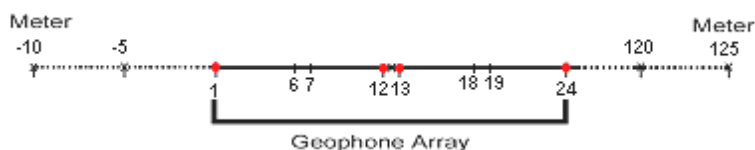
شکل ۴-۲۰ نصب سنسورهای جهت ثبت ارتعاشات سازه‌ای در اثر انفجار

#### ۴-۶- مطالعات زمین‌شناسی ساختگاه‌ها با روش لرزه‌نگاری

بی‌تردید یکی از مهم‌ترین داده‌های بنیادین در شبکه‌های شتابنگاری دنیا که از اهمیت بسیار زیادی برخوردار است، شرایط زمین‌شناختی ایستگاه محل ثبت شتابنگاشت‌ها می‌باشد. بحث تاثیر شرایط خاک بر روی شتابنگاشت‌های ثبت شده در بخش‌های پیشین این کتاب مورد بحث قرار گرفته شد. از این رو برای انجام مطالعات زمین‌شناسی ساختگاه‌های ایستگاه‌های شتابنگاری ایران، روش مطالعات لرزه‌نگاری شکست مرزی که روشی فراگیر است، پیشنهاد و به عنوان بخشی از برنامه توسعه کیفی شبکه ملی شتابنگاری در فهرست پروژه‌های تحقیقاتی مرکز تحقیقات راه، مسکن و شهرسازی قرار گرفت. به دلیل تعداد زیاد ایستگاه‌های شتابنگاری کشور و محدودیت بودجه، اولویت‌بندی ایستگاه‌ها برای مطالعات زمین‌شناسی ساختگاهی ضروری بود و بدین منظور معیارهای مختلفی در نظر گرفته شد. از جمله این معیارها می‌توان به اهمیت زمین‌لرزه‌های رویداده، تعداد شتابنگاشت‌های به دست آمده و ویژگی‌های آن‌ها، بیشینه مقادیر شتاب‌های ثبت شده و... اشاره نمود. پس از انتخاب ایستگاه‌ها با لحاظ نمودن معیارهای فوق، به لحاظ ضرورت و اهمیت انجام این مطالعات برای تمامی ایستگاه‌ها و صرفه جوئی در وقت و هزینه‌ها، سایر ایستگاه‌های دائمی و میدان آزاد که در محدوده ایستگاه‌های انتخابی قرار داشتند نیز مطالعه شدند. به طور کلی برای انجام عملیات شکست مرزی پس از تعیین ابعاد آرایه، گروه ۲۴ تایی ژئوفون‌ها (شکل ۲۱-۴) به صورت آرایش خطی در فواصل مساوی بر روی زمین نصب شده، و بسته به شرایط در ۳ تا ۷ نقطه و به حالت متقاضن ضربه اعمال گردید، و در هر مرحله رکورد ثبت شد. برای تولید امواج P از ضربه چکش بر روی زمین یا ورقه‌ای ضربه‌گیر متفاوت استفاده شده است. جهت تولید امواج S، از ضربه افقی شاسی فلزی در دو جهت مخالف برای سیگنال با دو پلاستیک منفی و مثبت انجام شد. در آزمایش‌های انجام شده به طور میانگین از ۵ شوت استفاده شد، و فاصله ژئوفونها حتی الامکان ۵ متر و در مواردی ۴ متر انتخاب گردید. علاوه بر شوتهاي  $\pm 5$  متر در مواردی که امکان پذیر بود، شوت دور نیز برداشت شده که فاصله آن با توجه به شرایط از ۱۰ تا ۲۵ متری ژئوفونهای انتهایی بوده است. چنانچه گیرنده شماره ۱ را مبدأ فرض کنیم، دور افتهای اعمال شده مطابق شکل ۲۲-۴ می‌باشد.



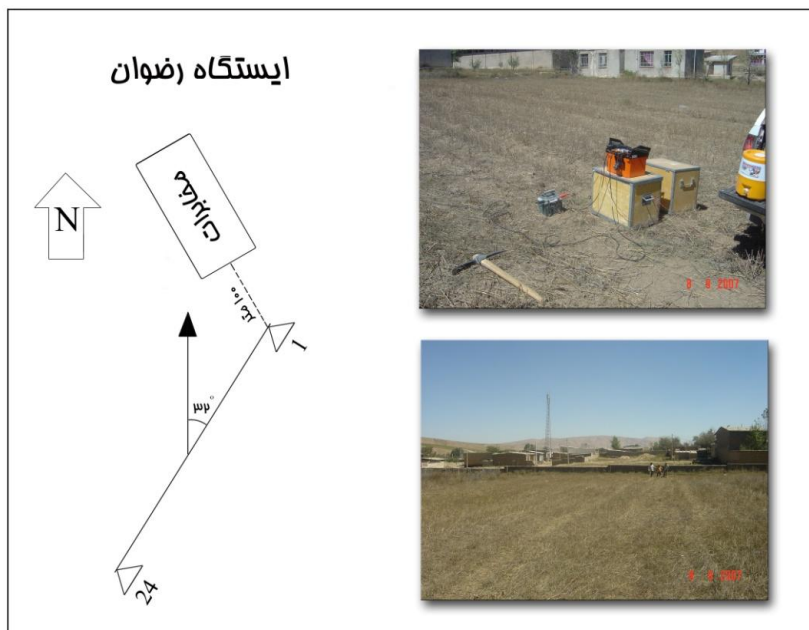
شکل ۲۱-۴ تجهیزات مرتبط با برداشت‌های لرزه‌نگاری



شکل ۲۲-۴ آرایش آرایه‌های زئوفون‌ها به همراه محل‌های ضربه

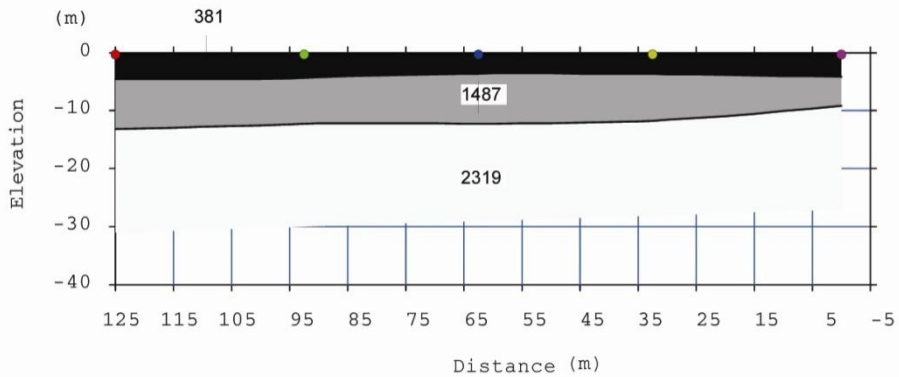
داده‌های حاصل از برداشت‌های شکست مرزی پس از پردازش و حذف نویفه‌ها، مورد اندازه‌گیری و تفسیر قرار گرفتند. با رسم نمودارهای مسافت-زمان می‌توان مقادیر  $V_i$  و ضخامت لایه‌ها را محاسبه کرد. در این پروژه از نرم افزار 10 Winsism جهت تفسیر داده‌ها استفاده شده و نتایج حاصل تفسیر به صورت مقاطع لرزه‌ای ارائه گردیده است. در ادامه برای نمونه عملیات انجام شده در ایستگاه شتابنگاری رضوان در استان سمنان ارائه می‌گردد.

این ایستگاه با مختصات جغرافیایی ۵۵,۷۹۳ درجه طول شرقی و ۳۷,۱۸۴ درجه عرض شمالی و در ارتفاع ۱۳۵۳ متری از سطح دریا واقع شده است. از زمان نصب دستگاه در تاریخ ۱۳۷۵/۱۱/۰۱ تاکنون، تعداد ۳ شتابنگاشت به ثبت رسانده است. بیشینه شتاب ثبت شده در این ایستگاه ۱۷ سانتی متر بر مجدور ثانیه می‌باشد.

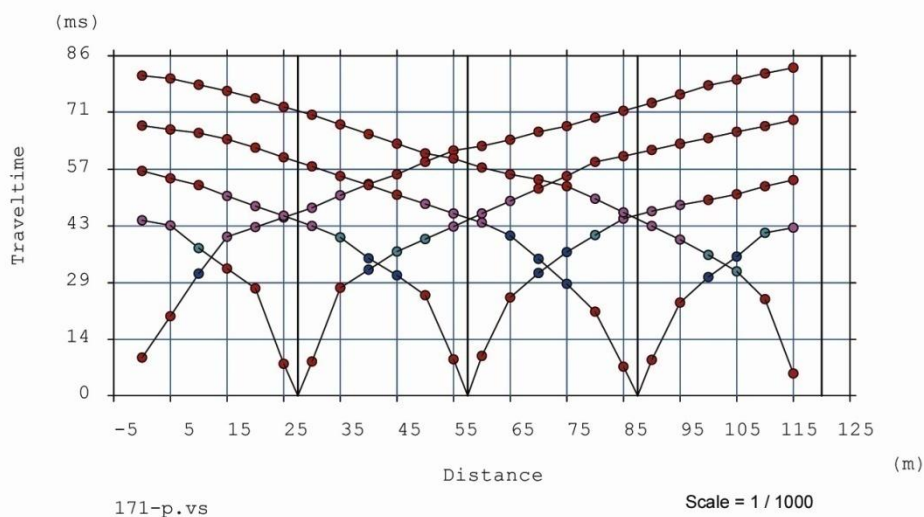


شکل ۴-۲۳ مطالعات لرزه‌نگاری در ایستگاه شتابنگاری رضوان

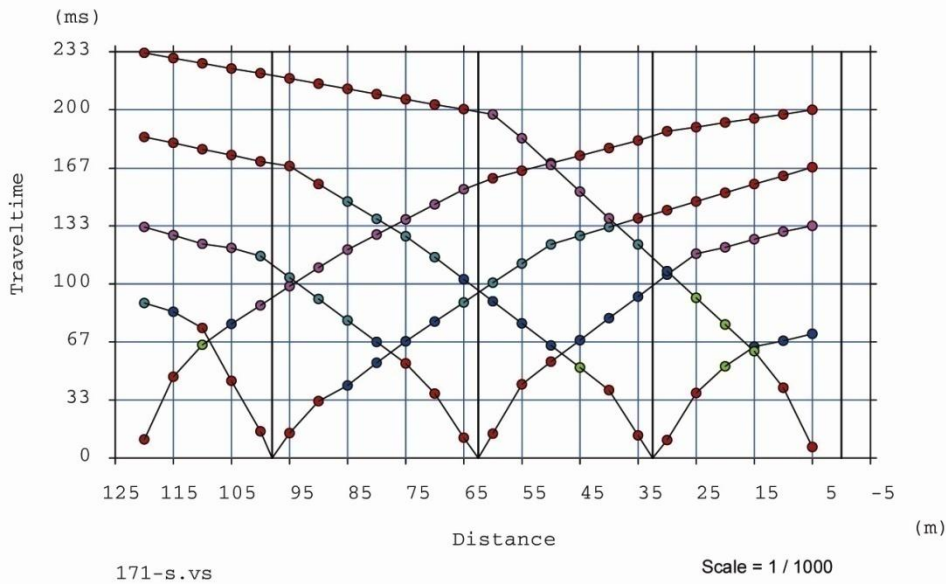
یک پروفیل با امتداد تقریبی شمال شرقی – غرب جنوب غربی و راستای تقریبی ۲۵۸ درجه با فواصل ژئوفونی ۴ متر برای مطالعه سرعت سیر امواج P و S در فاصله تقریباً ۱۰۰ متری جنوب غربی ساختمان مخابرات ( محل نصب دستگاه) اجرا شده است (شکل ۴-۲۳). شکل ۴-۲۴ که حاصل تفسیر برداشت‌های امواج تراکمی P است، تفکیک سه لایه لرزه‌ای اصلی را نشان می‌دهد. میانگین ستبزای لایه اول حدود  $\frac{3}{7}$  متر و دارای متوسط سرعت سیر امواج تراکمی P حدود ۳۸۱ متر بر ثانیه می‌باشد. میانگین سرعت سیر امواج تراکمی در دومین لایه با متوسط ضخامت  $\frac{7}{9}$  متر، برابر ۱۴۸۷ متر بر ثانیه و سرعت سیر این امواج در لایه سوم، که از ژرفای محاسباتی  $11/6$  متری شروع می‌شود، برابر ۲۳۱۹ متر بر ثانیه می‌باشد. در این مدل میانگین سرعت سیر امواج برشی S بترتیب برابر ۲۴۶ متر بر ثانیه برای لایه اول، ۴۲۷ متر بر ثانیه برای لایه دوم و ۶۷۶ متر بر ثانیه برای لایه سوم و  $V_{S30}$  برابر با ۴۹۴ متر بر ثانیه شده است. منحنی زمان سیر امواج P و S به ترتیب در شکل ۲۵-۴ و شکل ۲۶-۴ آورده شده است.



شکل ۲۴-۴ تفسیر برداشت‌های امواج تراکمی p



شکل ۲۵-۴ منحنی زمان سیر امواج P



شکل ۲۶-۴ منحنی زمان سیر امواج S

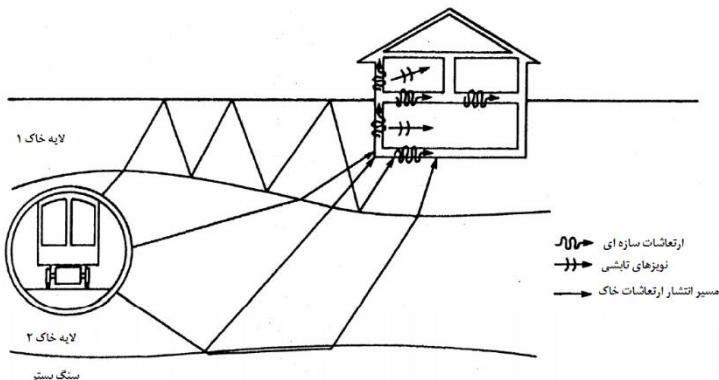
در مجموع در ۵۸۰ ایستگاه از شبکه ملی شتابنگاری برداشت‌های لردهای صورت گرفته است (شبکه شتابنگاری ۱۳۸۷- گزارش‌های هشت جلدی).

#### ۴-۷- ارزیابی ارتعاشات محیطی

با توجه به گسترش شهرنشینی و ورود قطارهای شهری، مشکلاتی همچون ارتعاشات ناشی از حرکت قطارها در زیرزمین به دیگر عوامل ارتعاشات محیطی اضافه شده است. این نوع از ارتعاشات در دراز مدت باعث افزایش خستگی<sup>۱</sup> سازه‌ای می‌شود که عمر مفید سازه را کوتاه‌تر می‌نماید. همچنین این نوع از ارتعاشات می‌تواند در عملکرد تجهیزات ابزار دقیق و آزمایشگاهی حساس به ارتعاشات محیطی (دامنه و فرکانس) تاثیر منفی داشته باشد. از این‌رو اندازه‌گیری دامنه، کاهندگی و محدوده فرکانسی ارتعاشات محیطی کمک موثری در برنامه‌ریزی و ایجاد تمهدات جهت به حداقل رساندن تاثیرات ثانویه در پی خواهد داشت. در شکل ۲۷-۴ نمایی از انتشار ارتعاشات ناشی از حرکت قطارهای شهری نشان داده شده

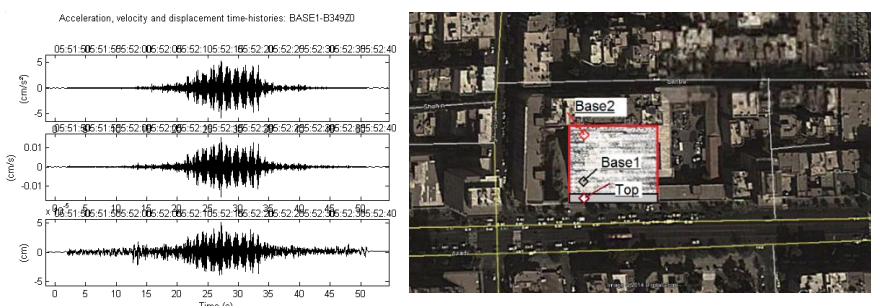
<sup>۱</sup> Fatigue

است.



شکل ۲۷-۴ انتشار امواج ناشی از حرکت قطارهای شهری (رمینگتون و همکاران، ۱۹۸۷)

در یکی از پژوهش‌های صورت گرفته توسط شبکه شتابنگاری ایران، ارتعاشات محیطی در سازه‌های واقع در مرکز تهران ( محل تقاطع دو خط مترو) در اعماق مختلف اندازه‌گیری گردید. از آنجا که عمقداری در حدود ۲۱ متر بوده، ۳ سنسور مولفه‌ای شتابنگاری در عمق گود با فواصل مختلف از خط مترو و یک سنسور مولفه‌ای نیز در سطح، ارتعاشات ناشی از حرکت قطارها را در طول ۳ شباهه روز (روز کاری، نیمه کاری و تعطیل) اندازه‌گیری نمودند.



شکل ۲۸-۴ محل قرارگیری سنسورهای اندازه‌گیری توسط لوزی (راست) و نمونه اندازه‌گیری ارتعاشات ناشی از حرکت قطار توسط سنسور واقع در عمق گود بوداری (چپ).

محل قرارگیری سنسورها و نمونه‌ای از ارتعاش ثبت شده در شکل ۲۸-۴ نشان داده شده است. در این پژوهش میزان دامنه طیفی ارتعاشات در عمق‌های مختلف اندازه‌گیری شده و معیارهای لازم جهت تصمیم‌گیری بر اساس نتایج ارائه گردید.

#### ۴-۸- طراحی و اجرای سامانه پاسخ سریع زمین لرزه

مدیریت مخاطرات طبیعی، به خصوص زمین لرزه امری مشکل می باشد. اگرچه امروزه بشر با پیشرفتهای تکنولوژیکی، به خصوص در زمینه مقابله با پدیده طبیعی زمین لرزه به نتایج مطلوبی رسیده که نمود عینی آنها را در آئین نامه های ساخت و ساز مشاهده می کنیم، ولیکن هنوز زمین لرزه در زمرة مخاطره آمیزترین پدیده های طبیعی محسوب می شود. امروزه دانشمندان علوم زمین لرزه صراحتاً بر این نکته تاکید دارند که پیش بینی زمین لرزه به این معنا که بزرگاً و مکان آن مشخص گردد با دانش فعلی بشر امکان پذیر نیست، ولیکن سیستم های هشدار و پاسخ سریع زمین لرزه می توانند در کاهش خسارات جانی و مالی این پدیده بسیار سودمند باشند.

زمین لرزه ۲۱ سپتامبر ۱۹۹۹ چیچی تایوان اولین تجربه عملکرد مثبت این سیستم بود. اطلاعات بدست آمده از این سیستم در این زمین لرزه تصویر دقیقی از اثرات این رویداد را آشکار و مسیر امداد را مشخص و کمک شایانی به امداد گران نمود. مدیریت موثر بحران در این زمین لرزه جان تعداد زیادی از مردم را نجات داد. این سیستم براساس عملکرد صدها دستگاه شتابنگار و لرزه نگار که در سراسر جزیره نصب شده اند عمل می کند که همه آنها به یک سیستم کنترل مرکزی متصل می باشند.

مشابه این سیستم در استانبول ترکیه، مکزیکو سیتی، کالیفرنیا و هند در حال فعالیت بوده یا در مرحله اجرا می باشد. سامانه های هشدار و پاسخ سریع زمین لرزه بر اساس اختلاف زمانی رسید امواج p یا اولیه و امواج s یا ثانویه استوار بوده و با توجه به این اختلاف و تفاوت سرعت بسیار زیاد امواج رادیویی یا مشابه با امواج زمین لرزه قادر به ارسال هشدار در بدو رویداد زمین لرزه و یا ارائه اطلاعات اساسی جنیش نیرومند زمین بلا فاصله بعد از رویداد زمین لرزه هستند. نکته مهم در سامانه پاسخ سریع زمین لرزه فاصله زمانی بین رسید امواج p و s می باشد که هر چه این زمان بیشتر باشد، فرصت کافی برای هشدار وجود خواهد داشت. در این طرح در مرحله اول نصب ۲۰ دستگاه شتابنگار در مناطق مختلف تهران پیش بینی شده است. نحوه ارتباط این دستگاهها در مرحله اول از طریق اینترنت و در نهایت بوسیله ماهواره خواهد بود.

### چرا تهران؟

شهر تهران در دامنه جنوبی البرز مرکزی و بر روی نهشته‌های آبرفتی کوادرنر بنا شده و قسمت جنوبی آن کم و بیش در کناره شمال باختری کویر بزرگ مرکزی ایران قرار دارد. اختلاف بلندی ناگهانی و شدید میان شهر تهران (با میانگین ارتفاع ۱۳۰۰ متر) و نزدیکترین قله به آن در یک فاصله‌ای کمتر از ۱۰ کیلومتر (قله توچال با بلندی نزدیک به ۳۹۳۳ متر) یکی از ویژگی‌های پستی و بلندی گستره تهران است که بنا به دید چالکو (۱۹۷۴) نتیجه مؤلفه شاغلوی است که در راستای راندگی جنبای شمال تهران رویداده است. علاوه بر وجود راندگی جنبای شمال تهران و چند گسل جوان و جنبای دیگر در شمال و جنوب شهر، نهشته‌های آبرفتی دشت تهران و شهر ری دارای شکستگی‌های کوچک فراوانی است که ممکن است به هنگام جنبیدن گسل‌های بزرگ و زمین‌لرزه دچار لغش، جنبش و جابجایی شوند. زمین‌لرزه‌های مخرب تاریخی در ناحیه شهر ری در زمان ۴ سده پیش از میلاد مسیح و همچنین زمین‌لرزه‌های تاریخی ۷۴۳، ۸۵۵، ۹۵۸ میلادی شهر ری و از سوی دیگر رخداد زمین‌لرزه‌های مهم ۱۱۷۷ و ۱۹۶۲ میلادی بوئین زهرا در جنوب دشت قزوین در غرب تهران که برآورد می‌شود همگی بزرگایی بیش از ۷ داشته‌اند، نمایانگر احتمال رویداد زمین‌لرزه‌های مخرب در ناحیه شهری یا در نزدیکی گستره شهر تهران است. رویداد زمین‌لرزه‌های بزرگ در شهر تهران پیامدهای فاجعه باری بدنبال خواهد داشت به طوری که اثرات ویرانگر و دنباله‌داری بر جامعه و اقتصاد بر جای خواهد گذاشت.

مهم‌ترین چالش‌های پیش رو در برابر رویداد یک زمین‌لرزه ویرانگر در این شهر به صورت خلاصه بدین صورت است

- ایمنی تاسیسات مهم و حیاتی مانند بیمارستان‌ها، مراکز آتش‌نشانی، مراکز کمک‌رسانی
- وضع ساختمان‌های شهر تهران که شامل تعداد بسیار زیادی ساختمان قدیمی فاقد اسکلت و ساختمان‌های نوساز فاقد مقاومت در برابر زمین‌لرزه هستند.
- وجود خطوط لوله‌های نفت و گاز و انبارهای بزرگ فرآورده‌های نفتی به خصوص در مناطق جنوبی تهران
- وجود لوله کشی گاز شهری تهران و احتمال رویداد آتش‌سوزی

- وجود سدها در پیرامون تهران و خطوط لوله انتقال آب به شهر تهران

- خطوط برق فشار قوی

- احتمال روانگرایی خاک در برخی مناطق به خصوص در جنوب شهر تهران

- احتمال رویداد زمین لغزش و سنگریزش به خصوص در مناطق شمالی و کوهستانی پیرامون

موارد فوق فهرست اندکی از خطرات یک زمین لرزه احتمالی در شهر تهران است که می‌توان بر شمرد. مهم‌ترین سوالی که در پی رویداد یک زمین لرزه بزرگ در شهری مانند تهران مطرح است شناسایی مناطقی است که بیشترین خسارات و تلفات را در هنگام رویداد متحمل شده‌اند. مسلماً اتکا به روش‌های سنتی و تجربیات گذشته کشور در برابر زمین لرزه نمی‌تواند برای ابر شهری مانند تهران کارساز باشد. لذا ضروری است با به کار گیری امکانات مدرن ساخت‌افزاری و نرم‌افزاری و سامانه‌های ارتباطی این دامنه خسارات این پدیده طبیعی را به حداقل رساند. امروزه در کشورهای مدرن و لرزه‌خیز به کار گیری سامانه‌های واکنش و هشدار سریع زمین لرزه به یک ضرورت اجتناب ناپذیر در امر مدیریت بحران بدل شده است.

#### ۴-۱-۸- سیستم پاسخ سریع<sup>۱</sup>

چند ساعت اولیه پس از وقوع زمین لرزه، اطلاعات مربوط به واقعه بسیار مهم و حیاتی می‌باشند و به شدت این اطلاعات برای بهینه کردن توزیع منابع و مدیریت بحران مورد نیاز می‌باشند. سیستم‌های پاسخ سریع از سیستم‌های اطلاعاتی داده - زمان واقعی زمین لرزه هستند و شامل تعداد زیادی از ایستگاه‌های شتابنگاری است که با نظم و الگوی معینی در منطقه مورد نظر نصب می‌شوند. با توجه به این که دستگاه‌های لرزه‌نگار باند پهن در نزدیکی مراکز زمین لرزه اشباع می‌شوند، لزوم استفاده از دستگاه‌های شتابنگار ضروری بوده و از نظر هزینه نیز به صرفه‌تر است.

یک ارتباط مستمر و مداوم با پایگاه پردازشگر مرکزی مورد احتیاج است و هر ثانية این دستگاه‌ها به طور مستمر اطلاعات را به کنترل مرکزی می‌فرستند. ایستگاه‌های سیستم‌های پاسخ سریع می‌توانند

<sup>۱</sup> Rapid Response System

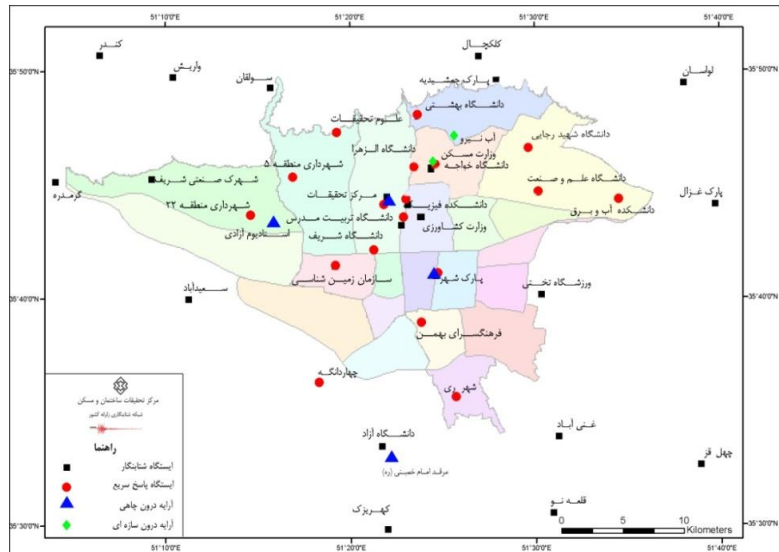
بوسیله وسایل مختلف ارتباطی مانند تلفن، تلفن‌های همراه، اینترنت و ماهواره مجهز شوند. از این طریق اطلاعات پارامترهای جنبش زمین را به پایگاه می‌فرستند. این اطلاعات برای تهیه نقشه‌های لرزش به صورت اتوماتیک، لازم و اساسی هستند که خود این نقشه‌ها ورودی‌های اصلی برای تخمین و برآورد خسارات و کشته‌ها می‌باشند.

#### ۴-۸- نقشه‌های لرزش<sup>۱</sup>

مهماً‌ترین خروجی یک سامانه پاسخ سریع زمین‌لرزه نقشه‌های لرزش زمین می‌باشد. این ابزار یکی از کارآمدترین ابزارهای یک سیستم مدیریت بحران بالا‌فصله بعد از رویداد زمین‌لرزه می‌باشد. این نقشه‌ها توزیع لرزش زمین را به صورت پارامترهای جنبش زمین نشان می‌دهند و مقیاس‌های متفاوتی از مناطق مسکونی تا گستره ناحیه‌ای را تحت پوشش قرار می‌دهند. اولین نقشه لرزش اتوماتیک بوسیله والد و همکاران (۱۹۹۹) برای زمین‌لرزه‌ای در کالیفرنیای جنوبی به عنوان قسمتی از پروژه (TriNet) تهیه گردید.

برای شهر تهران، سامانه پاسخ سریع با ۲۰ ایستگاه شتابنگاری در فاز اول طراحی و اجرا گردید (شکل ۴-۳۰). در شکل ۴-۳۰ تعدادی از ایستگاه‌های این سامانه نشان داده شده است. بعد از وقوع زمین‌لرزه در تهران، این سامانه با استفاده از داده‌های شتابنگاری ثبت شده، اقدام به تولید نقشه‌های لرزش شدت در منطقه نموده و نتایج را به طور اتوماتیک محاسبه می‌کند (فاطمی عقدا و همکاران، ۱۳۹۲). با استفاده از این نتایج می‌توان در دقایق اولیه بعد از وقوع زمین‌لرزه، مناطق با آسیب پذیری بالا را مشخص نمود و از آن در مباحث مربوط به مدیریت بحران و امداد و نجات استفاده نمود.

<sup>۱</sup> Shake Maps



شکل ۴-۴ جانمایی ایستگاه‌های سامانه پاسخ سریع شهر تهران به همراه ایستگاه‌های دیگر

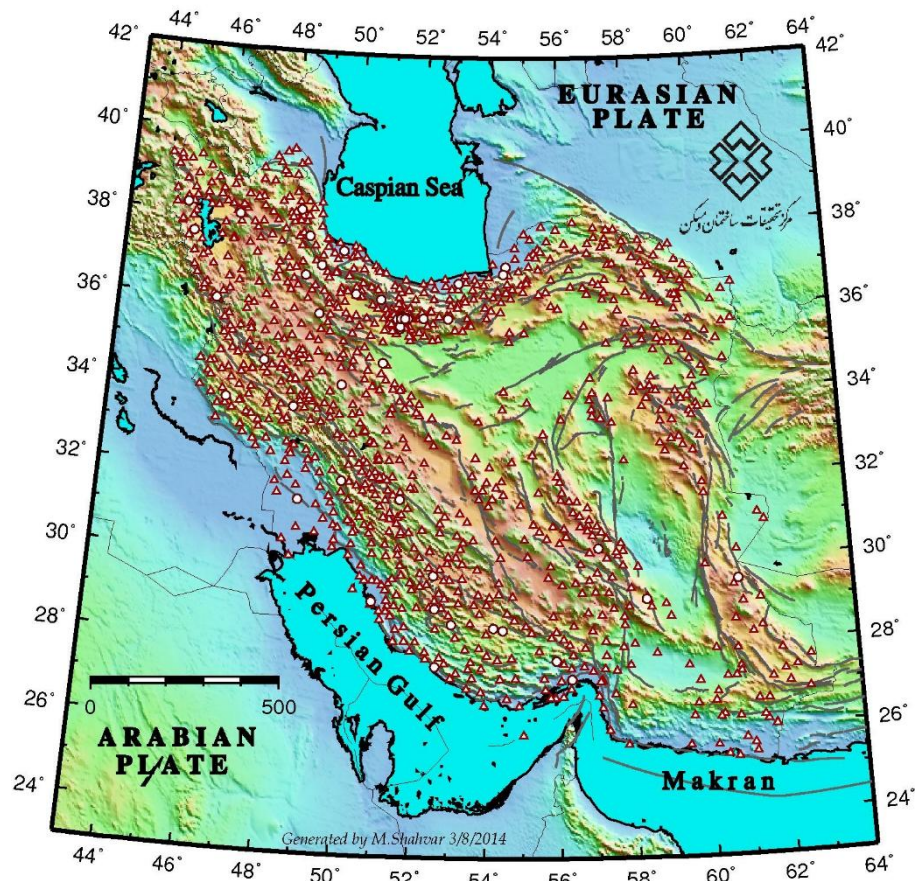


شکل ۴-۵ نمای تعدادی از ایستگاه‌های سامانه پاسخ سریع شهر تهران

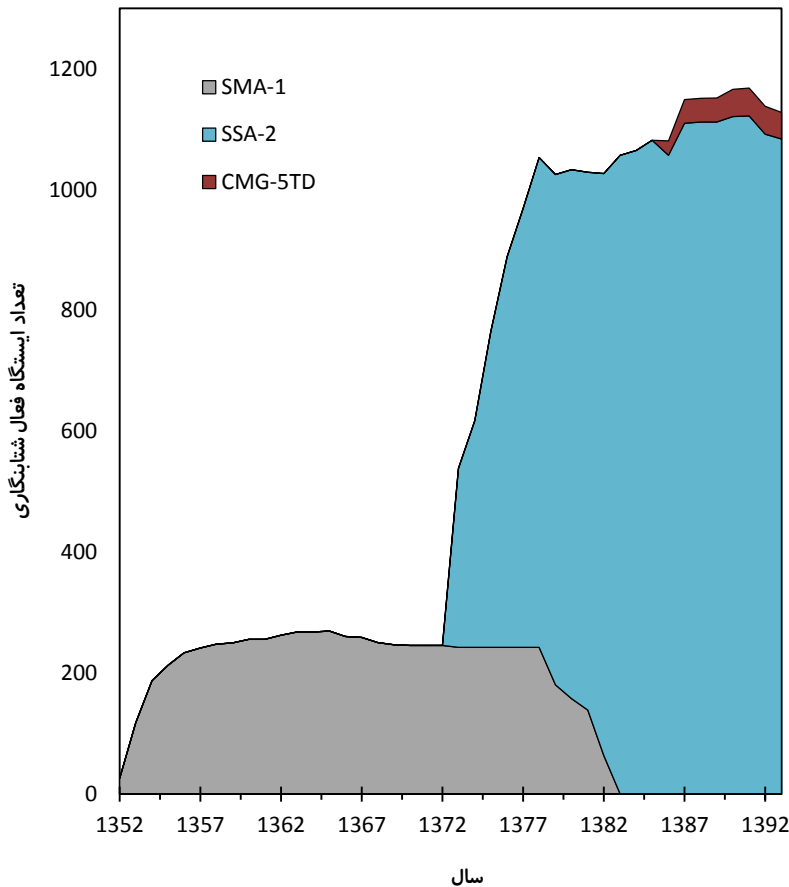
## فصل پنجم

### وضعیت فعلی شبکه شتابنگاری و چشم انداز نزدیک

در این فصل از کتاب به وضعیت فعلی شبکه شتابنگاری ایران و برنامه‌های آن برای آینده پرداخته شده است. همانگونه که در فصل سوم بیان شد، شبکه شتابنگاری ایران هم اکنون دارای ۲ نوع دستگاه از دو شرکت مختلف می‌باشد که دستگاه‌های SSA-2 از شرکت کینمتیریکس و CMG-5TD از شرکت گورالپ را شامل می‌شوند. همچنین تعداد ۴ آرایه درون چاهی نیز متعلق به این شرکت می‌باشد. در شکل ۱-۵ پراکندگی ایستگاه‌ها در پهنه ایران و در شکل ۲-۵ تعداد ایستگاه‌های موجود در شبکه بر حسب زمان نشان داده شده است. همانطور که مشاهده می‌گردد در سال‌های اخیر توسعه‌ای صورت نگرفته است که دلیل آن عدم تخصیص بودجه و مشکلات ناشی از تحریم‌ها می‌باشد. در ادامه به چگونگی انتقال داده‌ها، پردازش داده‌ها، بانک داده‌ها، پرتل اینترنی و نحوه اطلاع‌رسانی پرداخته شده است. در انتها نیز برنامه نوسازی و توسعه شبکه شتابنگاری نیز به اختصار توضیح داده شده است.



شکل ۱-۵ نقشه ایستگاه‌های فعال شبکه شتابنگاری ایران. ایستگاه‌های برخط توسط دایره و ایستگاه‌های SSA-2 توسط مثلث نشان داده شده است.



شکل ۲-۵ تعداد سالیانه ایستگاه‌های فعال بر اساس مدل دستگاه. هر ایستگاه شامل ۳ کانال (۲ کانال افقی عمود بر هم و یک کانال عمودی) چهت ثبت داده‌های شتاب می‌باشد. در سال‌های انتهایی بدليل فرسودگی دستگاه‌های SSA-2 شبیه منفی شده است.

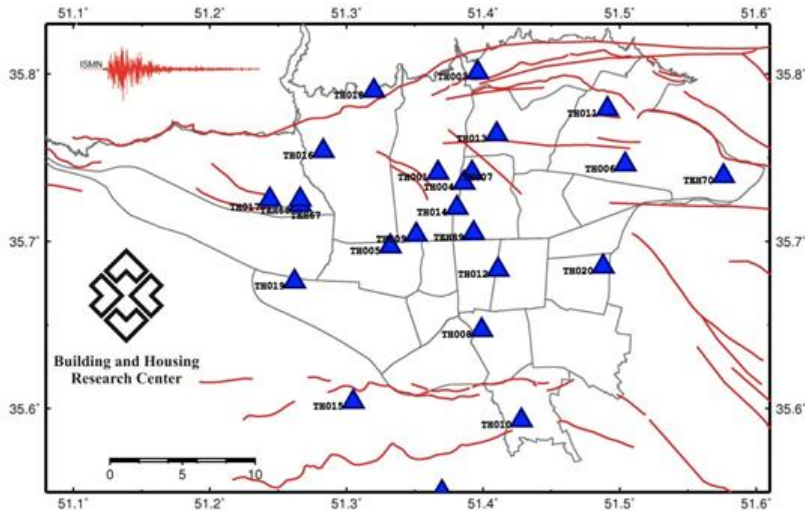
## ۱-۵- انتقال دادها

هم اکنون انتقال دادها برای آرایه‌های 2-SSA به دو روش ارتباط تلفنی<sup>۱</sup> و برداشت در محل (به دلیل عدم امکان برقراری تماس تلفنی در بعضی از ایستگاه‌ها) می‌باشد. اما برای آرایه‌های CMG-5TD امکان ارتباط برخط‌آبیز وجود داشته و این ایستگاه‌ها از طریق اینترنت کنترل می‌گردند. شبکه شهر تهران از طریق شبکه داخلی (خطوط MPLS) و دیگر ایستگاه‌ها بوسیله ADSL در ارتباط می‌باشند. در شکل ۳-۵ نمونه‌ای از تجهیزات جهت ارتباط اینترنتی در ایستگاه دانشگاه شهید رجایی نشان داده شده است. همچنان در شکل ۴-۵ ایستگاه‌های برخط شبکه شتابنگاری در محدوده شهر تهران نشان داده شده است. تقریباً تمامی شتابنگارهای این شبکه از طریق ارتباط تلفنی و اینترنتی از مرکز کنترل و نگهداری، قابل دسترسی است و داده‌های ثبت شده تعداد کمی از آن‌ها با بازدید محلی تخلیه می‌شوند.



شکل ۳-۵ نمونه‌ای از تجهیزات ارتباطی اینترنتی در ایستگاه دانشگاه شهید رجایی

<sup>۱</sup> Dial-Up  
<sup>۲</sup> On-Line



شکل ۵-۴ نقشه ایستگاه‌های شبکه شتابنگاری که بطور برخط در محدوده تهران کنترل می‌گردد

## ۲-۵- پردازش داده‌ها

داده‌های دریافتی از دستگاه‌های شتابنگار بصورت خام بوده و پردازش‌های اولیه جهت استفاده عمومی ضروری می‌باشد. پردازش داده‌ها در ابتدا با تصحیح دستگاهی صورت می‌گیرد، بدین صورت که فایل‌های رقومی ثبت شده با توجه به مشخصات سنسور تصحیح شده به رکورد رقومی شتاب تبدیل می‌شود. این رکوردها که به رکوردهای تصحیح نشده<sup>۱</sup> شناخته می‌شوند، هم اکنون به فرمت CSMIP (V1) ارائه می‌گردد.

با توجه به محل نصب دستگاه، از آنجا که در هنگام ثبت امواج زمین‌لرزه، امواج نویز نیز توامان ثبت می‌گردد، لازم است تا تصحیحات مربوط جهت حذف نویز از رکورد صورت پذیرد. از آنجا که نویز با پریود بلند سبب مشکل انحراف در خط مبنا در رکوردهای شتاب نیز می‌گردد، لذا پردازش صحیح شتاب‌نگاشتها بسیار مهم می‌باشند. انحراف از خط مبنا عواملی در رکوردهای شتاب که به صورت فرکانس بالا می‌باشند، مشاهده نمی‌شود، اما اثر آن را به خوبی می‌توان در رکوردهای مربوط به سرعت

<sup>۱</sup> Uncorrected

و جایه‌جایی حاصل از انتگرال‌گیری از روی رکورد شتاب مشاهده نمود به گونه‌ای که اغلب این رکوردها

انحرافات مشخصی از خط مبنا نشان داده و کاملاً غیر واقعی به نظر می‌آیند.

تاکنون الگوریتم‌های مختلفی به منظور تصحیح خط مبنا ناشی از نویز با پریود بلند و نیز فیلترکردن نویز حاضر در رکوردهای شتاب پیشنهاد شده است. یک فیلتر در حقیقت به صورت یکتابع ریاضی در حوزه فرکانس بوده که مقدار آن در محدوده فرکانسی که پردازشگر تمایل به حفظ آن دارد برابر واحد بوده و در محدوده‌هایی که می‌باشد حذف گردد، برابر صفر می‌باشد. الگوریتم‌های تصحیح خط مبنا نیز اغلب شامل برآش خطوط مستقیم و یا منحنی‌های چند جمله‌ای درجه پایین بر روی سرعت نگاشت حاصل از انتگرال‌گیری از روی رکورد شتاب و سپس تفربیق مشتق این خطوط یا منحنی‌ها از روی رکورد شتاب می‌باشد.

نکته‌ای که در خصوص طرح‌های متعدد پردازش رکوردهای شتاب می‌باشد در نظر داشت، آن است که در کلیه این طرح‌ها مرحله اعمال فیلتر بالاگذر (به منظور حذف نویز با پریود بالا) و نیز فیلتر پایین‌گذر (برای حذف نویز با پریود کوتاه) می‌باشد و در صورت اعمال فیلترهای مشابه عملاً نتایج این طرح‌ها تفاوت چندانی با یکدیگر نخواهد داشت (بور و بومر ۲۰۰۵). هرچند که مزیت استفاده از فیلترها کاملاً روشن می‌باشد، اما می‌باشد شخص پردازشگر کاملاً از حساسیت نتایج حاصل از اعمال فیلتر به پارامترهای انتخابی در فیلتر اعمالی آگاهی داشته باشد. یک فیلتر را می‌توان در حوزه زمان، با هم‌آمیخت<sup>۱</sup> تابع تبدیل یافته فیلتر در حوزه زمان در سری زمانی و یا در حوزه فرکانس، با ضرب تابع فیلتر در طیف دامنه فوریه مربوط به سری زمانی، اعمال نمود.

روشی که بر مبنای آن فیلتر بر روی شتاب‌نگاشت موردنظر اعمال می‌گردد بسیار حائز اهمیت است. انتخاب اصلی در این خصوص مایین فیلترهای علی<sup>۲</sup> و غیرعلی<sup>۳</sup> می‌باشد. مزیت اصلی فیلتر غیر علی آن است که هیچ تغییری در طیف فاز سیگنال اعمال نمی‌کند، در حالی که فیلترهای علی عملاً سبب ایجاد تغییرات در طیف فاز نیز می‌گردند (بور و بومر، ۲۰۰۵).

<sup>۱</sup> Convolution

<sup>۲</sup> Causal

<sup>۳</sup> Uncausal

اخيرا در شبکه شتابنگاری جهت پردازش داده های خام شتابنگاری از طرح های پيشنهادی بور و بومر (۲۰۰۵) و بور (۲۰۰۵) استفاده شده است، که در شکل ۵-۵ مراحل مختلف آن به اختصار ذکر شده است.

### الگوريتم پردازش

تبديل فرمت تصحيح نشه V1 به ۳ مولفه مجزا

تعيین ميانگين و تفريقي از كل تاريخچه زمانی

• تفريقي ميانگين پيش رويداد در صورت وجود

• در غير اينصورت، محاسبه ميانگين برای كل رويداد و تفريقي آن

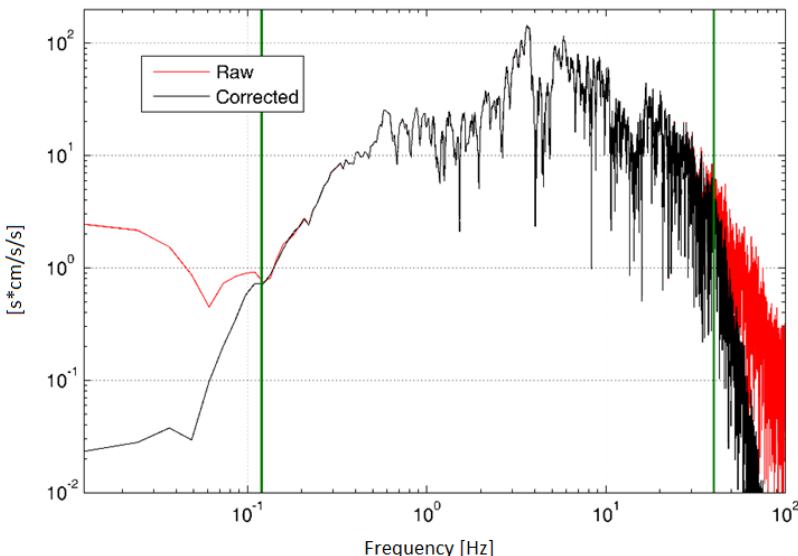
اضافه کردن صفر در شروع و پایان رکورد

اعمال فيلتر بالاگذر و پايين گذر غير على با تروث

انتگرال گيري از رکورد شتاب جهت دست يافتن به تاريخچه زمانی سرعت و تغيير مكان

محاسبه PSA,PGD,PGV,PGA و ديگر پaramترهاي مورد نياز

شكل ۵-۵ مراحل مختلف پردازش داده های شتابنگاری

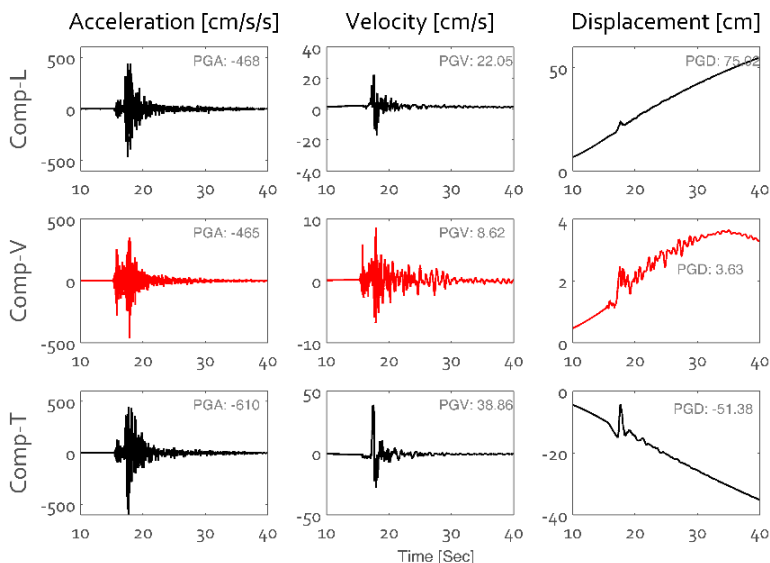


شکل ۶-۵ طیف دامنه مربوط به شتابنگاشت ثبت شده در ایستگاه کوه-زره، ثبت شده در زمین لرزه ۱۳۸۹ کوه-زره. شتابنگاشت تصحیح شده با خط پررنگ (سیاه) مشخص شده است.

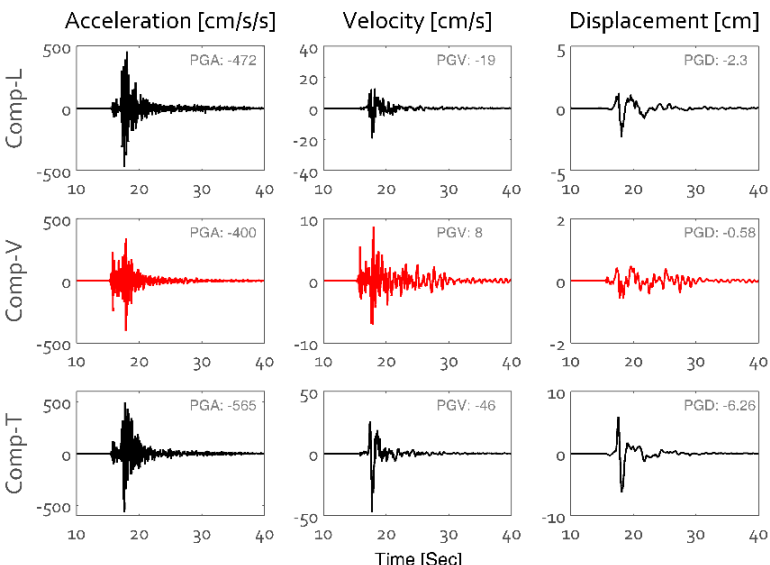
همچنین برای انتخاب پریودهای گوشه مناسب از شکل کلی طیف فوریه نگاشت (که می‌بایست از لحاظ تئوری به صورت ذوزنقه‌ای بوده و نیز طیف دامنه فوریه آن در قسمت پریود بلند متناسب با  $\omega^2$  باشد) استفاده شده است. برای نمونه طیف دامنه فوریه شتاب برای رکورد کوه-زره در شکل ۶-۵ آورده شده است و شتابنگاشت تصحیح شده با خط پررنگ و شتابنگاشت تصحیح نشده با خط کمنگ مشخص شده است.

در نهایت بعد از انتخاب پریودهای گوشه مناسب برای رکورد شتاب و پردازش آن می‌بایست رکوردهای سرعت و جایه‌جایی مربوط به رکورد پردازش شده ترسیم گردیده تا از منطقی بودن این رکوردها از لحاظ فیزیکی اطمینان حاصل گردد. رکوردهای شتاب، سرعت و جایه‌جایی تصحیح نشده و تصحیح شده (بر مبنای رکورد ثبت شده در ایستگاه کوه-زره، زمین لرزه مرداد ۱۳۸۹ کوه-زره)، محاسبه گردیده‌اند و در شکل ۷-۵ و شکل ۸-۵ آورده شده است.

داده‌های پردازش شده با توجه مراحل توضیح داده شده به فرمت شتاب، سرعت و تغییرمکان تصحیح شده (V2) و طیف‌های پاسخ و فوریه به فرمت V3 تهییه می‌گردد.



شکل ۵-۷ تاریخچه زمانی های شتاب، سرعت و جابجایی تصحیح نشده مربوط به رکورد ثبت شده در ایستگاه کوه-زر، زمین لرزه مرداد ۱۳۸۹ کوه-زر استان سمنان.

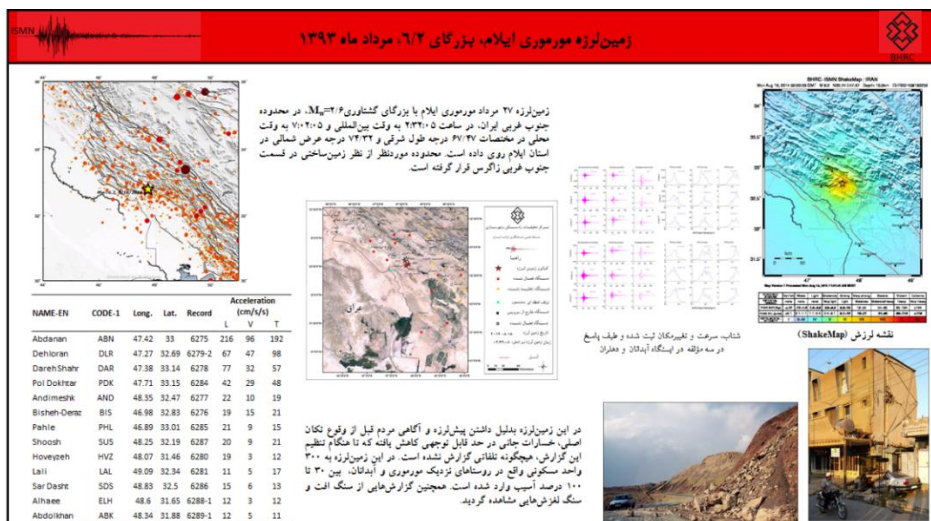


شکل ۵-۸ تاریخچه زمانی های شتاب، سرعت و جابجایی تصحیح شده مربوط به رکورد ثبت شده در ایستگاه کوه-زر، زمین لرزه مرداد ۱۳۸۹ کوه-زر استان سمنان.

### ۹-۵-۱-نحوه اطلاع‌رسانی

یکی از اهداف شبکه شتابنگاری اطلاع‌رسانی سریع از میزان شدت زمین‌لرزه‌های رویداده می‌باشد. لذا همواره پس از رویداد زمین‌لرزه‌های بزرگتر از ۵، گزارشی سریع شامل ایستگاه‌های ثبت کننده زمین‌لرزه بر روی وب‌سایت مرکز تحقیقات راه، مسکن و شهرسازی<sup>۱</sup> ارائه می‌گردد. معمولاً در این گزارش نقشه ایستگاه‌هایی که رویداد را ثبت کرده‌اند به همراه جدول مشخصات شامل نام ایستگاه، مختصات جغرافیایی و مقدار شتاب حداکثر زمین ثبت شده در سه مولفه ارائه می‌گردد.

در شکل ۹-۵ گزارش زمین‌لرزه مردادماه ۱۳۹۳ مورموری ایلام به عنوان نمونه آورده شده است.



پس از وقوع زمین‌لرزه‌های مخرب، تیم ارزیابی سریعاً به مناطق زلزله‌زده اعزام می‌شود و در صورت لزوم ایستگاه‌های موقت جهت ثبت پس‌لرزه‌ها نصب می‌شود و بعد از جمع‌آوری اطلاعات و مشاهدات میدانی،

<sup>۱</sup> <http://ismn.bhrc.ac.ir/>

گزارش جنبه های زلزله شناسی مهندسی این زلزله ها تهیه و بر روی وب سایت مرکز تحقیقات قرار داده می شود. همچنین میزان حداکثر شتاب زمین در ایستگاه های ثبت شده چندین ساعت پس از وقوع از طریق پیامک به افراد و سازمان های مرتبط اطلاع رسانی می شود. در شکل ۱۰-۵ نمونه ای از پیامک های اطلاع رسانی برای زمین لرزه مورموری ایلام نشان داده شده است.



شکل ۱۰-۵ نمونه پیامک اطلاع رسانی برای زمین لرزه موداده مورموری، ۱۳۹۳

### ۳-۵-بانک داده ها

اطلاعات دریافتی از ایستگاه ها پس از پردازش در قسمت مرکز داده های شبکه ذخیره می گردد. مرکز داده های شبکه شتابنگاری ملی ایران شامل بانک ایستگاه های شتابنگاری از ابتدای سال ۱۳۵۳ تا کنون، داده های رقومی دستگاهی خام، داده های تصحیح نشده و تصحیح شده می باشد. همچنین اطلاعات مربوط به موقعیت مکانی زمین لرزه ها، بزرگی زمین لرزه، پارامتر های اساسی هر رویداد شامل مقادیر شتاب، سرعت، تغییر مکان، مقادیر فوریه و طیفی، پارامتر های وابسته به ساختگاه ایستگاه و وابسته به چشم مه هر رویداد در این بانک موجود می باشد. در پیوست ۲، مهمترین نگاشته های ثبت شده در شبکه شتابنگاری ایران آمده است. در ادامه به وضعیت موجود داده های موجود در بانک اطلاعات شبکه پرداخته

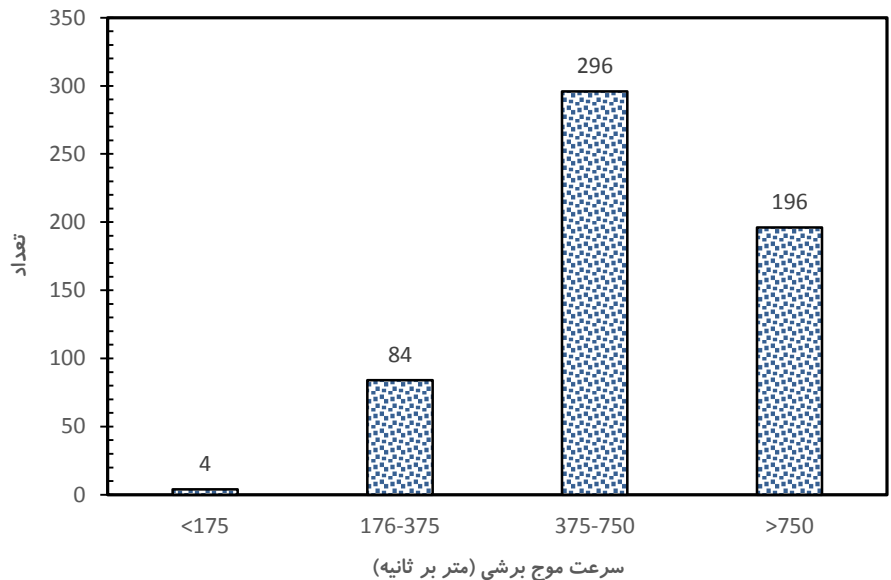
شده است.

### ۵-۳-۱-بانک داده‌های ایستگاه‌ها

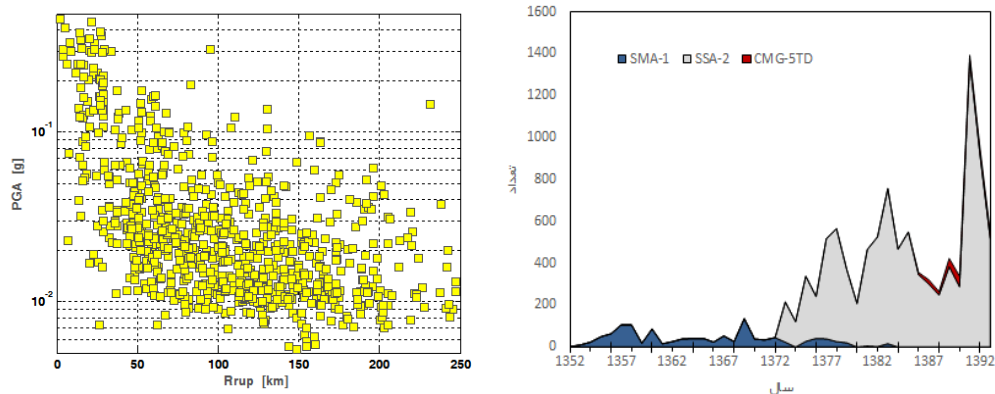
در هنگام تنظیم این نوشتار، شبکه شتابنگاری ایران با دارا بودن تعداد ۱۱۰۵ ایستگاه شامل ۱۰۵۵ دستگاه ۲-SSA و ۵۰ دستگاه CMG-5TD، مسئولیت پایش جنبش نیرومند زمین را در پهنه‌ی ایران بر عهده دارد. در شکل ۱-۵ توزیع جغرافیایی ایستگاه‌های شبکه نشان داده شده است. بانک ایستگاه‌ها شامل اطلاعاتی همچون نام، کد اختصاری، مختصات جغرافیایی، نوع دستگاه، تاریخ نصب، زاویه نصب، محل ایستگاه، مشخصات زمین شناسی و نوع خاک (برای تعدادی از ایستگاه‌ها) می‌باشد. از کل ۱۱۰۵ ایستگاه موجود، تعداد ۵۲۱ ایستگاه و در مجموع از ابتدا تا سال ۱۳۹۴ حدود ۵۸۰ ایستگاه دارای مشخصه سرعت موج برتری در محل ساختگاه می‌باشند که فراوانی ایستگاه‌ها با توجه به نوع خاک (تعیین شده بر اساس استاندارد ۲۸۰۰) در شکل ۱۱-۵ نشان داده شده است. همانطور که مشخص است تعداد ۱۹۶ ایستگاه دارای خاک نوع اول، ۲۹۶ ایستگاه دارای خاک نوع دوم، ۸۴ ایستگاه دارای خاک سوم و ۴ ایستگاه نیز دارای نوع خاک چهارم می‌باشند. جدول مشخصات ایستگاه‌های فوق الذکر به همراه سرعت موج برتری و نوع خاک ساختگاه در پیوست ۳ این نوشتار آمده است.

### ۵-۳-۲-بانک داده‌های شتابنگاری

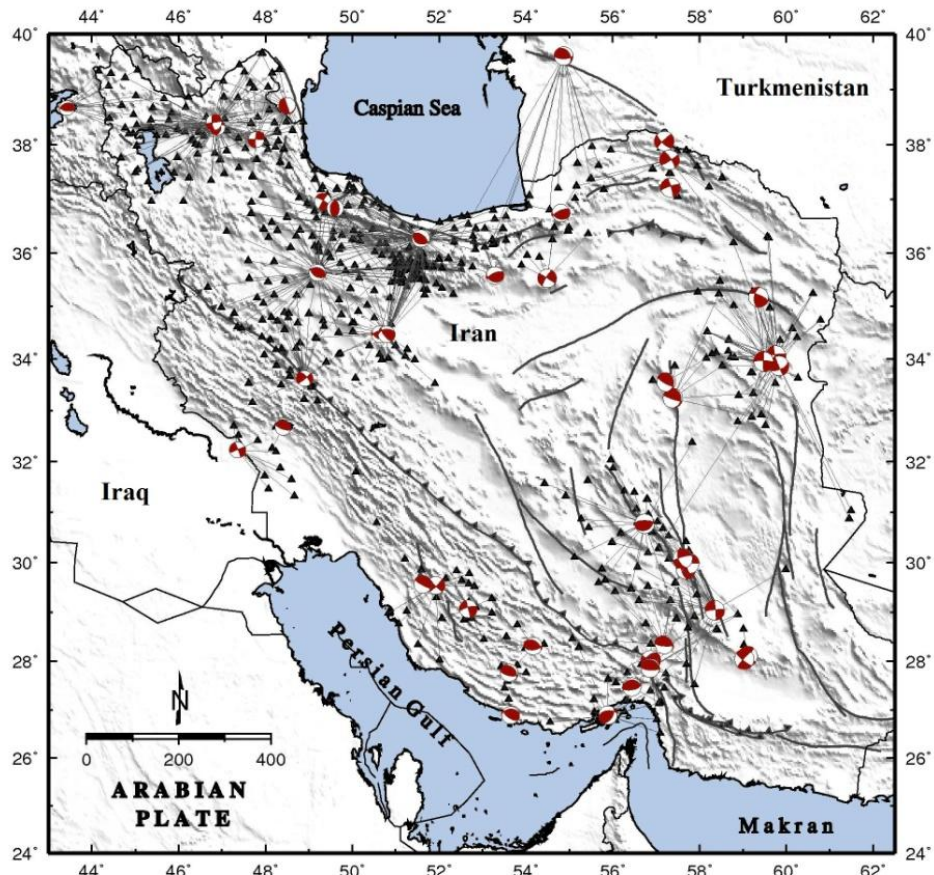
بانک داده‌های شبکه شتابنگاری تا هنگام تنظیم این نوشتار مشتمل بر ۱۰۴۶۷ داده خام می‌باشد که در زمین‌لرزه‌های رویداده از سال ۱۳۵۲ تا ابتدای ۱۳۹۴ در ایران و کشورهای همسایه به ثبت رسیده است. در شکل ۱۲-۵ توزیع فراوانی داده‌های ثبت شده در سال و پراکندگی داده‌ها بر حسب فاصله ثبت شده، نمایش داده شده است. شکل ۱۳-۵ زمین‌لرزه‌های مهم ثبت شده توسط شبکه شتابنگاری را نشان می‌دهد.



شکل ۱۱-۵ فراوانی سرعت موج برشی های اندازه گیری شده برای ایستگاه های شبکه شتاب نگاری. تعداد ایستگاه های متعلق به هر دسته بر روی مبله های فراوانی آمده است.



شکل ۱۲-۵ فراوانی داده های ثبت شده در طول زمان (راست). پراکندگی داده های شتاب ثبت شده در زمین لرزه های مهم با توجه به قاصله ایستگاه ها تا گسیختگی گسل (چپ)

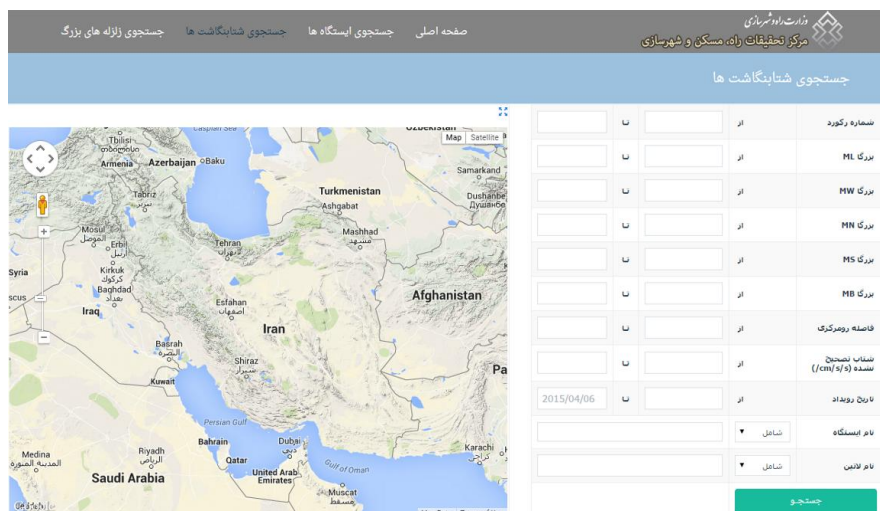


شکل ۱۳-۵ پراکندگی زمین لرزه‌های مهم ثبت شده در ایران که توسط ساز و کار ژرفی مشخص شده‌اند به همراه توزع جغرافیایی ایستگاه‌های شتابنگاری متناظر با زمین لرزه‌ها که توسط مثبت توپر نشان داده شده‌اند.

#### ۴-۴- پورتال اینترنتی و دسترسی به داده‌ها

در سال ۱۳۹۳ پورتال جدید اینترنتی شبکه شتابنگاری با قابلیت جستجو در بانک داده‌ها شامل رکوردهای زمین‌لرزه‌ها و ایستگاه‌های شبکه به بهره‌برداری رسید. در این پورتال قابلیت جستجو با توجه به پارامترهای تاریخ رویداد، مختصات جغرافیایی، بزرگا، فاصله، شتاب، سرعت موج برشی، شماره رکورد، نام ایستگاه و نام زمین‌لرزه فراهم شده است تا نتایج با توجه پارامترهای مورد درخواست کاربر محدود و قابل دستیابی گردد. جستجو در این قسمت میتواند بر اساس شتابنگاشت، ایستگاه و یا زمین‌لرزه‌های بزرگ رویداده باشد.

در شکل ۱۴-۵ نمایی از صفحه جستجو برای نگاشتهای ثبت شده نشان داده شده است. در این پورتال همچنین میتوان به آخرین اطلاعات رویدادها، ماهنامه شبکه شتابنگاری، مقالات، گزارشات زمین‌لرزه‌ها و اطلاعات دستگاه‌های شتابنگاری دسترسی داشت.



شکل ۱۴-۵ نمایی از صفحه جستجوی شتابنگاشت در پورتال شبکه شتابنگاری

#### ۵-۵- کاربرد داده‌های شتابنگاری ایران

داده‌های شتابنگاری کاربردهایی تحقیقاتی همچون بروز رسانی قوانین و آیین نامه‌های لرزه‌ای با توجه به نحوه عملکرد سازه‌ها، تهییه روابط تخمین جنبش زمین (کاهندگی)، بررسی عملکرد زمین‌لرزه در حوزه

نزدیک گسل، شبیه‌سازی زمین‌لرزه‌ها و تعیین مدل لغزش در صفحه گسل را دارا می‌باشد.

### ۲-۵-۱- کاربرد داده‌های شتابنگاری در آیین‌نامه طراحی لرزه‌ای ایران، استاندارد ۲۸۰۰

از آنجا که مهمترین پارامتر ورودی در طراحی‌های لرزه‌ای ساختمان‌ها مقدار نیروی وارده از زمین به سازه می‌باشد، لذا ثبت میزان تغییرات شتاب زمین در رویدادهای مختلف زمین‌لرزه، می‌تواند شاخص مناسبی جهت تخمین و تعیین شتاب ناشی از زمین‌لرزه در مناطق مختلف باشد که این امر توسط پایش لرزه‌ای شتاب توسط شبکه‌های شتابنگاری در دنیا هم اکنون در حال اجراست. در ایران نیز از داده‌های شبکه شتابنگاری ایران در آیین‌نامه طراحی لرزه‌ای ۲۸۰۰ استفاده شده است که از مهمترین آن‌ها می‌توان به برآورد مدل‌های تخمین شتاب جهت تعیین میزان حداکثر شتاب زمین (تهیه و بروز رسانی نقشه‌های پهنه‌بندی خطر وقوع زمین‌لرزه) ارائه شده در بند ۲-۲ استاندارد ۲۸۰۰ و تعیین و بروز رسانی ضرائب بازتاب (طیف‌های طراحی استاندارد)، ارائه شده در بند ۳-۲ ویرایش چهارم آیین‌نامه ۲۸۰۰ اشاره نمود. به عنوان نمونه، می‌توان به استفاده از داده‌های شتابنگاری مهمی همچون رکورد طبس و دیهوك در رویداد طبس، رکورد ایستگاه آب‌بر در زمین‌لرزه منجیل، رکورد ایستگاه فرمانداری بهم در زمین‌لرزه بهم و رکورد زرند در بروزرسانی طیف طراحی در ویرایش‌های مختلف آیین‌نامه طراحی ساختمان‌ها در برابر زلزله (استاندارد ۲۸۰۰) اشاره نمود. همچنین مطابق با بند ۲-۵-۲ و ۳-۵-۲ این آیین‌نامه، مطالعات طیف طرح ویژه ساختگاه برای سازه‌های خاص و با اهمیت بالا باید بطور جداگانه و ویژه برای مشخصات زمین‌شناسی، تکتونیکی و لرزه‌شناسی همان ساختگاه انجام پذیرد، که این امر توسط شتابنگاشتهای ثبت شده در شرایط مشابه زمین‌شناسی و تکتونیکی ساختگاه مدنظر امکان‌پذیر است. همچنین طبق بند ۲-۲-۳ استاندارد ۲۸۰۰، برای سازه‌هایی که نیاز به انجام تحلیل دینامیکی دارند، صرفاً با استفاده از داده‌های شتابنگاری ذکر شده می‌توان این‌گونه از تحلیل‌ها را انجام داد.

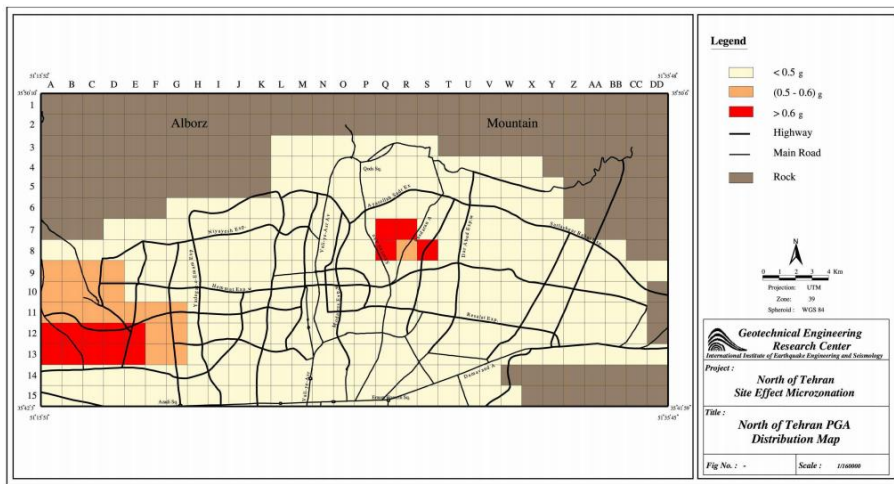
### ۲-۵-۲- کاربرد داده‌های شتابنگاری ایران در مطالعات بین‌المللی

از داده‌های شتابنگاری ایران در تدوین و توسعه بسیاری از روابط تخمین جنبش زمین در دنیا استفاده شده است، که مهمترین آن‌ها عبارتند از پروژه نسل جدید روابط تخمین جنبش زمین برای آمریکا

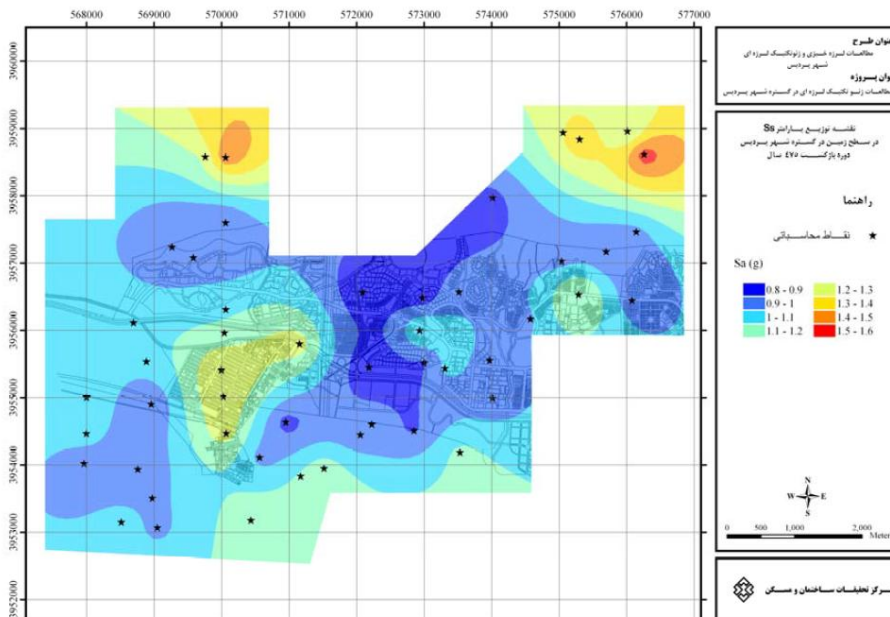
- NGA2008 و NGA2014 مدل خطر لرزه ای اروپا (ESHM13). از این روابط جهت تعیین نقشه های پهنگه بندی خطر وقوع زمین لرزه در آمریکا و اروپا استفاده شده است. هم اکنون تعدادی از داده های مهم ایران در سایت های بین المللی اروپا و آمریکا در دسترس می باشند. همچنین طبق تفاهم نامه ای داده های مرکز جهت استفاده جهانی در اختیار مرکز تحقیقات مهندسی زلزله PEER قرار گرفته است (بیوست ۱).

### ۳-۵-۵ کاربرد داده های شتابنگاری در مطالعات ریز پهنگه بندی لرزه ای

مطالعات ریز پهنگه بندی لرزه ای نیازمند مشارکت چند رشته و همچنین درک جامع از اثرات زمین لرزه در سازه های ساخته شده توسط انسان است که می توان آن را به عنوان فرآیند برآورد پاسخ لایه های خاک تحت زمین لرزه با توجه به ویژگی های مختلف زمین لرزه در سطح زمین در نظر گرفت. موضوع کلیدی نهفته در یک مطالعه ریز پهنگه بندی، استفاده مناسب از پارامترهای انتخاب شده برای استفاده در مطالعات و برنامه ریزی شهری است. داده های شتابنگاری در این مطالعات به دو گونه تاثیرگذار هستند: مستقیم و غیر مستقیم. از اثرات غیر مستقیم میتوان به استخراج روابط تخمینی جنبش زمین جهت استفاده در برآورد تحلیل خطر زمین لرزه اشاره نمود و از اثرات مستقیم میتوان از برآورد طیف طراحی نام برد. جهت توضیحات بیشتر به گزارشات ۶۷۵ و ۶۷۰ مرکز تحقیقات راه، مسکن و شهرسازی ارائه شده توسط طباطبائی و همکاران (۱۳۹۲ الف، ب) مراجعه شود. همچنین از آنجا که یکی از مهمترین نتایج مطالعات ریز پهنگه بندی لرزه ای، تعیین اثر خاک ساختگاه است و این امر با استفاده از شیوه سازی برآورد می گردد، نتایج آن با شتابنگاشت هایی که قبلا ثبت شده اند قابل ارزیابی است. از دیگر کاربردهای داده های شتابنگاری می توان به داده های ثبت شده در ایستگاه های درون چاهی اشاره نمود که معرف تأثیرات پروفایل خاک میباشد. از مطالعات ریز پهنگه بندی که تاکنون انجام گرفته و در آن از داده های شبکه شتابنگاری استفاده شده است، میتوان به مطالعات شهرهای تهران، ارومیه، به، سمنان، شیراز، قشم و قم اشاره نمود که در شکل ۱۵-۵ و شکل ۱۶-۵ نتایج پهنگه بندی لرزه ای برای مطالعات شهرهای تهران (جمفری و همکاران، ۲۰۰۴) و پردیس (طباطبائی و همکاران ۱۳۹۳) ارائه شده است.



شکل ۱۵-۵ مطالعات ریزپهنه‌بندی برای شهر تهران (جعفری و همکاران، ۲۰۰۴)



شکل ۱۶-۵ مطالعات ریزپهنه‌بندی برای شهر پردیس (طباطبایی و همکاران ۱۳۹۳)

#### ۵-۴- کاربرد داده‌های شتابنگاری در طراحی سازه‌های

شتابنگاشت‌ها در آنالیز دینامیکی سازه‌های مهم مانند برج، سد، نیروگاه، سازه‌های صنعتی...، جهت تعیین رفتارهای مختلف دینامیکی و طراحی دینامیکی به روش‌های خطی و غیرخطی، نقش اصلی را ایفا می‌کنند و همچنین در این نوع سازه‌ها میتوان با نصب دستگاه‌های شتابنگار، به یک سیستم پایش لرزه‌ای جهت ارزیابی و بازرگانی مطلوب در تشخیص خرابی‌ها دست یافت. از دیگر کاربردهای داده‌های شتابنگاری می‌توان به تهیه نقشه‌های واکنش سریع جهت امداد و نجات (سامانه پاسخ سریع)، اعلام هشدار زود هنگام زمین‌لرزه جهت مدیریت بحران (سامانه هشدار سریع) تعیین شدت زمین‌لرزه در مناطق مختلف و تخمین خسارت، تست مدل‌های آزمایشگاهی با میز لرزان اشاره نمود.

#### ۶-۵- توانایی‌های فنی شبکه شتابنگاری

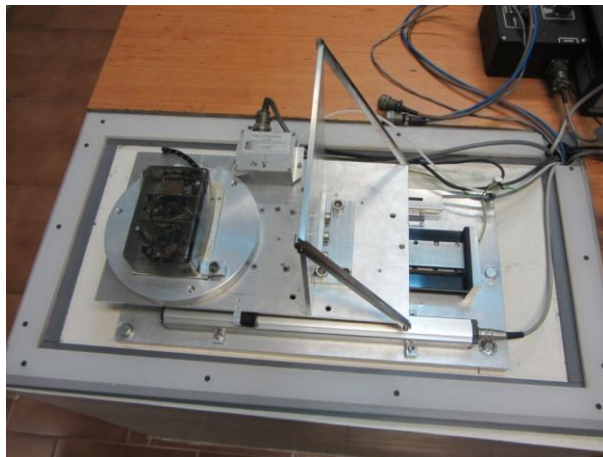
در این بخش مهمترین توانایی‌های فنی شبکه شتابنگاری ارائه می‌گردد.

#### ۶-۱- اتفاق تست و کالیبراسیون دستگاه‌های شتابنگار

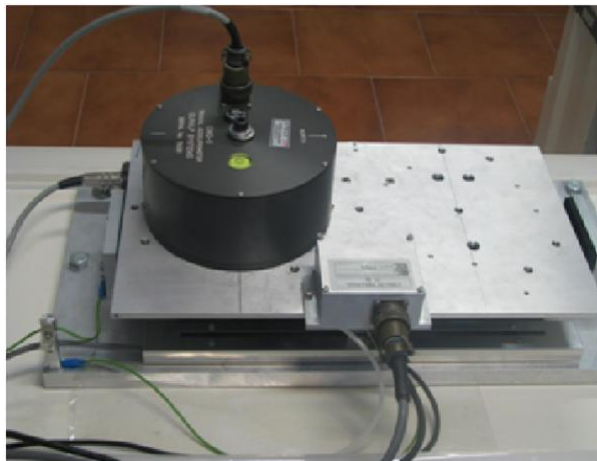
پارامترهای اساسی دینامیکی سنسور دستگاه‌های شتابنگار که می‌بایست همواره کنترل گردد عبارتند از حساسیت، میرایی و فرکانس طبیعی. این مشخصات برای هر کدام از سنسورهای دستگاه‌های شتابنگار در زمان تولید و آزمایش در کارخانه اندازه‌گیری می‌گردد. اگر چه مقادیر اندازه‌گیری شده با یکدیگر متفاوت می‌باشند ولیکن همواره در یک بازه محدود قرار دارند. در طی زمان و در بازه‌های مشخص، پس از رویداد زمین‌لرزه‌ای خیلی بزرگ که دستگاه‌های شتابنگار متوجه شوک‌های مکانیکی بالای می‌گردند، نیاز است تا دستگاه مجدداً تحت کالیبراسیون قرار گیرند. بدین منظور در مجموعه شتابنگاری ملی ایران، محلی تحت عنوان اتفاق تست و کالیبراسیون مهیا شده است. این آزمایشگاه دارای یک میز لرزان طراحی شده به منظور تست سنسورهای شتابنگاری و یک دستگاه میز سنجش شبیب<sup>۱</sup> است.

<sup>1</sup> Tilt table

میز لزان شبکه ملی شتابنگاری به یک سنسور CMG-5T و یک دیجیتايزر DM24 متصل شده است. این میز از فرکانس ۰.۱ HZ متناظر با شتاب ماکزیمم ۰.۰۰۵g تا فرکانس ۱۰HZ متناظر با شتاب ۱g و فرکانس ۲۰HZ و شتاب متناظر ۰.۵g کار می‌کند. تاکنون با استفاده از این میز شتابنگارها و سنسورهای مختلفی از جمله GMSplus, TitanSMA, CMG-5TD, SSA2 و تعدادی دیگری از سنسورهای موجود در ایران مورد ارزیابی و آزمایش قرار گرفته‌اند (شکل ۱۷-۵ و شکل ۱۸-۵).



شکل ۱۷-۵ نمایی از تست سنسور SSA-2 بر روی میز لزان شبکه ملی شتابنگاری



شکل ۱۸-۵ نمایی از تست سنسور guralp بر روی میز لزان شبکه ملی شتابنگاری

وسیله دیگری که در آزمایشگاه کالیبراسیون مرکز برای تست سنسورهای شتابنگار مورد استفاده قرار می‌گیرد میز سنجش شبیب است (شکل ۱۹-۵). این وسیله به منظور اندازه‌گیری حساسیت سنسورهای شتابنگار طراحی و ساخته شده است و قادر است با چرخش در زوایای مختلف، ولتاژ متاضر با آن زاویه (مقادیر خروجی سنسور) اندازه‌گیری شود.



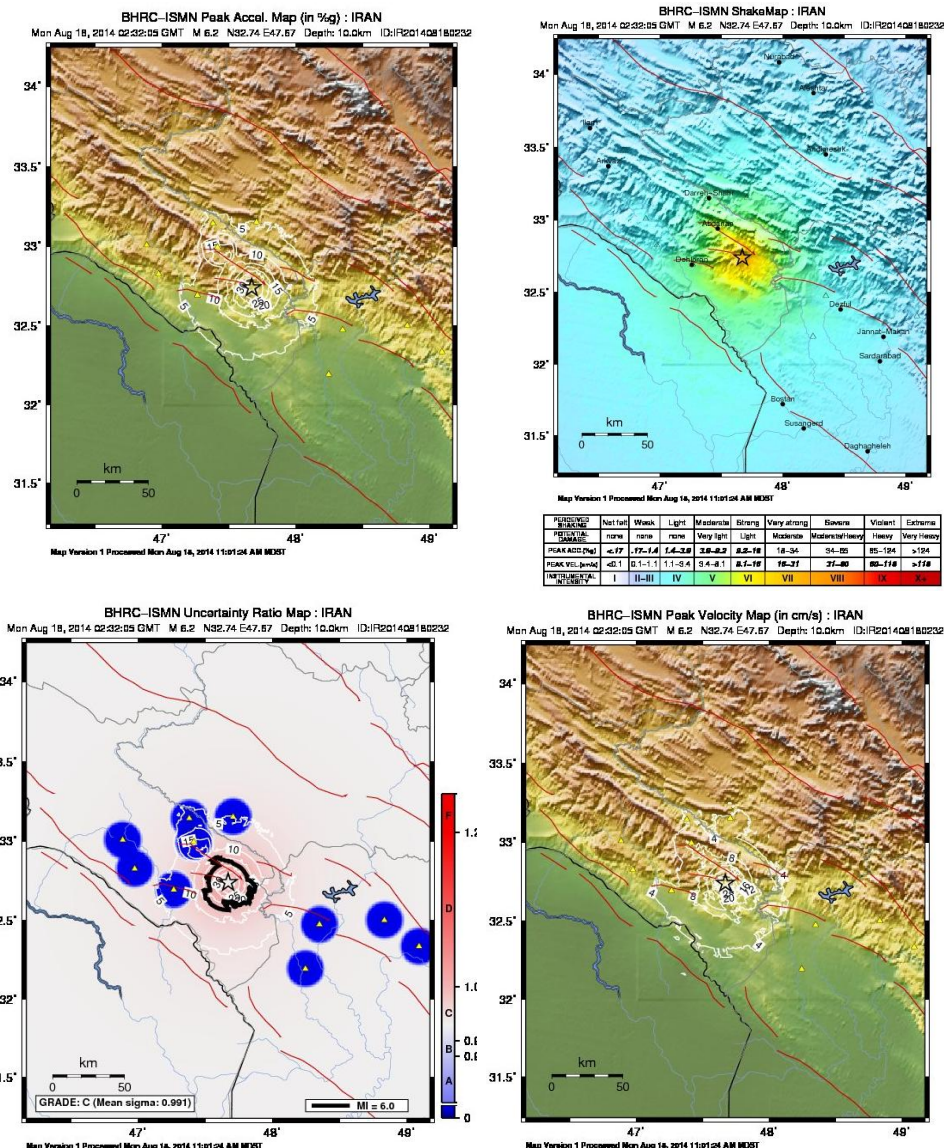
شکل ۱۹-۵ میز سنجش شبیب واقع در شبکه ملی شتابنگاری

#### ۲-۶-۵- تهییه نقشه‌های واکنش سریع

هم اکنون مهمترین اطلاعاتی که بعد از یک زمین‌لرزه سریعاً اعلام می‌گردد، بزرگی و موقعیت مکانی آن می‌باشد. با این اطلاعات، الگوی خسارت یک زمین‌لرزه را نمی‌توان به راحتی بر اساس این دو پارامتر مدلسازی کرد و به پارامترهای بیشتری برای تعیین آن نیاز می‌باشد. به عنوان مثال امداد رسانی به بعضی از نقاط آسیب‌دیده در زمین‌لرزه منجیل و به مدت‌ها بعد از وقوع زمین‌لرزه امداد رسانی برای آنها صورت گرفت.

نقشه‌های لرزش<sup>۱</sup> بیانگر جنبش زمین تولید شده توسط زمین‌لرزه می‌باشند. اطلاعاتی که این نقشه‌ها بیان می‌کنند متفاوت از بزرگای زمین‌لرزه ارائه شده می‌باشد، زیرا نقشه‌های لرزش بر روی جنبش تولید شده تمرکز بیشتری نسبت به پارامترهایی که خصوصیات چشمی زمین‌لرزه را بیان می‌کند، دارد.

<sup>۱</sup> Shakemap



شکل ۲۰-۵ نقشه‌های لرزش زمین لرزه ۱۳۹۳ مورموری ایلام

بنابراین اگرچه یک زمین لرزه دارای بزرگاً و رومگز واحد می‌باشد، اما سطوح‌های مختلفی از لرزش زمین را در اطراف آن مشاهده می‌شود که علت آن وابستگی به فاصله، شرایط خاک ساختگاه و تغییرات انتشار موج‌های لرزه‌ای زمین به دلیل ساختار پوسته زمین می‌باشد. نقشه‌های لرزش این قابلیت را دارند که

مقیاسی از شدت، شتاب، سرعت و تغییر مکان احتمالی را در یک منطقه زلزله زده به سرعت پس از زمین لرزه منتشر کنند. در واقع، نقشه های لرزش اساساً بر مبنای داده های زلزله شناسی و با استفاده از الگوریتم درون یابی و ترکیب داده های مختلف ثبت شده برای مقیاس محلی یا منطقه ای ارائه می گردد. بنابراین هر چقدر تعداد داده های مشاهداتی بیشتر شود، به واقعی تر شدن نقشه های لرزش کمک بیشتری می شود.

مهمترین کاربردهای نقشه های لرزش عبارتند از: امداد رسانی و برآورد خسارت، آموزش و اطلاع رسانی همگانی، پژوهش های مرتبط با علم زلزله شناسی و مهندسی زلزله، برنامه ریزی و تمرین مدیریت بحران، و تولید نقشه لرزش برای زمین لرزه سناریو. در شکل ۲۰-۵ نمونه ای از نقشه های لرزش زمین لرزه ۱۳۹۳ مورموری آورده شده است.

### ۶-۳- سیستم هشدار سریع (زود هنگام)

از سال ۲۰۰۰ میلادی به دلیل افزایش خسارات ناشی از زمین لرزه ها و مشکلات موجود در پیش بینی زمین لرزه، تحلیل آماری داده های شتاب نگاری و کاربرد آنها در سامانه های هشدار سریع، توجه زیادی را به خود معطوف داشته است. در نتیجه تلاش های بسیار زیاد در تحقیقات مربوط به پیش بینی زمین لرزه، روش های نظری خوبی به دست آمده است، اما روش های پیش بینی، عملی غیر قابل تحقق به نظر می رسدند، لذا برای کاهش خسارات و خطر لرزه ای، توسعه و پیشرفت سامانه های هشدار سریع یا زود هنگام<sup>۱</sup> گامی مناسب تر بوده و در برخی از شهرهای لرزه خیز دنیا به اجرا در آمده است.

یک سیستم هشدار سریع در واقع یک زنجیره ای از سیستم های ارتباط اطلاعات است که شامل سنسور، تشخیص و تصمیم گیری و واسطه های زیر سیستم می باشد و این امکان را فراهم می کند تا در زمان بسیار کوتاهی بتواند با امکان اطلاع رسانی سریع، از به وجود آمدن خسارات اساسی در شریان های حیاتی جلو گیری کند (شکل ۲۱-۵). کلیدی ترین نکته در واقع اختلاف زمانی رسیدن امواج P و S است. از آنجا که سرعت انتقال داده از سرعت امواج زمین لرزه بیشتر بوده و امواج P نیز زودتر از امواج مخرب S به

<sup>۱</sup> Earthquake Early Warning Systems

ساختگاه می‌رسند، این اختلاف زمانی می‌تواند زمان هشدار لازم را فراهم نماید. این سامانه در هنگام وقوع زمین‌لرزه بر اساس رسیدن داده‌های اولیه (امواج P) تخمین سریعی از بزرگاً و موقعیت زمین‌لرزه ارائه کرده و با ارسال فرمان کنترل شریان‌های حیاتی همچون آب، برق، گاز، نیروگاه، پالایشگاه، مترو، تونل، آسانسور، راه آهن و ... از وقوع پیش‌آمدی‌های ثانویه همچون آتش‌سوزی و انفجار جلوگیری نماید (وو و همکاران، ۲۰۰۷).



شکل ۲۱-۵ اساس کار سیستم هشدار سریع برگرفته از usgs

هم اکنون شبکه شتابنگاری پیاده‌سازی طرح سیستم هشدار سریع را بصورت پایلوت با استفاده از ۳۰ ایستگاه در شهر تهران در دست اقدام دارد که در آینده نزدیک با توجه به نوسازی شبکه تعداد ایستگاه‌ها به ۱۰۰ عدد در استان افزایش خواهد یافت. همچنین با توجه به برنامه توسعه شبکه شتابنگاری اجرای سامانه‌های هشدار زود هنگام را در شهرهای مهم و لرزه‌خیز همچون تبریز، قزوین، بندرب Abbas و کرمان اجرایی خواهد نمود.

#### ۶-۴- طراحی و اجرای آرایه‌های پایش لرزه‌ای برای ساختگاه‌های سد

امروزه در پروژه‌های بزرگ سدسازی، بکارگیری آرایه‌های شتابنگاری در هنگام ساخت و بهره‌برداری از

سد مرسوم می‌باشد. برداشت داده‌های لرزه‌ای در این نوع از ساختگاه‌ها جهت مقاصد ذیل مفید می‌باشد:

- برداشت دقیق لرزه‌خیزی محلی که شامل زمین‌لرزه‌های تکتونیکی و یا زمین‌لرزه‌های القایی بر اثر ساخت سد باشد
- بررسی و تایید پارامترهای طراحی برای سد ساخته شده
- پایش اطلاعات از رفتار دینامیکی سد که می‌تواند در برگیرنده اطلاعات از خرابی سازه‌ای، فرسایش و یا رفتار پس از موقعیت زمین‌لرزه باشد

این آرایه‌ها در واقع اصلی‌ترین داده‌ها از رفتار یک سد را می‌تواند جمع‌آوری کند که برای طراحی سدهای آینده جهت برآورد بهترین پاسخ لرزه‌ای بکار می‌رود. همانطور که در فصل چهارم ذکر گردید، شبکه ملی شتابنگاری هم اکنون آرایه‌های شتابنگاری را در بسیاری از ساختگاه‌های سدهای ایران با هزینه مناسب طراحی، اجرا و نگهداری کرده است.

#### ۶-۵-۱ ارزیابی نویز (نوقه) محیطی در ساختگاه‌های خاص

امروزه با توجه به گسترش شهرنشینی، صنعتی شدن شهرها و ساخت ماشین آلات پیشرفته، اثرات نویزهای محیطی و ارتعاشات ناشی از آن‌ها بر روی سازه‌ها بیشتر به چشم می‌آید. یکی از مهم‌ترین منابع ارتعاشات محیطی وجود قطارهای درون شهری (مترو) می‌باشد که هم اکنون در شهرهای مهم ایران با سرعت بالا در حال توسعه می‌باشد. این شبکه ارزیابی‌های ارتعاشات ناشی از متروی شهر تهران را برای ساختگاه‌های خاص (حساس به ارتعاشات) از تهران به انجام رسانده و می‌تواند بطور مداوم ارتعاشات محیطی را اندازه‌گیری کند. همچنین این شبکه دارای آمادگی ثبت و اندازه‌گیری ارتعاشات محیطی ناشی از عوامل انسانی و طبیعی برای دیگر مقاصد مهندسی را دارد می‌باشد.

#### ۶-۶-۱ مطالعات ژئوتکنیک لرزه‌ای

بررسی پاسخ ساختگاه یکی از مهم‌ترین مسائل در مطالعات زلزله‌شناسی و ژئوتکنیک لرزه‌ای است که به‌همراه شرایط زمین‌شناسی محلی، بخش مهمی از هر ارزیابی خطر لرزه‌ای را تشکیل می‌دهد. مثال‌های بسیاری از نتایج فاجعه‌بار زمین‌لرزه‌ها، اهمیت رویه‌ها و تکنیک‌های تحلیل قابل اعتماد را در ارزیابی خطر زمین‌لرزه و در استراتژی‌های کاهش ریسک زمین‌لرزه نشان داده‌اند. برآوردهای پاسخ ساختگاه یا همان اثر

خاک و سنگی که سازه‌های بشری بر روی آن ساخته می‌شود، درواقع مبین رفتار خاک یا بستر سنگی طی گذر امواج الاستیک نظیر امواج زمین‌لرزه، انفجار، نویزهای شهری و صنعتی است. بهایمنظور پارامترهای اساسی لرزه‌ای و ژئوتکنیکی مانند فرکانس طبیعی، ضربی رزونانس (تشدید) خاک، ضخامت آبرفت، پروفیل سرعت گذر موج برشی در لایه‌های تحت‌الارضی و اثر تپوپوگرافی محاسبه می‌شوند. هم‌اکنون شبکه شتابنگاری با دارا بودن تجهیزات مختلف، این آمادگی را دارد تا مطالعات ژئوتکنیک لرزه‌ای را برای ساختگاه‌های مختلف جهت محاسبه پارامترهای اساسی خاک ساختگاه به انجام برساند.

#### ۷-۶-۵-پایش لرزه‌ای و سنجش سلامت لرزه‌ای برای سازه‌های مهم

در هنگام رویداد زمین‌لرزه یکی از زمینه‌های مورد علاقه محققین و مهندسین زلزله در کشورهای مختلف رفتارنگاری سازه‌های بلند می‌باشد. در کشور آمریکا در ایالت‌های لرزه‌خیزی نظیر کالیفرنیا تجهیز تمامی ساختمان‌های بلند به آرایه‌های شتابنگاری الزامی است. در واقع زمین‌لرزه آزمایشگاه طبیعی بسیار ارزشمندی را در اختیار مهندسان طراح قرار می‌دهد تا یافته‌های خود را که از روی مدل‌های ریاضی و کامپیوتری در زمینه مقاومسازی ساختمان‌ها بدست آمده، در عمل ارزیابی نمایند و این کار امکان‌پذیر نیست مگر با توجه به داده‌های ثبت شده توسط دستگاه‌های شتابنگار به هنگام لرزش ساختمان در هنگام رویداد زمین‌لرزه‌ها، لذا هم‌اکنون تعدادی از سازه‌های مهم مجهز به این نوع دستگاه‌ها شده‌اند و شبکه شتابنگاری ایران این آمادگی را دارد تا سازه‌های خاص موجود در کشور و برج‌های بلند را مجهز به دستگاه‌های شتابنگار نماید تا عملکرد لرزه‌ای این نوع سازه‌ها را ثبت و پایش نماید.

#### ۷-۵-چشم‌انداز آینده شبکه شتابنگاری

هدف مرکز تحقیقات راه، مسکن و شهرسازی از برنامه توسعه و بهبود شبکه شتابنگاری موجود، افزایش اینمی عمومی از طریق اندازه‌گیری و ثبت جنبش‌های ناشی از زمین‌لرزه‌های رویداده در محل و مجاورت سازه‌ها و در اختیار قرار دادن اطلاعات به مراکز تحقیقاتی، آموزشی و پژوهشی، محققین، مهندسین مشاور و همه متقاضیانی است که به طریقی در ارتباط با زلزله شناسی مهندسی و مهندسی زلزله فعالیت دارند. هدف اصلی از این کار بهبود ارزیابی‌های مهندسی و شیوه‌های طراحی تاسیسات و مستحداثات،

تهیه اطلاعات به موقع برای ارائه هشدارهای سریع بعد از زمین لرزه، ارزیابی صدمات و فراهم آوردن امکان امداد رسانی سریع، کمک در درک بهتر مکانیزم ایجاد زمین لرزه و ویژگیهای جنبش زمین می باشد. چشم انداز آینده و وظیفه اصلی مرکز تحقیقات راه، مسکن و شهرسازی در این میان ادامه حرکت آغاز شده از چهار دهه پیش از طریق فراهم آوردن امکانات و حمایتهای لازم جهت رسیدن به مقاصد ذیل در سال های آتی می باشد:

الف- کنترل و نگهداری و توسعه شبکه شتابنگاری موجود شامل توسعه و بهینه سازی شبکه شتابنگاری در محدوده های شهری و برون شهری، راه اندازی و توسعه آرایه های درون چاهی به منظور مطالعه اثر خاک بر جنبش ثبت شده، استقرار آرایه های خاص به منظور ثبت و مطالعه رفتار لرزه ای چشممه های لرزه زای فعال و حوزه های نزدیک گسل.

ب- تشکیل بانک اطلاعاتی شتابنگاری شامل جمع آوری، اصلاح و پردازش شتابنگاشتهای ثبت شده ایستگاهها و داده های جمع آوری شده، بنوان مرجع اصلی داده های شتابنگاری کشور، جمع آوری اطلاعات زمین شناسی، زمین شناسی مهندسی و ژئوتکنیکی ایستگاهها و ارائه سریع اطلاعات به مراجع و مراکز ذیصلاح برای تصمیم گیری های اضطراری و ضروری.

ج- کمک به مدیریت بحران با استفاده از سامانه پاسخ سریع، سامانه تولید سریع نقشه های لرزش و برآورد سریع اولیه خرابی و تلفات

د- پایش لرزه های و سلامت سنجی سازدها، پل ها و تونل ها، مترو و خطوط ریلی، اماکن مذهبی، اماکن تاریخی و برج های بلند مرتبه

ه- پیاده سازی سیستم هشدار سریع در شهرهای پرجمعیت با خطر بالای زمین لرزه برای شهرهای تهران، تبریز، کرج، کرمان، قزوین، مشهد، قم، شیزاد و زنجان و سیستم هشدار سریع سونامی برای مناطق مکران و خزر

و- اجرا و کنترل شبکه شتابنگاری برای ساختگاههای صنعتی شامل بررسی لرزه خیزی القایی در سدها و مخازن نفت و گاز، رفتار نگاری سدها، سیستم هشدار سریع در خطوط لوله، نیروگاهها، سایت های پالایشگاهی و پتروشیمی و پایش سلامت و رفتار نگاری سازه های صنعتی.

ز- اجرا و کنترل شبکه شتابنگاری سایت های هسته ای، سیستم هشدار سریع در سایت های نیروگاهها و سایت های هسته ای و پایش سلامت و رفتار نگاری سازه های وابسته

ح- ایجاد زمینه مساعد برای همکاری با مرکز و گروههای فعال در زمینه مطالعات زلزله‌شناسی، مهندسی زلزله و سازندگان تجهیزات تخصصی مورد نیاز شامل تولید دستگاههای شتابنگاری و نرم‌افزارهای پردازشی مورد نیاز

جهت نیل به اهداف فوق‌الذکر، در مرکز تحقیقات راه، مسکن و شهرسازی تصمیم به نوسازی شبکه شتابنگاری ایران گرفته است که در آینده‌ای نزدیک دستگاههای جدید جایگزین تجهیزات فعلی خواهد شد.

### ۱-۷-۵- نوسازی شبکه

با توجه به اینکه بیش از ۹۰ درصد از دستگاههای شتاب نگاری موجود از نوع SSA-2 بوده و قدیمی می‌باشد هم‌اکنون شبکه با مشکلات زیادی اعم از هزینه‌های استهلاک دستگاه همچون خرابی باطری، مودم، دیجیتايزر و حتی برق دستگاه مواجه می‌باشد، لذا نوسازی و تعویض دستگاهها از اولویت اصلی شبکه شتابنگاری می‌باشد. در سال‌های اخیر در زمین‌لرزه‌های مهم تعدادی از ایستگاههای نزدیک به گسل همچون ایستگاه معلمان در زمین‌لرزه ۱۳۸۹ کوه زر، ایستگاههای شنبه و کاکی در زمین‌لرزه ۱۳۹۲ شنبه و ایستگاه مورموری در زمین‌لرزه ۱۳۹۳ مورموری ایلام از جمله مواردی بوده که اگرچه دستگاهها در حالت فعال بوده و هیچ مشکلی وجود نداشته است، اما رکوردي ثبت نگردید که علت اصلی آن استهلاک دستگاه می‌باشد.

همچنین از دیگر نیازهای امروز شبکه شتابنگاری دریافت برخط (آنلاین) داده‌ها و پردازش اتوماتیک می‌باشد، همچنین بدلیل اینکه سنسورهای جدید دارای نویز کمتر، حساسیت بالاتر و وجود سیستم ثبت زمان بطور دقیق می‌باشد، برای سیستم‌های هشدار سریع، پاسخ سریع، تعیین مختصات اولیه و تدقیق محل زمین‌لرزه رویداده، دستگاههای نسل جدید شتابنگاری که مجهز به آخرین تکنولوژی روز دنیا بوده ضروری می‌باشند، لذا تصمیم گیری شد تا شبکه شتابنگاری در آینده‌ای نزدیک بروز شده و نسل جدید دستگاهها خریداری و نصب گردد.

همچنین با توجه به تغییرات تکنولوژی و ارتباطی، ایستگاههای جدید می‌بایستی استانداردهای لازم را برآورده سازد. ایستگاههای جدید بایستی با در نظر گرفتن شرایط محیطی مختلف و کاربرد دستگاه مورد

نظر، امکانات مختلفی همچون پایین آوردن سطح نویز، کاهش نفوذ رطوبت و گرد و غبار را فراهم نماید. لذا تعویض تعدادی از ایستگاه‌ها و ارتقای استانداردهای ایستگاه‌ها در آینده نزدیک به انجام خواهد رسید. در ادامه دستگاه‌های جدید شتابنگاری به اختصار توضیح داده شده است.

#### ۲-۷-۵- دستگاه‌های نسل جدید شتابنگاری

در نسل جدید دستگاه‌های شتابنگارهای ارائه شده، سنسور و دیجیتايزر در یک دستگاه توامان ساخته شده است. حساسیت بالاتر (بیشتر از ۱۶۰ dB) و نویز کمتر از ویژگیهای اصلی در این دسته از شتابنگارها می‌باشند. وجود مودم 3G جهت ارتباط از طریق شبکه موبایل، قابلیت ارتباط از طریق اینترنت، ارسال خودکار پارامترهای اصلی زمین‌لرزه (حداکثر شتاب، سرعت و تغیر مکان زمین، مقادیر طیفی) حافظه بالا، وزن کمتر، قابلیت نصب ساده و کنترل دستگاه از راه دور از دیگر قابلیت‌های این دستگاه‌ها می‌باشد. در شکل ۲۲-۵ دستگاه‌های نسل جدید شتابنگاری از چهار شرکت معتبر نشان داده شده است.



شکل ۲۲-۵ دستگاه‌های نسل جدید شتابنگاری: Obsidian و ETNA2 متعلق به شرکت کینمتریکس (راست-بالا)، متعلق به شرکت ژئوسیگ (چپ-بالا)، 130-SMHR متعلق به شرکت رفتک (راست-پایین) و TitanSMA متعلق به شرکت نانومتریکس (چپ-پایین)



## منابع فارسی

- آین نامه طراحی ساختمان‌ها در برابر زلزله، استاندارد ۲۸۰۰، ویرایش چهارم، نشریه شماره ض-۲۵۳-۲۵۳ مرکز تحقیقات راه، مسکن و شهرسازی.
- سیناییان، میرزائی علوبیجه، فرزانگان، سلامت (۱۳۹۰). احداث آرایه‌های درون چاهی: مرکز تحقیقات راه، مسکن و شهرسازی، گزارش شماره ۶۰۹ شبکه شتابنگاری ۱۳۸۷- گزارش‌های هشت جلدی شامل:
- سیناییان، میرزائی علوبیجه، فرزانگان؛ مطالعات زمین شناسی ساختگاهی با استفاده از روش لرزه‌نگاری شکست مرزی در ایستگاه‌های شتابنگاری کشور (جلد اول- ۵۰ ایستگاه)، شماره ۱۱، مرکز تحقیقات ساختمان و مسکن، ۱۳۸۷.
- سیناییان، میرزائی علوبیجه، فرزانگان؛ مطالعات زمین شناسی ساختگاهی با استفاده از روش لرزه‌نگاری شکست مرزی در ایستگاه‌های شتابنگاری استان‌های اردبیل و آذربایجان شرقی (جلد دوم- ۵۰ ایستگاه)، گ-۵۳۲، مرکز تحقیقات ساختمان و مسکن، ۱۳۸۹.
- فرزانگان، میرزائی علوبیجه، سیناییان؛ مطالعات زمین شناسی ساختگاهی با استفاده از روش لرزه‌نگاری شکست مرزی در ایستگاه‌های شتابنگاری استان‌های هرمزگان و جنوب فارس (جلد سوم- ۵۰ ایستگاه)، گ-۵۳۳، مرکز تحقیقات ساختمان و مسکن، ۱۳۸۹.
- میرزائی علوبیجه، سیناییان، فرزانگان؛ مطالعات زمین شناسی ساختگاهی با استفاده از روش لرزه‌نگاری شکست مرزی در ایستگاه‌های شتابنگاری استان‌های لرستان و همدان (جلد چهارم- ۵۰ ایستگاه)، گ-۵۳۴، مرکز تحقیقات ساختمان و مسکن، ۱۳۸۹.
- فرزانگان، میرزائی علوبیجه، سیناییان؛ مطالعات زمین شناسی ساختگاهی با استفاده از روش لرزه‌نگاری شکست مرزی در ایستگاه‌های شتابنگاری استان‌های فارس (جلد پنجم- ۵۰ ایستگاه)، گ-۵۳۵، مرکز تحقیقات ساختمان و مسکن، ۱۳۸۹.
- میرزائی علوبیجه، سیناییان، فرزانگان؛ مطالعات زمین شناسی ساختگاهی با استفاده از روش لرزه‌نگاری شکست مرزی در ایستگاه‌های شتابنگاری استان‌های کرمان (جلد ششم- ۵۰

ایستگاه، گ-۵۳۶، مرکز تحقیقات ساختمان و مسکن، ۱۳۸۹.

سینا بیان، فرزانگان، میراثی علیوجه؛ مطالعات زمین‌شناسی ساختگاهی با استفاده از روش لرزه‌نگاری شکست مرزی در ایستگاه‌های شتابنگاری استان‌های سمنان، گلستان و مازندران (جلد هفتم-۵۰/ایستگاه)، گ-۵۳۷، مرکز تحقیقات ساختمان و مسکن، ۱۳۸۹.

سینا بیان، میراثی علیوجه، فرزانگان، مطالعات زمین‌شناسی ساختگاهی با استفاده از روش لرزه‌نگاری شکست مرزی در ایستگاه‌های شتابنگاری استان‌های خراسان جنوبی و خراسان رضوی (جلد هشتم-۵۰/ایستگاه)، گ-۱۰۶، مرکز تحقیقات ساختمان و مسکن، ۱۳۹۱.

شبکه شتابنگاری ۱۳۸۸- مطالعه پارامترهای جنبش نیرومند زمین شامل: میراثی علیوجه، فرزانگان، سینا بیان (۲۰۰۳-۲۰۰۵) مطالعه پارامترهای جنبش نیرومند زمین با داده‌های شتابنگاری و لرزه‌نگاری و توسعه بانک اطلاعاتی، گزارش-۵۱۰. مرکز تحقیقات ساختمان و مسکن، ۱۳۸۱.

میراثی علیوجه، سینا بیان، فرزانگان (۱۹۹۶-۲۰۰۰) "مطالعه پارامترهای جنبش نیرومند زمین با داده‌های شتابنگاری و لرزه‌نگاری، و توسعه بانک اطلاعاتی" گزارش ۷۶۵، مرکز تحقیقات ساختمان و مسکن، ۱۳۸۹.

فرزانگان، میراثی علیوجه، سینا بیان (۱۳۹۰). مطالعه پارامترهای جنبش نیرومند زمین (۲۰۰۱-۲۰۰۱) با داده‌های شتابنگاری و لرزه‌نگاری، و توسعه بانک اطلاعاتی. مرکز تحقیقات راه، مسکن و شهرسازی، گزارش شماره ۱۲۱۶.

شاهوار (۱۳۹۲). تدوین سامانه تولید نقشه‌های لرزش برای ایران. رساله دکتری، پژوهشگاه زلزله‌شناسی و مهندسی زلزله

طباطبایی، فاطمی عقدا، بیت‌الله، نریمان سعید، محمدی، سلامت (الف). راهنمای تهییه نقشه‌های زمین‌شناسی مهندسی برای ریزپهنه‌بندی ژئوتکنیک لرزه‌های در مناطق شهری. مرکز تحقیقات راه، مسکن و شهرسازی، گزارش شماره ۶۷۵

طباطبایی، فاطمی عقدا، قلندرزاده، شاهنظری، آقایی، محمدی و سلامت (ب). راهنمای تحلیل پاسخ

ساختگاه برای ریزپهنه‌بندی ژئوتکنیک لرزه‌ای در مناطق شهری. مرکز تحقیقات راه، مسکن و شهرسازی، گزارش شماره ۶۷۰.

طباطبایی، بیت‌الهی، نریمان سعید، محمدی، سلامت (۱۳۹۳). ریزپهنه‌بندی ژئوتکنیک لرزه‌ای محدوده شهر پردیس. مرکز تحقیقات راه، مسکن و شهرسازی.

فاطمی عقدا، سیناییان، میرزایی علوبیجه، فرزانگان (۱۳۹۲). طراحی، نصب و راه اندازی سامانه پاسخ سریع زمین‌لرزه شهر تهران. گزارش ۶۲۵، مرکز تحقیقات راه، مسکن و شهرسازی، ۱۳۹۲.

فرزانگان، شاهوار (۱۳۹۳). گزارش جنبه‌های زلزله‌شناسی مهندسی زمین‌لرزه ۲۷ مرداد ۱۳۹۳ مورموری استان ایلام

میرزایی علوبیجه، رمضانی (۱۳۷۶). معیارهای گزینش ایستگاه‌ها در شبکه شتابنگاری. مرکز تحقیقات راه، مسکن و شهرسازی، گزارش شماره ۲۴۸

میرزایی علوبیجه، فرزانگان (۱۳۷۸). تعیین مکان‌های مناسب برای نصب دستگاه‌ای شتابنگار (۴۵۰ ایستگاه شتابنگاری. مرکز تحقیقات راه، مسکن و شهرسازی، گزارش شماره ۲۶۴

## منابع انگلیسی

- Atkinson, G.M. & Kaka, S.I., 2007. Relationships between felt intensity and instrumental ground motion in the Central United States and California, Bull. seism. Soc. Am., 97(4), 1350–1354.
- Boore, D. M. and G. M. Atkinson (2008). Ground-motion prediction equations for the average horizontal component of PGA, PGV, and 5%-damped PSA at spectral periods between 0.01 s and 10.0s, Earthquake Spectra 24.
- Boore, D. M. (2005). On pads and filters: Processing strong-motion data, Bull. Seism. Soc. Am. 95
- Boore DM, Bommer JJ (2005) Processing of strong-motion accelerograms: needs options and consequences. Soil Dyn Earthq Eng 25 (2):93–115. doi:10.1016/j.soildyn.2004.10.007
- ESHM (2013). The 2013 European Seismic Hazard Model. <http://www.share-eu.org/node/90>

- GCMT: Global Centroid Moment Tensor (1976-2011), Harvard University Seismology Department, <http://www.globalcmt.org/CMTsearch.html>.
- Havskov, J. Ottemoller, L. (2006). Instrumentation in Earthquake Seismology. Springer, Berlin, 358 pp.
- Hudson, D. E. (1983a) History of Accelerograph Development, Proc. of the Golden Anniversary Workshop on Strong Motion Seismology, U.S.C
- IASPEI (2005). Summary of magnitude working group recommendations on standard procedures for determining earthquake magnitudes from digital data. <http://www.iaspei.org/commissions/CSOI.html>
- Jafari, M. K., Ghayamghamian, M. R., Davoodi, M., Kamalian, M. and Sohrabi, A. (2005) Site Effects of the 2003 Bam, Iran, Earthquake, Earthquake Spectra, Volume 21, No. S1, Pages S125-S136, EERI.
- Jafari, M. K., Kamalian, M., Razmkhah, A., and Sohrabi, A. (2004). North of Tehran site effect microzonation. In 13th World conference on earthquake engineering, Vancouver, BC, Canada
- Kanamori H., 1977. The energy release in great earthquakes, Journal of Geophysical Research, 82, 2981–2987.
- Kramer, S. L. (1996). Geotechnical Earthquake Engineering, Prentice Hall, Upper Saddle River, N.J.
- Licia Faenza, Alberto Michelini (2011) Regression analysis of MCS intensity and ground motion spectral accelerations (SAs) in Italy, 1-16. In Geophysical Journal International.
- NGA (2008). Next Generation Attenuation Relationships for Western US (NGA West). <http://peer.berkeley.edu/ngawest/>
- NGA (2014). Next Generation Attenuation Relationships for Western US (NGA-West2). <http://ngawest2.berkeley.edu/>
- Remington. P.J., Kurtweil, L.G. and Tower. D.A. (1987). Low-frequency noise and vibrations from trains. In: Transportation noise reference book. Ed. Nelson. P.M. London: Butterworths.

- Tchalenko, J. S., 1974, Recent destructive earthquakes in the Central Alborz. Geological survey of Iran, No. 29, 97-116.
- Trifunac MD. On citation rates in earthquake engineering. *Soil DynEarthquake Eng* 2006;26(11):1049–62.
- Trifunac, M. D. (2009). 75th anniversary of strong motion observation—A historical review. *Soil Dynamics and Earthquake Engineering*, 29(4), 591-606.
- Wald, D. J., V. Quitoriano, T. H. Heaton, H. Kanamori, C. W. Scrivner, and B. C. Worden (1999a). TriNet “ShakeMaps”: rapid generation of peak ground-motion and intensity maps for earthquakes in southern California, *Earthquake Spectra* 15, 537–556.
- Wald, D. J., V. Quitoriano, T. H. Heaton, and H. Kanamori (1999b). Relationship between peak ground acceleration, peak ground velocity, and Modified Mercalli Intensity for earthquakes in California, *Earthquake Spectra* 15, 557–564.
- Wen, R., Ren, Y., Zhou, Z., & Li, X. (2014). Temporary strong-motion observation network for Wenchuan aftershocks and site classification. *Engineering Geology*, 180, 130-144.
- Worden, C.B.; Gerstenberger, M.C.; Rhoades, D.A.; Wald, D.J. 2012  
Probabilistic relationships between ground-motion parameters and modified mercalli intensity in California. *Bulletin of the Seismological Society of America*, 102(1): 204-221; doi: 10.1785/0120110156
- Wu, Y.-M., H. Kanamori, R. M. Allen, and E. Hauksson (2007). Determination of earthquake early warning parameters,  $\tau_c$  and  $P_d$ , for southern California, *Geophys. J. Int.* 170, no. 2, 711–717.
- Zülfikar C, Kalafat D, Tunç S, Pinar A (2014). Koeri Seismic Networks. International Workshop on Strong Motion Acceleration Data 12-13 May 2014-Ankara

## لیست نشریات و گزارشات تهیه شده در شبکه شتابنگاری

میرزائی علويجه، فرزانگان؛ مشخصات ايستگاههای شبکه شتابنگاری کشور؛ شماره ۲۸۰، ۱۳۷۷، مرکز تحقیقات ساختمان و مسکن.

میرزائی علويجه و ديگران، كتاب به و زمين لرزه اش می آموزد ، شماره ک ۴۰۷، آذر ۱۳۸۳. مرکز تحقیقات ساختمان و مسکن.

میرزائی علويجه، فرزانگان؛ مطالعات زمين شناسی ساختگاهی با استفاده از روش ژئوسایزميک در ۲۰ ايستگاه شتابنگاری استان بوشهر؛ شماره ۳۸۹، مرکز تحقیقات ساختمان و مسکن، ۱۳۸۳.

فرزانگان؛ پردازش شتابنگاشتهای زمين لرزه های ايران (زمین لرزه ۵ اردیبهشت ۱۳۸۱)، شماره ۴۲۲، مرکز تحقیقات ساختمان و مسکن.

فرزانگان؛ پردازش شتابنگاشتهای زمين لرزه های ايران (زمین لرزه اول تير ۱۳۸۱ چنگوره-آوج) شماره ۴۲۱. مرکز تحقیقات ساختمان و مسکن.

میرزائی علويجه ، فرزانگان، سينايان؛ بانک اطلاعاتي زمين لرزه های ايران در سال های ۲۰۰۱ و ۲۰۰۲ ميلادي، شماره ۴۳۳. مرکز تحقیقات ساختمان و مسکن.

فریدون سينايان، حسين ميرزائي علويجه، اسماعيل فرزانگان، امير سعيد سلامت "احداث آرایه های درون چاهی" گزارش ۶۰۹، مرکز تحقیقات ساختمان و مسکن، ۱۳۹۰.

## لیست نشریات چاپ شده در شبکه شتابنگاری

چاپ ۱۱۴ شماره ماهنامه شتابنگاری ايران از شهریور ۱۳۸۳ (ISSN 1735-4196)

کاتالوگ داده های شتابنگاری سال ۱۲۰۰ (به زبان انگلیسي)، No. R-439

کاتالوگ داده های شتابنگاری سال ۲۰۰۲ (به زبان انگلیسي)، No. R-453

کاتالوگ داده های شتابنگاری سال ۲۰۰۳ (به زبان انگلیسي)، No. R-460

کاتالوگ داده های شتابنگاری سال ۲۰۰۴ (به زبان انگلیسي). No. R-466

کاتالوگ داده های شتابنگاری سال ۲۰۰۵ (به زبان انگلیسي)، No. R-470

کاتالوگ داده های شتابنگاری سال ۲۰۰۶ (به زبان انگلیسي)، No. R-482

کاتالوگ داده های شتابنگاری سال ۲۰۰۷ (به زبان انگلیسي)، No. R-492

کاتالوگ داده های شتابنگاری سال ۲۰۰۸ (به زبان انگلیسي)، No. R-492

کاتالوگ داده های شتابنگاری سال ۲۰۰۹ (به زبان انگلیسي)، No. R-605 (۲۰۱۱)

کاتالوگ داده های شتابنگاری سال ۲۰۱۰ (به زبان انگلیسی)، No. R- ۶۲۰ (۲۰۱۲)  
 کاتالوگ داده های شتابنگاری سال ۲۰۱۱ (به زبان انگلیسی)،  
 کاتالوگ داده های شتابنگاری سال ۲۰۱۲ در دو مجلد(به زبان انگلیسی)  
 کاتالوگ داده های شتابنگاری سال ۲۰۱۳ (به زبان انگلیسی)

### لیست گزارش زمین لرزه های ایران

گزارش فوری مقدماتی زمین لرزه سفیدآبه ۴ اسفند ماه ۱۳۷۲

گزارش مقدماتی-فوری زمین لرزه ۱۶ بهمن ۱۳۷۵ گرمان

گزارش مقدماتی زمین لرزه ۲۰ اردیبهشت ۱۳۷۶ زیرکوه قائنات

گزارش مقدماتی زمین لرزه ۲۳ اسفند ۱۳۷۶ گلبا

گزارش مقدماتی زمین لرزه ۱۷ اردیبهشت ۱۳۷۸ کره بس

زمین لرزه ۱۸ آبان ۱۳۷۸ صالح آباد خراسان

زمین لرزه ۳ فروردین ۱۳۸۰ ارکواز ملکشاهی (ایلام).

زمین لرزه ۸ فروردین ۱۳۸۰، قائمیه (فارس).

زمین لرزه ۲۳ مهر ۱۳۸۰، اهر

زمین لرزه ۱۶ آبان ۱۳۸۰ اسدیه (خراسان).

زمین لرزه ۱۹ فروردین ۱۳۸۱ لاویج (استان مازندران).

زمین لرزه ۴ اردیبهشت ۱۳۸۱ دینور کرمانشاه.

زمین لرزه اول تیر ۱۳۸۱ چنگوره-آوج

زمین لرزه ۱۹ اسفند ۱۳۸۱ شهر تهران.

زمین لرزه ۱۲ تیر ماه ۱۳۸۲ تربت جام.

زمین لرزه ۳۰ مرداد ۱۳۸۲ کویر لوت.

زمین لرزه ۱۹ تیر ۱۳۸۲ حاجی آباد فارس.

زمین لرزه ۲۰ مرداد ۱۳۸۳ سپیدان فارس.

زمین لرزه ۱۵ مهر ۱۳۸۳ محمد آباد (کرمان).

زمین لرزه ۱۷ مهر ۱۳۸۳ آق قلا.

زمین لرزه ۸ خرداد ۱۳۸۳، فیروز آباد کجور.

زمین لرزه ۴ لسند ۱۳۸۳ داهوئیه زرند.

زمین لرزه ۶ آذر ۱۳۸۴ جزیره قشم.

زمین‌لرزه ۱۱ فروردین ۱۳۸۵ سیلاخور.

زمین‌لرزه ۲۸ خرداد ۱۳۸۶، کهک

گزارش زمین‌لرزه‌های دو گانه اهر و رزقان

گزارش زمین‌لرزه ۲۰ فروردین ۱۳۹۲ شنبه استان بوشهر

گزارش مهندسی زمین‌لرزه ۲۷ مرداد ۱۳۹۳ مورموری استان ایلام

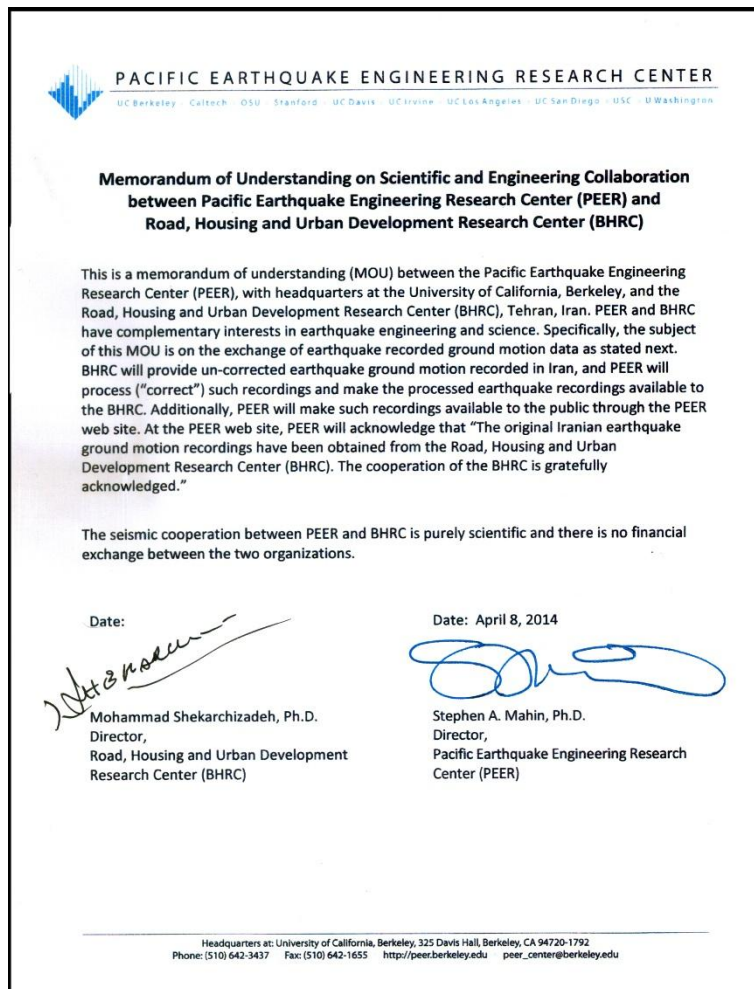
## پیوست ۱

### تفاهم همکاری میان مرکز تحقیقات راه، مسکن و شهرسازی و مرکز تحقیقات مهندسی زلزله آرام (PEER)

مرکز تحقیقات راه، مسکن و شهرسازی و مرکز تحقیقات مهندسی زلزله آرام (PEER) به منظور گسترش همکاری‌ها در حوزه‌های علمی و مهندسی یادداشت تفاهم همکاری امضا کردند. در این یادداشت تفاهم همکاری که در راستای دیپلماسی فعال و اراده دولت تدبیر و امید بر توسعه روابط با همه کشورهای جهان و تاکید ویژه بر تبادل علم و دانش با دنیا منعقد گردید، مرکز تحقیقات مهندسی زلزله آرام با دفاتری در دانشگاه کالیفرنیا و برکلی و مرکز تحقیقات راه، مسکن و شهرسازی در حوزه‌های مختلف علوم و مهندسی که از منافع مشترکی در آن برخوردارند ارتباطات خود را توسعه خواهند داد.

تبادل داده‌های جنبش ثبت شده زمین ناشی از رویداد زمین‌لرزه‌ها در ایران از محورهای اصلی این تفاهم‌نامه مشترک همکاری است و بر اساس آن مرکز تحقیقات راه، مسکن و شهرسازی شتابنگاشتهای خام ثبت شده از شبکه شتابنگاری ایران را ارائه خواهد داد که این موارد پس از پردازش از سوی مرکز تحقیقات مهندسی زلزله آرام در اختیار مرکز قرار خواهد گرفت. همچنین مرکز تحقیقات مهندسی زلزله آرام اطلاعات اصلاح شده را از طریق وبسایت خود و با عنوان این مطلب که حرکات شدید زمین ناشی از زلزله از مرکز تحقیقات راه، مسکن و شهرسازی ایران دریافت شده است، در اختیار عموم کاربران قرار خواهد داد.

خاطرنشان می‌شود این یادداشت تفاهم همکاری از سوی دکتر شکرچی‌زاده، رئیس مرکز تحقیقات راه، مسکن و شهرسازی و دکتر استفان، مدیر مرکز تحقیقات مهندسی زلزله آرام به امضا رسیده است. در ادامه تصویر موافقنامه آمده است.



تصویر تفاهم نامه همکاری میان مرکز تحقیقات راه، مسکن و شهرسازی و مرکز تحقیقات مهندسی زلزله آرام (PEER)

پیوست ۱ (ادامہ)

**گزارش سمینار چهلمین سالگرد تاسیس شبکه ملی شتابنگاری و سی و ششمین سالروز زمین لرده طبس**



یادمان

سے وشہین سال روز میں لرزہ ۲۵۵ شہریوں کی موت، طبیعی گلشن

2

چهل مین سالگرد تاسیس شبکه شناپ نگاری ایران

زمان: سه شنبه ۲۵ شهریور ۱۳۹۳

ساعت ۱۸ الی ۱۳

محله، بگذران؛ و که تحقیقات، اه، مسکن، و شعبه ساز

آدرس: تهران، بزرگ

رزل، خیابان شهید علی صفوی، خیابان حکمت  
ISBN

همزمان با سی و ششمین سالروز زمین‌لرزه طبس و چهلمین سالگرد تاسیس شبکه شتابنگاری، سمینار یک روزه‌ای در مرکز تحقیقات راه، مسکن و شهرسازی با هدف بررسی زمین‌لرزه طبس و همچنین شبکه شتابنگاری کشید، و برنامه‌های آتی، آن را حضور حمّم، از مدیران، فرمانداران و کارشناسان، بگزار، گردید.

در ابتدای سمنار دکتر محمد شکر حیزاده ریاست مرکز در مورد سیاست‌های مرکز در مسیر تحقیقات مربوط به

زمین لرده، مطالیه، را مطرح نمودند. ایشان در مورد اهمت شکه شتابنگاری، فرمودند:

"بی تردید شیکه ملی شتابنگاری، مجموعه دستگاه‌ها و اطلاعات آن ارزشمندترین گنجینه علم مهندسی زلزله و زلزله‌شناسی مهندسی در کشور می‌باشد. داده‌های شتابنگاشتی اساس و پایه علم مهندسی زلزله بوده و مسلمان خیل فارغ التحصیلان چند ساله اخیر در زمینه های سازه، زلزله‌شناسی و مهندسی زلزله که از این اطلاعات استفاده کرده‌اند موبایل تاثیر مهم و انکار نایاب‌ترین اطلاعات در بهبود مطالعات مرتبه و طراحی، سازه‌های مقاوم

در برابر زمین‌لرزه می‌باشند. امروزه حتی در حال توسعه که زمین‌لرزه خطری مهلک برای جامعه و اقتصاد آنها محسوب می‌گردد، بخوبی به نقش و اهمیت توسعه شبکه‌های شتابنگاری پی‌برده‌اند. نگاهی به گسترش این شبکه در کشورهایی که تا چند سال پیش فاقد دستگاه‌های شتابنگار بوده‌اند بخوبی این مسئله را نشان می‌دهد.

ایشان ضمن اشاره به خسارت فراینده زمین‌لرزه‌ها فرمودند: "فراموش نکنیم ما در سرزمینی زندگی می‌کنیم که بطور مداوم در معرض رویداد زمین‌لرزه قرار دارد. گسترش شهرنشینی در کشور و وضعیت خاص زمین ساختی عمله شهرهای کشور که در کنار گسل‌های لرزه‌زا و کواترنری قرار گرفته‌اند (مهرماز همه شهر تهران) آسیب‌پذیری این مناطق را به شدت بالا برده است. در عین حال مناطق روستایی در کشور ما با توجه به بافت فرسوده، کیفیت پایین مصالح و اجرا حتی در زمین‌لرزه‌های متوسط و شتاب‌های نسبتاً کم به شدت آسیب‌پذیر می‌باشند. روند فوق تنها در صورتی کاهش می‌یابد که مراکز تحقیقاتی و دانشگاه‌ها نفس خود را در این میان به خوبی این نمایند. تحقیقات مرتبط با زمین‌لرزه، مطالعات کاهش خطرپذیری لرزه‌ای، تحلیل خطر زمین‌لرزه برای ساختگاه‌های مهم طرح‌های عمرانی، مطالعه در مورد مدل‌های جدید کاهندگی امواج لرزه‌ای و دهها موضوع تحقیقاتی در زمینه زمین‌لرزه و مهندسی زلزله می‌بایست در این مراکز انجام گیرد. ما در مجموعه مرکز این افتخار را داریم که در امر زمین‌لرزه یکی از سازمان‌های پیشرو در کشور باشیم."



دکتر محمد شکرچیزاده،  
رئیس مرکز تحقیقات راه،  
مسکن و شهرسازی

شتاتنگاشت ثبت شده در زمین‌لرزه طبس در ایستگاه شیر و خورشید طبس در زمان خود مهمترین شتابنگاشت ثبت شده از زمین‌لرزه‌های رویداده در دنیا بود. این شتابنگاشت دارای ویژگیهای منحصر بفردی نظیر مدت دوام زیاد، محتوی فرکانسی شامل یک باند فرکانسی بسیار وسیع و همچنین دامنه‌های بسیار بلند از شتاب است. در

کلیه مطالعات مربوط به جنبش نیرومند زمین نظیر تعیین روابط کاهنگی از این شتابنگاشت استفاده می‌گردد. تا مدت‌ها در آین نامه‌های زلزله دنیا از این رکورد به عنوان یکی از نگاشت مناسب طراحی سازه‌ها یاد می‌شد. شرکت‌های تولید کننده نرم افزارهای تحلیل سازه‌ها همواره در منوی پیشنهادی برای تست نرم افزار از این رکورد استفاده می‌کردند. این رکورد در فاصله سه کیلومتری شکستگی گسل مسبب زمین‌لرزه ثبت شده است. پس از سخنرانی آقای دکتر شکرچی‌زاده، مهندس معین فر طی سخنانی ضمن اشاره به رویداد زمین‌لرزه مخرب طبس در ۲۵ شهریور ۱۳۵۷ توضیحاتی درخصوص چگونگی شکل‌گیری شبکه ملی شتابنگاری در سازمان برنامه و بودجه و روند انتقال آن به مرکز تحقیقات ساختمان و مسکن آن زمان داده‌اند. همچنین در مورد شتابنگاشت ثبت شده از زمین‌لرزه طبس توضیحات مبسوطی ارائه کردند. ایشان رکورد طبس را مهمترین شتابنگاشت دنیا دانسته و آن را واحد ویژگی‌هایی چون مدت دوام بسیار بالا، محتواهای فرکانسی و بیشینه شتاب منحصر بفرد دانستند.

ایشان ضمن تقدیر از مجموعه تلاش‌های به عمل آمده در شبکه شتابنگاری، تاکید فراوانی بر بازسازی شبکه و جایگزینی دستگاه‌های جدید با دستگاه‌های قدیمی داشته و از مسئولین مرکز بخصوص دکتر شکرچی‌زاده خواستند تا تلاش‌های خود را در این میان بیشتر از گذشته نمایند. ایشان قبلاً در مهرماه ۱۳۹۳ طی نامه‌ای از دکتر حسن روحانی، ریاست محترم جمهوری اسلامی ایران درخواست کرده بودند که برای نگهداری و بهنگام نگه داشتن شبکه ملی شتابنگاری ایران بودجه کافی در نظر گرفته شود (متن نامه در انتهای این پیوست آمده است). در پایان سخنرانی آقای مهندس معین فر، طی مراسمی کوتاه ولی تأثیرگذار، از زحمات ایشان در تاسیس شبکه ملی شتابنگاری با حضور تنی چند از روسای سابق مرکز و مدیران فعلی تقدیر و لوح سپاس با امضای وزیر محترم راه و شهرسازی به ایشان ارائه گردید.

پس از مراسم تقدیر از مهندس معین فر، نوبت به سخنرانی مهندس اسماعیل فرزانگان رسید که در مورد شبکه ملی شتابنگاری که خود مسئولیت آن را به عهده دارد، صحبت نماید. ایشان ضمن اشاره به تاریخچه شبکه شتابنگاری و پیشرفت آن در ۴۰ سال گذشته به روند شکل‌گیری این شبکه و مهمترین زمین‌لرزه‌های ثبت شده در تاریخ شبکه اشاره و توضیحاتی در مورد داده‌های ثبت شده توسط شبکه ارائه نمود. نگهداری شبکه‌ای عظیم از دستگاه‌های شتابنگار در سراسر کشور و آماده نگهداری این دستگاه‌ها برای ثبت زمین‌لرزه کاری بسیار سخت و نیاز به امکانات سخت افزاری و نرم افزاری و بودجه مناسب دارد. بازدید هر دستگاه تنها یکبار در سال به تنهایی نمی‌تواند کارایی صد در صد دستگاه‌ها را هنگام رویداد زمین‌لرزه‌ها تضمین نماید. وی ضمن اشاره به سیستم ارتباط فعلی به دستگاه‌های شتابنگار که از طریق خط تلفن انجام می‌گیرد به محدودیت‌ها و مشکلات

این سیستم اشاره و بهترین راهکار را اضافه نمودن سخت افزار مناسب به دستگاههای فعلی برای ایجاد سامانه‌های ارتباطی مدرن‌تر مانند وب و ماهواره دانست.



تقدیر از مهندس علی اکبر معین‌فر  
موسسه شبکه شبینگاری ایران



مهندس اسماعیل فرزانگان  
مدیر شبکه ملی شبینگاری

در ادامه مهندس فرزانگان برنامه‌های کوتاه مدت و بلند مدت شبکه را با نگاه تخصصی به مطالعات جنبش نیرومند زمین ارائه نمود. یکی از مهمترین این برنامه‌ها توسعه سامانه‌های پاسخ و هشدار سریع زمین‌لرزه در تهران و مناطق مختلف کشور است.

سخنران بعدی دکتر مهدی زارع مشاور رئیس مرکز و استاد پژوهشگاه بین‌المللی زلزله شناسی بود که در مورد جنبش شدید زمین در حوزه نزدیک گسل با نگرش ویژه به نگاشتهای ایران به ویژه شبینگاشت طبیعی سخنرانی

نمود. دکتر زارع در این سخنرانی ضمن اشاره به ویژگیهای زمین‌لرزه‌های بوین زهراء، دشت بیاض، فردوس و طبس به ویژگیها و مشخصات جنبش نیرومند زمین در حوزه نزدیک در زمین‌لرزه طبس و بم اشاره نمود. وی به اثراتی مانند جهت پذیری در شتابنگاشتهای ایران اشاره و آنها را در میزان خرابی‌ها و خسارات موثر دانست. سخنرانی بعدی توسط دکتر آریامنش معاون پارلمانی دانشگاه پیام نور و عضو هیئت علمی این دانشگاه در مورد چالش‌های پیش رو در حوزه آموزش زلزله‌شناسی در دانشگاه‌ها و مراکز آموزش عالی ارائه گردید. وی ضمن بر شمردن مراکز آموزش عالی مرتبط با تربیت داشجویان زلزله‌شناسی، مهتمرين مشکلات اين عرصه را نبود يك متديکسان، نبود کتاب‌های مرجع مناسب، نبود بازار کار برای اشتغال فارغ التحصیلان، نبود مراکز علمی دولتی و غیر دولتی در زمینه زلزله‌شناسی و نبود شرکت‌های دانش‌بنیان برای تولید ابزار لازم برای زلزله‌شناسی برشمرد. سخنران بعدی دکتر محمد شاهوار از همکاران مرکز تحقیقات راه، مسکن و شهرسازی بود که سخنرانی خود را در زمینه سامانه تولید نقشه‌های لرزش زمین (واکشن سریع) انجام داد. نقشه‌های لرزش زمین، امروزه کاربرد فراوانی در بحث مدیریت بحران به عهده دارند. این نقشه‌ها که بالافاصله پس از زمین‌لرزه تهیه می‌شوند با استفاده از اطلاعات لرزه‌نگاری و شتابنگاری قادر به برآورد شدت زمین‌لرزه بوده و با استفاده از داده‌های شدت، اطلاعات خسارات را برآورد می‌نمایند. در کنار این نقشه‌های شدت، نقشه‌های شتاب، سرعت و جابجایی نیز تهیه می‌گردد که مهمترین کارکرد این نقشه‌ها بحث امداد و نجات در ساعت‌های اولیه زمین‌لرزه است.

آخرین سخنران سمینار، مهندس حسین میرزايى علویجه بود که در ارتباط با طرح پایلوت سامانه پاسخ سریع زمین‌لرزه در شهر تهران و نمونه‌های مشابه در سایر نقاط جهان سخنرانی نمود. وی ضمن ارائه توضیحاتی در مورد کارکرد سامانه‌های پاسخ سریع زمین‌لرزه که بر اساس اختلاف سرعت امواج زمین‌لرزه و امواج رادیویی عمل می‌نمایند، چگونگی انتخاب ایستگاه‌ها و مراحل اجرای سامانه با ۲۰ ایستگاه شتابنگاری در شهر تهران توضیح داد. این سامانه می‌تواند نقش مهمی در هنگام بحران در شهرهای بزرگ داشته باشند.

در انتهای سمینار متن بیانیه نهایی توسط مهندس فرزانگان ریس شبکه ملی شتابنگاری قرائت شد. وی در این بیانیه ضمن گرامیداشت سالروز زمین‌لرزه طبس و سالگرد تاسیس شبکه شتابنگاری موارد زیر را به عنوان اصلی - ترین خواسته این سمینار ارائه کرد:

- اعتقاد ما بر این است که می‌بایست در راستای توسعه کمی و کیفی شبکه ملی شتابنگاری قدم برداشت. اختصاص بودجه به منظور جایگزینی دستگاه‌های قدیمی با دستگاه‌های جدید از اولویت‌های سازمان‌های مسئول می‌بایست قرار گیرد.

- توسعه سامانه‌های هشدار و پاسخ سریع زمین‌لرزه می‌تواند نقش مهمی در بهبود عملکرد مدیریت بحران در هنگام زمین‌لرزه داشته باشد.
- گسترش آرایه‌های خاص درون سازه‌ای با هدف رفتارنگاری ساختمان‌ها در برابر زمین‌لرزه از دیگر اولویت‌های شبکه شتابنگاری باید باشد.
- گسترش آرایه‌های درون چاهی به منظور مطالعه رفتار خاک حین رویداد زمین‌لرزه، همچنین احداث آرایه‌های رفتارنگاری گسل‌های مهم و لرزه‌زا از ابزار اساسی فراهم نمودن داده‌های تخصصی برای مطالعات زیربنایی هستند.
- پیشنهاد می‌شود کلیه سازمان‌های مرتبط با شریان‌های حیاتی نظیر وزارت نیرو، نفت، راه آهن، نیروگاه‌ها، مترو... موظف گردند که سیستم‌های شتابنگاری را در مراکز تحت پوشش خود نصب و راه اندازی نمایند.
- مراکز مذهبی و تاریخی، زیارتگاه‌های بزرگ مانند صحن حضرت امام رضا (ع) و حضرت معصومه(س) با توجه به حجم بالای جمعیت زوار در کلیه ساعات شبانه روز از منظر ارزیابی خطر لرزه‌ای ارزیابی و به آرایه‌های شتابنگاری مججهز گردند.
- برخط نمودن شبکه ملی شتابنگاری می‌بایست در دستور کار مركز قرار گیرد.
- در ادامه متن نامه مهندس معین فر به ریاست محترم جمهور، جانب دکتر حسن روحانی آمده است.

۱۳۹۲ مهر ۲۵

بامداد

خانه رئای دکتر دودن

برایت گرگ جهود اسلامی ایران

آنست زمان و کار و نتیجه ناشی از پیری خدا دلیلی از نوشت پروژه های خود و حق  
که در دیم سلف به گزنهای دلخواه داشت باشند ام باز نه اینکه رستم زاده  
شبیه آن شنبه بودی زنده است که همراه دندفعه حسن عیان آن را به باشگاه  
سینم لا اپنی زدنند ب درست همیشه کمیت داشت در این اندیشه ای خوش سازی برای  
دویوری و دو غیر معمونی ب محبت اش دره اتفاقی و همانند بازندگی گزنه  
آن شبیه لرد جک فرمانکاریت راه و افسوس نزدیکی داشت ام  
در ۲۵ شهریور افغانستان ب من سبب سو و شصت ساله زلزله طیں و پیشین سالگرد ناسیسا  
شبیه شنبه بودی زنده حمایت دیدگر کمیت داشت زلزله اندک که هی آن مرد لطف  
دست آنها را فخری و فراغت داشت ب این دلیل آنها را فخری و فراغت دیدند  
که در گرفته که خود را شیوه ای نمی بینند ولی راست بخوبی بینند شاد شدم و دیگران  
حسب که دوست نداشتم این سبب میگردید که به جای مانده است می بینم  
این سبب سفیر دائم باشید در این مدت نهادی را اینجا داشت و رسماً  
این پیش بینی نهادن این عرف را دفعه مطابق زمین زلزله ۱۴ می ۱۳۹۰  
ایران و آذربایجان را میگفتند این عرض اینجا سه فروردین ۱۴ در بر این زلزله خود را ام در ۲۵ شهریور  
دشمنی دیدند و در این دفعه بینند فرستادند بنابراین در این دشمنی شنبه بود  
زلزله برای میت در لایت فوج زمین دیدند و نهادی زلزله نهادند لطف لایحه دارد  
از طریق فرز کمیت داشتند از ۱۴ فروردین سنه ۱۴ زلزله برای میت دیدند و بورجه ادام

به لفظ رستم و هشتاد و نهاده که در گزینه دویست کشور کردم این بردازه در مطابق  
سخن‌های مفاد در پارلیمانی فقره مدنی دارد و بیکم می‌دانم از آن‌جهات  
وزیر سیسی شنید که بالتفاسی رولین رستمها در راز راماهای ادعا می‌نمایند آن‌گذگردی  
این سیم به همت کارت ۷۰۰ دلاریش ۴۴ ریالی با ۱۱۰ دینار  
و چه بیست که دویست هشتاد هزار تا چهل هزار از این‌گذگردی  
شنبه ۲۴ ای شتابنگاری جوانی در در راسته علی در رسته علی  
حسره زمزمه است. شنبه علی، این اعیان در مقطع زمزمه خزی خون از  
تیز رسته که همراه داشتم و کاده بش مرده و با پیروزی که این روزه هم  
باشه علی در ۲۴ دختر به رحم آنکه در برابر نیم زمین کشور گزینه  
این شنبه می‌بینند و بیشتر اینهم که به شده رسته. روزگار خوب نماید  
که شنبه می‌باشد و ۲۴ دختر دیگر و هم‌مرحه برصبیه بازی زی بهم همراه باشند  
که که که دی روز رستمها در هنگام زمزمه نمکان است بخوبی رطاییت لایم را  
بُخت کته و بعضی اطهاعات از زمینهای روز است رفته رست که می‌فرمایند از این  
بسیرون گهه خود را علی یاد کرد. در حال حاضر گهه هماری و گزینه این شنبه  
ما که برصبیه برشنبه که دی روز رستمها روزه طایع شده زن و بزرگ ای انان  
محدود نیز می‌بینیم باز نشسته گردیده این نیاز برم بیهوده رستمها چه بجز  
و گزینه و ملایم گزینه نمایند این من می‌رسد رست می‌شنید و افتاده باشند که  
دولت در آن وین بورصه ۱۳۹۴ نیز رست روشن اتفاق می‌نماید که در روز  
درست رفته ایه بردی نیمه هماری و نیمه دیگر دیگر دیگر دیگر دیگر دیگر  
گرفته شود.

با عرض احترام علی‌محمد فرزانه

## پیوست ۱ (ادامه)

### افراد موثر در فعالیت شبکه ملی شتابنگاری

بی‌تردید فعالیت سامانه‌های شتابنگاری در سراسر دنیا علاوه بر وجود سخت افزارهای مناسب، مرهون تلاش نیروی انسانی کنترل کننده مجموعه‌های شتابنگاری است. شبکه شتابنگاری ایران نیز از این قاعده مستثنی نمی‌باشد. این مجموعه، چه در ابتدای تشکیل در سازمان برنامه و بودجه، چه پس از انتقال به مرکز تحقیقات، شاهد تلاش‌های افراد بیشماری اعم از مدیر، کارشناس، تکنسین و کارمندان دفتری بوده که در مسیر رشد و بالندگی این مجموعه در طول ۴۰ سال گذشته نقش داشته‌اند. بی‌تردید یاد کردن از همگی افراد که حتی مدت کوتاهی مشغول به فعالیت در این شبکه بوده‌اند شاید در ظرفیت این مجموعه نباشد، ولیکن در طول تاریخ شبکه، نقش برخی افراد پررنگ‌تر بوده که جا دارد حداقل با بیان نامشان از خدمات ایشان قدردانی گردد. در حال حاضر نیز مجموعه پرسنل شبکه با حداکثر توان سعی در انجام وظایف به نحو موثر داشته و در این مسیر از هیچ تلاش و کوششی دریغ نمی‌نمایند. فراموش نکنیم نصب و کنترل صدها دستگاه شتابنگار در سطح کشور وبعضاً در مناطق دورافتاده با مسیرهای سخت و صعب العبور، شرایط مختلف آب و هوایی و مسافرت‌های طولانی، همگی جزء شرایط کار در شبکه شتابنگاری است. در ادامه اسامی این پرسنل با هدف یادآوری و قدردانی آورده می‌شود.

- ۱- مهندس علی‌اکبر معین‌فر، بنیانگذار شبکه در دهه پنجاه خورشیدی، مشاور و حامی شبکه در طول سالیان حیات شبکه

۲- آقایان قربان محمودی، علی‌اکبر بداغی، مرحوم جعفر مفاخری و مرحومه ویدا جدیدی، کارشناسان شبکه شتابنگاری که از سازمان برنامه و بودجه به مرکز آمدند و ادامه خدمت خود را بطور صادقانه در مجموعه مرکز ادامه داده و در ابتدای دهه هشتاد پس از ۳۰ سال خدمت و تلاش در سراسر کشور به افتخار بازنیستگی نائل شدند. شوربختانه مرحوم جعفر مفاخری پس از سال‌ها تلاش و انجام ماموریت‌های سخت در سال ۱۳۷۲ به رحمت حق پیوست. همچنین آقایان شرفی، ابوالقاسم و مصطفی خوشبخت نیز تا سال ۱۳۵۵ به عنوان کارشناس با شبکه شتابنگاری همکاری می‌کردند. همچنین یکی از

کارشناسان شبکه به نام رضا شیرمحمدی نیز در جنگ تحملی به شهادت رسید.

۳- مهندس بشارتیان، دکتر اعتمادی، مهندس احمد نادرزاده، دکتر جمشید فرجودی، مهندس عیسی افشاری نژاد، مهندس ناهید رزاقی آذر، دکتر حمید رضا رمضانی، دکتر حمزه شکیب، مهندس حسین میرزایی علویجه، دکتر فریدون سینائیان و مهندس اسماعیل فرزانگان، اساتید و مدیرانی بودند که از ابتدای تاسیس شبکه تا سال ۱۳۹۴ خورشیدی، در طول ۴۰ سال گذشته، وظیفه هدایت و مدیریت شبکه ملی شتابنگاری را به عهده داشته و در این مسیر از هیچگونه تلاشی دریغ نکردند.

۴- مجموعه کارشناسان شبکه شتابنگاری که بار اصلی کنترل و نگهداری شبکه، در حال حاضر بر عهده ایشان بوده و بعضاً سابقهای بیش از ۲۵ سال فعالیت در شبکه شتابنگاری دارند، عبارتند از خانم‌ها مژگان میرسنجری و مریم حشمتی سعادتی، آقایان خسرو بهرامی، حسین عبدالهی، مهدی حسینی، محمد رضا ابراهیم پور، نوید شریفات، وحید عابد، شاهین برجی، محمد هادی احمدی، مهدی کارخانه و علیرضا دستجردی که پرسنل شبکه در حال حاضر هستند. در این مسیر طولانی افرادی از این مجموعه جدا شدند، خانم پانتهآ کریمی، آقایان علی اکبر اسماعیلی، رحمان کرباسیان، مهدی جلالی، مهدی عباسی، ماشالله تقی‌زاده، داود میرزایی، مرتضی سماواتی و محسن رضایی.

۵- کمیته تخصصی شبکه شتابنگاری: آقایان مهندس علی اکبر معین‌فر، دکتر حمزه شکیب، دکتر منوچهر قرشی، دکتر محسن تهرانی‌زاده و دکتر محمد پورمحمد شاهوار که همواره پشتیبان شبکه ملی شتابنگاری بوده‌اند.

همچنین در طی این دوران، شبکه ملی شتابنگاری از حمایت‌ها و پشتیبانی روسای پیشین و فعلی مرکز تحقیقات راه، مسکن و شهرسازی برخوردار بوده که جا دارد نام ایشان در این متن آورده شود: آقایان مهندس موسوی، دکتر دانشجو، دکتر احمدی، دکتر حیدری نژاد، دکتر تنسیمی، دکتر فاطمی عقدا و دکتر شکرچی زاده در ادامه عکس‌های تاریخی شبکه شتابنگاری آورده شده است.

## عکس‌های تاریخی شبکه شتابنگاری



مهندس علی اکبر معین فر (نفر اول از چپ) به همراه کارشناسان شبکه شتابنگاری در ایستگاه فتح آباد فارس (عکس از علی اکبر بداغی)



علی اکبر بداغی، کارشناس شبکه شتابنگاری در حال تنظیم دستگاه SMA-1 و آردا (عکس از علی اکبر بداغی)



دستگاه شتابنگار SMA-1 (چپ) به همراه لرزه‌نگار و بلموت (راست) – (عکس از علی اکبر بداغی)



آنخل مارک سرچی (Angel Mark Sereci)، رئیس پیشین کمپانی کینمتریکس و اکبر بداغی در تهران (عکس از علی اکبر بداغی)



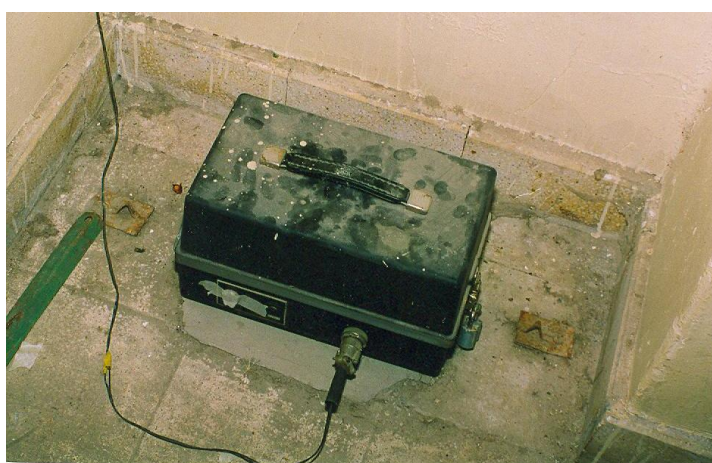
مهندس میرزایی (مدیر سابق شبکه شتابنگاری) در بازدید از ایستگاه شتابنگاری حاجی آباد، در زمین‌لرزه اردکول ۱۳۷۶ (عکس از آرشیو شبکه شتابنگاری)



دستگاه ۲-SSA ایستگاه بخشداری زیرکوه-قافتات در زیر آوار ناشی از زمین‌لرزه اردکول (عکس از آرشیو شبکه شتابنگاری)



کارشناس شبکه شبینگاری، قربان محمودی، در شرکت کینمتریکس در حال آموزش فنی دستگاه SMA-1 (عکس از قربان محمودی)



دستگاه SMA-1 ایستگاه کرمان (عکس از علی اکبر بداغی)



دستگاه شتابنگار ۲-SSA ایستگاه روتای ابر که در اثر آتش سوزی ناشی از صاعقه از بین رفت (عکس از آرشیو شبکه شتابنگاری)



## پیوست ۳

### مشخصات مهمترین رکوردهای ثبت شده

ردیف	نام ایستگاه	شماره رکورد	مختصات	ایستگاه	بسیمه شتاب	تاریخ وقوع Y/M/D	زمان وقوع h:m:s	رومگز N	جزئیه E	مدفع بزرگا
1	بندرعباس ۱	1006/01	27.18	56.28	127	1975/03/07	07:04:00	56.44	27.47	AMB Ms6.1
2	قانی	1043	33.73	59.22	223	1976/11/07	04:00:50	59.19	33.82	AMB Ms6.4
3	بندرعباس ۱	1050/01	27.18	56.28	161	1977/03/21	21:18:00	56.42	27.59	AMB Ms6.9
3	بندرعباس ۲	1051/01	27.18	56.28	160	1977/03/21	21:18:00	56.45	27.59	AMB Ms6.9
4	ناغان	1054/01	31.93	50.72	872	1977/04/06	13:36:00	50.76	31.9	AMB Ms6.1
5	طبس	1084/01	33.58	56.92	898					ISC Ms7.4
5	دهوك	1082/01	33.29	57.5	411	1978/09/16	15:35:57	57.44	33.37	AMB Ms6.0
	پسرویه	1083/01	33.86	57.43	107					
6	تالش	1098/02	37.8	48.9	280	1978/11/04	15:22:20	48.9	37.67	AMB Ms7.1
	قانی	1139	33.73	59.22	217					
7	خواف	1143/02	34.57	60.14	138	1979/11/27	17:10:33	59.63	34.05	AMB Ms7.1
	بختري	1134/02	34.52	58.18	118					
	چشتري	1140	34.02	58.81	106					
8	بنیاباد	1193/03	34.08	59.88	238	1979/12/07	09:23:56	59.92	34.14	ISC Ms6.1
9	گلاب	1176/05	29.88	57.72	321	1981/07/28	17:22:23	57.77	29.99	ISC Ms7.0
	كرمان	1174	30.28	57.07	103					
	آب بر	1362/01	36.92	48.95	635					
	تفرش	1406	34.68	50	216					
	ابهر	1354	36.09	49.22	215					
	قويرين	1353/01	36.26	50	205	1990/06/20	21:00:11	49.35	36.99	ISC Mw7.4
10	لاهیجان	1357/01	37.21	50.03	188					
	تنكابن	1359	36.81	50.88	133					
	زنجان	1364	36.66	48.5	132					
	گچسر	1361	36.11	51.32	102					
11	فیروزآباد	1486	28.83	52.56	120	1994/03/01	03:49:00	52.61	29.09	NEIC Ms6.0
	جنورد	1727/02	37.48	57.33	203					
	رباط	1728/02	37.9	57.69	142					
12	گفغان	1726/02	37.89	57.49	138	1997/02/04	10:37:47	57.29	37.66	NEIC Ms6.8
	آتشخانه	1659/02	37.56	56.92	110					
	راز	1676/02	37.94	57.1	100					
	كريق	1833/02	37.92	48.06	616					
13	ارديبل ۲	1701/01	38.22	48.26	168	1997/02/28	12:57:45	48.06	38.07	NEIC Mw6.0
	ارديبل ۱	1693/01	38.23	48.28	114					
	تمين	1724	38.42	48.48	110					
	قاسم آباد	1754/01	34.35	59.86	195	1997/05/10	07:57:29	59.8	33.82	NEIC Mw7.7
14	سنگان	1753	34.4	60.25	130					
	خواف	1759	34.57	60.14	112					
15	سيرج	1913/01	30.19	57.56	750	1998/03/14	19:40:27	57.61	30.15	NEIC Mw6.6
16	بالا ده	2131/02	29.29	51.94	423	1999/05/06	23:00:53	51.88	29.5	NEIC Ms6.3
	خان زيان	2130/01	29.67	52.15	160					
	آوج	2749/01	35.58	49.22	499					
	رزن	2756/01	35.39	49.03	201					
17	شيرين سو	2781	35.49	48.45	180	2002/06/22	02:58:20	49.05	35.63	NEIC Mw6.4
	کيور آنهگ	2754/01	35.21	48.72	166					
	آبگرم	2748/01	35.76	49.28	130					

■ چهاردهه شتابنگاری در ایران ۱۶۸

ردیف	نام ایستگاه	شماره رکورد	مختصات E	ایستگاه N	بیشینه شتاب cm/s <sup>2</sup>	تاریخ وقوع Y/M/D	زمان وقوع h:m:s	رومگز N	زلزله E	مرجع بزرگا
18	حاجی آباد ۱	3040/01	28.36	54.43	368	2003/07/10	17:06:37	28.35	54.17	NEIC Ms5.5
19	حاجی آباد ۱۹	3040/03	28.36	54.43	138	2003/07/10	17:40:15	28.3	54.13	NEIC Ms5.5
20	محمد آباد ابارق	3162/01	29.09	58.35	989	2003/12/26	01:56:56	29	58.31	NEIC Mw6.6
21	حسن کیف معلم کلایه پول سد امیرکبیر ۲ چابکسر زیار سد میجان ۲ طالقان ۱ دلیمان نوشهر	3368/02 3162/01 3176/01	29.35	57.89	124	2003/12/26	01:56:56	29	58.31	NEIC Mw6.6
22	گرگان ۱	3545	36.84	54.38	104	2004/10/07	21:46:18	37.12	54.48	NEIC
23	اینچه برون آق قلا ۱	3618 3608	37.46 37.01	54.72 54.46	163 121	2005/01/10	18:47:30	37.08	54.45	NEIC Mw5.4
24	سد شیرین رود زرند سد قدرونی راور چترود سیب سوران سوزا	3697/01 3671/01 3689/01 3661 3660/01	30.81 30.81 30.96 31.26 30.6	57.03 56.58 56.82 56.79 56.91	510 323 219 121 100	2005/02/22	02:25:26	30.75	56.8	NEIC Mw6.3
25	سرگز-احمدی	3722	27.29	62	110	2005/03/13	03:31:23	27.15	61.88	NEIC Mw6.0
26	فین رضوان	3915/01	26.78	56.07	327	2005/11/27	10:22:23	26.84	55.73	NEIC Mw5.9
27	چالان چولان توشك آسرسد چخلوندی الشتر دره اسیر	4013/01 4012/01 4027/08 4035/03 4018/03 4025 4052/03	27.63 27.56 33.66 33.77 33.66 33.87 33.45	55.9 56.08 48.91 48.57 48.55 48.26 49.06	194 121 524 394 172 154 123	2006/03/25	07:28:54	27.57	55.69	BHRC Mw5.5
28	تمیان	4147/13	26.77	55.86	518	2006/06/28	21:02:09	26.82	55.9	NEIC
31	تمیان سوزا	4686/03 4678/01	26.77 26.78	55.86 56.07	597 168	2008/09/10	11:00:40	26.82	55.83	NEIC Mw6.1
32	قائمه کازرون	5062 5065	29.85 29.63	51.59 51.64	335 117	2010/09/27	11:22:46	29.65	51.69	NEIC Mw5.5
33	ریگان	5130	28.65	59.01	126	2010/12/20	18:41:59	28.49	59.12	NEIC Mw6.7
34	سرزم	5179/04	28.33	59.02	192	2011/01/27	08:38:28	28.18	58.97	NEIC Mw6.2

ردیف	نام ایستگاه	شماره رکورد	مختصات	ایستگاه N	بیشینه شتاب cm/s <sup>2</sup>	تاریخ وقوع Y/M/D	زمان وقوع h:m:s	رو مرکز N	زلزله E	برگا	مربع
NEIC Mw6.2 46.81 38.36 12:23:16 2012/08/11	سد ستارخان ۳	5588/01	38.46	46.9	478						
	ورزان	5579/01	38.51	46.64	427						
	خواجه	5547/01	38.15	46.59	281						
	سد ستارخان ۲	5587/01	38.46	46.92	268						
	اهر	5520/01	38.47	47.06	262						
	سد ستارخان ۱	5586/01	38.46	46.9	248						35
	نهند	5558/01	38.25	46.47	218						
	سد نهند ۳	5585/01	38.22	46.48	212						
	سد نهند ۲	5584/01	38.22	46.48	175						
	سد نهند ۱	5583/01	38.22	46.48	150						
	دورال	5533/01	38.86	46.23	111						
	کلیبر	5545/01	38.87	47.04	104						
NEIC Mw6.3 46.74 38.39 12:34:34 2012/08/11	ورزان	5579/04	38.51	46.64	532						
	سد ستارخان ۲	5588/06	38.46	46.9	442						
	اهر	5520/04	38.47	47.06	422						
	سد ستارخان ۲	5587/05	38.46	46.92	338						
	سد ستارخان ۱	5586/04	38.46	46.9	319						
	سد نهند ۲	5584/03	38.22	46.48	302						
	هریس	5540/03	38.25	47.12	271						36
	خواجه	5547/03	38.15	46.59	240						
	سد نهند ۳	5585/03	38.22	46.48	235						
	دمیرچی	5532/03	38.12	47.37	192						
	نهند	5558/03	38.25	46.47	148						
	سد نهند ۱	5583/03	38.22	46.48	125						
NEIC Mw7.7 62.05 28.11 10:44:20 2013/04/16	هوراند	5544/03	38.86	47.37	116						
	کلیبر	5545/03	38.87	47.04	110						
	سپرگز	5842/01	28.34	61.46	196						
	گشت	5829	27.79	61.96	175						
	سرابان	5820	27.37	62.32	135						37
NEIC Mw6.2 47.67 32.73 02:32:06 2014/08/18	سیب سوران	5846	27.29	62	135						
	جالق	5827	27.6	62.71	127						
	خاش	5844	28.22	61.21	102						
	آبدانان	6275	33	47.42	219						
NEIC Mw6.2 47.67 32.73 02:32:06 2014/08/18	دهران	6279/02	32.69	47.26	105						38
	مormori	6306/11	32.73	47.67	197						
NEIC Mw5.8 47.68 32.57 18:08:23 2014/08/18	دهران	6303/06	32.69	47.26	113						39

AMB: Earthquake catalog prepared by Ambroseys and Melville (1982) and Ambroseys and Jackson (1998).

ISC: Bulletin of the International Seismological Centre. <http://isc.ac.uk>USGS/NEIC: Catalog of earthquakes located by USGS/NEIC, <http://neic.usgs.gov>



### پیوست ۳

#### مشخصات ایستگاه‌های دارای سرعت موج برشی اندازه‌گیری شده

ردیف	نام ایستگاه	جغرافیایی	طول	عرض	ردیف	نام ایستگاه	جغرافیایی	طول	عرض	ردیف																																																																																																																																																																									
2	سمنان	۵۳.۴۴	۳۵.۵۹	۳۹۳	4	طرود	۵۵.۰۱	۳۵.۴۳	۹۹۵	6	عباس آباد	۵۶.۳۹	۳۶.۵۳	۸۲۹	8	فرات	۵۴.۳۱	۳۵.۹۲	۵۱۰	10	قدس	۵۵.۴۴	۳۶.۳۶	۸۴۵	12	قلعه شوکت	۵۴.۹۱	۳۶.۳۵	۶۵۸	14	قلعه نو خراقان	۵۵.۰۷	۳۶.۶۳	۳۸۱	16	قوشه	۵۴.۰۳	۳۵.۹۶	۱۱۰۷	18	کوه زر	۵۴.۵۹	۳۵.۴۵	۷۵۹	20	گرم‌سار	۵۲.۳۳	۳۵.۲۲	۸۱۷	22	گرم‌سار	۵۲.۳۳۱	۳۵.۲۲۵	۸۱۷	24	مجن	۵۴.۶۵	۳۶.۴۸	۸۷۶	26	علمان	۵۴.۵۷	۳۵.۲۲	۵۳۸	28	میامی	۵۵.۶۶	۳۶.۴	۶۹۴	30	نعمی آباد	۵۴.۶۲	۳۶.۲۵	۷۷۱	32	نعمیم آباد*	۵۴.۶۲	۳۶.۲۵	۷۷۱	34	آباده طشك	۵۳.۷۲	۲۹.۷۹	۶۸۳	36	استهبان	۵۴.۰۶	۲۹.۱۲	۷۸۲	38	اسلام آباد	۵۲.۳۵	۲۹.۴۲	۲۳۹۷	40	اشکنان	۵۳.۶۱	۲۷.۲۲	۱۰۶۶	42	اورز	۵۴.۰۱	۲۷.۷۶	۷۵۷	44	باب انار	۵۳.۲۲	۲۸.۹۸	۸۸۵	46	بابامنیر	۵۱.۲۱	۳۰.۰۷	۸۳۲	48	بالا ده	۵۱.۹۴	۲۹.۲۹	۱۳۸۰	50	بایگان	۵۲.۴۳	۲۸.۸۶	۱۰۴۴	52	بهرستان	۵۲.۷۳	۲۷.۷	۶۶۰	54	بیرم	۵۳.۵۱	۲۷.۴۴	۳۷۷	56	جووکان	۵۲.۵۷	۲۹.۰۴	۹۳۰	58	جویم	۵۳.۹۸	۲۸.۲۶	۱۲۴۴	60	جویم*	۵۳.۹۸	۲۸.۲۵	۱۲۴۴	62	حاجی آباد۱	۵۴.۴۳	۲۸.۳۶	۵۶۱	64	حاجی آباد۲	۵۴.۴۳	۲۸.۳۶	۵۶۱	66	خان زینان	۵۲.۱۵	۲۹.۶۷	۵۳۵	68	خرامه	۵۳.۳۱	۲۹.۵۷	۱۴۳۷	70	خنج	۵۳.۴۳	۲۷.۸۹	۳۰۸	72	خنج*	۵۳.۴۳	۲۷.۸۹	۳۰۸
1	آذرشهر	۴۵.۹۷	۳۷.۷۷	۶۶۰	3	آمند	۴۶.۱۶	۳۸.۲۳	۷۴۳	5	باسمنج	۴۶.۴۷	۳۸	۵۶۴	7	ترکمنچای	۴۷.۳۹	۳۷.۵۸	۵۴۲	9	تسوچ	۴۵.۳۶	۳۸.۳	۷۰۹	11	تیکمه داش	۴۶.۹۵	۳۷.۷۳	۴۴۲	13	خمارلو	۴۷.۰۳	۳۹.۱۵	۹۲۱	15	خواجه	۴۶.۵۹	۳۸.۱۵	۴۵۰	17	دمیرچی	۴۷.۳۷	۳۸.۱۲	۱۲۴۱	19	زنگیره	۴۵.۳۷	۳۸.۴۶	۹۱۹	21	سراب	۴۷.۵۴	۳۷.۹۴	۴۰۶	23	شیستر	۴۵.۷۱	۳۸.۱۸	۹۲۲	25	شریبان	۴۷.۱	۳۷.۸۹	۴۸۴	27	شرفخانه	۴۵.۴۹	۳۸.۱۷	۴۶۶	29	صوفیان	۴۵.۹۸	۳۸.۲۸	۷۰۷	31	عجب شیر	۴۵.۸۹	۳۷.۴۹	۶۵۷	33	قره آگاج	۴۶.۹۸	۳۷.۱۳	۷۸۳	35	کلیبر	۴۷.۰۴	۳۸.۸۷	۸۵۰	37	مرند	۴۵.۷۷	۳۸.۴۴	۵۴۶	39	نظر کهریزی	۴۶.۷۵	۳۷.۳۵	۵۱۹	41	ورزان	۴۶.۶۴	۳۸.۵۱	۴۷۵	43	هریس	۴۷.۱۲	۳۸.۲۵	۵۳۰	45	هشتود	۴۷.۰۵	۳۷.۴۷	۶۸۱	47	پیکان کهریز	۴۵.۴	۳۸.۶۷	۷۳۸	49	آواحیق	۴۴.۱۶	۳۹.۳۳	۲۴۴	51	اشنویه	۴۵.۱	۳۷.۰۴	۳۷۳	53	پلدشت	۴۵.۰۶	۳۹.۳۵	۸۶۵	55	پیرانشهر	۴۵.۱۴	۳۶.۷۱	۵۷۷	57	تازه شهر	۴۴.۷	۳۸.۱۷	۳۰۱	59	تکاب	۴۷.۱	۳۶.۴۱	۶۰۸	61	تکاب*	۴۷.۱۲	۳۶.۴	۶۰۸	63	خوی	۴۴.۹۶	۳۸.۵۵	۳۳۳	65	رازی*	۴۴.۳۳	۳۸.۴۸	۳۳۴	67	رشکان	۴۵.۳	۳۷.۳۲	۳۶۶	69	زمیران	۴۵.۵۷	۳۶.۳۳	۱۰۳۵	71	سردشت	۴۵.۴۹	۳۶.۱۵	۵۰۹

ردیف	نام ایستگاه	جغرافیایی	طول	عرض	$V_{S30m}$ (m/s)
74	دالین	جغرافیایی	52.12	عرض	1230
76	درزو سپایان	جغرافیایی	55.42	عرض	1250
78	دوبران <sup>۱</sup>	جغرافیایی	54.18	عرض	1363
80	دودج	جغرافیایی	52.97	عرض	498
82	ذرات	جغرافیایی	52.85	عرض	800
84	رسناتق	جغرافیایی	55.07	عرض	514
86	رمقان	جغرافیایی	52.16	عرض	1362
88	رونیز	جغرافیایی	53.76	عرض	342
90	ریچی	جغرافیایی	52.18	عرض	1050
92	زاهد شهر	جغرافیایی	53.81	عرض	390
94	زنجبiran	جغرافیایی	52.62	عرض	680
96	سروستان	جغرافیایی	53.22	عرض	464
98	سیف آباد	جغرافیایی	53.15	عرض	482
100	ششده	جغرافیایی	54	عرض	398
102	ششده*	جغرافیایی	54	عرض	398
104	علی آباد	جغرافیایی	54.69	عرض	1729
106	عماده ده	جغرافیایی	53.86	عرض	1080
108	فتح آباد	جغرافیایی	54.75	عرض	877
110	فداخ	جغرافیایی	53.57	عرض	604
112	فراشبند	جغرافیایی	52.09	عرض	630
114	فراشبند*	جغرافیایی	52.07	عرض	630
116	فورک	جغرافیایی	55.22	عرض	528
118	فورک*	جغرافیایی	55.2	عرض	652
120	فیروز آباد*	جغرافیایی	52.56	عرض	921
122	فیروز آباد <sup>۱</sup>	جغرافیایی	52.57	عرض	921
124	فیروز آباد <sup>۲</sup>	جغرافیایی	52.57	عرض	921
126	فائمیه	جغرافیایی	51.59	عرض	617
128	قطروئیه	جغرافیایی	54.7	عرض	404
130	قیر*	جغرافیایی	53.03	عرض	1099
132	قیرا	جغرافیایی	53.03	عرض	1099
134	قیرا	جغرافیایی	53.03	عرض	1099
136	کنارتخته	جغرافیایی	51.39	عرض	450
138	کوره	جغرافیایی	53.8	عرض	386
140	گویم	جغرافیایی	52.39	عرض	598
142	لار	جغرافیایی	54.29	عرض	1179
144	لامرد	جغرافیایی	53.18	عرض	881
146	مشکان	جغرافیایی	54.33	عرض	1262
148	مبیری	جغرافیایی	51.52	عرض	1262
150	مهارلو	جغرافیایی	52.82	عرض	570
152	مهر	جغرافیایی	52.87	عرض	656
154	میمند	جغرافیایی	52.75	عرض	881
156	میمند*	جغرافیایی	52.75	عرض	881
73	سره	جغرافیایی	44.64	عرض	502
75	سلماس <sup>۱</sup>	جغرافیایی	44.85	عرض	209
77	سید تاج الدین	جغرافیایی	45.04	عرض	456
79	سیلاب	جغرافیایی	44.76	عرض	439
81	سیلوانا	جغرافیایی	44.88	عرض	531
83	سیه چشمہ	جغرافیایی	44.39	عرض	195
85	سیه چشمہ*	جغرافیایی	44.38	عرض	195
87	شاهین دز	جغرافیایی	46.56	عرض	415
89	شوط	جغرافیایی	44.77	عرض	407
91	قره ضیال الدین	جغرافیایی	45.02	عرض	297
93	قره ضیال الدین*	جغرافیایی	45.02	عرض	297
95	قره قشلاق	جغرافیایی	44.95	عرض	222
97	قطور	جغرافیایی	44.41	عرض	254
99	قوشچی	جغرافیایی	45.04	عرض	457
101	کلوانس	جغرافیایی	44.69	عرض	549
103	کویر	جغرافیایی	45.25	عرض	272
105	کوزه رش	جغرافیایی	44.44	عرض	556
107	کهریز	جغرافیایی	44.98	عرض	457
109	گنگچین	جغرافیایی	44.67	عرض	313
111	ماکو	جغرافیایی	44.44	عرض	441
113	ماکو*	جغرافیایی	44.51	عرض	441
115	نقده	جغرافیایی	45.37	عرض	209
117	نلاس	جغرافیایی	45.49	عرض	336
119	اردبیل <sup>۳</sup>	جغرافیایی	48.33	عرض	659
121	اسلام آباد	جغرافیایی	47.94	عرض	833
123	اسلام آباد قدیم	جغرافیایی	47.71	عرض	1111
125	اصلاندوز	جغرافیایی	47.4	عرض	705
127	اوولو	جغرافیایی	48.16	عرض	445
129	بیله سوار	جغرافیایی	48.32	عرض	533
131	تازه کندی	جغرافیایی	47.74	عرض	461
133	تازه کندی*	جغرافیایی	47.73	عرض	461
135	خلحال <sup>۱</sup>	جغرافیایی	48.54	عرض	485
137	رضی	جغرافیایی	48.1	عرض	720
139	زیوه	جغرافیایی	47.65	عرض	304
141	طالب قشلاق	جغرافیایی	48.21	عرض	978
143	فیروز آباد	جغرافیایی	48.24	عرض	459
145	فیروز آباد*	جغرافیایی	48.24	عرض	459
147	کربیق	جغرافیایی	48.06	عرض	589
149	کلور	جغرافیایی	48.72	عرض	860
151	کورائیم	جغرافیایی	48.24	عرض	787
153	گرمی	جغرافیایی	48.06	عرض	712
155	لاهروود	جغرافیایی	47.83	عرض	981

ردیف	نام ایستگاه	جغرافیایی	طول	عرض	$V_{S30m}$ (m/s)
158	نرگس زار	جغرافیایی	51.89	عرض	29.45
160	نورآبادممسنی*	جغرافیایی	51.53	عرض	30.11
162	نیریز	جغرافیایی	54.32	عرض	29.2
164	هنگام	جغرافیایی	52.6	عرض	28.36
166	آبگرم	جغرافیایی	49.28	عرض	35.76
168	آقا بابا	جغرافیایی	49.76	عرض	36.34
170	آلولک	جغرافیایی	50.03	عرض	36.44
172	آوج	جغرافیایی	49.22	عرض	35.57
174	بک کندی	جغرافیایی	49.58	عرض	36.4
176	بوئین زهرا	جغرافیایی	50.05	عرض	35.77
178	تاشکستان	جغرافیایی	49.7	عرض	36.07
180	چنگوره ۱	جغرافیایی	48.96	عرض	35.78
182	چنگوره ۱۰	جغرافیایی	48.96	عرض	35.78
184	چنگوره ۲۵	جغرافیایی	48.96	عرض	35.78
186	دانسفهان	جغرافیایی	49.74	عرض	35.81
188	رزجرد	جغرافیایی	50.18	عرض	36.35
190	سیردان	جغرافیایی	49.19	عرض	36.65
192	ضیاء آباد	جغرافیایی	49.46	عرض	36
194	قزوین	جغرافیایی	50.02	عرض	36.24
196	قزوین*	جغرافیایی	50	عرض	36.26
198	قزوین ۱	جغرافیایی	50.01	عرض	36.28
200	قزوین ۲	جغرافیایی	50.04	عرض	36.25
202	قزوین ۳	جغرافیایی	50.01	عرض	36.28
204	نهاوند	جغرافیایی	49.51	عرض	35.93
206	کهک	جغرافیایی	49.46	عرض	34.4
208	آرمده	جغرافیایی	45.8	عرض	35.93
210	ابراهیم آباد	جغرافیایی	46.84	عرض	35.97
212	ابراهیم آباد*	جغرافیایی	46.84	عرض	35.98
214	بوئین سفلی	جغرافیایی	45.94	عرض	35.95
216	بوئین سفلی*	جغرافیایی	45.94	عرض	35.94
218	بیجار	جغرافیایی	47.62	عرض	35.89
220	بیجار*	جغرافیایی	47.62	عرض	35.89
222	بیجار ۲	جغرافیایی	47.62	عرض	35.89
224	خوش مقام	جغرافیایی	47.35	عرض	36.15
226	خوش مقام	جغرافیایی	47.35	عرض	36.14
228	دزج	جغرافیایی	47.98	عرض	35.09
230	دیواندره	جغرافیایی	47.02	عرض	35.92
232	کانی سور	جغرافیایی	45.79	عرض	36.06
234	میرده	جغرافیایی	46.07	عرض	36.14
236	میرده*	جغرافیایی	46.05	عرض	36.13
238	هزارکانیان	جغرافیایی	46.81	عرض	35.78
240	ابارق	جغرافیایی	57.94	عرض	29.35
157	نمین	جغرافیایی	48.48	عرض	38.42
159	نیارق	جغرافیایی	48.63	عرض	38.26
161	نیر	جغرافیایی	47.99	عرض	38.03
163	هشتجم	جغرافیایی	48.33	عرض	37.37
165	هل آباد	جغرافیایی	48.42	عرض	37.94
167	هل آباد*	جغرافیایی	48.42	عرض	37.92
169	هیر	جغرافیایی	48.49	عرض	38.08
171	طالقان*	جغرافیایی	50.76	عرض	36.17
173	طالقان ۱	جغرافیایی	50.76	عرض	36.18
175	طالقان ۲	جغرافیایی	50.76	عرض	36.18
177	مردآباد	جغرافیایی	50.83	عرض	35.73
179	مردآباد*	جغرافیایی	50.85	عرض	35.71
181	هشتگرد	جغرافیایی	50.68	عرض	35.96
183	آبدانان	جغرافیایی	47.42	عرض	33
185	آبدانان*	جغرافیایی	47.42	عرض	33
187	ارکواز ملک شاهی	جغرافیایی	46.61	عرض	33.39
189	ایوان	جغرافیایی	46.31	عرض	33.82
191	بدره	جغرافیایی	47.04	عرض	33.31
193	بیشه دراز	جغرافیایی	46.97	عرض	32.83
195	پلهه	جغرافیایی	46.88	عرض	33.01
197	دره شهر	جغرافیایی	47.38	عرض	33.14
199	دشت عیاس	جغرافیایی	47.83	عرض	32.41
201	دهلران	جغرافیایی	47.26	عرض	32.69
203	صالح آباد	جغرافیایی	46.19	عرض	33.47
205	گنجوان	جغرافیایی	45.98	عرض	33.72
207	لومار	جغرافیایی	46.81	عرض	33.6
209	مورموری	جغرافیایی	47.67	عرض	32.73
211	موسیان	جغرافیایی	47.38	عرض	32.52
213	مهران	جغرافیایی	46.17	عرض	33.12
215	هليلان	جغرافیایی	47.07	عرض	33.73
217	آباد	جغرافیایی	51.26	عرض	29.02
219	اهرم	جغرافیایی	51.29	عرض	28.89
221	اهرم*	جغرافیایی	51.29	عرض	28.89
223	برازجان	جغرافیایی	51.22	عرض	29.26
225	بردخون	جغرافیایی	51.47	عرض	28.06
227	بندردیر	جغرافیایی	51.93	عرض	27.83
229	بندرریگ*	جغرافیایی	50.63	عرض	29.49
231	بندرریگ*	جغرافیایی	50	عرض	29.48
233	بندرسیراف	جغرافیایی	52.35	عرض	27.66
235	بندرسیراف*	جغرافیایی	52.34	عرض	27.66
237	بندرگناوه	جغرافیایی	50.51	عرض	29.57
239	بوشکان	جغرافیایی	51.7	عرض	28.83

ردیف	نام ایستگاه	جغرافیایی	طول	عرض	$V_{S30m}$ (m/s)
242	ارزوئیه	جغرافیایی	56.36	عرض	915
244	اسلام آباد	جغرافیایی	56.73	عرض	807
246	انار	جغرافیایی	55.27	عرض	449
248	انار*	جغرافیایی	55.26	عرض	449
250	اندوهجد	جغرافیایی	57.75	عرض	566
252	باغین	جغرافیایی	56.81	عرض	516
254	بردسیر	جغرافیایی	56.58	عرض	539
256	بروات	جغرافیایی	58.4	عرض	491
258	بلورد	جغرافیایی	56.05	عرض	518
260	به	جغرافیایی	58.35	عرض	499
262	بهآباد	جغرافیایی	56.63	عرض	385
264	بیاض	جغرافیایی	55.45	عرض	582
266	پاریز	جغرافیایی	55.75	عرض	1013
268	پشت رود	جغرافیایی	58.38	عرض	329
270	پشت رود	جغرافیایی	58.38	عرض	329
272	جوزم	جغرافیایی	55.02	عرض	668
274	جوشان	جغرافیایی	57.61	عرض	776
276	جیرفت	جغرافیایی	57.74	عرض	343
278	جیرفت*	جغرافیایی	57.73	عرض	343
280	چترود	جغرافیایی	56.91	عرض	852
282	چشمہ سبز	جغرافیایی	56.42	عرض	678
284	حتکن	جغرافیایی	56.79	عرض	837
286	حرجنده	جغرافیایی	57.15	عرض	999
288	حسین آباد	جغرافیایی	57.74	عرض	570
290	خانوک	جغرافیایی	56.78	عرض	1083
292	خواجه عسگر	جغرافیایی	58.26	عرض	463
294	خواجه عسگر*	جغرافیایی	58.26	عرض	463
296	داوران	جغرافیایی	56.19	عرض	752
298	در بهشت	جغرافیایی	57.33	عرض	544
300	د علی	جغرافیایی	56.04	عرض	1594
302	راور	جغرافیایی	56.79	عرض	853
304	راور*	جغرافیایی	56.8	عرض	853
306	رسنستان	جغرافیایی	55.99	عرض	418
308	ریگان	جغرافیایی	59.01	عرض	437
310	رزند	جغرافیایی	56.58	عرض	226
312	رزند*	جغرافیایی	56.57	عرض	226
314	سد شیرین رود	جغرافیایی	57.03	عرض	824
316	سد شیرین رود*	جغرافیایی	57.03	عرض	824
318	سیرجان	جغرافیایی	55.68	عرض	355
320	سیرچ	جغرافیایی	57.56	عرض	398
322	شهداد	جغرافیایی	57.69	عرض	1247
324	شهداد*	جغرافیایی	57.71	عرض	1247
241	بوشهر۱	جغرافیایی	50.84	عرض	511
243	بوشهر۰	جغرافیایی	50.82	عرض	1267
245	تنگ ارم	جغرافیایی	51.525	عرض	574
247	تنگ ارم*	جغرافیایی	51.52	عرض	574
249	جم	جغرافیایی	52.33	عرض	997
251	خورموج	جغرافیایی	51.37	عرض	919
253	دالکی	جغرافیایی	51.29	عرض	971
255	دالکی*	جغرافیایی	51.28	عرض	971
257	دلوار	جغرافیایی	51.07	عرض	336
259	رسنمی	جغرافیایی	51.08	عرض	546
261	رسنمی*	جغرافیایی	51.07	عرض	546
263	ریز	جغرافیایی	52.07	عرض	1027
265	ریز*	جغرافیایی	52.07	عرض	1027
267	سعدآباد	جغرافیایی	51.12	عرض	921
269	شبانکاره	جغرافیایی	50.99	عرض	368
271	شنیه	جغرافیایی	51.76	عرض	1396
273	شول	جغرافیایی	50.52	عرض	479
275	فاریاب	جغرافیایی	51.46	عرض	827
277	کاکی	جغرافیایی	51.52	عرض	470
279	پاکدشت	جغرافیایی	51.69	عرض	504
281	پاکدشت۲	جغرافیایی	51.69	عرض	504
283	تهران ۱۷ (ورزشگاه)	جغرافیایی	51.51	عرض	693
285	تهران ۲۴ (شهرک)	جغرافیایی	51.15	عرض	522
287	تهران ۳۷ (پارک غزال)	جغرافیایی	51.66	عرض	569
289	تهران ۳ (پارک)	جغرافیایی	51.47	عرض	481
291	تهران ۵۲ (دانشکده)	جغرافیایی	51.58	عرض	593
293	تهران ۵۶ (استادیوم)	جغرافیایی	51.27	عرض	613
295	تهران ۶۴ (کهریزک)	جغرافیایی	51.37	عرض	323
297	تهران ۶۵ (مرکز)	جغرافیایی	51.37	عرض	511
299	تهران ۶۷ (استادیوم)	جغرافیایی	51.27	عرض	613
301	تهران ۶۸ (استادیوم)	جغرافیایی	51.27	عرض	613
303	حسن آباد	جغرافیایی	51.25	عرض	450
305	سربدان	جغرافیایی	52.32	عرض	516
307	فیروزکوه ۱۵	جغرافیایی	52.77	عرض	883
309	فیروزکوه ۲۵	جغرافیایی	52.77	عرض	883
311	وحیدیه	جغرافیایی	51.02	عرض	300
313	سرخون	جغرافیایی	50.55	عرض	1330
315	ناغان	جغرافیایی	50.72	عرض	700
317	ناغان*	جغرافیایی	50.72	عرض	700
319	ناغان*	جغرافیایی	50.72	عرض	700
321	آبیز	جغرافیایی	59.96	عرض	1333
323	اسدیه	جغرافیایی	60.02	عرض	626

ردیف	نام ایستگاه	جغرافیایی	طول	عرض	Vs <sub>30m</sub> (m/s)
326	شهر بابک	جغرافیایی	55.12	عرض	992
328	طرز	جغرافیایی	56.5	عرض	923
330	فاریاب	جغرافیایی	57.23	عرض	641
332	فردوسیه	جغرافیایی	55.81	عرض	473
334	فهرج	جغرافیایی	58.88	عرض	280
336	قطب آباد	جغرافیایی	58.48	عرض	648
338	قلعه گچ	جغرافیایی	57.88	عرض	683
340	کرمان ۲	جغرافیایی	57.08	عرض	202
342	کشکویه	جغرافیایی	55.64	عرض	348
344	کوشک علیا	جغرافیایی	56.76	عرض	940
346	کوهناتان	جغرافیایی	56.28	عرض	469
348	کوهبنان*	جغرافیایی	56.28	عرض	469
350	کهنوج	جغرافیایی	57.71	عرض	1564
352	کهنوج*	جغرافیایی	57.7	عرض	1564
354	کیانشهر	جغرافیایی	56.38	عرض	579
356	گلیاف*	جغرافیایی	57.72	عرض	320
358	گلیاف ۱	جغرافیایی	57.73	عرض	320
360	گلیاف ۲	جغرافیایی	57.73	عرض	320
362	گیسک	جغرافیایی	56.59	عرض	809
364	الله زار	جغرافیایی	56.81	عرض	678
366	ماهان	جغرافیایی	57.29	عرض	1085
368	محمد آباد	جغرافیایی	57.89	عرض	507
370	هینمان	جغرافیایی	57.29	عرض	617
372	ارمنیجان	جغرافیایی	47.35	عرض	390
374	سلام آباد غرب	جغرافیایی	46.53	عرض	266
376	ثلاث باباجانی	جغرافیایی	46.16	عرض	281
378	حوالنرود	جغرافیایی	46.49	عرض	298
380	چنان	جغرافیایی	47.12	عرض	419
382	حمیل	جغرافیایی	46.77	عرض	261
384	دینور*	جغرافیایی	47.45	عرض	514
386	دینور ۱	جغرافیایی	47.45	عرض	514
388	دینور ۲	جغرافیایی	47.45	عرض	514
390	روانسر	جغرافیایی	46.66	عرض	267
392	سر پل ذهاب	جغرافیایی	45.87	عرض	619
394	سراب نیلوفر	جغرافیایی	46.86	عرض	323
396	سنقر	جغرافیایی	47.6	عرض	1477
398	سومار	جغرافیایی	45.64	عرض	642
400	قصرشیرین	جغرافیایی	45.59	عرض	347
402	کرند غرب	جغرافیایی	46.24	عرض	800
404	گورسفید	جغرافیایی	45.85	عرض	403
406	گیلانغرب	جغرافیایی	45.94	عرض	692
408	ماهیدشت	جغرافیایی	46.8	عرض	304
325	افین	جغرافیایی	59.74	عرض	1397
327	بسک آباد	جغرافیایی	58.72	عرض	572
329	بشرويه	جغرافیایی	57.42	عرض	474
331	بشرويه*	جغرافیایی	57.43	عرض	474
333	بیرجند	جغرافیایی	59.21	عرض	472
335	بیرجند*	جغرافیایی	59.21	عرض	472
337	تیذر	جغرافیایی	58.95	عرض	786
339	حاجی آباد	جغرافیایی	59.99	عرض	919
341	حضری	جغرافیایی	58.81	عرض	704
343	حضری*	جغرافیایی	58.81	عرض	704
345	خوسف	جغرافیایی	58.89	عرض	1478
347	د محمد	جغرافیایی	56.98	عرض	1537
349	دهک	جغرافیایی	59.52	عرض	742
351	دیهوک	جغرافیایی	57.51	عرض	780
353	دیهوک*	جغرافیایی	57.5	عرض	780
355	زهان	جغرافیایی	59.81	عرض	873
357	سدہ	جغرافیایی	59.24	عرض	854
359	سدہ*	جغرافیایی	59.24	عرض	854
361	سرایان	جغرافیایی	58.53	عرض	571
363	سریشه	جغرافیایی	59.8	عرض	790
365	سه قلعه	جغرافیایی	58.4	عرض	650
367	شهرخت	جغرافیایی	60.27	عرض	640
369	شوسف	جغرافیایی	60.01	عرض	648
371	طبس	جغرافیایی	56.94	عرض	650
373	طبس*	جغرافیایی	56.94	عرض	650
375	عشق آباد	جغرافیایی	56.92	عرض	511
377	فتح آباد	جغرافیایی	58.39	عرض	586
379	فرخی	جغرافیایی	59.53	عرض	1140
381	فردوس	جغرافیایی	58.17	عرض	420
383	فردوس*	جغرافیایی	58.16	عرض	330
385	قائُن*	جغرافیایی	59.22	عرض	770
387	قائُن ۲	جغرافیایی	59.19	عرض	770
389	کولی	جغرافیایی	59.37	عرض	503
391	گرماب	جغرافیایی	59.7	عرض	592
393	مازان	جغرافیایی	59.02	عرض	859
395	مرک	جغرافیایی	59.43	عرض	559
397	مود	جغرافیایی	59.52	عرض	1004
399	موسیه	جغرافیایی	58.91	عرض	553
401	نهیندان	جغرافیایی	60.04	عرض	826
403	وندیک*	جغرافیایی	59.23	عرض	658
405	البلاغ	جغرافیایی	57.99	عرض	843
407	امام تقی	جغرافیایی	59.44	عرض	680

ردیف	نام ایستگاه	جغرافیایی	طول	عرض	$V_{S30m}$ (m/s)
410	هرسین	آق قلا	47.56	34.27	530
412	آق بند	آق بند	55.18	37.66	402
414	آق قلا	آق قلا	54.45	37.01	341
416	آق قلا	آق قلا	54.45	37.01	341
418	اینچه بروون	اینچه بروون	54.72	37.46	283
420	بندرترکمن	بندرترکمن	54.06	36.89	350
422	بندرترکمن*	بندرترکمن*	54.06	36.89	350
424	بندرگز	بندرگز	53.95	36.76	347
426	رامیان	رامیان	55.14	37.02	827
428	علی آباد	علی آباد	54.85	36.9	562
430	فارسیان	فارسیان	55.42	36.94	517
432	فارسیان	فارسیان	55.47	36.9	517
434	قپان علیا	قپان علیا	55.68	37.62	410
436	قزلر	قزلر	54.99	37.8	255
438	کرنده	کرنده	55.52	37.97	279
440	کلاله	کلاله	55.5	37.38	375
442	گرگان*	گرگان*	54.38	36.84	291
444	گرگان۱	گرگان۱	54.38	36.84	291
446	گرگان۲	گرگان۲	54.38	36.84	291
448	گندکاووس	گندکاووس	55.16	37.24	402
450	مراوه تپه	مراوه تپه	55.96	37.9	538
452	مراوه تپه*	مراوه تپه*	55.95	37.9	538
454	مینودشت	مینودشت	55.37	37.23	449
456	مینودشت*	مینودشت*	55.36	37.23	449
458	تالش*	تالش*	48.9	37.8	530
460	رودبار	رودبار	49.41	36.81	800
462	رودبار۱*	رودبار۱*	49.41	36.81	800
464	رودبار۲*	رودبار۲*	49.4	36.8	800
466	رودسر	رودسر	50.28	37.14	170
468	رودسر*	رودسر*	50.3	37.13	170
470	لاهیجان	لاهیجان	50.01	37.21	250
472	لاهیجان*	لاهیجان*	50.03	37.21	250
474	منجیل*	منجیل*	49.39	36.76	580
476	ازنا	ازنا	49.46	33.47	945
478	الشتر	الشتر	48.26	33.87	621
480	الیگودرز	الیگودرز	49.71	33.39	1020
482	بروجرد	بروجرد	48.75	33.89	579
484	پلدختر	پلدختر	47.71	33.15	486
486	پلدختر*	پلدختر*	47.7	33.15	865
488	توشك آسرد	توشك آسرد	48.57	33.77	891
490	چالان چولان	چالان چولان	48.91	33.66	428
492	چلغوندی	چلغوندی	48.56	33.66	616
409	امام تقی*	امام تقی	59.44	35.96	680
411	امام قلی	امام قلی	58.52	37.4	333
413	بسستان	بسستان	58.18	34.52	739
415	بسستان*	بسستان*	58.18	34.52	739
417	بردسکن	بردسکن	57.97	35.27	993
419	بی تاک	بی تاک	60.81	35.61	664
421	بنیاباد	بنیاباد	59.88	34.08	673
423	بنیاباد*	بنیاباد*	59.88	34.08	673
425	تایباد	تایباد	60.78	34.74	569
427	تایباد*	تایباد*	60.79	34.74	448
429	تریت جام	تریت جام	60.63	35.23	538
431	تریت جام*	تریت جام*	60.61	35.24	684
433	تریت حیدریه	تریت حیدریه	59.22	35.27	306
435	تریت حیدریه۱*	تریت حیدریه۱*	59.22	35.27	306
437	تریت حیدریه۲*	تریت حیدریه۲*	59.22	35.27	622
439	جغتای	جغتای	57.06	36.63	964
441	جنگل	جنگل	59.22	34.7	314
443	جنگل*	جنگل*	59.22	34.53	314
445	چخماق	چخماق	59.83	35.28	1196
447	چخماق*	چخماق*	59.85	35.27	1196
449	چکنه	چکنه	58.51	36.81	784
451	چنار	چنار	58.91	35.28	956
453	چناران	چناران	59.13	36.65	514
455	خواف	خواف	60.15	34.58	414
457	خواف*	خواف*	60.14	34.57	414
459	داورزن	داورزن	56.88	36.35	604
461	درخت توت	درخت توت	61.1	35.75	699
463	درگز	درگز	59.11	37.44	770
465	درگر*	درگر*	59.11	37.45	770
467	درونه	درونه	57.42	35.18	533
469	رادکان	رادکان	59.01	36.8	1129
471	رشتخوار	رشتخوار	59.62	34.97	900
473	ریوش	ریوش	58.47	35.48	428
475	ریوند	ریوند	57.34	36.23	521
477	زاوین سفلی	زاوین سفلی	59.93	36.75	816
479	سرخس	سرخس	61.16	36.55	498
481	سرخس*	سرخس*	61.15	36.53	498
483	سلطان آباد	سلطان آباد	58.03	36.4	719
485	سنگان	سنگان	60.25	34.4	643
487	شادمهر	شادمهر	59.04	35.17	540
489	ششتمد	ششتمد	57.77	35.96	699
491	ششتمد*	ششتمد*	57.75	35.95	699

ردیف	نام ایستگاه	جغرافیایی	طول	عرض	$V_{S30m}$ (m/s)
494	چمشک	جغرافیایی	48.21	عرض	33.23
496	خرم آباد	جغرافیایی	48.37	عرض	33.52
498	درب آستانه	جغرافیایی	48.82	عرض	33.7
500	درود	جغرافیایی	49.06	عرض	33.49
502	دره اسبر	جغرافیایی	49.06	عرض	33.45
504	روستای ازنا	جغرافیایی	48.93	عرض	33.61
506	زارم	جغرافیایی	48.82	عرض	33.8
508	راغه	جغرافیایی	48.71	عرض	33.5
510	سیبدشت	جغرافیایی	48.89	عرض	33.22
512	سراب دوره	جغرافیایی	48.03	عرض	33.55
514	شول آباد	جغرافیایی	49.19	عرض	33.18
516	کمندان	جغرافیایی	49.44	عرض	33.31
518	کوهدشت	جغرافیایی	47.61	عرض	33.52
520	معمولان	جغرافیایی	47.94	عرض	33.38
522	مومن آباد	جغرافیایی	49.52	عرض	33.59
524	نورآباد	جغرافیایی	47.97	عرض	34.07
526	اسطاخ پشت	جغرافیایی	53.48	عرض	36.46
528	اسطاخ پشت*	جغرافیایی	53.47	عرض	36.47
530	بابل	جغرافیایی	52.68	عرض	36.54
532	بابلسر	جغرافیایی	52.66	عرض	36.7
534	بابلسر*	جغرافیایی	52.66	عرض	36.7
536	تنکابن	جغرافیایی	50.88	عرض	36.81
538	تنکابن*	جغرافیایی	50.88	عرض	36.81
540	حسن کیف	جغرافیایی	51.16	عرض	36.51
542	دو آب	جغرافیایی	53.05	عرض	36.02
544	رئیس کلا	جغرافیایی	52.03	عرض	36.38
546	عالیوک	جغرافیایی	53.07	عرض	36.61
548	قائم شهر	جغرافیایی	52.88	عرض	36.48
550	نکاء	جغرافیایی	53.28	عرض	36.63
552	نوذر آباد	جغرافیایی	53.25	عرض	36.8
554	نور	جغرافیایی	52.01	عرض	36.57
556	نوشهر	جغرافیایی	51.49	عرض	36.65
558	اراک ۱	جغرافیایی	49.73	عرض	34.1
560	اراک ۲	جغرافیایی	49.73	عرض	34.1
562	خنداب ۱	جغرافیایی	49.15	عرض	34.4
564	فرمهنین	جغرافیایی	49.68	عرض	34.5
566	کمیجان	جغرافیایی	49.33	عرض	34.72
568	باغات	جغرافیایی	55.81	عرض	28.69
570	بستک	جغرافیایی	54.37	عرض	27.2
572	بندر خمیر	جغرافیایی	55.58	عرض	26.95
574	بندر عباس ۳	جغرافیایی	56.29	عرض	27.19
576	بندرلنگه	جغرافیایی	54.9	عرض	26.57
493	صالح آباد	جغرافیایی	61.09	عرض	35.69
495	طبیس	جغرافیایی	57.38	عرض	36.41
497	عظیم آباد	جغرافیایی	58.07	عرض	35.15
499	فدک	جغرافیایی	59.83	عرض	34.76
501	فریمان	جغرافیایی	59.84	عرض	35.69
503	فیروزه	جغرافیایی	58.59	عرض	36.29
505	فیض آباد	جغرافیایی	58.78	عرض	35.01
507	قاسم آباد	جغرافیایی	59.86	عرض	34.35
509	قدمگاه	جغرافیایی	59.06	عرض	36.11
511	قوچان	جغرافیایی	58.51	عرض	37.1
513	کاخک*	جغرافیایی	58.66	عرض	34.14
515	کاخک ۱	جغرافیایی	58.64	عرض	34.15
517	کاخک ۲	جغرافیایی	58.63	عرض	34.14
519	کاشمر	جغرافیایی	58.47	عرض	35.24
521	کاشمر*	جغرافیایی	58.45	عرض	35.23
523	کپکان	جغرافیایی	58.91	عرض	37.25
525	کدکن	جغرافیایی	58.87	عرض	35.59
527	کدکن*	جغرافیایی	58.87	عرض	35.58
529	کلات نادری	جغرافیایی	59.76	عرض	36.99
531	گتاباد	جغرافیایی	58.68	عرض	34.37
533	گتاباد*	جغرافیایی	58.68	عرض	34.35
535	گندلی	جغرافیایی	60.86	عرض	36.39
537	لائین نو	جغرافیایی	59.5	عرض	37.13
539	لطف آباد	جغرافیایی	59.34	عرض	37.52
541	مرزداران	جغرافیایی	60.53	عرض	36.15
543	مرزداران*	جغرافیایی	60.53	عرض	36.16
545	مشهد*	جغرافیایی	59.56	عرض	36.31
547	مشهد ۱	جغرافیایی	59.56	عرض	36.31
549	مشهد ۳	جغرافیایی	59.53	عرض	36.31
551	نصر آباد	جغرافیایی	60.31	عرض	35.42
553	نقاب	جغرافیایی	57.42	عرض	36.7
555	آغاجاری	جغرافیایی	49.83	عرض	30.7
557	آغاجاری*	جغرافیایی	49.84	عرض	30.7
559	الهایی	جغرافیایی	48.6	عرض	31.65
561	ایذه ۱	جغرافیایی	49.86	عرض	31.82
563	ایذه ۲	جغرافیایی	49.86	عرض	31.82
565	باغملک	جغرافیایی	49.87	عرض	31.54
567	بستان	جغرافیایی	47.98	عرض	31.72
569	بهبهان ۲	جغرافیایی	50.26	عرض	30.59
571	بهبهان ۲	جغرافیایی	50.26	عرض	30.59
573	تشان	جغرافیایی	50.2	عرض	30.83
575	حسینیه علیا	جغرافیایی	48.25	عرض	32.67

ردیف	نام ایستگاه	طول جغرافیایی (m/s)	عرض جغرافیایی (m/s)	Vs <sub>30m</sub> (m/s)
578	بندرمقام	53.48	26.97	567
580	پارسیان	53.04	27.21	549
582	تخت	56.64	27.5	1195
584	تخت*	56.66	27.47	1195
586	جاسک	57.78	25.64	498
588	جاسک*	57.76	25.63	498
590	چاه مسلم	54.56	26.74	650
592	حاجی آباد	55.89	28.32	1001
594	حسن لنگی	56.86	27.39	251
596	رستاق	53.86	26.89	821
598	رضوان	56.08	27.56	752
600	رودان	57.19	27.44	869
602	زیارت علی	57.23	27.75	1334
604	سرگز-احمدی	56.67	27.94	528
606	سندرک	57.47	26.84	821
608	سوزا	56.07	26.78	1334
610	سیاهو	56.33	27.76	627
612	سیریک*	57.1	26.52	273
614	شمیل	56.09	28.14	896
616	طبل	55.72	26.76	931
618	فین ۱	55.9	27.63	681
620	فین ۲	55.9	27.63	681
622	قشم	56.28	26.96	757
624	کوهستک	57.02	26.8	533
626	گوهران	57.9	26.58	756
628	میناب	57.07	27.14	453
630	میناب*	57.07	27.15	453
632	نخل ناخدا	56.34	27.19	678
634	هاشم آباد	55.76	28.18	1287
636	اسدآباد	48.13	34.79	743
638	بهار	48.44	34.89	913
640	رزن	49.03	35.39	314
642	شیرین سو	48.45	35.49	813
644	فیروزان	48.12	34.36	401
646	قهورد سفلی	48.06	35.47	414
648	کبور آهنگ	48.72	35.21	613
650	کرفس	49.3	35.36	465
652	کوهانی	48.41	34.14	783
654	گل تپه	48.2	35.22	1077
656	گیان	48.24	34.17	731
658	نهاوند	48.38	34.19	894
660	همدان <sup>۰</sup>	48.53	34.87	872
577	رامهرمز	49.6	31.27	269
579	سردشت	48.83	32.5	748
581	سردشت زیدون	50.22	30.32	1036
583	سلطان آباد	49.7	31.05	458
585	شوش	48.24	32.19	319
587	شوشتار	48.85	32.05	595
589	شوشتر*	48.85	32.04	595
591	صبدون	50.08	31.37	1070
593	عبدالخان	48.34	31.88	245
595	غیزانیه	49.18	31.22	623
597	لالی	49.09	32.33	401
599	مسجدسلیمان	49.25	31.98	708
601	مسجدسلیمان*	49.3	31.98	708
603	هفتگل	49.53	31.44	1046
605	هفتگل*	49.53	31.43	1046
607	هندیجان	49.71	30.23	247
609	هویزه	48.07	31.46	302
611	آب بر*	48.95	36.92	660
613	آب بر۱	48.95	36.92	660
615	آب بر۲	48.95	36.92	660
617	ابهر	49.22	36.15	300
619	ابهر*	49.22	36.09	300
621	ارمنان خانه	48.37	36.98	763
623	اند آباد	47.99	36.81	253
625	بوغدا کندی	48.14	36.58	483
627	حلب	48.07	36.3	563
629	دندی	47.62	36.55	407
631	ده جلال	48.7	36.32	748
633	زین آباد	48.28	36.43	377
635	سلطان آباد	47.94	37.08	603
637	سلطانیه	48.8	36.44	466
639	صائین	47.96	36.46	406
641	صائین قلعه	49.07	36.31	642
643	ماه نشان	47.68	36.74	385
645	مشمپا	47.67	36.94	522
647	نیک بی	48.18	36.85	482
649	ایوانکی	52.07	35.34	722
651	ایوانکی*	52.06	35.33	722
653	بیارجمند	55.8	36.08	929
655	جام	53.9	35.78	1176
657	چندآب	51.93	35.42	702
659	دیجاج	54.23	36.43	526

$V_{S30m}$ (m/s)	عرض جغرافیایی	طول جغرافیایی	نام ایستگاه	ردیف
1109	31.63	56.08	بسکان	662
458	31.87	56.01	بهاباد	664
458	31.87	56.01	بهاباد*	666

$V_{S30m}$ (m/s)	عرض جغرافیایی	طول جغرافیایی	نام ایستگاه	ردیف
345	36.35	55	دیزج	661
494	37.18	55.79	رضوان	663
742	35.47	53.2	سرخه	665

\*- توجه شود که بعضی از ایستگاه‌ها بدلیل تغییر تکرار شده است.